



Hochschule für Angewandte Wissenschaften Hamburg  
*Hamburg University of Applied Sciences*

# Diplomarbeit

Lennart Koch

Aufwandsminimierte Schätzung von Harmonischen  
zur Zustandsbestimmung von ABS-Sensoren

Lennart Koch

Aufwandsminimierte Schätzung von Harmonischen  
zur Zustandsbestimmung von ABS-Sensoren

Diplomarbeit eingereicht im Rahmen der Diplomprüfung  
im Studiengang Informations- und Elektrotechnik  
Studienrichtung Informationstechnik  
am Department Informations- und Elektrotechnik  
der Fakultät Technik und Informatik  
der Hochschule für Angewandte Wissenschaften Hamburg

Betreuender Prüfer : Prof. Dr.-Ing. Jürgen Vollmer  
Zweitgutachter : Prof. Dr.-Ing. Karl-Ragmar Riemschneider

Abgegeben am 21. April 2010

**Lennart Koch**

**Thema der Diplomarbeit**

Aufwandsminimierte Schätzung von Harmonischen zur Zustandsbestimmung von ABS-Sensoren

**Stichworte**

Klirrfaktor, ABS-Sensor, Harmonische, DFT, Rad-Unrundlauf, Unterabtastung  
Aufwandsminimierung, magnetischer Sensor, Drehzahlsensor

**Kurzzusammenfassung**

In dieser Arbeit wird das Thema „Aufwandsminimierte Schätzung von Harmonischen zur Zustandsbestimmung von ABS-Sensoren“ behandelt. Diese Arbeit baut auf der Diplomarbeit „Entwicklung eines Controllersystems zur Zustands-erkennung von ABS-Sensoren“ von Herrn N. Jegenhorst auf. Zur Analyse des Problems wurden Messergebnisse, die mit einem bestehenden Mikrocontroller-basierten System gewonnen wurden, untersucht. Der Algorithmus des bestehenden Systems wurde mit Matlab durch eine Festkomma-Arithmetik mit begrenzter Wortbreite nachgebildet. Als Kontrolle dienten Fließkomma-Berechnungen. In einem weiteren Schritt wurde der verwendete Algorithmus in Hinsicht auf die Berechnungszeit optimiert. Zur Überprüfung der Funktion des Simulationsprogramms, sind die Simulationen ausgeführt worden. Bei der anschließenden Bewertung der Ergebnisse ist ein Unrundlauf des Encoderrades festgestellt worden, dessen Auswirkungen analysiert worden sind.

**Lennart Koch**

**Title of the paper**

Low complexity estimation the state of ABS-sensors based on harmonics

**Keywords**

Total Harmonic Distortion, ABS-sensor, harmonic, DFT, irregular rotating of Encoder, subsampling, magnetic sensor, rotation-speed-sensor

**Abstract**

The topic of this diploma thesis is “Low complexity estimation the state of ABS-sensors based on harmonics”. This thesis is based on the diploma thesis of Mr. N. Jegenhorst “Controllersystem for ABS-Sensors“. To analyze the problem it’s necessary to check up the measurements of the microcontroller based system first. In the next step the algorithm of the system were cloned with the fixpoint-toolbox in Matlab. The results checked with floating-point results and the algorithm was optimized with respect to the calculation time. For checking the result some simulations were executed. At least the results were analyzed and evaluated. In this way an irregular rotating of the Encoder was determined and the influence analyzed in this thesis.

## **Danksagung**

An dieser Stelle möchte ich mich bei Herrn Prof. Dr.-Ing. Jürgen Vollmer, dafür bedanken, dass er es ermöglicht hat diese Diplomarbeit zu erstellen und mir zu jederzeit zur Seite stand und sich viel Zeit für meine Fragen genommen hat.

Ebenso bedanke ich mich bei Herrn Prof. Dr.-Ing. Karl-Ragmar Riemschneider für seine Arbeit als Zweitgutachter und Projektverantwortlicher.

Weiterhin bedanke ich mich besonders bei Herrn Dipl.-Ing. Martin Krey, für seinen fachlichen Rat und die tatkräftige Unterstützung bei meiner Diplomarbeit. Außerdem danke ich dem gesamten Team für die gute Zusammenarbeit. Besonders erwähnen möchte ich Herrn Martin Stahl und Herrn Niels Jegenhorst, die die Aufnahme der Messwerte ermöglicht und mir freundlicherweise zur Verfügung gestellt haben. Darüber hinaus hatten beide immer ein offenes Ohr für meine Fragen.

# Inhaltsverzeichnis

<b>1. Einführung</b>	<b>1</b>
<b>2. Grundlagen</b>	<b>3</b>
2.1. Funktion des Anti-Blockier-Systems . . . . .	3
2.2. Begriffsdefinition und Spezifikation des Radmessplatzes . . . . .	8
2.2.1. Begriffsdefinition . . . . .	8
2.2.2. Spezifikationen . . . . .	9
<b>3. Analyse und Aufbereitung der verfügbaren Messdaten</b>	<b>11</b>
3.1. Verfügbare Messdaten . . . . .	11
3.2. Aufbereitung der Oszilloskopdaten . . . . .	12
3.3. Approximation des gemessenen Signals . . . . .	13
3.3.1. Idee zur Berechnung des approximierten Signals . . . . .	13
3.3.2. Mathematische Herleitung . . . . .	14
3.3.3. Abschätzung der Qualität der Ergebnisse . . . . .	16
3.4. Bereitstellung der Simulationsdaten . . . . .	16
<b>4. Nachbildung der Festkommaarithmetik in Matlab</b>	<b>20</b>
4.1. Einführung . . . . .	20
4.2. Nachbildung des MSP430 Hardware Multiplizierers . . . . .	20
4.3. Nachbildung der verwendeten Datentypen . . . . .	22
4.4. Definition der Datentypen in Matlab . . . . .	23
<b>5. Implementierung der Klirrfaktorberechnung</b>	<b>25</b>
5.1. Einleitung . . . . .	25
5.2. Berechnung des Klirrfaktors . . . . .	25
5.3. Implementierung der „HD5-Methode“ . . . . .	27
5.3.1. Implementierung der diskreten Fouriertransformation . . . . .	27
5.4. Implementierung der HDI-Methode . . . . .	32
5.4.1. Ermittlung der Leistung des gleichanteilfreien Signals . . . . .	32
5.4.2. Passende Skalierung der Leistung der 1. Harmonischen . . . . .	38
<b>6. Radizieren mit reduziertem Aufwand</b>	<b>39</b>
6.1. Einführung und Spezifikationen . . . . .	39

---

6.1.1.	Einführung . . . . .	39
6.1.2.	Die bisherige Ermittlung eines Funktionswertes . . . . .	39
6.1.3.	Spezifikationen . . . . .	40
6.2.	Analyse der neuen Spezifikationen . . . . .	41
6.3.	LUT-Methode mit wechselnden Tabellen . . . . .	43
6.4.	Methode mit PCM codierten Ausgabewerten . . . . .	46
6.4.1.	Grundidee des Verfahrens . . . . .	46
6.4.2.	Umcodierung des Divisionsergebnisses . . . . .	46
6.4.3.	Codierung der Wurzelfunktion in 8 Stufen . . . . .	48
6.4.4.	Codierung der Wurzelfunktion in 9 Stufen . . . . .	49
<b>7.</b>	<b>Testimplementierung des Algorithmus' auf dem Mikrocontroller</b>	<b>51</b>
7.1.	Vorgehensweise . . . . .	51
7.2.	Aufwandsschätzung der HDI-Methode . . . . .	52
7.3.	Implementierung der ersten Berechnungsmöglichkeit . . . . .	53
7.3.1.	Vergleich der Zwischenergebnisse . . . . .	53
7.3.2.	Vergleich der Durchlaufzeiten beider Verfahren . . . . .	54
7.4.	Implementierung der ersten Berechnungsmöglichkeit . . . . .	54
7.4.1.	Vergleich der Zwischenergebnisse . . . . .	54
7.4.2.	Vergleich der Berechnungszeiten beider Verfahren . . . . .	55
<b>8.</b>	<b>Beschreibung des Simulationsprogramms</b>	<b>56</b>
8.1.	Einleitung . . . . .	56
8.2.	Anleitung zum Durchführen einer Simulation . . . . .	58
8.2.1.	Aufbereiten der Messdaten . . . . .	58
8.2.2.	Simulationsparameter festlegen . . . . .	58
8.2.3.	Verwalten der Simulationsergebnisse . . . . .	60
8.3.	Durchführung einer Reihe von Simulationen . . . . .	63
<b>9.</b>	<b>Ergebnisse der Simulation</b>	<b>64</b>
9.1.	Einleitung . . . . .	64
9.2.	Simulation mit den verwendeten Parametern des Radmessplatzes . . . . .	64
9.2.1.	Diskussion des Klirrfaktors in Abhängigkeit zu der Entfernung zwischen Sensor und Encoderrad . . . . .	65
9.2.2.	Analyse der Abweichungen bei Verwendung von Fixed-Point-Arithmetik . . . . .	67
9.3.	Reduzierung der Wortbreite der Variablen . . . . .	69
9.3.1.	Reduzierung der Wortbreite auf 16 Bit . . . . .	69
9.3.2.	Reduzierung der Wortbreite auf 24 Bit . . . . .	71
9.3.3.	Bewertung der Simulationsergebnisse . . . . .	73
9.4.	Reduzierung der Eingangswerte . . . . .	74
9.4.1.	Versuchsbeschreibung . . . . .	74

---

9.4.2. Ergebnisse des Versuchs . . . . .	74
9.4.3. Auswertung der Versuchs . . . . .	76
9.5. Erhöhung der Abtastfrequenz . . . . .	76
9.5.1. Versuchsbeschreibung . . . . .	76
9.5.2. Ergebnisse des Versuchs . . . . .	76
9.5.3. Auswertung des Versuchs . . . . .	78
9.6. Vor- und Nachteile der HDI-Methode . . . . .	78
<b>10. Bewertung der Ergebnisse</b>	<b>80</b>
10.1. Abweichungen der Ergebnisse bei Verwendung der HDI-Methode . . . . .	80
10.2. Untersuchung möglicher Ursachen des Fehlers . . . . .	81
10.2.1. HD5-Methode um Harmonische erweitern . . . . .	81
10.2.2. Bewertung der Qualität des Eingangssignals . . . . .	82
10.3. Analyse der Amplitude des Sensorsignals über die Zeit . . . . .	84
10.3.1. Untersuchung jeder einzelnen Periode des Oszilloskopsignals . . . . .	84
10.3.2. Erklärungsversuche der 7. und 8. Harmonischen . . . . .	87
10.3.3. Simulation der Unterabtastung bei unrund laufendem Encoderrad . . . . .	88
10.3.4. Nachbildung der Messergebnisse des Demonstrators . . . . .	91
10.4. Lösungsvorschläge zur Angleichung der Ergebnisse beider Methoden . . . . .	92
10.4.1. Erarbeitete Lösungen . . . . .	92
10.4.2. Zufällige Wahl der Abtastwerte . . . . .	93
10.4.3. Verringerung des Grads der Unterabtastung . . . . .	95
10.4.4. Den Unrundlauf des Encoderrades beseitigen . . . . .	100
10.4.5. Die Unterabtastung vermeiden . . . . .	102
<b>11. Fazit und Ausblick</b>	<b>104</b>
11.1. Fazit . . . . .	104
11.2. Ausblick . . . . .	105
<b>Literaturverzeichnis</b>	<b>106</b>
<b>A. mathematische Beweise</b>	<b>108</b>
A.1. Symmetrie eines Spektrums . . . . .	108
A.2. Äquivalenz der Summe der Quadrate und der Summe der Beträge der Fourierkoeffizienten . . . . .	108
<b>B. Wissenswertes zur Festkommaberechnung mit Matlab</b>	<b>111</b>
B.1. Grundlagen der Matlab Fixpoint Toolbox . . . . .	111
B.1.1. Aufbau einer Fixpoint-Variablen . . . . .	111
B.1.2. Ein numerictype-Objekt definieren . . . . .	112
B.1.3. Aufbau eines fimath-Objekts . . . . .	114
B.2. Die Schiebe Operationen . . . . .	115

---

<b>C. Beschreibung der Datenstruktur</b>	<b>116</b>
C.1. Beschreibung der abgespeicherten Simulationsergebnisse . . . . .	116
<b>D. Simulationsergebnisse</b>	<b>118</b>
D.1. Analyse des Klirrfaktors über die Distanz für verschiedene Parameter . . .	118
D.1.1. Verwendung der ersten Berechnungsmöglichkeit . . . . .	118
D.1.2. Verwendung der zweiten Berechnungsmöglichkeit . . . . .	129
D.2. Erhöhen der Abtastfrequenz . . . . .	141
D.2.1. Verwendung der 1. Berechnungsmöglichkeit . . . . .	141
D.2.2. Verwendung der 2. Berechnungsmöglichkeit . . . . .	153
<b>E. Signalanalyse des Unrundlaufs des Encoderrades</b>	<b>166</b>
E.1. keine Beseitigung des Unrundlaufs . . . . .	166
E.2. Beseitigung des Unrundlaufs . . . . .	171
<b>F. Quellcode</b>	<b>178</b>
F.1. Matlab Quellcodes . . . . .	178
F.1.1. Programme . . . . .	178
F.1.2. Funktionen . . . . .	204
F.2. C Quellcodes . . . . .	245
F.2.1. main.c . . . . .	245
F.2.2. hdnoi.c . . . . .	248
F.2.3. sqrt.c . . . . .	250
F.2.4. cleanup.c . . . . .	251
F.2.5. Headerfiles . . . . .	252
<b>Tabellenverzeichnis</b>	<b>258</b>
<b>Abbildungsverzeichnis</b>	<b>259</b>
<b>Index</b>	<b>266</b>



# 1. Einführung

Diese Arbeit beschäftigt sich mit dem Thema „Aufwandsminimierte Schätzung von Harmonischen zur Zustandsbestimmung von ABS-Sensoren“. Sie ist ein Teil des Forschungsprojekts „Experimentelle digitale Signalverarbeitung und Zustandsbestimmung für ABS-Sensoren (ESZ-ABS)“, das derzeit mit Unterstützung der Industrie an der Hochschule für Angewandte Wissenschaften Hamburg durchgeführt und von Prof. Dr.-Ing. Riemschneider geleitet wird. Die Abkürzung ABS steht in dieser Arbeit für das Anti-Blockier-System eines Kraftfahrzeugs. Harmonische ist der Fachausdruck für „ganzzahlige Vielfache einer bestimmten Grundschwingung“ [17]. Wobei die erste Harmonische Schwingung der Grundschwingung selber entspricht.

Gerade aktuell geht die Meldung durch die Presse, dass der Automobilhersteller Toyota weltweit 437.000 Modelle vom Typ Prius zurückrufen muss, da diese Probleme mit dem ABS-System haben. Grund dafür ist ein Programmfehler in der Steuerelektronik des Autos. Der durch diese Panne entstandene Schaden ist für Toyota sehr groß, da zum einen das Image beschädigt wurde und zum anderen die Reparaturkosten für die betroffenen Modelle von Toyota getragen werden muss. Das ist ein Indiz für die Bedeutung der fehlerfreien Funktion des Systems. Da der Sensor ein Teil des Systems ist, gilt für ihn die gleiche Wichtigkeit.

Um eine korrekte Einbauposition des Sensors zu ermitteln, ist im Rahmen der Diplomarbeit von Herrn Niels Jegenhorst ein Radmessplatz, sowie ein Messsystem, das im folgenden als Demonstrator bezeichnet wird, entstanden, dessen Spezifikationen in Abschnitt 2.2 dargestellt sind. Die Messdaten, die als Grundlage für die Simulationen dienen, sind ebenfalls im Rahmen der Arbeit von Herrn Jegenhorst entstanden.

Das Ziel dieser Arbeit ist es den Aufwand des von Herrn Jegenhorst [7] entwickelten Algorithmus zu minimieren und weiter zu optimieren. Der Algorithmus steht im Fokus der Untersuchungen. Um diesen zu simulieren ist die Matlab-Version „R2008a“ als Entwicklungsumgebung verwendet worden.

Um eine Lösung des Problems zu erarbeiten werden in Kapitel 3 zunächst die Messdaten, die von Herrn Jegenhorst aufgenommen worden sind, analysiert und für die neuen Bestimmungen aufbereitet. Da der Mikrocontroller keine Gleitkomma-Operationen durchführen kann, muss im Kapitel 4 die Festkomma-Arithmetik<sup>1</sup> mit Matlab nachgebildet werden, um nächsten Kapitel ein Programm entwickeln zu können, das die Klirrfaktorberechnung nachbildet. In Kapitel 6 sind neue Methoden zur Berechnung der Wurzelfunktion erarbeitet und

---

<sup>1</sup> engl. Fixed-Point- oder Fixpoint-Arithmetik

programmiert worden und in Kapitel 7 sollen die verwendeten Berechnungsverfahren in die Programmiersprache „C“ übersetzt werden, um die Berechnungszeit eines Mikrocontrollers (MC) zu ermitteln. Als nächstes soll die Kिरrfaktorberechnung im Rahmen von Kapitel 8 in ein Programm integriert werden, das eine Simulation durchführen und die Ergebnisse abspeichern und verwalten kann. Daraufhin sind in Kapitel 9 einige Simulationen mit dem neuen Programm durchgeführt, sowie mögliche Reduzierungen der Auflösung des Analog-Digital-Umsetzers sowie der Sinus- und Kosinus-Wertetabellen untersucht werden. Zum Schluss sollen die Simulationsergebnisse in Kapitel 10 diskutiert und anschließend bewertet werden.

## 2. Grundlagen

### 2.1. Funktion des Anti-Blockier-Systems

Das Anti-Blockier-System besteht im wesentlichen aus einem Sensor, einem Encoderrad und einer Kontrolleinheit, die für die Auswertung zuständig ist. Der ABS-Sensor gehört zu der Gruppe der magnetoresistiven Sensoren, dessen Funktionsprinzip auf dem magnetoresistiven Effekt basiert. Der magnetoresistive (MR) Effekt ist die Widerstandsänderung eines Materials in Abhängigkeit des magnetischen Feldes. Dieser Effekt ist 1856 von Thomson entdeckt worden. In einem ABS-Sensor sind 4 magnetoresistive Widerstände in Form einer Wheatstone'schen Messbrücke miteinander verschaltet. Die beiden Widerstände  $R_T$  dienen zur Offsetkompensation des Sensors. Der Aufbau dieses ABS-Sensors, ist in Abbildung 2.1 dargestellt.

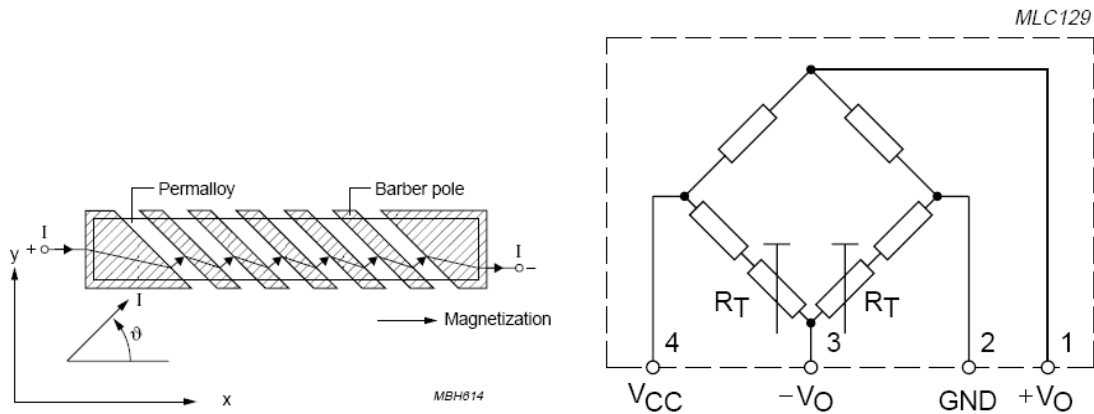


Abbildung 2.1.: Links: Aufbau eines magnetoresistiven Widerstands; Rechts: Innerer Aufbau eines ABS-Sensors [16]

Magnetoresistive Sensoren besitzen ähnliche Eigenschaften, wie Hall-Sensoren. Allerdings ist es mit magnetoresistiven Sensoren möglich kleinere Änderungen der Feldstärke zu detektieren. Während magnetoresistive Sensoren eine Änderung der Ausgangsspannung von 20 mV/kA/m aufweisen, liegt der Wert für Hall Sensoren typischerweise bei 0.4 mV/kA/m.

Der Widerstand besteht aus Permalloyschicht. Das ist eine weichmagnetische Nickel-Eisen-Legierung mit hoher magnetischer Leitfähigkeit. Die charakteristische Kennlinie ist in Abbildung 2.2 gestrichelt dargestellt. Zur Linearisierung der Widerstände sind auf die Permalloyschicht dünne Metallbahnen sogenannte Barber-Pole aufgebracht.

In Abhängigkeit von der Intensität und der Richtung des Magnetfeldes ändern sich die Widerstände innerhalb der Messbrücke und somit auch das Ausgangssignal des Sensors. Die charakteristische Kennlinie eines Sensors ist ebenfalls in Abbildung 2.2 dargestellt.

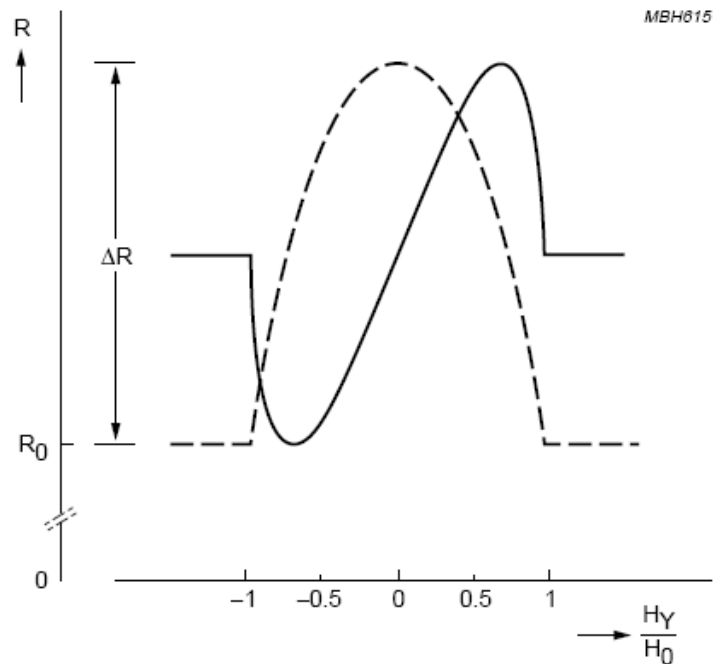


Abbildung 2.2.: gestrichelte Kennlinie: charakteristische Kennlinie eines Permalloy Widerstands; durchgezogene Linie: charakteristische Kennlinie eines ABS-Sensors [16]

Das Encoderrad ist am Radlager eines Autos befestigt und dreht sich daher mit derselben Drehzahl, wie das Rad eines Autos. Diese Frequenz wird in dieser Arbeit als Drehfrequenz  $f_D$  bezeichnet. Es wird zwischen zwei verschiedenen Arten von Encoderrädern unterschieden.

- **aktives Encoderrad:** Das aktive Encoderrad ist magnetisiert. Beim aktiven Encoderrad sind immer abwechselnd Nord- und Südpole nebeneinander angebracht, sodass sich die Richtung des Magnetfeldes, und somit auch das Ausgangssignal des Sensors kontinuierlich ändert. Bei einem aktiven Encoderrad wird zur Stabilisierung des

Magnetfeldes nur ein kleiner Dauermagnet benötigt. Es besitzt eine glatte Oberfläche. Wird ein aktiver ABS-Sensor verwendet, können bereits Geschwindigkeiten von 0,1km/h ausgewertet werden. Ein Bild eines Radlagers sowie eine Skizze des Aufbaus eines aktiven Encoderrades sind in Abbildung 2.3 dargestellt.

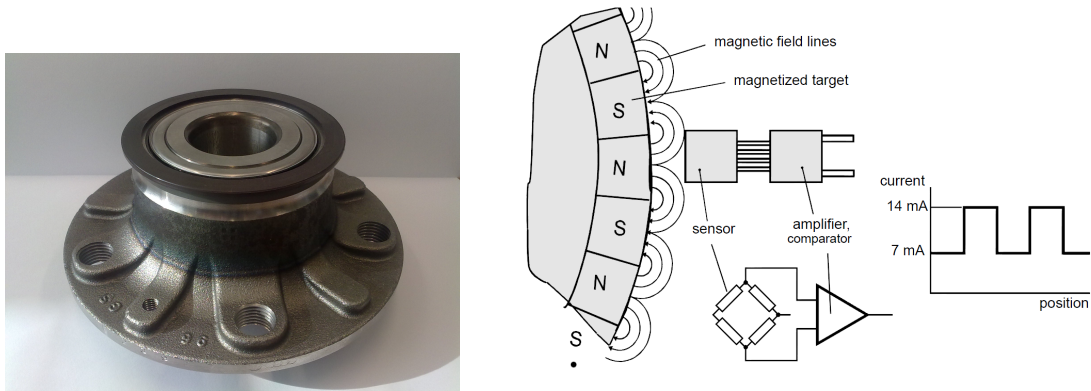


Abbildung 2.3.: Links: Bild eines Radlagers mit aktivem Encoderrad eines VW Golf V;  
Rechts: Skizze eines aktiven Encoderrades [14]

- **passives Encoderrad:** Das passive Encoderrad ist nicht magnetisiert. Es ist äußerlich durch einen ferromagnetischen zahnradförmigen Ring um das Radlager gekennzeichnet, der magnetisiert ist. Wenn ein passives Encoderrad verwendet werden soll, wird ein zusätzlicher Dauermagnet benötigt, um ein Stützfeld aufzubauen. Die Messreihen, die im Verlauf dieser Arbeit ausgewertet werden sollen, sind mit einem passivem Encoderrad aufgenommen worden. Ein Radlager mit passivem Encoderrad ist in Abbildung 2.4 dargestellt.



Abbildung 2.4.: Radlager mit passivem Encoderrad eines BMW 330i Touring

Die Entstehung des Ausgangssignals des Sensors ist in Abbildung 2.5 für ein passives Encoderrad dargestellt.

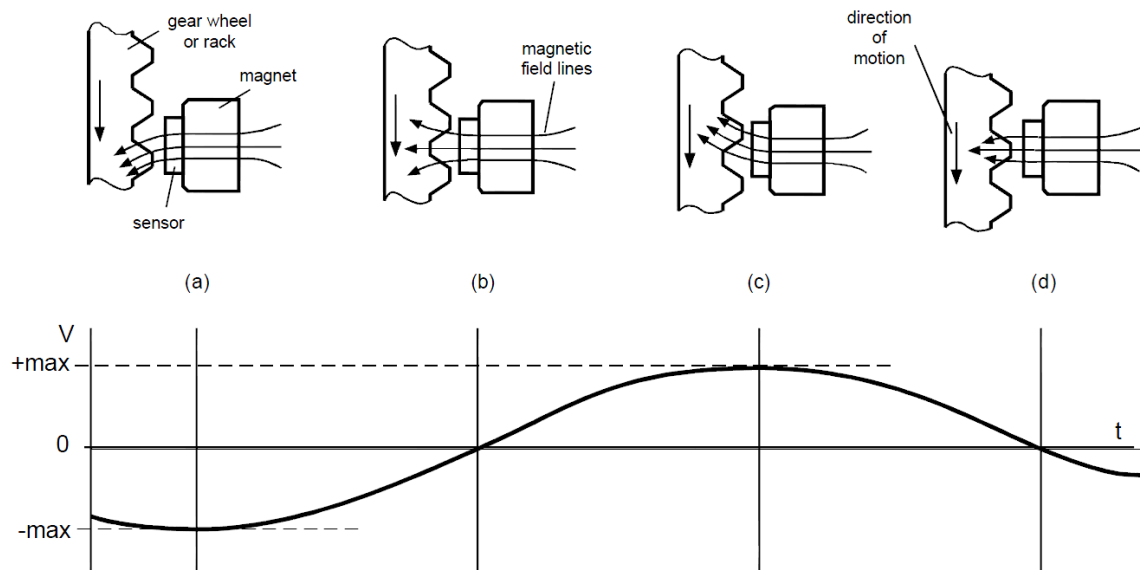


Abbildung 2.5.: Funktionsweise eines ABS-Sensors [14]

In der Abbildung 2.5 ist zu erkennen, dass pro vorbei laufendem Zahn eine Periode am Ausgang des Sensors detektiert werden kann. Die Frequenz dieses Signals wird in dieser Arbeit mit Zahnfrequenz  $f_Z$  bezeichnet. Die Zahnfrequenz ist um einen konstanten Faktor größer als die Drehfrequenz. Dieser Faktor ergibt sich aus der Anzahl der Zähne bzw. der Anzahl der Nord- und Südpole  $z$ .

$$z = \frac{f_Z}{f_d} \quad (2.1)$$

Damit das Anti-Blockier-System richtig funktioniert, darf sich der Sensor nicht zu nah, aber auch nicht zu weit vom Encoderrad entfernt sein. Die vom Hersteller vorgeschriebene Einbauposition soll durch die Schätzung des Klirrfaktors ermittelt werden. Der Klirrfaktor ist ein Maß für nichtlineare Verzerrungen eines Signals. Er ist als das Verhältnis der Leistung der Oberwellen zur Gesamtleistung des Signals ohne Gleichanteil definiert und soll in dieser Arbeit als prozentuale Größe geschätzt werden, um später Indikatorbits aus den Werten abzuleiten. Wenn sich die Position des Sensors im Laufe der Zeit verschiebt, soll der Sensor eine Warnung an das Steuergerät senden. So kann gewährleistet werden, dass sich der Sensor immer in dem vom Hersteller vorgegebenen Abstand zum Encoderrad befindet. Befindet sich der Sensor zu dicht am Encoderrad, ist das Magnetfeld stärker als vom Hersteller vorgegeben. Die magnetisch-elektrische Kennlinie kann für diese magnetische Feldstärke nicht mehr als nahezu linear angesehen werden und das Ausgangssignal wird verzerrt. Dieser Fall ist in Abbildung 2.6 dargestellt.

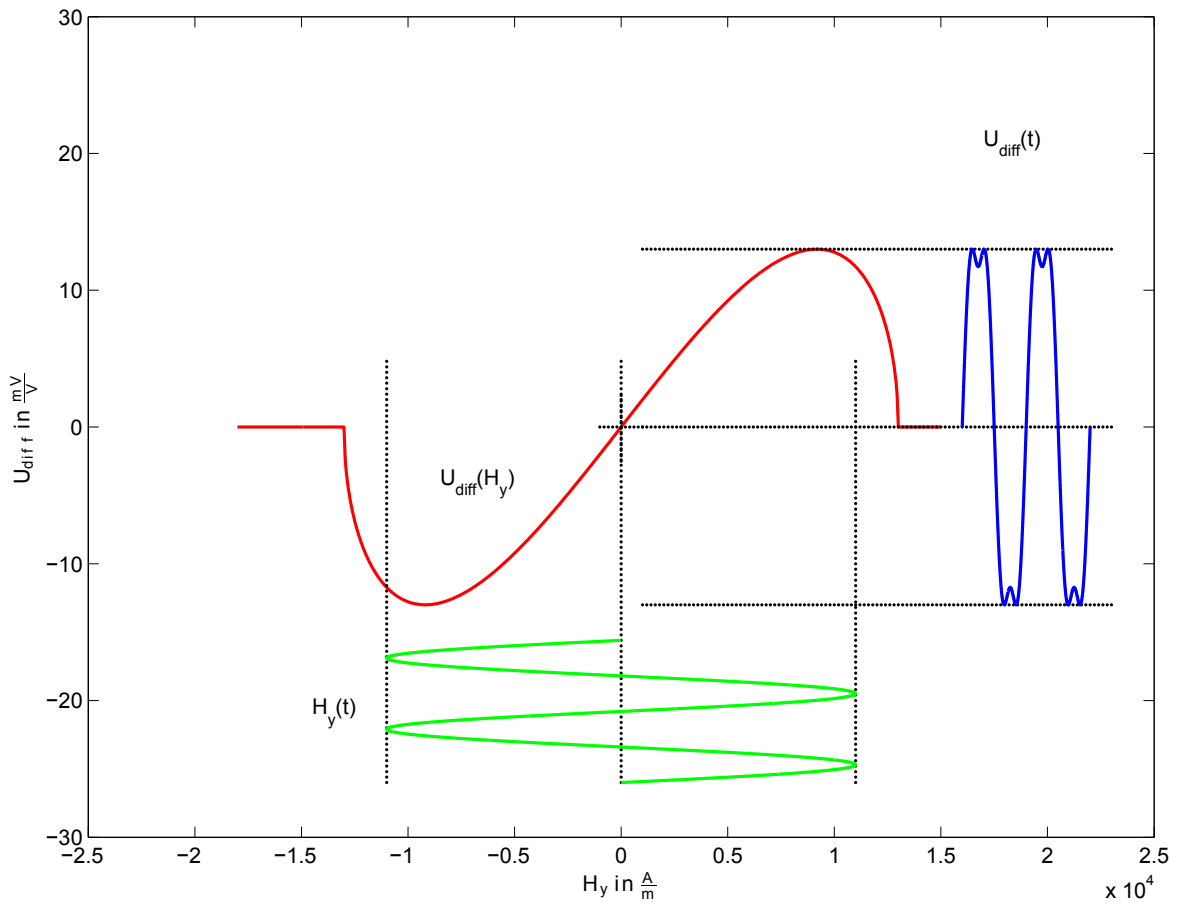


Abbildung 2.6.: Linearisierte magnetisch-elektrische Kennlinie des AMR-Sensorchips, mit einer Aussteuerung stärker als der näherungsweise lineare Bereich, nach der Theorie lt. Dibbern[7]

Ist der Sensor mit dem vorgegebenen Abstand zum Encoderrad eingebaut, ändert sich die Feldstärke hingegen nicht so stark und die Amplitude der Ausgangsspannung ist kleiner. Wie in Abbildung 2.7 zu sehen ist, kann die Kennlinie als nahezu linear angesehen werden und das Signal wird nicht oder nur leicht verzerrt.

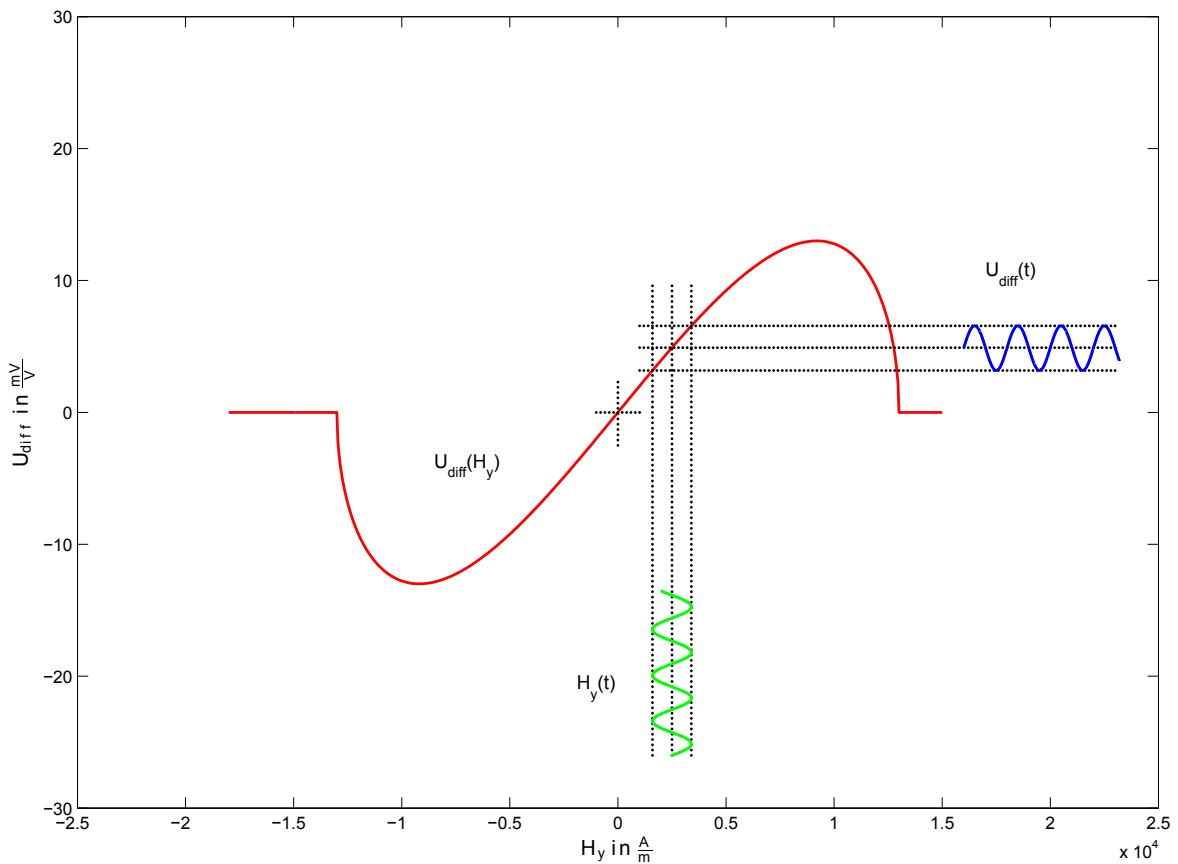


Abbildung 2.7.: Linearisierte magnetisch-elektrische Kennlinie des AMR-Sensorchip, mit einer Aussteuerung im näherungsweise linearen Bereich, nach der Theorie lt. Dibbern [7]

## 2.2. Begriffsdefinition und Spezifikation des Radmessplatzes

### 2.2.1. Begriffsdefinition

Der Radmessplatz ist im Rahmen der Diplomarbeit Jegenhorst [7] entstanden. Mit Hilfe des Messplatzes ist es möglich, die Veränderung des Klirrfaktors in Abhängigkeit von der Entfernung zwischen Encoderrad und Sensor zu untersuchen. Die Messdaten, die mit diesem Radmessplatz aufgenommen wurden, sind Voraussetzung für diese Arbeit. Die Schätzung der Harmonischen, sowie die Sensordiagnosefunktionen wurden mit Hilfe eines Mikrocontrollers der MSP430-Familie durchgeführt. Zur Kontrolle wurde das Ausgangssignal



parallel zur Auswertung auf der Mikrocontrollerplattform mit einem Speicheroszilloskop DPO4054 von Tektronix mit identischer Vorverstärkung aufgezeichnet.

### 2.2.2. Spezifikationen

Für den Radmessplatz wurden Spezifikationen festgelegt, diese sind im folgenden dargestellt:

Für alle Messungen, die dieser Arbeit zugrunde liegen, wird ein passives Encoderrad mit 50 Zähnen verwendet.

Die Messungen werden bei einer Zahnfrequenz  $f_z$  von 107 Hz durchgeführt. Daraus folgt, dass sich das Encoderrad mit einer Drehfrequenz  $f_d = \frac{107}{50} = 2,14\text{Hz}$  dreht. Daraus ergibt sich eine Zeit, die vergeht, während sich das Rad um eine Umdrehung weiter dreht, von  $T_d = \frac{1}{f_D} = \frac{1}{2,14\text{Hz}} = 0,47\text{s}$ .

Die Aufnahme der Messwerte erfolgt mit dem integrierten 12 Bit Analog-Digital-Umsetzer. Durch einen Vorverstärker ist gewährleistet, dass dieser immer ausreichend angesteuert ist. Nähere Informationen sind aus [7] zu entnehmen. Es werden 64 Abtastwerte pro Periode des Ausgangssignals des Sensors aufgenommen. Für eine Periodendauer von  $T_z = \frac{1}{107\text{Hz}} = 9,3\text{ms}$  ergibt sich eine erforderliche Abtastfrequenz von  $T_A = 64 \cdot 107\text{Hz} = 6,848\text{kHz}$ . Da diese Abtastzeit nicht realisierbar ist, wird eine Unterabtastung verwendet. Die Funktionsweise der Abtastung ist in Abbildung 2.8 dargestellt.

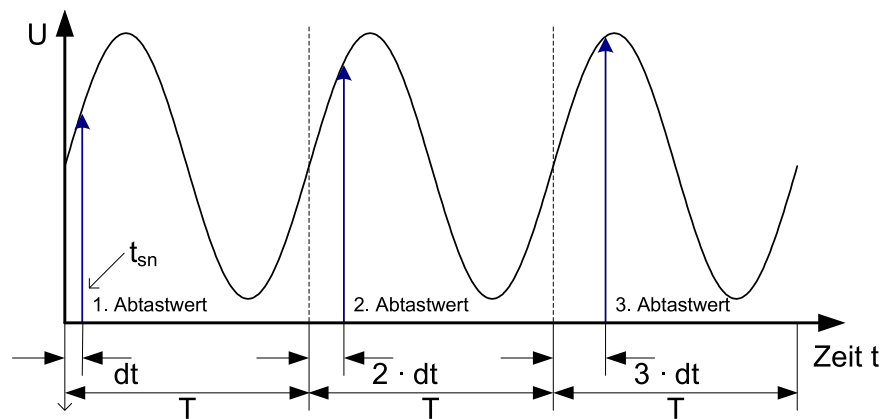


Abbildung 2.8.: Prinzip der sequenziellen Abtastung [7]

Nähere Informationen können aus [7] entnommen werden. Dabei wird alle 6-7 Perioden ein Wert aufgenommen. Daraus ergibt sich, dass insgesamt etwa 400 Perioden berücksichtigt werden. Es wird zudem angenommen, dass während der Aufnahme der Daten die Frequenz, sowie die Amplitude konstant sind.

Die Berechnung der diskreten Fouriertransformation wird mit einer Sinus- und einer Kosinus-Tabelle durchgeführt, die mit einer Auflösung von 10 Bit in dem Programmspeicher des Mikrocontrollers abgelegt sind. Der Klirrfaktor wird im Speicher des Mikrocontrollers als Look-Up-Tabelle mit 256 Werten und einer Wortbreite von 8 Bit zur Verfügung gestellt.

Das Ausgangssignal des Sensors wird mit dem Oszilloskop vier Sekunden lang aufgezeichnet. Die Aufzeichnung der Daten erfolgt mit einer Samplingrate von 250 k/Samples pro Sekunde. Daraus ergibt sich, dass in vier Sekunden 1 Million Samples aufgenommen worden sind, das entspricht einer Abtastfrequenz  $f_s = 250\text{kHz}$ . Die Auflösung des Oszilloskops beträgt 8 Bit. Davon sind allerdings nur sieben Bit verlässlich, da das letzte Bit vom Rauschen bestimmt wird.

## 3. Analyse und Aufbereitung der verfügbaren Messdaten

### 3.1. Verfügbare Messdaten

Im diesem Kapitel sollen die Messdaten, die von Herrn Jegenhorst im Rahmen seiner Diplomarbeit [7] aufgenommen wurden, analysiert und für die Verwendung in dieser Arbeit aufbereitet werden. Ziel dieses Kapitels ist es, die analysierten Daten zu reduzieren und durch fehlende Informationen zu ergänzen, um diese später in einer neuen Datenstruktur abspeichern zu können.

Die verwendeten Messdaten nehmen auf der Festplatte viel Speicherplatz ein, sodass sie in typischerweise acht Dateien abgelegt worden sind. Es bestehen zwei Datenstrukturen. In der ersten Datenstruktur mit dem Namen „measure\_demo“ sind, die vom Demonstrator ermittelten Daten enthalten. In der zweiten Datenstruktur mit dem Namen „measure\_scope“ sind die Kontrollmessungen mit dem Oszilloskop enthalten. In der ersten Datei ist noch eine weitere Struktur mit dem Namen „parameters“ abgelegt. In dieser Struktur ist angegeben, bei welcher Distanz eine Messung beginnen und enden soll und wie groß die Entfernung zwischen zwei Messungen sein darf. Außerdem sind noch die Umschaltpunkte des internen Vorverstärkers sowie die Abtastrate des Oszilloskops enthalten. Da diese Struktur für die Simulation sehr wichtige Daten enthält, ist sie in dieser Arbeit verwendet und zusammen mit der neuen Datenstruktur abgespeichert worden.

Aus der Datenstruktur „measure\_demo“ sind das Eingangssignal „u\_diff“, die Distanz zwischen Sensor und Encoderrad „distance“, der Verstärkungsfaktor des Vorverstärkers „gain“, die vom Mikrocontroller berechneten Beträge der ersten bis fünften Harmonischen „mag“ sowie der vom Mikrocontroller berechnete Klirrfaktor „hd\_lut“ entnommen worden. Die anderen Variablen sind für die Simulation nicht relevant oder werden während der Simulation neu berechnet.

Aus der Struktur „measure\_scope“ sind die Distanz zwischen Sensor und Encoderrad „distance“ sowie ein Teil des gemessenen Signals „u\_diff\_y“ übernommen worden.

## 3.2. Aufbereitung der Oszilloskopdaten

Damit die Annäherung des Oszilloskopsignals durch eine Fourierreihe zu korrekten Ergebnissen führt, ist es wichtig, möglichst genau die Nulldurchgänge des Signals und damit die Periode zu erkennen. Dadurch soll erreicht werden, dass das herausgetrennte Signal möglichst aus ganzen Perioden besteht, um das Entstehen von Leck-Effekten zu vermeiden. Im Gegensatz zu den vorhandenen Scripten aus [7] ist hier auf die Verwendung des Referenzsensors verzichtet worden, da die beiden Sensoren offensichtlich eine verschiedene Periodendauer ermitteln, und somit die letzte Periode des Signals unvollständig enthalten ist. In Abbildung 3.1 ist ein Ausschnitt des Oszilloskopsignals, das mit dem Programm „rmp\_stepper\_scope\_record\_analyze\_tekdata“, welches in [7] enthalten ist, erzeugt worden.

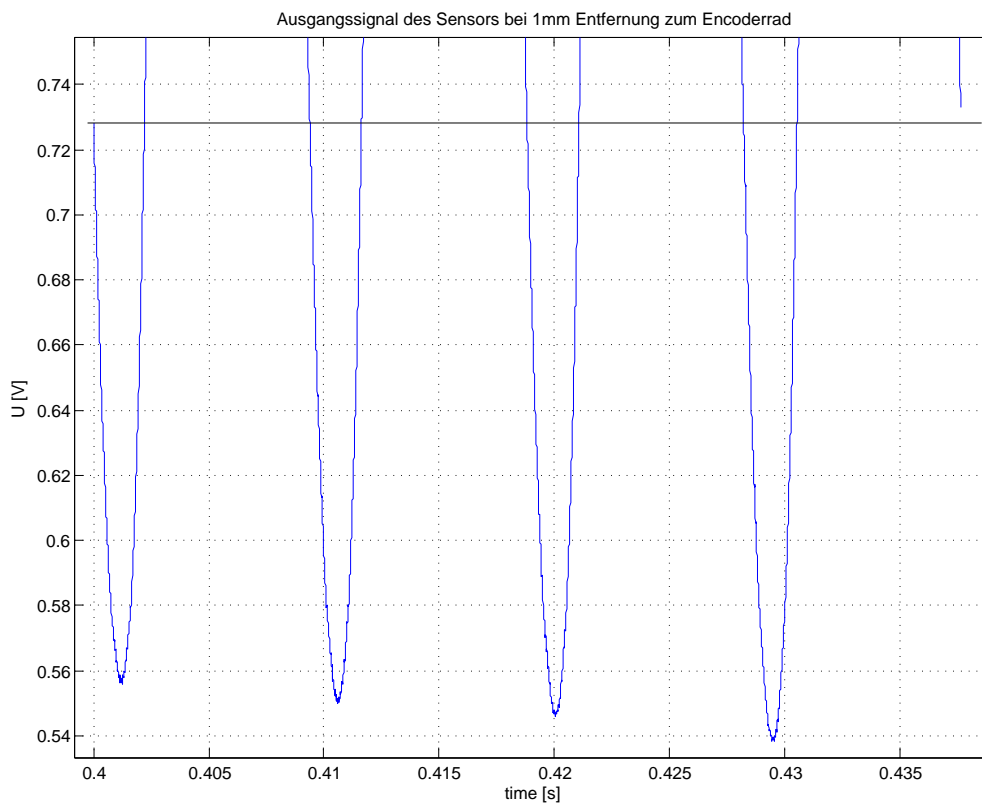


Abbildung 3.1.: Signal dessen Nulldurchgänge mit dem Referenzsensor detektiert worden sind

Dieses Problem soll in dieser Arbeit vermieden werden, deshalb ist es zuerst kopiert und dann gefiltert worden. Dann ist aus dem gemessenen Signal mit dem Befehl: `ref = sign(c1 - mean(c1))` das Referenzsignal erzeugt worden. Für die Erkennung der Nulldurchgänge ist das vorhandene Softwarekonzept übernommen worden. Die

Nulldurchgänge können durch diese Maßnahme, wie in Abbildung 3.2 zu sehen ist, besser erkannt werden.

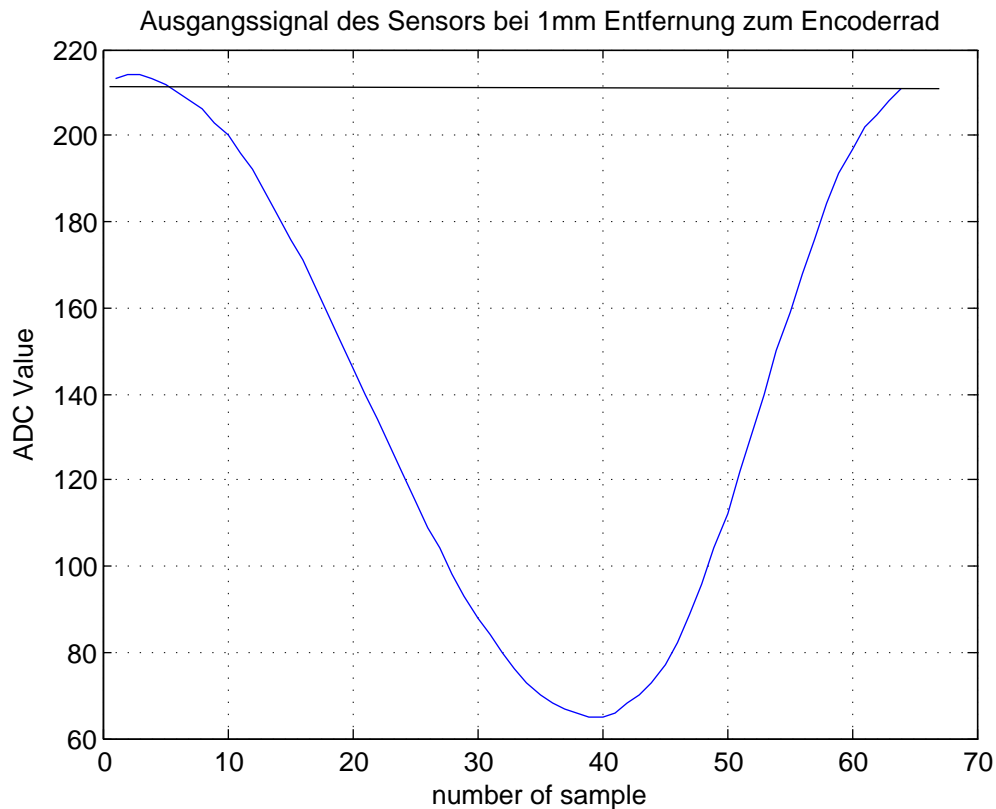


Abbildung 3.2.: Signal dessen Nulldurchgänge mit dem selbst erstelltem Referenzsignal detektiert worden sind

### 3.3. Approximation des gemessenen Signals

#### 3.3.1. Idee zur Berechnung des approximierten Signals

Die gemessenen Signale, die meistens über mehrere Perioden aufgenommen worden sind, sollen für die Simulation auf eine Periode reduziert werden. Dafür ist eine Fouriertransformation über alle aufgenommenen Perioden durchgeführt worden. Danach ist aus den Fourierkoeffizienten eine Fourierreihe aufgestellt worden, die sich dem gemessenen Signal möglichst gut annähern soll. Wenn zum Beispiel ein Signal über zwei Perioden aufgenommen worden ist und von diesem Signal das Spektrum berechnet wird, ist zu erwarten, dass jeder zweite Fourierkoeffizient Null ist. Wenn das Signal zum Beispiel durch 10 Harmonische beschrieben worden ist, bedeutet das, dass die ersten 20 Fourierkoeffizienten berücksichtigt

werden müssen, da nur jeder zweite Fourierkoeffizient eine Harmonische des Signal darstellt. Die Approximation des gemessenen Signals ist in zwei Teile aufgeteilt worden. Im ersten Schritt soll während der Aufbereitung der Messdaten eine Fouriertransformation durchgeführt und daraus die Fourierkoeffizienten bestimmt werden. Bei der Durchführung der Simulation soll dann das gemessene Signal unter Berücksichtigung der Fourierkoeffizienten durch eine Fourierreihe angenähert werden. Diese Aufteilung ist eingeführt worden, da die Anzahl der Samples pro Periode zu diesem Zeitpunkt noch nicht bekannt ist.

### 3.3.2. Mathematische Herleitung

In diesem Abschnitt ist die mathematische Herleitung zu dem Lösungsansatz aus dem vorherigen Kapitel dargestellt. Bevor ein Signal aus den Messdaten errechnet werden kann, müssen zunächst die komplexen Fourierkoeffizienten  $\underline{S}_k$  mit Hilfe der diskreten Fouriertransformation (DFT) bestimmt werden. Diese kann für ein Signal  $s$ , das aus einer geraden Anzahl von Samples  $M$  besteht, mit folgender Formel berechnet werden:

$$\underline{S}_k = \frac{1}{M} \sum_{n=0}^{M-1} s[n] \cdot e^{-j \frac{2\pi kn}{M}} \quad (3.1)$$

Danach soll das Signal mit Hilfe der Fourierreihe mit einer bestimmten Anzahl von harmonischen Schwingungen approximiert werden, damit die Signale für eventuelle spätere Untersuchungen reproduzierbar sind. Die allgemeine Form einer komplexen Fourierreihe, die das zeitkontinuierliche Signal  $s$  mit  $K = \frac{M}{2}$  Harmonischen annähert, lautet wie folgt:

$$s[n] = \sum_{k=-K}^{K-1} S_k \cdot e^{j \frac{2\pi kn}{2 \cdot K}} \quad (3.2)$$

Da es sich bei dem gemessenen Signal um ein reelles Signal handelt, gelten für das Spektrum folgende Symmetrieeigenschaften:

$$\underline{S}_k = \underline{S}_{-k}^*$$

für periodische Signale sind außerdem folgende Aussagen möglich:

$$\begin{aligned} \underline{S}_{-k} &= \underline{S}_{M-k} \\ \underline{S}_k &= \underline{S}_{M-k}^* \end{aligned}$$

Diese Beziehungen lassen sich einfach beweisen. Der Beweis kann im Anhang A.1 nachgelesen werden. Werden diese Eigenschaften in der Gleichung berücksichtigt, ergibt sich folgender Ausdruck:

$$s[n] = S_0 + \sum_{k=1}^{K-1} \left[ \underline{S}_{-k} \cdot e^{-j\frac{2\pi kn}{2 \cdot K}} + \underline{S}_k \cdot e^{j\frac{2\pi kn}{2 \cdot K}} \right] \quad (3.3)$$

Werden  $\underline{S}_k$  sowie  $\underline{S}_{-k}$  durch folgende Ausdrücke ersetzt, ergibt sich folgender Ausdruck:

$$\underline{S}_k = |S_k| \cdot e^{-j\varphi_k}$$

$$\underline{S}_{-k} = |S_k| \cdot e^{j\varphi_k}$$

lässt sich die Gleichung 3.3 wie folgt umschreiben:

$$s[n] = S_0 + \sum_{k=1}^{K-1} \left[ |S_k| \cdot e^{j\varphi_k} \cdot e^{j\frac{2\pi kn}{2 \cdot K}} + |S_k| \cdot e^{-j\varphi_k} \cdot e^{-j\frac{2\pi kn}{2 \cdot K}} \right] \quad (3.4)$$

mit  $\cos(\omega T + \varphi) = \frac{1}{2} (e^{j\omega T + \varphi} + e^{-j\omega T + \varphi})$  lässt sich die Formel weiter zusammenfassen. Wird zudem noch ein Parameter für die Amplitude der Harmonischen  $A_k = 2 \cdot |S_k|$  eingeführt, von denen nur  $N$  für die Berechnung der Fourierreihe berücksichtigt werden soll, ergibt sich folgender Ausdruck:

$$s_{app} = X_0 + \sum_{k=1}^N A_k \cdot \cos(2\pi n + \varphi) \quad \text{für} \quad N \leq K - 1 \quad (3.5)$$

An dieser Stelle ist es wichtig, darauf zu achten, dass folgende Beziehung gilt:  $N \leq K - 1$ . So kann sichergestellt werden, dass die halbe Abtastfrequenz nicht enthalten ist. In der Formel 3.5 ist noch nicht berücksichtigt, über wie viele Perioden  $p$  das Signal aufgenommen wurde. Wenn das noch berücksichtigt wird, erhält man folgenden Ausdruck:

$$s = X_0 + \sum_{k=1}^N A_k \cdot \cos\left(\frac{2\pi kn}{p} + \varphi\right) \quad \text{für} \quad N < K \quad (3.6)$$

Das ist nötig, da zu Beginn davon ausgegangen wurde, dass die Fourierkoeffizienten über eine Periode bestimmt worden sind. Wenn allerdings die Fourierkoeffizienten über  $P$  Perioden bestimmt werden, sind im idealen Fall nur alle  $n \cdot P$  Koeffizienten ungleich Null. Wenn  $N$  Harmonische berechnet werden sollen, muss die Ober Grenze der Summe mit  $P$  multipliziert werden, sodass sich  $N \cdot P$  ergibt.

$$s = X_0 + \sum_{k=1}^{N \cdot P} A_k \cdot \cos\left(\frac{2\pi kn}{P} + \varphi\right) \quad (3.7)$$

### 3.3.3. Abschätzung der Qualität der Ergebnisse

Um die Qualität der Approximation des Signals bewerten zu können, muss die Leistung der nicht berücksichtigten Oberschwingungen  $P_{ob}$  berechnet werden. Da die Fourierkoeffizienten bereits für die Berechnung des approximierten Signals ermittelt worden sind, können diese schon verwendet werden. Allgemein ergibt sich für  $K$  errechnete Amplituden der Oberschwingungen  $A_k$  und  $N$  für das Signal berücksichtigte Harmonische, folgende Formel:

$$P_{ob} = \frac{1}{2 \cdot (K - 1)} \cdot \sum_{k=N+1}^{K-1} A_k^2 \quad (3.8)$$

Zur Kontrolle der Leistung der nicht berücksichtigten Schwingungen  $P_{harm}$  ist die Leistung der berücksichtigten Harmonischen bestimmt worden. Die Formel lässt sich für  $K$  errechnete Amplituden  $A_k$  und  $N$  berücksichtigte Harmonische wie folgt aufstellen:

$$P_{harm} = \frac{1}{2 \cdot (K - 1)} \cdot \sum_{k=1}^N A_k^2 \quad (3.9)$$

Die Summe von  $P_{harm}$  und  $P_{ob}$  muss somit der Leistung des gleichanteilfreien Signals  $P_{ges}$  entsprechen.

## 3.4. Bereitstellung der Simulationsdaten

Für die Berechnung der im Verlauf des Kapitel dargestellten Parameter ist ein Matlab-Skript mit dem Namen „prepare\_measurements“ entwickelt worden. Bei der Ausführung des Skripts wird der Benutzer aufgefordert, die Anzahl der Harmonischen anzugeben, mit denen das Ausgangssignal des Sensors approximiert werden soll, sowie die Anzahl der Perioden, über die aus den Oszilloskopdaten eine Fouriertransformation errechnet werden soll. Das Oszilloskopsignal wird ebenfalls auf die eingegebene Anzahl der Perioden reduziert und in der Datenstruktur abgelegt. Die maximal mögliche Eingabe ist an dieser Stelle 100. Die Bedeutung des Parameters mag zwar an dieser Stelle etwas schwierig zu verstehen sein, wird aber im Verlauf dieser Arbeit noch erläutert werden.

Die neu berechneten Variablen werden zusammen mit einigen alten Variablen in einer



Datenstruktur mit dem Namen „data“ gespeichert. Im Gegensatz zu der bisherigen Datenstruktur aus [7] sind jetzt Messergebnisse vom Radmessplatz als auch die mit dem Oszilloskop aufgezeichneten Daten in der Datenstruktur enthalten.

Die Datenstruktur wird in das Verzeichnis der jeweiligen Messreihe unter dem Namen „Name der Messreihe\_for\_simulation.mat“ abgespeichert. Für eine Messreihe mit dem Namen „2009\_10\_07\_rmp\_01“ lautet der Dateiname beispielsweise „2009\_10\_07\_rmp\_01\_for\_simulation.mat“. In der Tabelle 3.1 werden die in der Datenstruktur beschriebenen Variablen und deren Bedeutung erklärt.

Name der Komponenten	Beschreibung
measure_rmp	In dieser Datenstruktur sind die Daten enthalten, die mit dem Demonstrator aufgenommen wurden. Eine Beschreibung ist in Tabelle 3.2 zu finden
measure_scope	In dieser Datenstruktur sind die Daten enthalten, die zu Vergleichszwecken mit dem Oszilloskop aufgenommen wurden. Eine Beschreibung ist in Tabelle 3.3 zu finden
gain	In dieser Variable ist der Verstärkungsfaktor des Vorverstärkers abgelegt. Dieser ist in den Datenstrukturen „measure_rmp“ und „measure_scope“ noch nicht berücksichtigt und muss zur korrekten Darstellung der Signale aus den Messungen heraus gerechnet werden.
N	Anzahl der Koeffizienten, die nicht zu Null gesetzt werden.
shift_factor	Diese Variable enthält den Schiebefaktor, um die Verstärkerstufen der Hardware heraus zu rechnen. Dieser berechnet sich wie folgt: $\text{shift\_factor} = \log_2(\text{gain})$ .
distance	Hier ist die Entfernung in Millimeter zwischen Sensor und Encoderrad bei der jeweiligen Messung enthalten.

Tabelle 3.1.: Beschreibung der ersten Ebene der Datenstruktur

<b>Name der Komponenten</b>	<b>Beschreibung</b>
u_diff	Die gemessene Differenzspannung der AMR Brücke über 2 Perioden mit 64 Werten pro Periode. Dieses Feld ist den vorhandenen Messreihen entnommen.
coefficients	Berechnung der Koeffizienten mit Hilfe der Matlab Funktion fft() über 2 Perioden. Der Gleichanteil des Signals wird durch den ersten Koeffizienten repräsentiert.
P_harm	In dieser Variablen wird die Leistung der zu Approximation des Signals berücksichtigten Harmonischen hinterlegt.
P_ob	Hier wird die Leistung der zu Approximation des Signals nicht berücksichtigten Harmonischen hinterlegt.
hd_lut	Klirrfaktor in Prozent, mit Hilfe der Wurzel-Tabelle berechnet. Dieser Wert wird aus der vorhandenen Datenstruktur übernommen.
mag	Beträge der ersten bis fünften Harmonischen zum Vergleich. Diese Daten sind ebenfalls aus der vorhandenen Datenstruktur übernommen worden.
periodes	Anzahl der Perioden, über die die Samples in dem Vektor u_diff enthalten sind.

Tabelle 3.2.: Beschreibung der Datenstruktur „measure\_rmp“

<b>Name der Komponenten</b>	<b>Beschreibung</b>
u_diff	Die gemessene Differenzspannung der AMR Brücke, aufgenommen mit einer Abtastfrequenz von 250 kHz über eine einstellbare Anzahl von Perioden
coefficients	Berechnung der Koeffizienten mit Hilfe der Matlab Funktion fft() unter Verwendung von u_diff. Die Anzahl der Koeffizienten ist in der Variable N enthalten.
P_harm	In dieser Variablen wird die Leistung der zu Approximation des Signals berücksichtigten Harmonischen Schwingungen hinterlegt.
P_ob	Hier wird die Leistung der zu Approximation des Signals nicht berücksichtigten harmonischen Schwingungen hinterlegt.
periodes	Anzahl der Perioden, über die die Samples in dem Vektor u_diff enthalten sind.

Tabelle 3.3.: Beschreibung der Datenstruktur „measure\_scope“

## **4. Nachbildung der Festkommaarithmetik in Matlab**

### **4.1. Einführung**

In diesem Kapitel soll ein Konzept vorgestellt werden, das einen Lösungsweg aufzeigt, die Festkommaberechnungen mit Matlab nachzubilden. Das ist erforderlich, da bei der Realisierung des Radmessplatzes ein Mikrocontroller der MSP430-Familie ausgewählt worden ist, der intern keine Gleitkommawerte verarbeiten kann.

Damit solche Software- oder auch Hardwarekomponenten mit Matlab simuliert oder auch nachgebildet werden können, ist in den Matlab-Versionen ab R14 die Fixed-Point-Toolbox enthalten. In dieser Arbeit wird mit der Version V2.3, die in der Matlab Version R2008a enthalten ist, gearbeitet. Mit ihr ist es unter anderem möglich, Festkomma-Datentypen mit Wortlängen von maximal 65.535 Bit zu definieren, Einstellungen zur Ausführung der Fixed-Point-Arithmetik lokal und global vorzunehmen, sowie logische und bitorientierte Operatoren zu verwenden. Eine kurze Beschreibung der Fixed-Point-Toolbox ist im Anhang B.1 angefügt.

### **4.2. Nachbildung des MSP430 Hardware Multiplizierers**

Für die Berechnung des Klirrfaktors in dem Simulationsprogramm ist der Hardware-Multiplizierer vorgesehen worden. Bei dem Hardware-Multiplizierer handelt es sich um eine Peripherie-Einheit des MSP430, die sich außerhalb der CPU befindet. Er ist unter anderem in dem Mikrocontroller des Typs MSP430x1611 vorhanden.

Die Funktionsweise des Hardware-Multiplizierers kann in dem „Applikation-Report“ [2] nachgelesen werden. Die Wortbreiten der Register sind dem Blockschaltbild des Hardware-Multiplizierers entnommen worden, das in Abbildung 4.1 dargestellt ist.

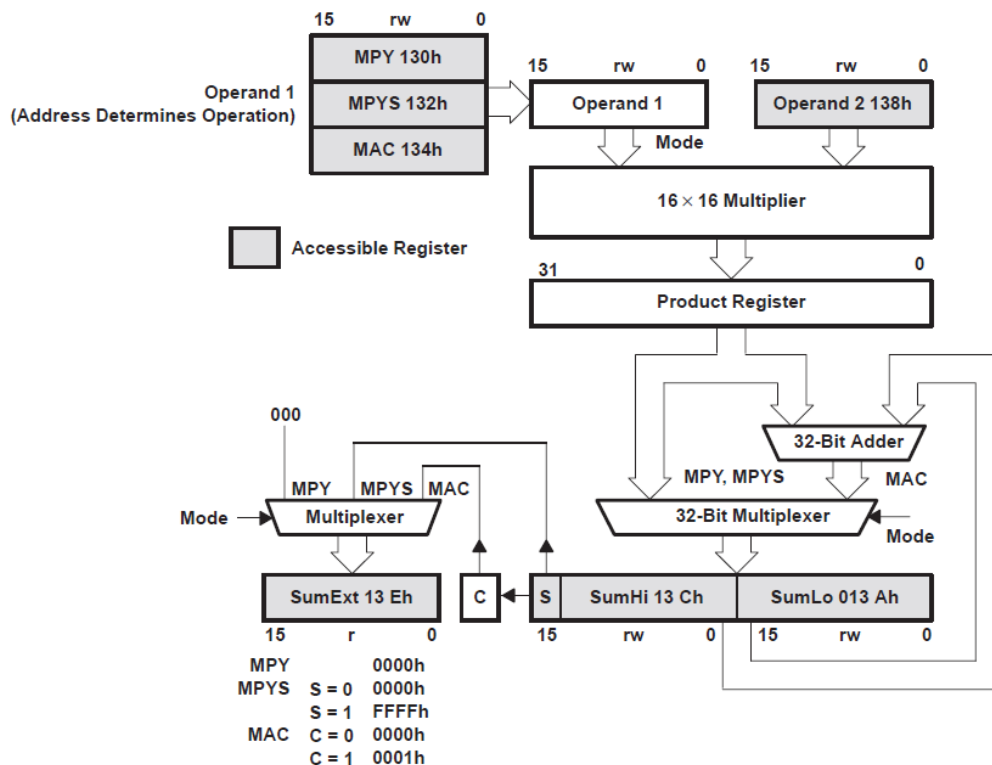


Abbildung 4.1.: Blockschaltbild des Hardware Multiplizierers des MSP430 [2]

Für die automatisierte Wortbreitenbegrenzung in Matlab eignet sich am besten das „fimath-Objekt“. Wie in der Abbildung 4.1 zu sehen ist, können mit dem Hardware-Multiplizierer zwei 16-Bit-Variablen multipliziert werden. Das Ergebnis der Multiplikation ist 32 Bit breit und wird im „Product Register“ zur Verfügung gestellt. Diese kann entweder mit dem Wert des Ergebnis-Registers addiert werden oder direkt in das Ausgaberegister geschrieben werden, das eine Länge von 32 Bit aufweist. Der Inhalt des „Product Register“ kann entweder in das Ausgaberegister geschrieben werden, oder es besteht die Möglichkeit eine Summe über mehrere Multiplikationsergebnisse mit dem internen Addierer zu berechnen. Wenn Nachkommastellen benötigt werden, soll die Berechnung dafür durch richtige Skalierung der Werte erfolgen. Den bestimmten Datentypen sollen jedoch keine feste Anzahl von Nachkommastellen zugeordnet werden. Deshalb wird der Parameter „FractionLength“ zu Null gesetzt. Der Overflow-Modus ist auf „wrap“ gesetzt worden, da das dem Überlaufverhalten einer Variablen in einem C-Programm entspricht. Falls ein Wert zu groß ist, um ihn in ein 16-Bit-Register zu schreiben, muss dieser geschoben werden. Das entspricht immer einem Abrunden des Wertes; deshalb ist die Eigenschaft RoundMode auf „floor“ gesetzt. Aus den eben beschriebenen Bedingungen kann folgendes „fimath-Objekt“ erstellt werden:

```
F = fimath;
```

```

F.ProductMode           = 'KeepLSB' ;
F.ProductWordLength     = 32;
F.MaxProductWordLength  = 32;
F.ProductFractionLength = 0;
F.SumMode               = 'KeepLSB' ;
F.SumWordLength         = 32;
F.SumFractionLength     = 0;
F.OverflowMode          = 'wrap' ;
F.RoundMode             = 'floor' ;
F.CastBeforeSum         = false;

```

### 4.3. Nachbildung der verwendeten Datentypen

Damit in der Simulation die Standarddatentypen wie zum Beispiel char, long und short verwendet werden können, müssen dafür zunächst numerictype Objekte angelegt werden. Diese sind ganzzahlig also ohne Nachkommastellen definiert worden. In Tabelle 4.1 sind die nachgebildeten Datentypen dargestellt:

Datentyp	Vorzeichen	Wortbreite	Nachkommastellen
long	ja	32	0
long64	ja	64	0
short	ja	16	0
char	ja	8	0

Tabelle 4.1.: Übersicht der implementierten Datentypen

Vorzeichenlose Datentypen sind nicht nachgebildet, da diese in der Simulation keine Anwendung finden, da die Zwischenergebnisse vorzeichenbehaftet sind.

Außerdem sind noch drei spezielle Datentypen, die nicht in Programmiersprachen bekannt sind, definiert worden. Das ist zum einen der 24-Bit-Datentyp „bit24“, der zur Reduzierung der Wortbreiten der Register benötigt wird. Der zweite Datentyp ist der einzige vorzeichenlose Datentyp mit der Bezeichnung t\_ADC, dessen Breite eingestellt werden kann. Er beinhaltet die simulierten Samplewerte, die auf der Plattform mit dem internen ADC erfasst werden. Der dritte Datentyp hat den Namen t\_LUT. Von diesem Datentyp sind die Sinus- und Kosinus-Tabellen für die Berechnung der DFT abgelegt. Die Datentypen sind angelegt worden, um die Warnfunktion der Fixed-Point-Toolbox auszunutzen, die eventuelle Überläufe beim Füllen der Wertetabellen sowie bei der Berechnung der Samplewerte signalisiert. Eine Übersicht über die besonderen Datentypen bietet Tabelle 4.2:

Datentyp	Vorzeichen	Wortbreite	Nachkommastellen
bit24	ja	24	0
tADC	nein	einstellbar	0
tLUT	ja	einstellbar	0

Tabelle 4.2.: Übersicht der besonderen Datentypen

#### 4.4. Definition der Datentypen in Matlab

Die Verwendung der Fixed-Point-Toolbox ist mit vielen Einstellungen verbunden, die in jeder Funktion, in der die Fixed-Point-Variablen verwendet werden sollen, vorgenommen werden müssen. Um die Datentypen und definierten arithmetischen Eigenschaften global definieren zu können, ist eine Funktion entwickelt worden, die Datentypen in einer Struktur zur Verfügung stellt. Der Aufbau der Struktur und die Bedeutung der einzelnen Strukturelemente ist in Tabelle 4.3 dargestellt:

Name der Komponenten	Beschreibung
Properties	In dieser Fixed-Point Struktur sind die Eigenschaften eines Fixed-Point-Objekts zur möglichst guten Nachbildung der Recheneinheit festgelegt.
long	numerictype Objekt für den Datentyp long
long64	numerictype Objekt für den Datentyp long64
bit24	numerictype Objekt für den Datentyp bit24
short	numerictype Objekt für den Datentyp short
char	numerictype Objekt für den Datentyp char
tADC	numerictype Objekt für die Nachbildung des Analog Digital Umsetzers
tLUT	numerictype Objekt Nachbildung des Real und Imaginärteils eines Zeigers für die DFT Berechnung
N_LUT	Wortbreite des Datentypes tLUT
N_ADC	Wortbreite des Datentypes tADC

Tabelle 4.3.: Beschreibung der Rückgabestruktur der Funktion „define\_Types“

Für den Datentyp t\_LUT wird intern zusätzlich ein Vorzeichenbit generiert, da im Gegensatz zu der Implementierung aus [7] eine ganze Periode eines Sinus bzw. eines Kosinus hinterlegt ist. Damit die Simulationsergebnisse mit den Messergebnissen des Radmessplatzes vergleichbar sind, muss das Vorzeichenbit für die negative Halbwellen hinzugefügt werden. Bei

einer Auflösung der Sinus- und Kosinus Tabelle von 10 Bit, wie sie bei der Demonstrator-Software verwendet worden ist, wird ein 11-Bit-Datentyp erzeugt, in dem 10 Bit für die Daten und ein Bit für das Vorzeichen verwendet wird.

Diese Implementierung ist gewählt worden, da in jedem beliebigen Programm einfach Fixed-Point-Datentypen erstellt werden können. Soll an einem Datentypen eine Änderung vorgenommen werden, muss der Quellcode nur in der Funktion `define_Types` geändert werden. Dadurch wird vermieden, dass in einer Funktion die Änderungen nicht eingepflegt werden und es deshalb zu fehlerhaften Ergebnissen kommt. Der wesentliche Grund ist allerdings, dass wenig Code geschrieben werden muss um zum Beispiel eine Variable *d* vom Datentyp „short“ und mit Null initialisiert zu erstellen. In dem kleinen Beispielprogramm ist eine Lösung für dieses Problem dargestellt:

```
fix = define_Types;  
d = fi(0, fix.short, fix.Properties);
```

Wenn die Datentypen `t_ADC` und `t_LUT` jeweils mit einer Auflösung von zehn Bit verwendet werden sollen, kann ein Beispielprogramm so aussehen:

```
fix = define_Types(10, 10);  
e = fi(0, fix.t_ADC, fix.Properties);  
f = fi(0, fix.t_LUT, fix.Properties);
```

Mit diesen Variablen lassen sich alle arithmetischen Operationen, wie zum Beispiel die Multiplikation und die Addition wie bei Verwendung der Gleitkomma-Arithmetik ausführen.



# 5. Implementierung der Klirrfaktorberechnung

## 5.1. Einleitung

In diesem Kapitel sollen zwei verschiedene Verfahren zur Ermittlung des Klirrfaktors vorgestellt werden. Diese sollen dann unter Berücksichtigung der Ergebnisse des letzten Kapitels in einem Matlab Programm unter Verwendung von Variablen mit begrenzter Wortbreite berechnet werden. In diesem Zusammenhang müssen eventuelle Überläufe bzw. Leerläufe der Variablen beachtet werden. Das Ziel des Kapitels soll sein, dass das Programm den Klirrfaktor mit begrenzter Wortbreite und geringem Aufwand möglichst genau ermitteln kann.

## 5.2. Berechnung des Klirrfaktors

In diesem Abschnitt soll das Problem zunächst mathematisch untersucht werden und verschiedene Berechnungsmethoden ausgewählt und bewertet werden.

Die erste Berechnungsmethode ergibt sich unmittelbar aus der Definition des Klirrfaktors. Als Klirrfaktor wird „das Verhältnis der Oberwellen zur Grundwelle“ [9] bezeichnet. Das kann mathematisch durch folgende Formel ausgedrückt werden:

$$k = \sqrt{\frac{\sum_{k=2}^{\infty} |A_k|^2}{\sum_{n=1}^{\infty} |A_k|^2}} \quad (5.1)$$

Die obere Grenze der Summe ist nur von theoretischer Bedeutung, da diese nicht erreicht werden kann. In der Regel wird für  $\infty$  eine endliche Zahl  $N$  eingesetzt. An dieser Stelle besteht die Gefahr, dass nicht alle relevanten Oberschwingungen berücksichtigt werden. Wenn die Zahl  $N$  wiederum sehr groß ist, kann die Berechnung bei Verwendung dieser Variante sehr viel Zeit in Anspruch nehmen. Im Rahmen der Arbeit Jegenhorst [7] ist abgeschätzt worden, dass fünf Harmonische zur Berechnung des Klirrfaktors ausreichend sind. In einem späteren Kapitel wird auf das nicht unerhebliche Auftreten der 7. und 8. Harmonischen eingegangen.

Mit der zweiten Variante wird versucht, die Abschätzung der relevanten Harmonischen zu umgehen. Durch Interpretation der Formel 5.1 ergibt sich, dass im Nenner des Bruches alle Harmonischen mit Ausnahme des Gleichanteils summiert werden. Aus den Grundlagen der Signal- und Systemtheorie ist zudem bekannt, dass die Summe der Betragsquadrate aller Fourierkoeffizienten, der Gesamtleistung des reellen Signals ohne Gleichanteil entspricht. Der entsprechende Nachweis ist im Anhang A.2 angefügt. Wird dieser Zusammenhang in der Gleichung 5.1 berücksichtigt, ergibt sich folgender Ausdruck:

$$THD = \sqrt{\frac{\sum_{n=2}^{\infty} A_k^2}{P_{ges}}} \quad (5.2)$$

Die Summe der Leistungen der Oberschwingungen  $P_{ob}$  kann auch als Differenz der Gesamtleistung  $P_{ges}$  und der Leistung der ersten Harmonischen  $P_1$  geschrieben werden:

$$P_{ob} = P_{ges} - P_1 \quad (5.3)$$

Wird das in die Formel 5.2 eingesetzt, ergibt sich folgende alternative Formel zur Klirrfaktorberechnung:

$$THD = \sqrt{\frac{P_{ges} - P_1}{P_{ges}}} \quad (5.4)$$

Wenn die Leistung der ersten Harmonischen mit Hilfe der Amplitude  $A_k$  bestimmt werden soll, muss die Leistung der Kosinus-Schwingung berücksichtigt werden, die  $\frac{1}{2}$  beträgt. Es ergibt sich dann folgender Ausdruck:

$$THD = \sqrt{\frac{P_{ges} - \frac{A_1^2}{2}}{P_{ges}}} = \sqrt{\frac{P_{ges} - 2 \cdot S_1}{P_{ges}}} \quad (5.5)$$

Beide Verfahren sollen in zwei unterschiedlichen Matlab-Funktionen implementiert werden.

Um die Verfahren besser auseinander zu halten, wird das erste Verfahren im Folgenden als „HD5-Methode“ (Gleichung 5.1) und das zweite Verfahren als „HDI-Methode“ (Gleichung 5.5) bezeichnet.

### 5.3. Implementierung der „HD5-Methode“

#### 5.3.1. Implementierung der diskreten Fouriertransformation

##### Einleitung

Für die Anwendung der HD5-Methode ist es erforderlich die diskrete Fouriertransformation zu berechnen. Die Berechnung soll in einer extra Funktion ausgeführt und die benötigten Betragsquadrate der Harmonischen übergeben werden. Die Harmonischen sollen, wie auch der Klirrfaktor mit reduzierter Wortbreite ermittelt werden.

Im ersten Teil sollen zunächst die mathematischen Grundlagen erläutert werden, um im nächsten Teil die Skalierung der Werte zu beschreiben. Dieses ist erforderlich, damit die Beträge möglichst genau ermittelt werden können.

##### Mathematische Grundlagen

Die allgemeine Formel zur Berechnung der diskreten Fouriertransformation lautet:

$$\underline{S}_k = \frac{1}{M} \sum_{n=0}^{M-1} s[n] \cdot e^{-j \frac{2\pi kn}{M}} \quad (5.6)$$

Diese Formel kann auch als Matrix ausgedrückt werden. Im Gegensatz zur Gleichung 5.6 soll der Vorfaktor zu  $\frac{1}{\sqrt{M}}$  gewählt werden. So wird erreicht, dass der Vorfaktor auf die Fouriertransformation und auf die inverse Fouriertransformation gleichmäßig aufgeteilt wird. Wird die Matrix für die Leistungsberechnung quadriert, wird der dann ebenfalls der Faktor  $\frac{1}{\sqrt{M}}$  berücksichtigt. Der Ausdruck sieht dann wie folgt aus:

$$\vec{S} = \frac{1}{\sqrt{M}} \cdot \begin{pmatrix} 1 & 1 & 1 & \dots & 1 \\ 1 & e^{-j \frac{2\pi 1}{M}} & e^{-j \frac{2\pi 2}{M}} & \dots & e^{-j \frac{2\pi 1n}{M}} \\ 1 & e^{-j \frac{2\pi 2}{M}} & e^{-j \frac{2\pi 4}{M}} & \dots & e^{-j \frac{2\pi 2n}{M}} \\ \vdots & \vdots & \vdots & \ddots & \vdots \\ 1 & e^{-j \frac{2\pi 1k}{M}} & e^{-j \frac{2\pi 2k}{M}} & \dots & e^{-j \frac{2\pi kn}{M}} \end{pmatrix} \cdot \vec{s} \quad (5.7)$$

Der Vorteil dieser Variante besteht darin, dass für eine Rücktransformation vom Frequenz- in den Zeitbereich die inverse Matrix  $F^{-1}$  gebildet werden muss.

Beim Aufstellen der Matrix stellt der Ausdruck  $e^{-j \frac{2\pi kn}{M}}$  ein Problem dar, weil es mit der Fixed-Point-Toolbox nicht möglich ist mit komplexen Größen zu arbeiten. Aus diesem Grund ist die Matrix in Real- und Imaginärteil aufgeteilt, sodass sich folgende Matrix ergibt:

$$\vec{S} = \frac{1}{\sqrt{M}} \left[ \begin{array}{c} \left( \begin{array}{cccccc} 1 & 1 & 1 & \dots & 1 \\ 1 & \cos(\frac{2\pi 1}{M}) & \cos(\frac{2\pi 2}{M}) & \dots & \cos(\frac{2\pi 1n}{M}) \\ 1 & \cos(\frac{2\pi 2}{M}) & \cos(\frac{2\pi 4}{M}) & \dots & \cos(\frac{2\pi 2n}{M}) \\ \vdots & \vdots & \vdots & \ddots & \vdots \\ 1 & \cos(\frac{2\pi 1k}{M}) & \cos(\frac{2\pi 2k}{M}) & \dots & \cos(\frac{2\pi kn}{M}) \end{array} \right) \cdot \vec{s}_+ \\ j \cdot \left( \begin{array}{cccccc} 1 & 1 & 1 & \dots & 1 \\ 1 & \sin(\frac{2\pi 1}{M}) & \sin(\frac{2\pi 2}{M}) & \dots & \sin(\frac{2\pi 1n}{M}) \\ 1 & \sin(\frac{2\pi 2}{M}) & \sin(\frac{2\pi 4}{M}) & \dots & \sin(\frac{2\pi 2n}{M}) \\ \vdots & \vdots & \vdots & \ddots & \vdots \\ 1 & \sin(\frac{2\pi 1k}{M}) & \sin(\frac{2\pi 2k}{M}) & \dots & \sin(\frac{2\pi kn}{M}) \end{array} \right) \cdot \vec{s}_- \end{array} \right] \quad (5.8)$$

Die Zahlenwerte des Sinus und Kosinus werden ohne den Vorfaktor  $\frac{1}{\sqrt{M}}$  in einem Array des Datentyps `t_LUT` im Speicher abgelegt.

Für die Berechnung des Klirrfaktors sind nach der Formel 5.1 nur die Quadrate der Beträge der Harmonischen relevant, sodass Real- und Imaginärteil quadriert und dann addiert werden können. Auf das anschließende Radizieren ist deshalb verzichtet worden. Diese Rechenvorschrift kann auch mathematisch ausgedrückt werden:

$$|S|^2 = \Re(S)^2 + \Im(S)^2 \quad (5.9)$$

### Ermittlung der Schiebefaktoren

Damit es während der Berechnung der DFT zu keinen Überläufen der Register kommt, werden vor dem Beginn der Berechnung die maximal möglichen Wortbreiten der Zwischenergebnisse ermittelt. Dieses Vorgehen ist für die Simulation notwendig, damit die Simulation für verschiedene Wortbreiten ausgeführt werden kann.

Bei der Berechnung der Schiebefaktoren soll das Ziel verfolgt werden, die zur Verfügung stehende Wortbreite des Zielregisters  $w_Z$  möglichst gut auszunutzen. Die Wortbreite des Ergebnisses kann mit der folgenden Formel für den schlimmsten anzunehmenden Fall (worst case), der beinhaltet, dass Werte dem größten darstellbaren Wert entsprechen, vorausgesagt werden. Bei der Multiplikation eines Samples, das in der Wortbreite  $w_{ADC}$  vorliegt, und eines Wertes aus der Look-Up Tabelle mit der Wortbreite  $w_{LUT}$  addieren sich diese. Zudem muss noch beachtet werden, dass  $M$  Multiplikationsergebnisse aufaddiert werden müssen. Für den Fall, dass in allen Registern der maximal darstellbare Wert abgelegt ist, entspricht das Ergebnis der Summe  $M$ -mal dem Wert. Das bedeutet, dass maximal  $\log_2(M)$  zusätzliche Bit benötigt werden. Das kann mathematisch wie folgt ausgedrückt werden.

$$w_{max} \leq w_{ADC} + w_{LUT} + \log_2(M) \quad (5.10)$$

Wenn die Anzahl der Samples  $N$  im Zweierkomplement dargestellt werden kann, ist Faktor  $\log_2(M)$  Element der natürlichen Zahlen. Wenn dies nicht der Fall ist, muss der Wert aufgerundet werden. Das kann wiederum dazu führen, dass nicht die volle Wortbreite verwendet wird.

Der Schiebefaktor zur Berechnung der Real- und Imaginärteile einer Harmonischen kann mit den Informationen aus der Formel 5.10 einfach ausgerechnet werden:

$$shift_1 = w_{max} - w_Z \quad \text{für} \quad w_{max} > w_Z \quad (5.11)$$

Die Formel ist für den Fall, dass die Wortbreite der Ergebnisvariablen größer ist als die maximale Wortbreite nicht gültig, da vermieden werden soll, dass in den niederwertigsten Bits (LSB) Nullen hineingeschoben werden.

Wie in Gleichung 5.9 ersichtlich ist, müssen für die Real- und Imaginärteile in einem weiteren Schritt die Quadrate errechnet werden. Bei einer Multiplikation verdoppelt sich die Wortbreite im MC von 16 auf 32 Bit. Um nach der erneuten Multiplikation kein Ergebnis mit einer Wortbreite von 64 Bit zu erhalten, was auf einer MSP430-Plattform zu einer langen Rechenzeit führen würde, müssen die Zwischenergebnisse wieder auf eine Wortbreite von 16 Bit reduziert werden. Dabei soll so wenig Genauigkeit wie möglich verloren gehen. Deshalb sollen nur die tatsächlich verwendeten Bits herausgeschnitten und eventuell zu viel enthaltene LSB abgeschnitten werden. Die Abbildung 5.1 soll noch einmal schematisch die eben beschriebene Idee darstellen.

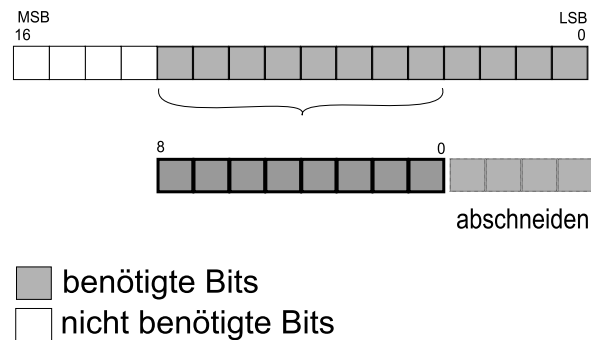


Abbildung 5.1.: Möglichkeit zur Reduzierung der Wortbreite mit geringem Genauigkeitsverlust

Zur Berechnung dieses Schiebefaktors muss zunächst die Anzahl der Bits ausgerechnet werden, die auf Grund der Größe des Ergebnisses nicht gesetzt sind. Das kann mit Hilfe der Formel 5.11 durchgeführt werden. Als nächstes muss die Differenz zwischen der Registerwortbreite  $w_Z$  und der Wortbreite der Operandenregister  $w_{OP}$  aus Bild 4.1 gebildet werden.

Werden diese beiden Größen voneinander abgezogen, erhält man folgende Formel für den Schiebefaktor  $\text{shift}_q$ , der zur Reduzierung der Wortbreite auf 16 Bit erforderlich ist:

$$\text{shift}_q = w_Z - w_{max} - (w_Z - w_{OP}) = w_{OP} - w_{max} \quad (5.12)$$

Ist dieser Faktor negativ, entspricht das einem Schieben nach rechts. Wenn der Faktor positiv wird, soll auch hier nicht geschoben werden, um auch hier keine Folge von Nullen in den niederwertigen Bits zu erhalten. Als letztes ist nach der Quadrierung der Werte ein letztes Mal zu Schieben um zum einen die richtige Skalierung der Werte zu gewährleisten und zum anderen die Werte für die Berechnung der Summe der Gesamtleistung, sowie die Bildung der Leistung der Oberschwingungen vorzubereiten. Für die Berechnung des Klirrfaktors nach der ersten Variante spielt es keine Rolle, ob zu den Harmonischen ein konstanter Faktor multipliziert wird. Hier wird nur das Verhältnis zwischen der Summe der Oberschwingungen und der Gesamtleistung des Signals benötigt, sodass die konstanten Faktoren heraus gekürzt werden können. Es muss nur sichergestellt werden, dass es bei der Berechnung der Summen und bei der Übernahme des Wertes in eine Variable von einem anderen Datentyp zu keinen Überläufen kommen kann. Deshalb müssen in der Formel die Wortbreiten des Akkumulators  $w_{AKKU}$  und die Wortbreiten des Real- und Imaginärteils  $w_R$  berücksichtigt werden. Der Schiebefaktor  $s_2$  wird daher durch folgende Formel beschrieben:

$$s_2 = w_R - w_{AKKU} \quad (5.13)$$

### Datenflussdiagramm

In dem folgenden Datenflussdiagramm in Abbildung 5.2 ist der Algorithmus schematisch dargestellt. An einigen Stellen sind mehrere Wortbreiten angegeben. Diese sollen im Simulationsprogramm später eingestellt werden können.

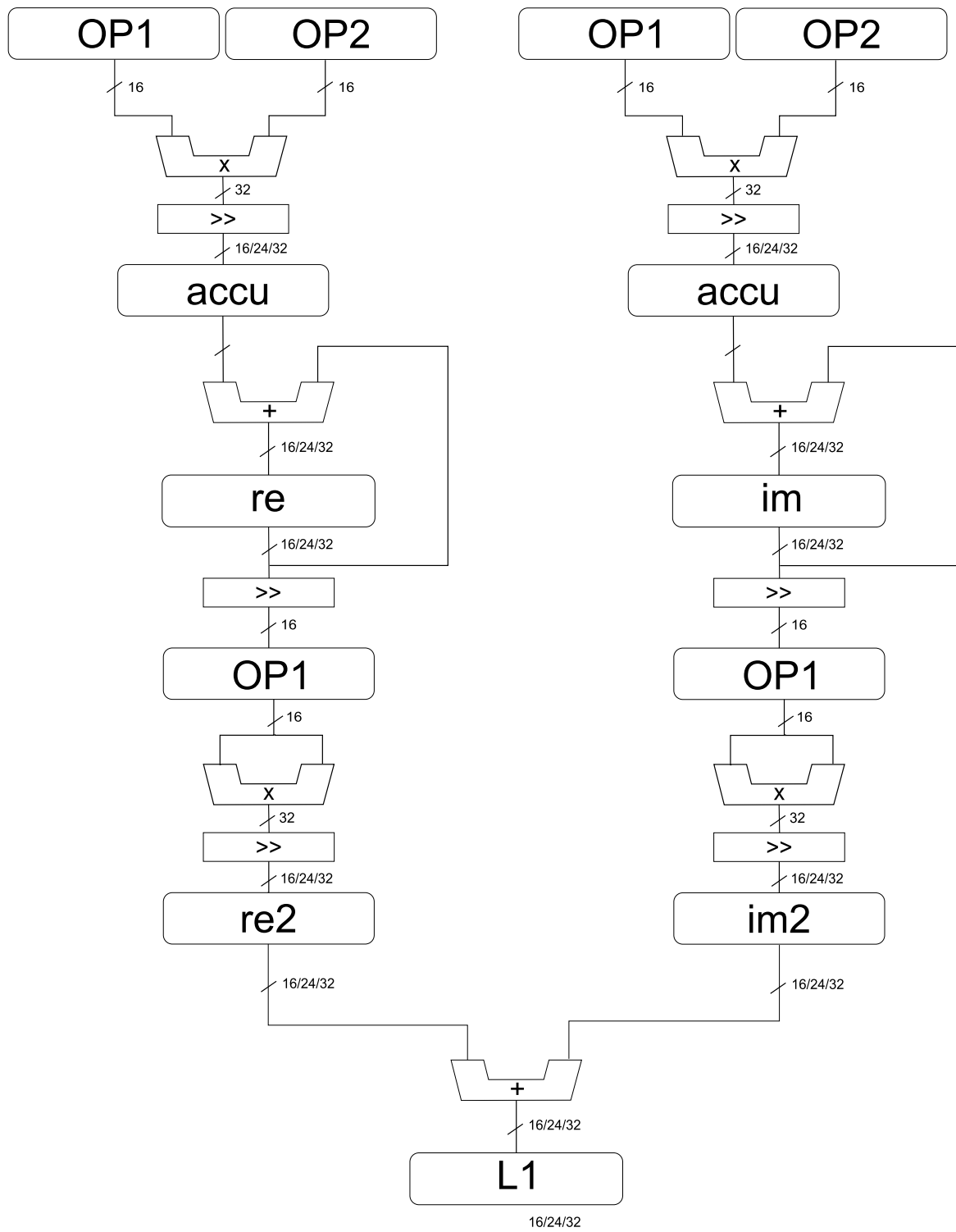


Abbildung 5.2.: Berechnung eines Fourierkoeffizienten der DFT

## 5.4. Implementierung der HDI-Methode

### 5.4.1. Ermittlung der Leistung des gleichanteilfreien Signals

Bei der HDI-Methode werden theoretisch unendlich viele Harmonische für die Berechnung des Klirrfaktors ermittelt. Die Abkürzung ergibt sich aus „**h**armonic-**d**istortion-**i**nfinite“(HDI). In der Literatur ist das Verfahren auch als „THD+N“ oder auch „THD+noise“ bekannt [10].

In ersten Schritt soll die Leistung des periodischen gleichanteilfreien Signals  $P_{ges}$  ermittelt werden. Die mittlere Leistung wird im zeitkontinuierlichen Bereich mathematisch durch die Formel

$$P_{ges} = \frac{1}{T} \cdot \int_0^T s_{\sim}(t)^2 dt \quad (5.14)$$

beschrieben werden. In der digitalen Signalverarbeitung wird eine bestimmte Abtastfrequenz verwendet, sodass das Integral bei Einhaltung des Abtasttheorems exakt durch eine Summe ersetzt werden kann und sich somit folgende Formel ergibt:

$$P_{ges} = \frac{1}{T} \cdot \sum_{n=0}^{\frac{T-\Delta T_a}{T_a}} s_{\sim}(n \cdot T_a)^2 \quad (5.15)$$

Mit  $T_a$  und  $M = \frac{T}{T_a}$  kann die Formel vereinfacht werden:

$$P_{ges} = \frac{1}{M} \cdot \sum_{n=0}^{M-1} s_{\sim}(n)^2 \quad (5.16)$$

Das gleichanteilfreie Signals kann auch als die Differenz aus dem gleichanteilbehafteten Signal  $s$  und dem Gleichanteil  $s_{gl}$  dargestellt werden:

$$s_{\sim} = s - s_{gl} \quad (5.17)$$

Wird das in der Formel 5.17 berücksichtigt, ergibt sich folgende Formel zur Berechnung der Leistung des Signals:

$$P_{ges} = \frac{1}{M} \cdot \sum_{n=0}^{M-1} (s(n) - s_{gl})^2 \quad (5.18)$$



Jetzt ergeben sich zwei Möglichkeiten, die Leistung zu errechnen:

1. Den Gleichanteil ausrechnen, von allen Samplewerten den Gleichanteil abziehen, das ermittelte Teilergebnis quadrieren und alle Teilergebnisse zum Gesamtergebnis aufaddieren.
2. Die Binomische Formel aus Gleichung 5.18 auflösen und weiter vereinfachen.

Um eine Entscheidung treffen zu können, welche Variante sich in der Praxis besser eignet, sollen beide Verfahren untersucht werden.

### 1. Möglichkeit: Gleichanteil von allen Samplewerten abziehen

**Ermittlung des Gleichanteils** Für die korrekte Bestimmung der Leistung der Harmonischen eines Signals, ist es wichtig, dass dieser vor der Berechnung bekannt ist, sodass er vor der Leistungsberechnung abgezogen werden kann.

Kann die Größe des Gleichanteil zum Beispiel aus schaltungstechnischen Aspekten bereits vorhergesagt werden, kann die Berechnung in diesem Fall auch entfallen. Für die Simulation ist der Gleichanteil berechnet worden, obwohl er ungefähr  $U_{FS}/2$  beträgt. Durch die Berechnung wird erreicht, dass Abweichungen des Gleichanteils erkannt werden und das Simulationsergebnis nicht verfälscht wird. Der Gleichanteil wird auch als arithmetischer Mittelwert eines Signals bezeichnet. Die Formel für den arithmetischen Mittelwert lautet:

$$s_{gl} = \frac{1}{M} \sum_{n=0}^{M-1} s(n) \quad (5.19)$$

**Ermittlung der Schiebefaktoren bei der Berechnung des Gleichanteils** In diesem Abschnitt soll der Schiebefaktor ermittelt werden, um den der Gleichanteil geschoben werden muss, um keine Überläufe der Variablen zu riskieren. Die Wortbreite hängt von der Auflösung des Analog-Digital-Umsetzers  $w_{ADC}$  sowie von der Anzahl der Samples pro Periode  $M$  ab. Die zu erwartende Wortbreite  $w_{gl}$  lässt sich durch folgende Formel ausdrücken:

$$w_{gl} = w_{ADC} + \log_2(M) \quad (5.20)$$

Wird dieser Faktor größer als die Wortbreite der Variablen  $w_v$ , muss ein Schiebefaktor  $shift_g$  ausgerechnet werden, der durch die folgende Formel bestimmt wird:

$$shift_g = w_v - w_{gl} \quad (5.21)$$

Das Ergebnis muss nach der Bildung der Summe durch die Anzahl der Samples dividiert werden. Das ist durch ein Schieben des Registerinhalts nach rechts um  $\log_2(M)$  Stellen realisiert worden.

In Abbildung 5.3 ist ein Blockschaltbild des Datenpfads dargestellt. In dem Schieberegister muss wie oben beschrieben um den Faktor  $\log_2(M)$  geschoben werden. Die Wortbreite der Variablen kann in der Simulation auf die Werte 16 Bit, 24 Bit oder 32 Bit begrenzt werden. Im Blockschaltbild sind alle Werte angegeben worden.

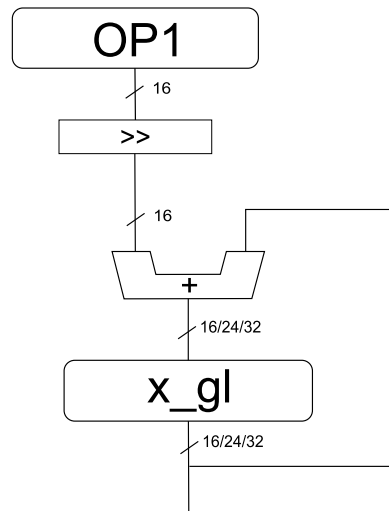


Abbildung 5.3.: Datenpfad zur Berechnung des Gleichanteils

**Ermittlung der Schiebefaktoren bei der Ermittlung der Signalleistung** Damit bei der Berechnung der Gesamtleistung die Variablen nicht überlaufen, müssen hier erneut Schiebefaktoren ermittelt werden. Auch hier muss die maximal zu erwartende Anzahl der Bits  $w_{max}$  vor der Berechnung der Schiebefaktoren ermittelt werden. Dafür lässt sich in diesem Fall folgende Formel aufstellen:

$$w_{max} = 2 \cdot w_{ADC} + \log_2(M) \quad (5.22)$$

Daraus lässt sich nach derselben Formel wie im vorherigen Punkt der Schiebefaktor  $shift_{ges1}$  ausrechnen:

$$shift_{ges1} = w_v - w_{max} \quad \text{für} \quad shift_{ges1} \leq 0 \quad (5.23)$$

Das Schieben um diesen Faktor soll nur erfolgen, wenn dieser kleiner als Null ist. Das entspricht einem Schieben nach rechts. Somit ist gewährleistet, dass bei der Bildung der

Summe keine Überläufe entstehen und in die niederwertigen Bits (LSB) keine Folge von Nullen geschoben wird. Um eine richtige Skalierung der Leistung der ersten Harmonischen und der Leistung des Signals zu erreichen, sind bei unterschiedlichen Auflösungen des Analog-Digital-Umsetzers  $w_{ADC}$  und der Sinus- und Kosinus- Tabellen  $w_{LUT}$  weitere Multiplikationsfaktoren  $fak_{LUT}$  und  $fak_{ADC}$  eingeführt worden, die dafür sorgen, dass beide Operatoren die selbe Anzahl an gedachten Nachkommastellen aufweisen. Sie lassen sich durch folgende Formel bestimmen:

$$fak_{LUT} = w_{ADC} - (w_{LUT} - 1) \quad \text{für} \quad w_{ADC} \geq (w_{LUT} - 1) \quad \text{sonst} \quad 0 \quad (5.24)$$

$$fak_{ADC} = (w_{LUT} - 1) - w_{ADC} \quad \text{für} \quad w_{ADC} < (w_{LUT} - 1) \quad \text{sonst} \quad 0 \quad (5.25)$$

Dieses Vorgehen ist nötig, da die Berechnung der Signalleistung unabhängig von den Sinus- und Kosinus-Tabellen ist. Durch die Schiebefaktoren wird erreicht dass die Leistung der ersten Harmonischen sowie die Leistung des Signals richtig skaliert sind.

Bevor die Schiebeoperation durchgeführt werden kann, muss überprüft werden ob es dabei zu keinen Überläufen der Variable kommen kann. Das kann durch die vorausgesagte maximale Wortbreite unter Berücksichtigung des Schiebefaktors  $shift_{ges1}$  geschehen. Dafür ist folgende Bedingung aufgestellt worden

$$w_v < w_{max} - shift_{ges1} + 2 \cdot fak_{ADC} \quad (5.26)$$

Wenn die Bedingung erfüllt ist, soll der Schiebefehl um den Faktor  $2 \cdot fak_{ADC}$  an dieser Stelle ausgeführt werden und der Schiebefaktor  $shift_{ges2}$  ist Null. Wenn die Wortbreite nicht ausreicht, soll sich mit dem Schiebefaktor  $shift_{ges2}$  gemerkt werden, dass dieser Faktor an dieser Stelle nicht berücksichtigt werden kann und daher bei der Berechnung der Leistung der ersten Harmonischen zusätzlich um den Faktor  $shift_{ges2} = -2 \cdot fak_{ADC}$  geschoben werden muss.

Bei der Berechnung der Leistung der ersten Harmonischen müssen sowohl  $shift_{ges1}$  als auch  $shift_{ges2}$  berücksichtigt werden. Zur besseren Übersicht ist ein neuer Schiebefaktor eingeführt worden, der sich wie folgt zusammensetzt:

$$shift_{ges} = shift_{ges1} + shift_{ges2} \quad (5.27)$$

Das Blockschaltbild in Abbildung 5.4 zeigt auch hier wieder die Vorgehensweise bei der Berechnung auf.

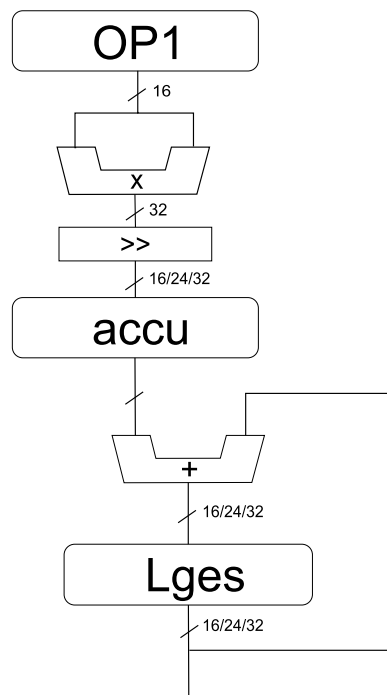


Abbildung 5.4.: Datenpfad zur Berechnung der Gesamtleistung des Signals

## 2. Möglichkeit: Entwicklung über binomische Formel

**Auflösen der binomischen Formel und Interpretation der Ergebnisse** In diesem Abschnitt soll der Lösungsansatz verfolgt werden, die binomische Formel in der Gleichung 5.18 aufzulösen. Wird die binomische Formel ausgeschrieben, ergibt sich folgende Gleichung:

$$P_{ges} = \frac{1}{M} \cdot \sum_{n=0}^{M-1} (s(n) - s_{gl})^2 = \frac{1}{M} \cdot \sum_{n=0}^{M-1} (s(n)^2 - 2 \cdot s(n) \cdot s_{gl} + s_{gl}^2) \quad (5.28)$$

Die Summe kann in mehrere Summen aufgeteilt werden, sodass sich folgender Ausdruck ergibt:

$$P_{ges} = \frac{1}{M} \left[ \sum_{n=0}^{M-1} s^2(n) - 2 \sum_{n=0}^{M-1} s(n) \cdot s_{gl} + \sum_{n=0}^{M-1} s_{gl}^2 \right] \quad (5.29)$$

Der Gleichanteil ist immer konstant, deshalb ergibt die Summe

$$\sum_{n=0}^{M-1} s_{gl}^2$$

den Wert  $M \cdot s_{gl}^2$ . Wird das in der Gleichung 5.29 berücksichtigt, ergibt sich folgender Ausdruck:

$$P_{ges} = \frac{1}{M} \cdot \sum_{n=0}^{M-1} s^2(n) - 2 \cdot s_{gl} \cdot \frac{1}{M} \cdot \sum_{n=0}^{M-1} s(n) + \frac{1}{M} \cdot M \cdot s_{gl}^2 \quad (5.30)$$

In der Formel tritt der Term

$$s_{gl} = \frac{1}{M} \sum_{n=1}^{M-1} s(n) \quad (5.31)$$

auf. Dieser entspricht der Formel zur Berechnung des arithmetischen Mittelwerts des Signals aus Gleichung 5.19. Wird diese Erkenntnis in der Gleichung 5.30 berücksichtigt, erhält man folgenden Ausdruck:

$$P_{ges} = \frac{1}{M} \cdot \sum_{n=0}^{M-1} s^2(n) - 2 \cdot s_{gl}^2 + s_{gl}^2 = \frac{1}{M} \cdot \sum_{n=0}^{M-1} s^2(n) - s_{gl}^2 \quad (5.32)$$

Wenn diese Gleichung verwendet wird, bietet sich der Vorteil, dass die Leistung der Summe des Signals mit Gleichanteil berechnet werden kann. Der Nachteil besteht darin, dass der Gleichanteil quadriert werden muss und dadurch weitere Ungenauigkeiten in die Berechnung einfließen. Die Leistung des gleichanteilfreien Signals kann im Nachhinein durch die Subtraktion des Quadrats des Gleichanteils berechnet werden.

**Ermittlung der Schiebefaktoren für den Gleichanteil** Die Schiebefaktoren zur Berechnung des Gleichanteils können in dem Absatz 5.4.1 nachgelesen werden. Die Division durch  $N$  ist für dieses Verfahren in 2 Stufen aufgeteilt worden. An der ersten Stufe wird so weit geschoben, bis der Inhalt des Registers, in dem der Gleichanteil gespeichert ist, in eine 16 Bit Variable übernommen werden kann. Für den Schiebefaktor kann folgende Gleichung aufgestellt werden:

$$shift_g = 16 - w_{gl} - 1 \quad \text{für} \quad shift_g \leq 0 \quad (5.33)$$

Um das Ergebnis, das mit 32 Bit Genauigkeit vorliegt in eine Variable mit einer Wortbreite  $w_x$  zu übernehmen, muss folgender Schiebefaktor  $shift_{gl2}$  verwendet werden:

$$shift_{gl2} = -shift_{ges1} + 2 \cdot shift_{gl} - (\log_2(M) + 2 \cdot shift_g) \quad (5.34)$$

Der letzte Term resultiert aus der Aufteilung der Division durch  $M$ . Bei der Berechnung des Quadrats verdoppelt sich die Wortbreite, deshalb muss um den Faktor  $2 \cdot \log_2(M)$  nach rechts geschoben werden. Da vor der Quadrierung bereits um den Faktor  $shift_g$  nach rechts geschoben worden ist, muss dieser von  $\log_2(M)$  abgezogen<sup>1</sup> werden, sodass nur noch um den Faktor  $2 * (\log_2(M) + shift_g)$  geschoben werden muss.

**Ermittlung der Schiebefaktoren für die Leistungsberechnung** Die Schiebefaktoren für die Leistungsberechnung sind mit der vorherigen Berechnung identisch. Die Berechnung der weiteren Schiebefaktoren kann in Abschnitt 5.4.1 nachgelesen werden.

#### 5.4.2. Passende Skalierung der Leistung der 1. Harmonischen

Im Gegensatz zu der HD5-Methode ist es hier zwingend erforderlich, dass die Leistung der ersten Harmonischen und die Leistung des Signals mit demselben Skalierungsfaktor versehen werden, damit sich dieser heraus kürzt. Daher werden hier auch die Multiplikationsfaktoren verwendet, die gewährleisten sollen, dass bei der Multiplikation eines Wertes aus der Sinus- und Kosinus-Tabelle und eines Samples die höchstwertigen Bits (MSB) an der selben Position der 16 Bit Variable stehen. So wird an dieser Stelle die Multiplikation mit einem konstanten Faktor vermieden. Der Funktionsablauf ist danach identisch mit dem Funktionsablauf für die Berechnung der HD5-Methode. Allerdings muss der Schiebefaktor  $shift_2$  anders errechnet werden, um eine richtige Skalierung der Ergebnisse zu erhalten.

In dem Schiebefaktor muss Faktor  $shift_{ges}$ , um den die Leistung des Signals zusätzlich dividiert worden ist, enthalten sein, um dort Überläufe zu vermeiden. Außerdem muss jeweils durch Addition einer Eins berücksichtigt werden, dass laut Formel 5.5 der Wert am Ende verdoppelt werden muss und ein weiteres Bit für das Vorzeichen des Analog-Digital-Umsetzers erforderlich ist. Es gibt sich daraus folgende Formel:

$$shift_2 = w_{max} - w_{AKKU} + shift_{ges} + 2 \quad (5.35)$$

<sup>1</sup>da der Faktor  $shift_g$  negativ angesetzt worden ist entspricht das in diesem Fall einer Addition

## 6. Radizieren mit reduziertem Aufwand

### 6.1. Einführung und Spezifikationen

#### 6.1.1. Einführung

In diesem Kapitel soll das Radizieren beschrieben werden, das bei der Berechnung des Klirrfaktor erforderlich ist. Das Radizieren stellt eine sehr rechenintensive Operation dar und kann für einen Entwicklungspunkt  $x_0 = 0$  durch folgende Taylorreihe angenähert werden:

$$f(x) = 1 + \frac{1}{2} \cdot x - \frac{1}{8} \cdot x^2 + \frac{3}{48} \cdot x^3 - \frac{15}{2304} \cdot x^4 \dots \quad (6.1)$$

Die Reihenentwicklung ist jedoch aufwendig zu berechnen. Dabei besteht die Gefahr, dass der Mikrocontroller den Funktionswert in der vorgegebenen Zeit nicht berechnen kann und durch einen leistungsfähigeren Mikrocontroller ersetzt werden muss. Eine andere Variante, die sich schneller ausführen lässt, ist die Ablage der Funktionswerte im Programmspeicher des Mikrocontrollers. Der Bedarf an Speicherplatz ist zwar dadurch größer, aber es muss nur der entsprechende Wert aus dem Speicher ausgelesen werden. Hierbei ist es möglich, als Feldindex das Ergebnis der Division zu benutzen und an der entsprechenden Speicherstelle den Funktionswert des bestimmten x-Wertes zu hinterlegen.

#### 6.1.2. Die bisherige Ermittlung eines Funktionswertes

Dieses Verfahren ist im Rahmen der Diplomarbeit Jegenhorst [7] auch verwendet worden. Dort man sich für eine Wurzel-Tabelle mit 256 Zwischenwerten  $x$ , die linear skaliert sind, entschieden worden. Konkret ist vor der Division die Summe der Oberschwingungen um 10 Stellen nach links geschoben worden, damit das Ergebnis größer als Null ist. Das entspricht einem Multiplikationsfaktor von 1024. Die Wurzel-Tabelle ist mit den Werten der folgenden Funktion gefüllt worden:

$$THD_{\%} = 100 \cdot \sqrt{\frac{1}{1024} \cdot x} = \sqrt{\frac{100^2}{1024} \cdot x} \quad (6.2)$$

Wie Abbildung 6.1 zeigt, liegt der kleinste Wert der Tabelle bei 3%. Der interessante Bereich für diese Problemstellung sind die kleinen Klirrfaktorwerte, da der Sensor in diesem Fall richtig eingebaut ist. Daher ist diese Variante nicht sehr gut geeignet.

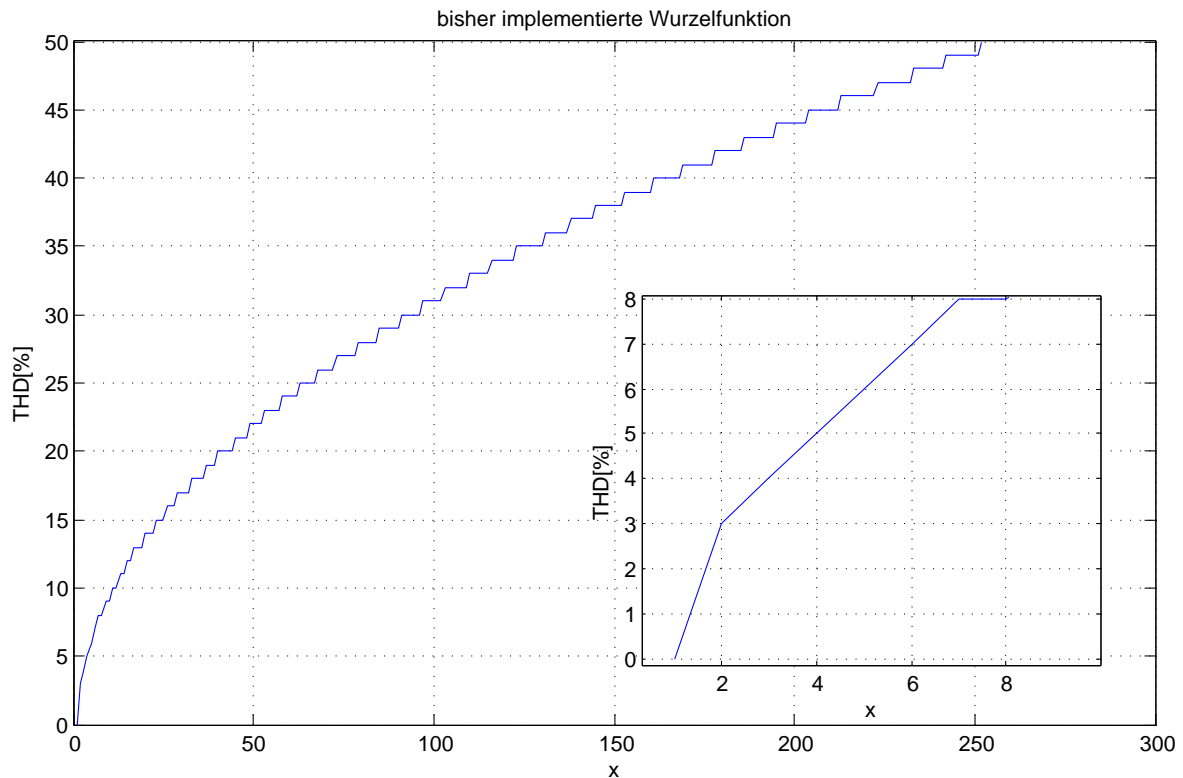


Abbildung 6.1.: In der Arbeit von Jegenhorst [7] verwendete Wurzelfunktion

### 6.1.3. Spezifikationen

Anhand der Messdaten, die in der Arbeit Jegenhorst [7] enthalten sind, wurden folgende neue Spezifikationen für die zukünftige Wurzel-Tabelle erarbeitet:

- Die neue Tabelle darf nicht mehr Werte als die alte Tabelle enthalten sein. Das bedeutet, dass nicht mehr als 256 Werte in der neuen Tabelle enthalten sein dürfen.
- Aus der Tabelle sollen die Ergebnisse als Prozentangabe entnommen werden können.



- Die Tabelle soll einen Wertebereich von 0 bis 31 % abdecken. Wobei der Klirrfaktor in diesem Bereich mit einer Genauigkeit von  $\pm 1\%$  ermittelt werden soll.

Im nächsten Abschnitt soll die Größe der Wurzel-Tabelle ermittelt werden, die erforderlich ist, um die Spezifikationen einzuhalten.

## 6.2. Analyse der neuen Spezifikationen

In diesem Abschnitt sollen die Auswirkungen der neuen Spezifikationen untersucht werden. Es soll außerdem berechnet werden, mit welcher Auflösung ein Ergebnis vorliegen muss, um das Ergebnis mit der geforderten Auflösung von 1% ermitteln zu können.

Damit die Lösung in dem Wertebereich von 0% bis 100% dargestellt werden kann, muss der Wurzelausdruck, dessen Ergebnis immer zwischen 0 und 1 liegt, mit 100 multipliziert werden.

$$THD_{\%} = 100 \cdot \sqrt{x} = \sqrt{100^2 \cdot x} \quad (6.3)$$

In einer weiteren Randbedingung ist festgehalten, dass die neue Wurzelfunktion bis 31% definiert sein soll. Wird dieser in die Formel 6.3 eingesetzt und die Gleichung nach x aufgelöst, erhält man das folgende Ergebnis für den größten x-Wert:

$$31\% = \sqrt{100^2 \cdot x_{max}} \Rightarrow x_{max} = \frac{31^2}{100^2} = 0,09 \quad (6.4)$$

Damit die Ergebnisse der Division die Position des Wertes in der Tabelle liefern, muss die minimale Schrittweite sowie der Minimal- und Maximalwert im Zweierkomplement dargestellt werden. Der Minimalwert stellt kein Problem dar, da dieser Null ist. Für den Maximalwert ist der nächst größere Wert relevant, der im Zweierkomplement dargestellt werden kann,  $x_{max} = 0,125$  das entspricht  $x_{max} = 2^{-3}$ .

Als letztes muss die Anzahl der Zwischenwerte  $Z$  bestimmt werden. Um möglichst wenig Speicher für die Tabelle zu verwenden, soll die maximale Schrittweite  $\Delta x$  ermittelt werden. Diese muss kleiner als 1,5% sein, da bei diesem Wert die Entscheidungsgrenze für das Runden von Werten liegt. Das kann mathematisch mit folgender Formel beschrieben werden:

$$1,5\% < \sqrt{100^2 \cdot x_{min}} \Rightarrow x_{min} < \frac{1,5^2}{100^2} = 2,25 \cdot 10^{-4} \quad (6.5)$$

Von diesem Wert muss der Logarithmus dualis gebildet werden, um einen passenden Wert zu ermitteln, der im Zweierkomplement dargestellt werden kann:

$$ld(\Delta x) = \log_2(0,000225) = -12,11 \leftrightarrow -13 \quad (6.6)$$

Das ergibt eine maximale Schrittweite von  $\Delta x = 2^{-13} = 0,000122$  um die Spezifikationen einzuhalten.

Der Wert stellt gleichzeitig auch den Schiebefaktor dar, um den die Summe der Oberschwingungen nach links geschoben werden muss, bevor die Division durchgeführt wird. Zudem ist jetzt gewährleistet, dass das Ergebnis der Division bei einem Klirrfaktor, der größer ist als 1% ungleich Null ist.

Aus den bisher in diesem Abschnitt gewonnenen Ergebnissen kann die Anzahl der Werte ermittelt werden, die mit dem Verfahren aus [7] benötigt werden würden:

$$n_{max} = \frac{2^{-3}}{2^{-13}} = 2^{-3+13} = 2^{10} = 1024 \quad (6.7)$$

Das ergibt eine Wortbreite des Ergebnisses von  $\log_2(1024) = 10$  Bit. Der Verlauf dieser Kennlinie ist in der Abbildung 6.2 dargestellt.

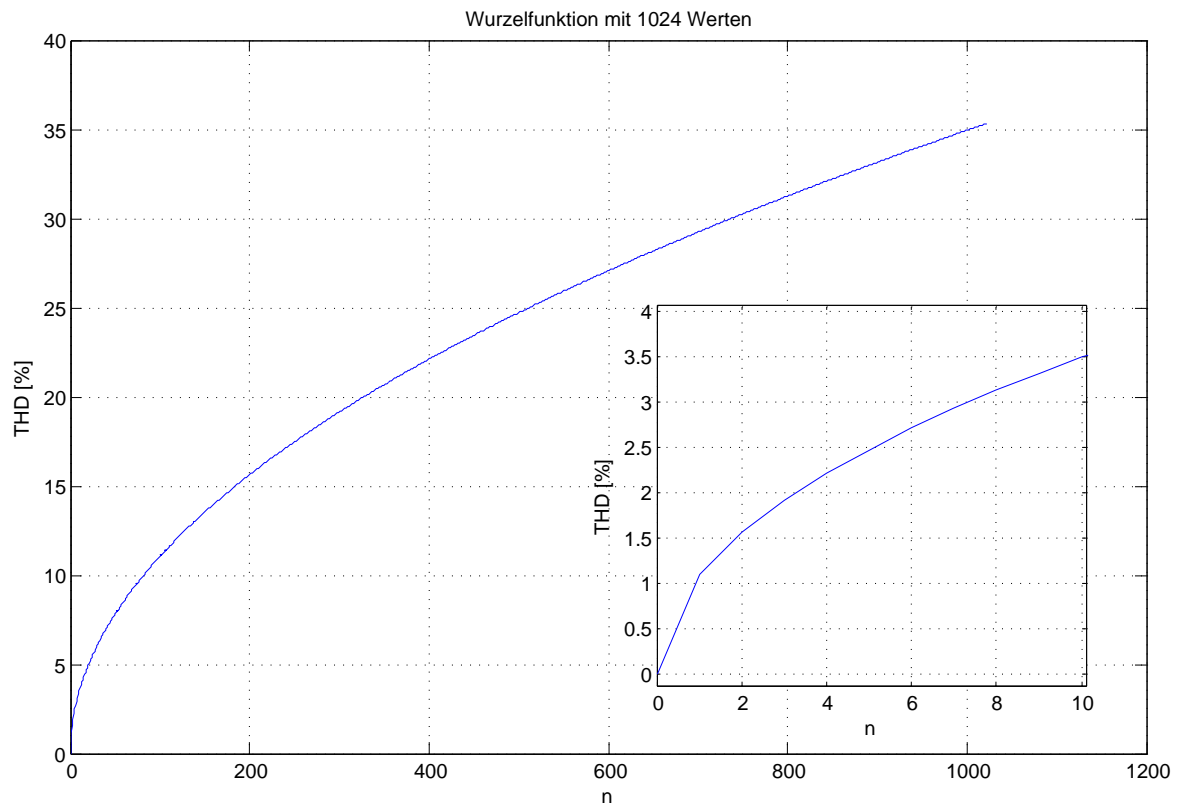


Abbildung 6.2.: Theoretisch erforderliche Wurzelfunktion um geforderte Genauigkeit zu erreichen

Da die Anzahl der Werte erhöht werden muss, was ein Widerspruch zu der aufgestellten Spezifikation darstellt, müssen Verfahren entwickelt werden um den Verlauf der Kennlinie anders zu codieren um weniger Zwischenwerte zu benötigen.

### 6.3. LUT-Methode mit wechselnden Tabellen

Um den Speicherbedarf zu reduzieren, ist der Ansatz verfolgt worden, die Tabelle in mehrere kleinere Tabellen zu unterteilen, wobei die Schrittweite  $\Delta x$  in jeder Tabelle variiert. Dafür wird zunächst die Steigung der Funktion zwischen zwei  $x$ -Werten ausgerechnet. Mathematisch handelt es sich dabei um eine numerische Differentiation. Wird die Steigung zwischen zwei Werten  $s$  durch die maximale Schrittweite  $\Delta x$  geteilt und von diesem Ergebnis der Logarithmus dualis gebildet, erhält man folgende Formel für die möglichen Schiebefaktoren, um die das Divisionsergebnis  $g$  geschoben werden kann, um eine Auflösung der Prozentskala von einem Prozent zu erreichen:

$$g = ld\left(\frac{\Delta x}{s}\right) \quad (6.8)$$

Da nur das Verschieben um natürliche Zahlen möglich ist, müssen die Ergebnisse abgerundet werden.

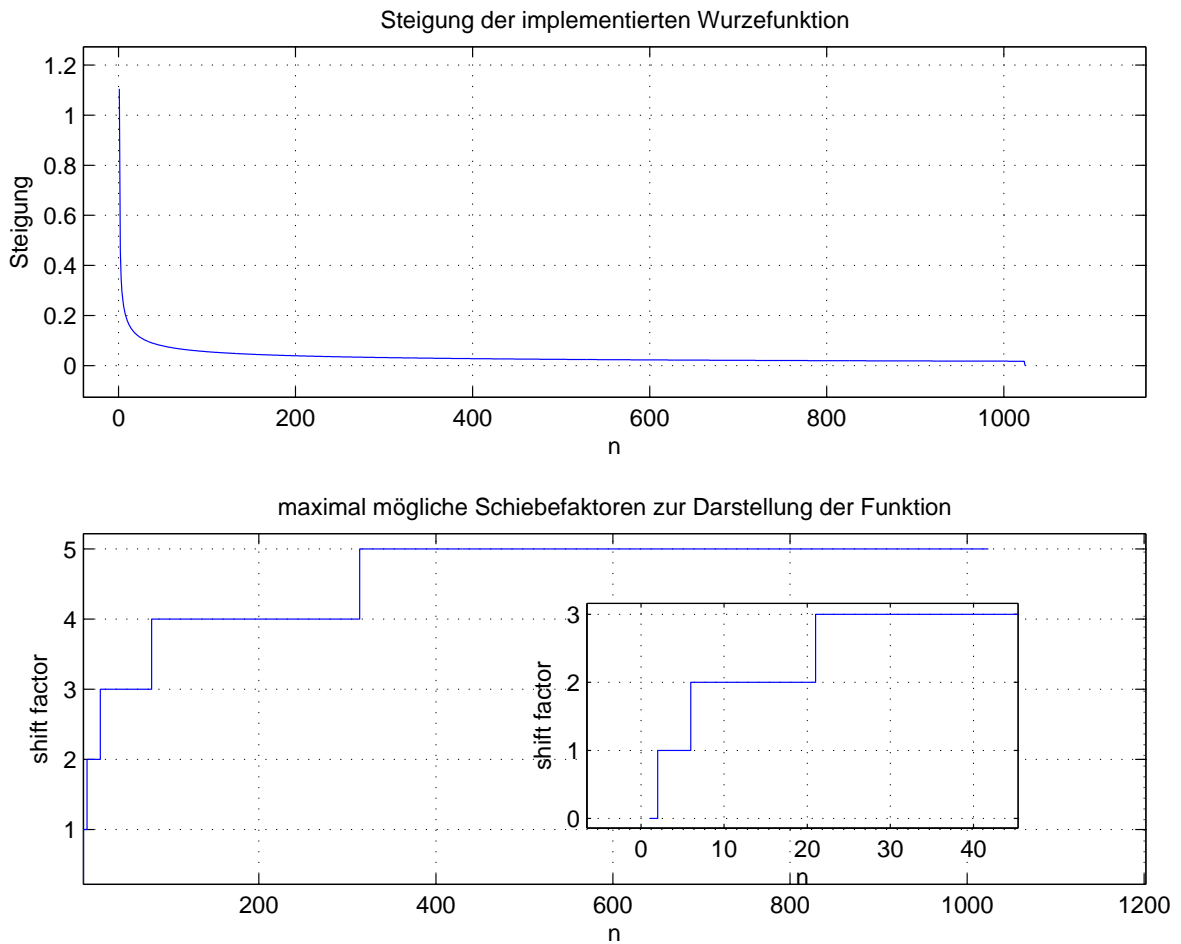


Abbildung 6.3.: Darstellung der 1. Ableitung und der möglichen Schiefefaktoren

Aus dem unteren Plot der Abbildung 6.3 lassen sich dann die Grenzen für die einzelnen Tabellen ermitteln. Diese sind in Tabelle 6.1 zusammengefasst.

unterer Wert	oberer Wert	Schiebefaktor
0	2	0
2	6	1
6	21	2
21	79	3
79	314	4
314	1024	5

Tabelle 6.1.: Einteilung der Grenzen der verschiedenen Wertetabellen

Anhand Tabelle 6.1 lässt sich feststellen, dass zunächst eine Tabelle, die acht Werte enthält, mit dem kleinsten ermittelten  $\Delta x$  realisiert werden muss. Dann kann der Eingangswert um 2 Stellen nach rechts geschoben und die Schrittweite  $\Delta x$  um den Faktor vier vergrößert werden. Es ist zudem noch zu beachten, dass der Maximalwert der ersten Tabelle, um den entsprechenden Schiebefaktor nach links geschoben nicht immer Eins ist. Deshalb entstehen Wertebereiche, die von zwei oder mehreren Tabellen abgedeckt werden. Für diesen Fall sollen die Ergebnisse aus der Tabelle, die am feinsten aufgelöst ist, entnommen werden. Die Aufteilung der Wurzel-Tabellen ist der Tabelle 6.2 zu entnehmen:

Anzahl der Werte	Schiebefaktor nach rechts	Minimalwert	Maximalwert
8	0	0	7
8	2	7	$7 + 8 \cdot 4 + 4 - 1 = 35$
16	3	$7 + 1 \lll 3 = 15$	$16 \cdot 8 + 8 - 1 = 135$
32	4	$15 + 1 \lll 4 = 31$	$32 \cdot 16 + 16 - 1 = 527$
32	5	$31 + 1 \lll 5 = 63$	$32 \cdot 32 - 1 = 1023$

Tabelle 6.2.: Übersicht über die erstellten Wurzel-Tabellen und der dazugehörigen Grenzen

In dem folgenden Beispiel wird die Wurzel von 700 ermittelt werden. Das entspricht binär „1010111100“.

1010111100 » 2	Schieben, da für Tabelle 1 zu groß
10101111 » 1	Schieben, da für Tabelle 2 zu groß
1010111 » 1	Schieben, da für Tabelle 3 zu groß
101011 » 1	Schieben, da für Tabelle 4 zu groß
10101	Es wird der „10101“ = 21. Wert aus Tabelle 5 verwendet

An dieser Stelle steht in der Tabelle der Wert 703. Diese Abweichung kommt zustande, da nicht mehr geklärt werden kann, ob beim Schieben, gesetzte Bits verloren gegangen sind.

In Tabelle 5 kann nur noch ein Bereich von „1010111111“ = 703 und „1010100000“ = 672, in dem das Ergebnis liegt, ermittelt werden. Da in diesem Bereich die Funktionswerte nur 1% auseinander liegen, wird die geforderte Genauigkeit eingehalten.

Bei dieser Methode liegt der große Vorteil darin, dass von ehemals 1024 Werten und 256 Werte aus der Tabelle in [7] nur noch 127 Werte im Speicher abgelegt werden müssen.

Ein Nachteil ist, dass der Wertebereich der verschiedenen Tabellen sich überschneiden kann. Das macht das Aufstellen der Tabellen komplizierter und es wird Speicherplatz verschwendet. Eine weitere Möglichkeit die Tabelle zu codieren, ohne dass doppelte Werte abgespeichert werden müssen, wird im nächsten Abschnitt diskutiert.

## 6.4. Methode mit PCM codierten Ausgabewerten

### 6.4.1. Grundidee des Verfahrens

Diese Methode basiert auf der Idee die Kennlinie abschnittsweise anzunähern. Die abschnittsweise Annäherung der Kennlinie wird beispielsweise bei der „Pulse Code Modulation“ (PCM) verwendet. Das Verfahren ist speziell für logarithmische Kennlinien geeignet, deren Steilheit für kleine x-Werte groß ist. Da die Funktion  $\sqrt{x} = x^{0.5}$  eine ähnliche Form hat, kann das Verfahren für das Problem verwendet werden. Für die Verwendung dieses Verfahrens muss die Kennlinie in zwei gleich große Segmente aufgeteilt werden, wobei das erste Segment wiederum in zwei Segmente unterteilt wird. Dadurch entsteht eine logarithmische Einteilung der Segmente. Die Kennlinie wird innerhalb eines Segments durch eine Gerade mit bestimmter Steigung angenähert. Ein Segment wird wiederum in Intervalle aufgeteilt, die linear skaliert sind.

Eine vollständige Aufteilung der Kennlinie in einzelne Segmente, die wieder in einzelne Intervalle aufgeteilt sind, ist in Abbildung 6.4 dargestellt.

Um aus einem linear skalierten Wert ein PCM-Codewort zu ermitteln, ist eine Codierung erforderlich. Es wird dafür jedoch nur noch eine Tabelle geben, in der sich die Grenzen der einzelnen Segmente nicht mehr überschneiden.

### 6.4.2. Umcodierung des Divisionsergebnisses

Das Ergebnis der Division, die bei der Berechnung des Klirrfaktors ausgeführt werden muss, ist linear skaliert. Um das passende Ergebnis aus der Tabelle zu entnehmen, muss das Divisionsergebnis umcodiert werden. Der Aufbau des PCM-Codeworts kann der folgenden Abbildung entnommen werden:

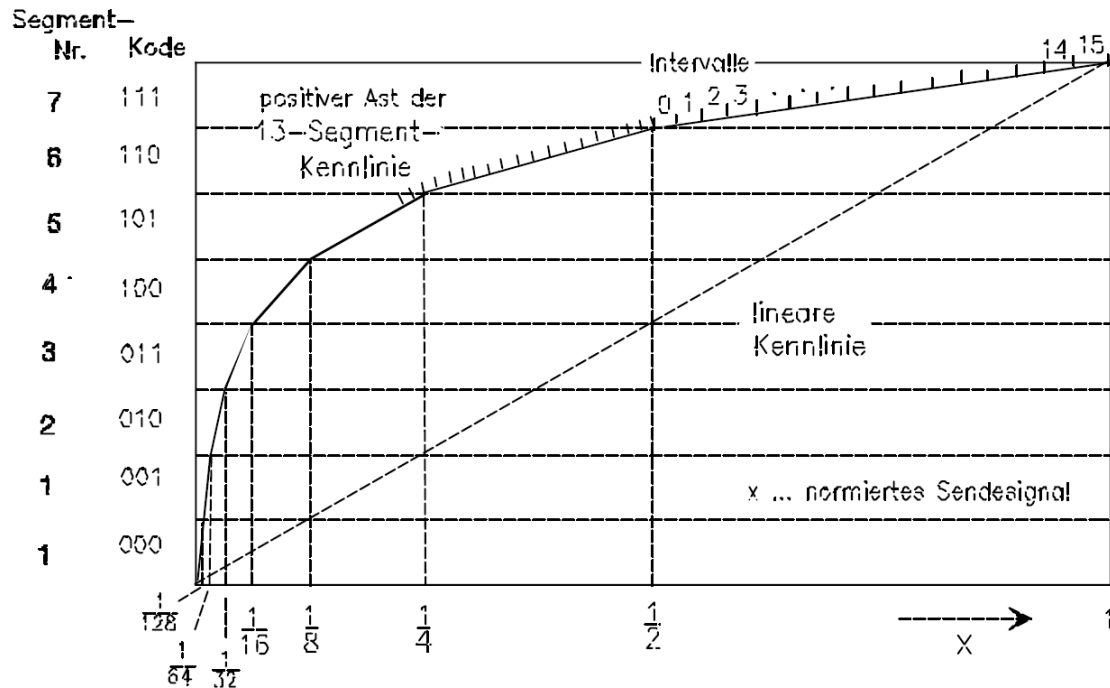


Abbildung 6.4.: Beispiel einer Segmentkennlinie [13]

Vorzeichen	Bereichscode	Intervallcode
------------	--------------	---------------

Die Umcodierung kann am einfachsten realisiert werden, wenn vom höchstwertigsten Bit abwärts die Nullen detektiert werden und gleichzeitig ein Zähler, der mit der maximalen Anzahl der darstellbaren Segmente gefüllt ist, abwärts gezählt wird. Wenn an einer Position eine Eins detektiert wird, stellt der Zählerstand den Bereichscode dar. Abhängig von der Anzahl der Intervalle, stellen die nachfolgenden Bits den Intervallcode dar. In dem Beispiel aus Abbildung 6.4 ist ein Segment in 16 Intervalle unterteilt worden. Daher stellen dort die nächsten 4 Bit den Intervallcode dar.

In Tabelle 6.3 ist das Divisionsergebnis und das PCM-Codewort dargestellt:

Segment	Divisionsergebnis	PCM-Codewort
I	000000wxyz	000wxyz
II	000001wxyz	001wxyz
III	00001wxyz-	010wxyz
IV	00001wxyz-	011wxyz
V	0001wxyz—	100wxyz
VI	001wxyz—	101wxyz
VII	01wxyz—	110wxyz
IIX	1wxyz—	111wxyz

Tabelle 6.3.: Umwandlung des linearen Datenworts in ein logarithmisches Codewort

### 6.4.3. Codierung der Wurzelfunktion in 8 Stufen

In diesem Abschnitt soll die Codierung der verwendeten Wurzelfunktion, die in Abbildung 6.2 dargestellt ist, beschrieben werden. Dazu muss die Kennlinie zunächst in einzelne Segmente unterteilt werden. Zur Ermittlung der Anzahl der Intervalle ist das Segment IIX betrachtet worden. Das Segment ist von  $x=512$  bis  $x=1024$  gebildet; das entspricht einem Funktionswert von 25% bzw. 35%. Da es in diesem Bereich zudem nicht auf das genaue Ergebnis ankommt, weil der Sensor bei einem Klirrfaktor des Ausgangssignals von 25% aus technischen Gründen nur noch ungenaue Ergebnisse liefert, wurden 3 Bit für den Intervallcode vorgesehen. Es kommen daher zwei Werte in der Tabelle nicht vor. Es sind jedoch noch 7 Bit übrig, um die Funktion in weitere Segmente zu unterteilen, sodass für kleinere Klirrfaktorwerte das Ergebnis genauer dargestellt werden kann. Die Aufteilung der Segmente ist in Tabelle 6.4 dargestellt:

Segment	Bereich	min. Prozentwert	max. Prozentwert	Differenz (max.-min.)
I	0 - 7	0	3	3
II	8 - 15	3	4	1
III	16 - 31	4	6	2
IV	32 - 63	6	9	3
V	64 - 127	9	12	3
VI	128 - 255	13	18	5
VII	256 - 511	18	25	7
IIX	512 - 1023	25	35	10

Tabelle 6.4.: Gewählte Grenzen der Wurzel-Tabelle



Mit dieser Codierung wird erreicht, dass statt 72 nur noch 64 Tabellenwerte benötigt und in der Tabelle keine doppelten Werte mehr enthalten sind.

#### 6.4.4. Codierung der Wurzelfunktion in 9 Stufen

Mit dieser Methode soll erreicht werden, dass kleine Klirrfaktoren genauer ermittelt werden können. Um die Notwendigkeit festzustellen soll zuerst eine Ergebnis in Abbildung 6.5 bei Codierung der Wurzelfunktion in 8 Stufen angesehen werden.

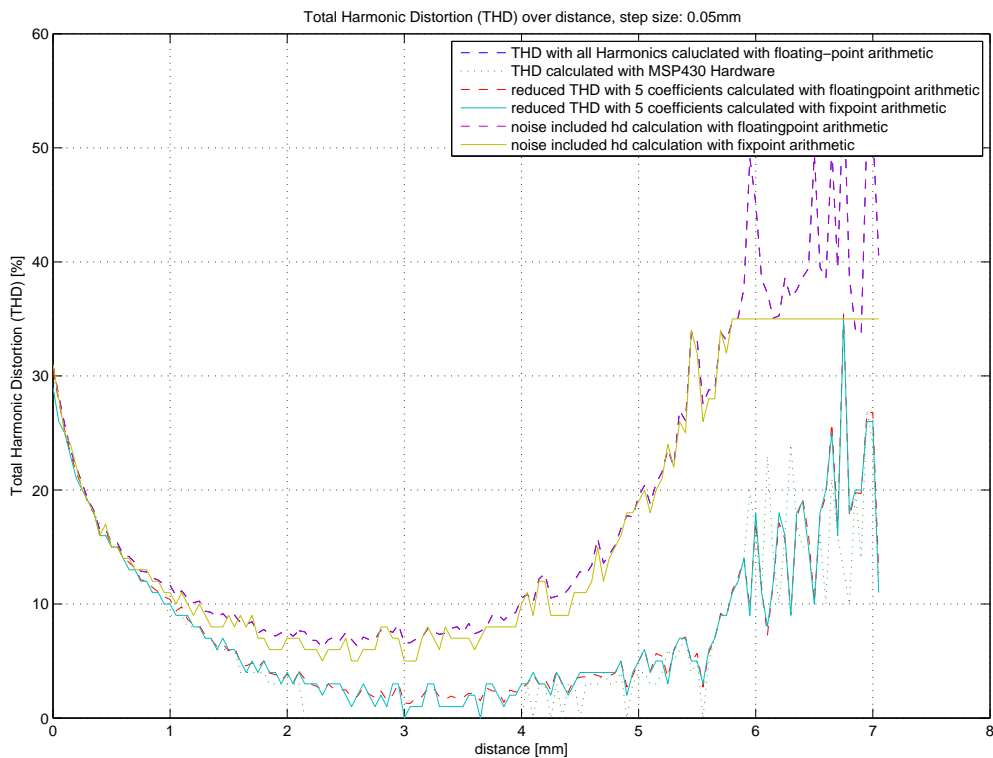


Abbildung 6.5.: Klirrfaktor über die Distanz bei Verwendung einer Wurzelfunktion, die in 8 Stufen codiert ist“

An Abbildung 6.5 fällt auf, dass bei kleinen Ergebnissen große Abweichungen zwischen der Festkomma- und der Gleitkommaberechnung auftreten. Das bedeutet, dass die Ergebnisse in dem Segment I noch zu ungenau sind. Um dem entgegen zu wirken, ist dieses Segment noch einmal halbiert worden, sodass sich die in Tabelle 6.5 dargestellten Grenzen ergeben:

Segment	Bereich	min. Prozentwert	max. Prozentwert	Differenz (max.-min.)
I	0 - 3	0	2	2
II	4 - 7	2	3	1
III	8 - 15	3	4	1
IV	16 - 31	4	6	2
V	32 - 63	6	9	3
VI	64 - 127	9	12	3
VII	128 - 255	13	18	5
IIX	256 - 511	18	25	7
IX	512 - 1023	25	35	10

Tabelle 6.5.: Gewählte Grenzen der Wurzel-Tabelle

Für die Codierung des Intervalls sind auch hier 3 Bit erforderlich. Für die Codierung der 9 Segmente, ist zudem noch ein weiteres Bit erforderlich, sodass die Wortbreite des Ergebnisses 11 Bit betragen muss. Daraus folgt, dass das Ergebnis der Division um 14 Stellen nach links geschoben werden muss.

Es werden zwar wieder 72 Byte für die Darstellung der Tabelle verwendet, die Ergebnisse im Bereich zwischen 0 und 3% stimmen jetzt jedoch besser mit dem ideal berechneten Klirrfaktor überein. Es besteht jetzt allerdings der Nachteil, dass ein 14 Bit anstatt eines 13 Bit Ergebnisses ohne Einfluss von Rauschen ermittelt werden muss, da ein Segment mehr in der Tabelle enthalten ist.

# 7. Testimplementierung des Algorithmus' auf dem Mikrocontroller

## 7.1. Vorgehensweise

In diesem Kapitel soll das Zeitverhalten der HDI-Methode analysiert werden. Zu diesem Zweck soll das Programm in der Programmiersprache C erneut geschrieben werden, da das Programm später auf einem Mikrocontroller der MSP430 Familie getestet werden soll. Dazu ist ein Evaluation-Board vom Typ „MSP430-169STK“ [12] der Firma Olimex verwendet werden, auf dem sich ein MSP430x169 befindet. Das Evaluation-Board ist in der folgenden Abbildung dargestellt:

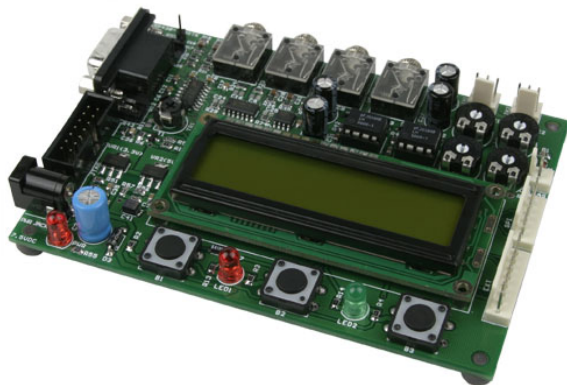


Abbildung 7.1.: Evaluation-Board der Firma Olimex [12]

Abschließend ist die Durchlaufzeit der HDI-Methode mit der Klirrfaktor Berechnung aus der Arbeit von Herrn Jegenhorst [7] verglichen worden. Für diesen Zweck wurde die Berechnung aus dem Quellcode der Radmessplatz-Software heraus getrennt.

Es handelt sich dabei jedoch nur um eine Beispielanwendung. Die Samples des Eingangssignals sind zur Vereinfachung in einem Feld im Programmspeicher des Mikrocontrollers abgelegt. Wenn das Eingangssignal verändert werden soll, muss das Projekt neu kompiliert werden.

Für die Realisierung der Aufnahme der Werte soll ein 12-Bit-Analog- Digital-Umsetzer verwendet werden. Alle anderen Parameter sind aus [7] übernommen. Die Wurzelfunktion soll PCM-codiert in 9 Stufen werden. Deshalb muss zusätzlich eine Funktion entwickelt werden, die das Divisionsergebnis in ein PCM- Codewort codiert.

Für die Darstellung der Ergebnisse soll das LCD-Display verwendet werden, das fest auf dem Evaluation-Board vorhanden ist. Die erforderlichen Einstellungen sind dem Quellcode des Semesterprojekts mit dem Titel „Local-Positioning-System“ [4] entnommen worden. Gleiches gilt für die Einstellungen des Timers zur Ermittlung der Laufzeitdifferenz. Die Schiebefaktoren sind für das C-Programm im Vorfeld berechnet und als Konstanten im Quellcode eingesetzt worden.

## 7.2. Aufwandsschätzung der HDI-Methode

Als nächstes soll die Zeitersparnis theoretisch betrachtet und anschließend mit dem Evaluation-Board gemessen werden.

Am leichtesten lässt sich die Dauer der Berechnung der ersten Harmonischen voraussagen, da diese auch für den approximierten Klirrfaktor berechnet werden muss. Es ist für beide Verfahren eine ähnliche Vorgehensweise gewählt worden, sodass gesagt werden kann, dass die Berechnung der ersten Harmonischen  $\frac{1}{5}$  der Berechnungszeit des HD5-Methode in Anspruch nimmt. Es sind somit nur noch die Anzahl der benötigten Operationen für den Gleichanteil sowie die Leistung des Signals zu ermitteln.

Für die Berechnung einer Harmonischen eines Signal mit  $N$  Samples sind  $a_H = 2 \cdot N + 1$  Additionen und  $m_H = 2 \cdot (N + 1)$  Multiplikationen erforderlich. Für die Berechnung des Gleichanteils sind noch einmal  $N$  Additionen erforderlich, da alle Samples aufaddiert werden müssen. Die anschließende Division durch  $N$  kann durch eine Schiebeoperation realisiert werden. Für die Berechnung der Leistung des Signals sind weiterhin  $N$  Subtraktionen des Gleichanteils und  $N$  Additionen für das Aufaddieren der Quadrate der Samples erforderlich. Außerdem werden noch  $N$  Multiplikationen für das Quadrieren der Samples benötigt. Werden alle Additionen  $a$  bzw. Multiplikationen  $m$  zusammengezählt, ergibt sich, dass zusätzlich  $a = 3 \cdot N$  Additionen und  $m = N$  Multiplikationen benötigt werden. Wie groß der Zeitunterschied zwischen einer Multiplikation und einer Addition genau ist, konnte leider nicht herausgefunden werden. Deshalb wird angenommen, dass eine Multiplikation viermal so viel Zeit in Anspruch nimmt wie eine Addition.

Daraus folgt dann, dass die Berechnungszeit der Leistung des Signals  $k$ -mal der Berechnungszeit einer Harmonischen entspricht.

$$k = \frac{4 \cdot m + a}{4 \cdot m_H + a_H} = \frac{4 \cdot N + 3 \cdot N}{4 \cdot [2 \cdot (N + 1)] + 2 \cdot N + 1} \approx \frac{7 \cdot N}{10 \cdot N} = 0,7 \quad (7.1)$$

Aus diesen Ergebnissen lässt sich ein Faktor  $x$  ermitteln, um den die Berechnung nach der HDI-Methode schneller ist, als die mit der HD5-Methode:

$$x = \frac{5}{1+k} = \frac{5}{1.7} = 2,94 \quad (7.2)$$

## 7.3. Implementierung der ersten Berechnungsmöglichkeit

### 7.3.1. Vergleich der Zwischenergebnisse

In diesem Abschnitt werden die Zwischenergebnisse der 1. Berechnungsmöglichkeit, die in Abschnitt 5.4.1 beschrieben ist, untersucht. Zu Beginn der Untersuchung sollen die mit Matlab ermittelten Zwischenergebnisse mit den Ergebnissen des MSP430-Mikrocontrollers verglichen werden. Die Berechnungsergebnisse des Mikrocontrollers werden mit Hilfe der Debug-Funktion ermittelt. Die Zwischenergebnisse, aus denen sich später der Klirrfaktor errechnet, sind in Tabelle 7.3.1 dezimal dargestellt:

	Mit dem Mikrocontroller ermittelte Ergebnisse	Mit Matlab ermittelte Ergebnisse	mit Gleitkomma-Arithmetik berechnet
Gleichanteil	2219	2219	2219
Gesamtleistung	57041756	57041270	57041267
Leistung 1. Harmonische	56964756	56979925	56979924
ermittelter Klirrfaktor	3%	3%	3,72 %

Tabelle 7.1.: Vergleich der Ergebnisse des C-Programms und des Matlab Programms

An den Ergebnissen ist auffällig, dass die Berechnung des Gleichanteils sehr exakt möglich ist. Bei der Berechnung der Leistung der ersten Harmonischen sowie bei der Gesamtleistung treten Ungenauigkeiten auf, die vermutlich durch die Multiplikationen bedingt sind. Diese Vermutung kann durch die exakte Berechnung des Gleichanteils, für die keine Multiplikationen erforderlich ist, gefestigt werden. Die Ergebnisse der Matlab-Berechnung mit reduzierter Wortbreite liegen zudem näher am exakten Ergebnis als die Berechnungsergebnisse des Mikrocontrollers.

### 7.3.2. Vergleich der Durchlaufzeiten beider Verfahren

Im diesem Schritt soll die Durchlaufzeit beider Verfahren bestimmt werden. Um die Messung durchführen zu können, ist zuerst, wie in [7] praktiziert, in der Entwicklungsumgebung für den verwendeten Controller der MSP1232 angegeben worden, da dieser über keinen Hardware-Multiplizierer verfügt.

Für die Messung ist ein Timer verwendet worden, der alle  $100\mu\text{s}$  einen Zähler um 1 erhöht. Der Mikrocontroller arbeitet mit einem Systemtakt von 8MHz. Es sind bei diesem Versuch folgende Zählerstände ermittelt worden:

Verfahren	Zählerstand
HD5 Methode	34553
HDI-Methode	11284

Daraus kann ein Faktor  $x$  errechnet werden, der aussagt, um wie viel die Berechnung der HDI-Methode schneller als die Berechnung mit der HD5-Methode ist.

$$x = \frac{34553}{11284} = 3,06 \quad (7.3)$$

Als Ergebnis kann festgehalten werden, dass sich der Klirrfaktor unter Verwendung der HDI-Methode, sowie geschickterem Schieben und neuer Wurzel-Tabelle ungefähr um den Faktor 3 schneller berechnen lässt, als mit der HD5-Methode. Wenn die Berechnung wie in diesem Programm implementiert wird, besteht der Nachteil, dass alle aufgenommenen Samples gespeichert werden müssen. Deshalb wird im nächsten Schritt die zweite vorgeschlagene Berechnungsmethode untersucht.

## 7.4. Implementierung der ersten Berechnungsmöglichkeit

### 7.4.1. Vergleich der Zwischenergebnisse

Für diese Berechnungsmethode, die in Abschnitt 5.4.1 beschrieben ist, sollen zuerst die Zwischenergebnisse verglichen werden. In Tabelle 7.4.1 sind die ermittelten Teilergebnisse dezimal aufgelistet:

	Mit dem Mikrocontroller ermittelte Ergebnisse	Mit Fixed-Point-Arithmetik ermittelte Ergebnisse	mit Gleitkomma-Arithmetik berechnet
Gleichanteil	2219	2219	2219
Gesamtleistung	1786160	1783926	1782539
Leistung 1. Harmonische	1780148	1780623	1780074
ermittelter Klirrfaktor	4%	3%	3,72 %

Tabelle 7.2.: Vergleich der Ergebnisse des C-Programms und des Matlab Programms

Es ist für diese zweite Berechnungsmethode lediglich die Berechnung der Leistung des Signals verändert worden, sodass die Ergebnisse bis auf den Faktor  $\frac{1}{L}$  vergleichbar sind.

#### 7.4.2. Vergleich der Berechnungszeiten beider Verfahren

Für die zweite Berechnungsmethode wird eine etwas kürzere Durchlaufzeit erwartet, weil statt  $N$  Subtraktionen des Gleichanteils nur noch eine Multiplikation und eine Subtraktion nötig sind. In der folgenden Tabelle sind die ermittelten Zeiten der beiden Verfahren dargestellt:

Verfahren	Zählerstand
HD5-Methode	34509
HDI-Methode	9363

Daraus kann ein Faktor  $x$  errechnet werden, der aussagt, um wie viel die Berechnung mit der HDI-Methode schneller ist, als die Berechnung mit der HD5-Methode.

$$x = \frac{34509}{9363} = 3,69 \quad (7.4)$$

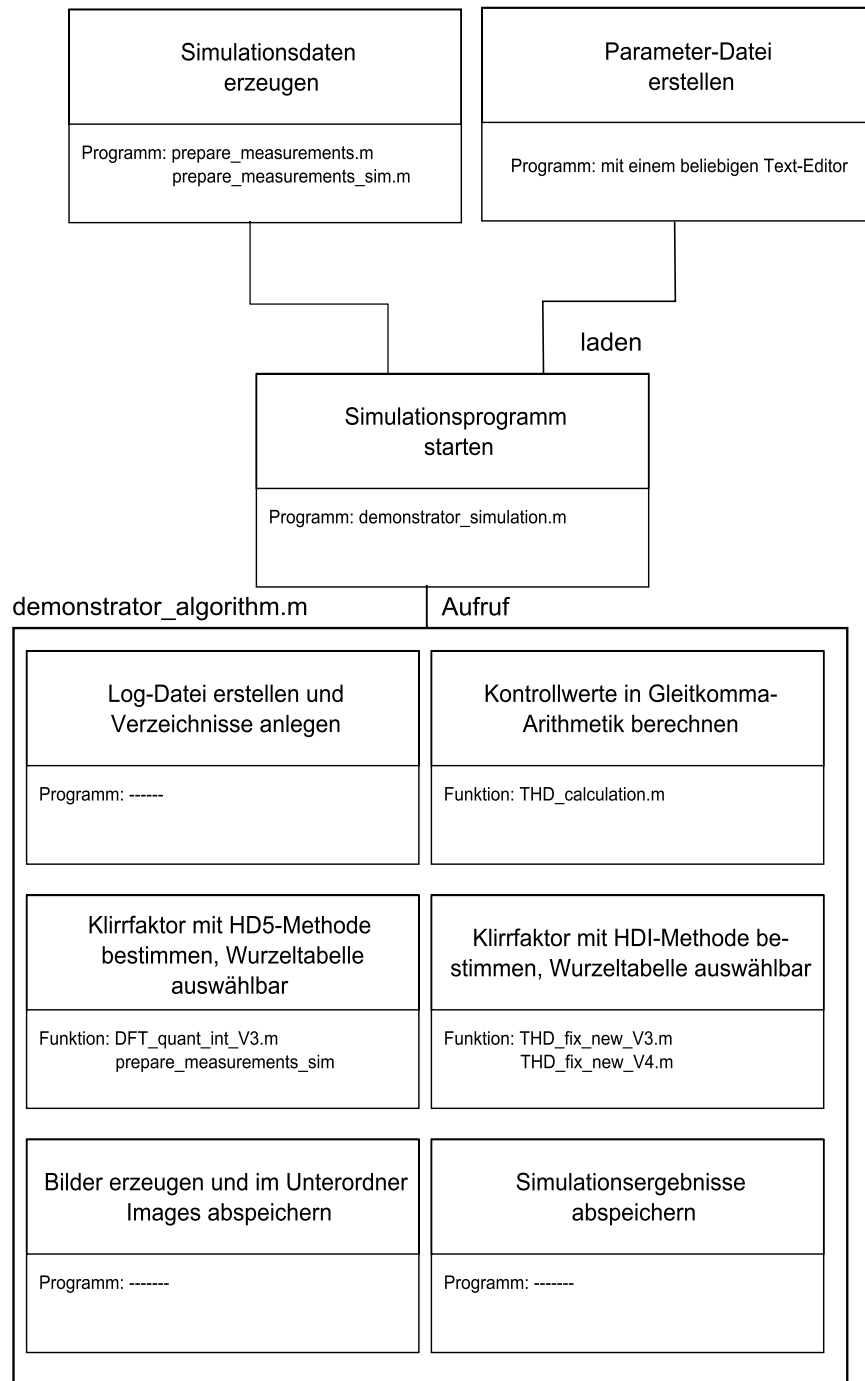
Wird der Klirrfaktor nach dieser Methode berechnet, ist die Berechnung sogar um den Faktor 3,69 schneller. Zudem besteht noch der Vorteil, dass die Samples nicht mehr gespeichert werden müssen und der Gleichanteil trotzdem berechnet werden kann. Daher ist es in der Praxis empfehlenswert, diese Berechnungsmethode zu verwenden.

# 8. Beschreibung des Simulationsprogramms

## 8.1. Einleitung

In diesem Kapitel soll das Programm vorgestellt werden, mit dem die Ermittlung des Klirrfaktors der Radmessplatz-Software nachgebildet werden kann. Mit dem Programm soll erreicht werden, den Klirrfaktor in Abhängigkeit vom Luftspalt zwischen Sensor und Encoder darzustellen. Damit eine Simulation einfach durchgeführt werden kann und die Simulationsergebnisse, sowie die verwendeten Simulationsparameter und die erstellten Bilder gut dokumentiert und für die spätere Verwendung gesichert werden können, ist ein Konzept erstellt worden, nachdem die Daten automatisch gesichert werden. Damit korrekte Ergebnisse erreicht werden, müssen bei Verwendung des Simulationsprogramms einige Punkte beachtet werden. Jeder Anwender, der das Simulationsprogramm bedienen möchte, sollte sich vor der erstmaligen Simulation mit diesem Kapitel der Diplomarbeit beschäftigen. Dazu werden im nächsten Abschnitt die einzelnen Arbeitsschritte erläutert. Dabei ist es wichtig, dass die Schritte der Reihe nach auszuführen. In der Abbildung 8.1 ist der Ablauf des Programms grafisch dargestellt.





Hier können weitere Programme entwickelt werden, mit denen die Simulationsdaten ausgewertet werden können

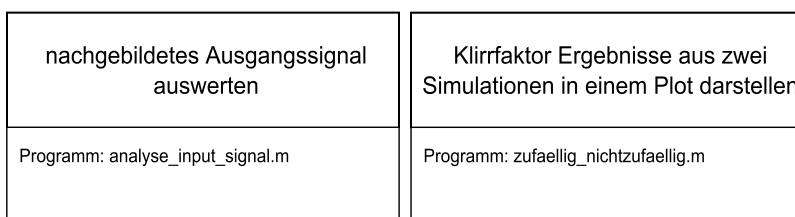


Abbildung 8.1.: Aufbau des Simulationsprogramms

## 8.2. Anleitung zum Durchführen einer Simulation

### 8.2.1. Aufbereiten der Messdaten

Für die Aufbereitung der Messdaten stehen zwei Matlab-Programme zur Verfügung. Das erste Programm trägt den Namen „prepare\_measurements“ und ist in Kapitel 3.4 beschrieben. Das zweite Programm trägt den Namen „prepare\_measurements\_sim“ und verwendet statt der Messdaten des Radmessplatzes nachgebildete Messergebnisse. Die Beschreibung des Programms befindet sich in Abschnitt 10.3.4.

### 8.2.2. Simulationsparameter festlegen

#### Einstellen von Zahlenwerten

In diesem Abschnitt werden die Simulationsparameter vorgestellt, die als Ziffer angegeben werden müssen. Tabelle 8.1 soll einen Überblick über die einstellbaren Parameter, die als Ziffer angegeben werden müssen, geben:

Parameter	Beschreibung	untere Grenze	obere Grenze
Nb_LUT	Auflösung der Sinus- und Kosinus-Tabelle	1 Bit	15 Bit
Nb_ADC	Auflösung des Analog-Digital-Umsetzers in Bit	1 Bit	15 Bit
No	Anzahl der berücksichtigten Harmonischen des HD5-Methode	eingestellte Anzahl der Harmonischen des approximierten Signals	
N_Sample	Anzahl der Samplewerte pro Periode	16	nicht vorgesehen

Tabelle 8.1.: Grenzen der einstellbaren Parameter

#### Auswahl der Datenquelle

Mit dem Parameter use\_data kann ausgewählt werden, ob die Daten, welche mit dem Oszilloskop aufgenommen wurden, oder ob die Daten die mit dem Demonstrator aufgenommen

wurden, zur Anwendung kommen sollen. Die Angabe wird hier in einer Zeichenkette gemacht. Durch die Angabe von 'demo' werden die Messdaten des Demonstrators ausgewählt. Durch die Angabe von 'scope' werden die Daten des Oszilloskops verwendet. Es besteht außerdem die Möglichkeit, keine Angabe zu machen. In diesem Fall wird als Default-Wert ('demo') verwendet.

### Auswahl der Wurzel-Tabelle

Mit dem Parameter use\_table kann eine Wurzel-Tabelle gewählt werden, in der die Wurzelfunktion gespeichert ist. Die Wurzel-Tabellen können mit einer Ziffer zwischen 1 und 4 ausgewählt werden. Der Default-Wert ist für diese Einstellung der Wert „2“. Eine Übersicht mit welcher Ziffer die gewünschte Tabelle ausgewählt werden kann, ist in Tabelle 8.2 dargestellt:

Ziffer	Wurzel-Tabelle
1	original Wurzel-Tabelle aus der Diplomarbeit von N.Jegenhorst
2	Methode mit PCM codierten Ausgabewerten (9 Stufen)
3	Methode mit PCM codierten Ausgabewerten (8 Stufen)
4	LUT-Methode mit unterschiedlichen Tabellen

Tabelle 8.2.: Übersicht der verschiedenen Wurzel-Tabellen

### Auswahl des Typs einer Variablen

Zur Auswahl des Typs der Variablen, die zur Berechnung des Klirrfaktors benötigt werden, gibt es 3 Auswahlmöglichkeiten:

- **short:** Dieser Datentyp entspricht dem Typ „short“ in der Programmiersprache C. Es stehen 15 Datenbits sowie 1 Vorzeichenbit zur Verfügung.
- **24Bit:** Dieser Datentyp ist im Rahmen dieser Diplomarbeit eingefügt worden. Da für die Wurzel-Tabelle ein gültiges Ergebnis mit einer Wortbreite von 14 Bit benötigt wird (s. Kapitel 6.4.4), kann es bei dem Datentyp „short“ zu Problemen kommen. Da der Aufwand laut Aufgabenstellung in dieser Arbeit reduziert werden soll, ist dieser Datentyp eingeführt worden. Er hat eine Wortbreite von 24 Bit, die sich in ein Vorzeichenbit und 23 Datenbits aufteilen.
- **long:** Dieser Datentyp entspricht dem Datentyp „long“ in der Programmiersprache C. Für die Daten stehen hier 31 Bit zur Verfügung, und für das Vorzeichen ist ein Bit reserviert. Der Datentyp wird als Default-Wert angenommen.

Der Name dieses Parameters in der Simulation lautet „wordlength“. Die vorgestellten Datentypen können als Zeichenkette für den Parameter „wordlength“ angegeben werden. Wenn für diesen Parameter in der Parameter-Datei nichts angegeben wird, wird automatisch der Datentyp „long“ verwendet.

### Auswahl der Berechnungsmöglichkeit für die HDI-Methode

In dieser Arbeit sind in Abschnitt 5.4 zwei Möglichkeiten für die Berechnung des Klirrfaktors vorgestellt worden. Bei der ersten Möglichkeit ist der Gleichanteil im Vorfeld berechnet, und von jedem aufgenommenen Zahlenwert subtrahiert worden. Bei der zweiten Möglichkeit wird der Gleichanteil parallel zur Berechnung der Signalleistung ermittelt. Wenn diese Berechnung abgeschlossen ist, wird erst der Gleichanteil abgezogen. Um die Berechnungsmethode frei wählen zu können, ist ein weiterer Parameter „noise\_inc\_var“ eingeführt worden. Wird für den Parameter keine Angabe gemacht oder eine 1 angegeben, wird die erste Berechnungsmöglichkeit ausgewählt. Mit einer 2 wird die zweite Möglichkeit ausgewählt.

### Beispiel einer Parameter-Datei

Damit die Parameter verwendet werden können, muss eine sogenannte Parameter-Datei erstellt werden. In dieser müssen die in diesem Abschnitt vorgestellten Parameter eingetragen werden. Die Parameter-Datei kann nach folgendem Muster in einem beliebigen Editor erstellt und als Text-Datei abgespeichert werden:

```
Nb_LUT = 10,           'Aufloesung der Sinus- und Kosinus-Tabelle'
Nb_ADC = 12,          'Aufloesung des ADC'
No = 5,               'Anzahl der beruecksichtigten Koeffizienten
                    für HD5-Methode'
N_Sample = 64,       'Anzahl der Abtastwerte pro Periode'
use_data = 'demo',   'Datenquelle'
use_table = 2,       'verwendete Wurzel-Tabelle (Doku DA)'
wordlength = 'long', 'Wortbreite der Register'
noise_inc_var = 2,   'Verwendung 2. Moeglichkeit der
Berechnung'
```

## 8.2.3. Verwalten der Simulationsergebnisse

### Der Name der Messreihe

Die Ergebnisse der Simulationen werden in dem Order „D:/simulation\_folder“ abgelegt. Für jede Messreihe wird ein Unterordner erstellt, dessen Name sich aus dem Namen der

Parameter-Datei, dem Datum und der aktuellen Uhrzeit zusammensetzt. Die Namensgebung einer Messreihe wird immer nach folgendem Muster vorgenommen: „Name der Parameter-Datei“\_JJJMMDDHHMM.

Für eine Messreihe, die zum Beispiel am 24.02.2010 um 12:45 aufgenommen und für die eine Parameter-Datei „test.txt“ verwendet wurde, wird ein Unterordner mit folgendem Namen erstellt: test\_201002241245.

### Erklärung der Log-Datei

Bei der Log-Datei handelt es sich um eine Textdatei, in der alle Informationen über die verwendeten Simulationsparameter, über das Eingangssignal sowie über das Ergebnis der Simulation festgehalten werden.

Das Aussehen der Log-Datei kann sich leicht verändern. Das ist davon abhängig, ob die aufgenommenen Daten des Radmessplatzes oder die Oszilloskopdaten verwendet wurden. Eine Log-Datei kann zum Beispiel wie folgt aussehen:

```

*****
*           Simulation Radmessplatz           *
*****

Messung durchgeführt am : 18.04.2010 um 18:55 Uhr

verwendete Parameter
Name der Parameterdatei       : D:\SVN\rmp\subprojects
\koch_le\sw\matlab\parameter files\demo.txt
Name der Messreihe           : 2009_10_07_rmp_01_for_simulation.mat
verwendete Messdaten         : demo
Samples pro Periode          : 64
berücksichtige Koeffizienten : 5
Auflösung Look-up Table für DFT : 10 Bit
Auflösung Analog-Digital-Umsetzer : 12 Bit
verwendete Look-up Tabelle    : PCM Codierung 9 Stufen
Berechnungsmöglichkeit HDI-Methode: Berechnung Gesamtleistung mit Gleichanteil
Wortbreite der Variablen     : long

*****
*           Eigenschaften des Eingangssignals           *
*****

Es werden die Messwerte des Demonstrators verwendet.
Nähere Informationen zum verwendeten Abtastverfahren sind in der
Diplomarbeit Jegenhorst nachzulesen.
verwendete Parameter
Anzahl der berücksichtigten Harmonischen           : 25

*****

Ergebnis der Simulation:

Simulation erfolgreich durchgeführt! Daten können unter dem
Namen Part_1_NLUT=10_No=5_NADC=12_Samples=64.sim
erneut geöffnet werden

```

\*\*\*\*\*

### Sicherung der Simulationsergebnisse

Die Simulationsergebnisse werden zur späteren Auswertung in einer MAT-Datei abgespeichert. Der Name dieser Datei setzt sich auch hier aus der Nummer der Teilsimulation und den Simulationsparametern zusammen. In dieser Datei sind alle Ergebnisse sowie die verwendeten Eingabedateien wie die Eingangssignale oder die Sinus- und Kosinus-Tabellen hinterlegt. Eine genaue Auflistung der Variablennamen und eine Beschreibung, welche Daten darin enthalten sind, ist im Anhang C.1 zu finden.

### Automatisch erstellte Plots

Nach jedem Durchlauf der Simulation werden automatisch einige Plots erstellt. Diese werden im Unterordner „Images“ zur Verfügung gestellt. Die Plots werden in den Formaten „\*.pdf“, „\*.jpg“ und „\*.fig“ gespeichert. Der Name der Plots setzt sich aus den Werten der Simulationsparameter, der Nummer der Teilsimulation sowie einer Endung, die die dargestellten Signale beschreibt, zusammen. Die Nummer der Teilsimulation ist bei den bisher behandelten einfachen Simulationen immer „Eins“. Der Wert ändert sich nur bei den Werten einer Simulationsreihe. Nähere Informationen zur Aufnahme einer Simulationsreihe sind Abschnitt 8.3 zu entnehmen. Nach einer Simulation werden Plots mit folgenden Endungen erzeugt:

- **Magnitudes\_Real\_and\_Imaginary\_Parts:** In diesem Bild sind die Beträge, Real- und Imaginärteile der ersten 5 Harmonischen dargestellt. In der oberen Reihe werden diese mit Gleitkomma-Arithmetik und in der zweiten Reihe mit Festkomma-Arithmetik berechnet.
- **THD\_over\_distance:** In diesem Plot wird der Klirrfaktor in Abhängigkeit von der Entfernung zwischen Sensor und Encoderrad dargestellt.
- **power\_of\_signals:** In diesem Plot ist die Leistung des Signals sowie der Leistung der ersten Harmonischen im Abhängigkeit von der Entfernung zwischen Encoderrad und dem Sensor dargestellt.
- **error\_approximated\_THD:** In diesem Plot ist der Fehler, der bei Festkomma-Berechnung des Klirrfaktors unter Berücksichtigung einer bestimmten Anzahl von Perioden dargestellt.
- **error\_HDI\_method:** In diesem Plot ist der Fehler, der bei Festkomma-Berechnung des HDI-Methode aufgetreten ist, dargestellt.

- **error\_demonstrator:** In diesem Plot ist der Fehler des mit dem Radmessplatz ermittelten Ergebnisses dargestellt.
- **error\_different\_implementations:** In diesem Plot wird der relative und der absolute Fehler zwischen der HDI-Methode und der HD5-Methode dargestellt. Dieser Fehler muss im idealen Fall Null sein.

### 8.3. Durchführung einer Reihe von Simulationen

Eine weitere wichtige Funktion des Simulationsprogramm ist die Erstellung einer Simulationsreihe. Wenn der Benutzer zum Beispiel wissen möchte, wie die Ergebnisse für einen Analog-Digital-Umsetzer mit einer Auflösung von 5,6,7 und 12 Bit aussehen, kann er folgende Parameter-Datei erstellen:

```
Nb_LUT = 10,  
Nb_ADC = [5 6 7 12],  
No = 5,  
N_Sample = 64,  
use_data = 'demo',  
use_table = 2,  
wordlength = 'long'
```

Das Simulationsprogramm führt dann vier Simulationen aus. Die Bilder werden für jede Simulation erstellt, jedoch nicht mehr angezeigt, da der Arbeitsspeicher schnell belegt sein würde. Für jede Simulationsreihe werden die relevanten Daten in einer eigenen Datei gespeichert, sodass die einzelnen Simulationen auch verwendet werden können. Der Dateiname für die erste Simulation beginnt mit „Part 1“, für die zweite Simulation dann mit „Part 2“. Für weitere Simulationen wird der Index weiter hochgezählt.

# 9. Ergebnisse der Simulation

## 9.1. Einleitung

In diesem Kapitel ist das Simulationsprogramm zuerst auf die Funktionalität geprüft worden. Verwendet werden hierfür, die in [7] festgelegten Parameter. Danach ist die Wortbreite der Variablen, in denen die Zwischenergebnisse abgelegt und aufaddiert werden, reduziert worden. Unter Verwendung dieser Ergebnisse wurde eine umfangreiche Simulationsreihe durchgeführt, um Parameter zu bestimmen, bei denen das Simulationsprogramm noch korrekte Ergebnisse ermitteln kann. In dieser Arbeit wird die Messreihe 2009\_10\_07\_rmp\_01 verwendet. Im folgenden sind einige Simulationen durchgeführt worden. Die Ergebnisse dieser Simulationen sind vollständig auf der Daten-CD [8] enthalten.

## 9.2. Simulation mit den verwendeten Parametern des Radmessplatzes

Als erstes soll der Radmessplatz mit den dort verwendeten Parametern simuliert werden. Um die Ergebnisse besser vergleichen zu können, werden die Ergebnisse, dem Demonstrator ermittelt worden sind, in dem selben Plot dargestellt. Die sonstigen Parameter der Simulation können der folgenden Parameter-Datei entnommen werden:

```
*****
*                               Simulation Radmessplatz                               *
*****

Messung durchgeführt am : 18.04.2010 um 18:55 Uhr

verwendete Parameter
Name der Parameterdatei      : D:\SVN\rmp\subprojects\koch_le\
sw\matlab\parameter files\demo.txt
Name der Messreihe          : 2009_10_07_rmp_01_for_simulation.mat
verwendete Messdaten        : demo
Samples pro Periode         : 64
berücksichtige Koeffizienten : 5
Auflösung Look-up Table für DFT : 10 Bit
Auflösung Analog-Digital-Umsetzer : 12 Bit
verwendete Look-up Tabelle   : PCM Codierung 9 Stufen
Berechnungsmöglichkeit HDI-Methode: Berechnung Gesamtleistung mit Gleichanteil
Wortbreite der Variablen    : long
```



```
*****
*           Eigenschaften des Eingangssignals           *
*****

Es werden die Messwerte des Demonstrators verwendet.
Nähere Informationen zum verwendeten Abtastverfahren sind in der
Diplomarbeit Jegenhorst nachzulesen.
verwendete Parameter
Anzahl der berücksichtigten Harmonischen           : 25

*****

Ergebnis der Simulation:

Simulation erfolgreich durchgeführt! Daten können unter dem
Namen Part_1_NLUT=10_No=5_NADC=12_Samples=64.sim
erneut geöffnet werden
*****
```

### 9.2.1. Diskussion des Klirrfaktors in Abhängigkeit zu der Entfernung zwischen Sensor und Encoderrad

In diesem Abschnitt wird der Klirrfaktor in Abhängigkeit von der Entfernung zwischen Sensor und Encoderrad näher betrachtet .

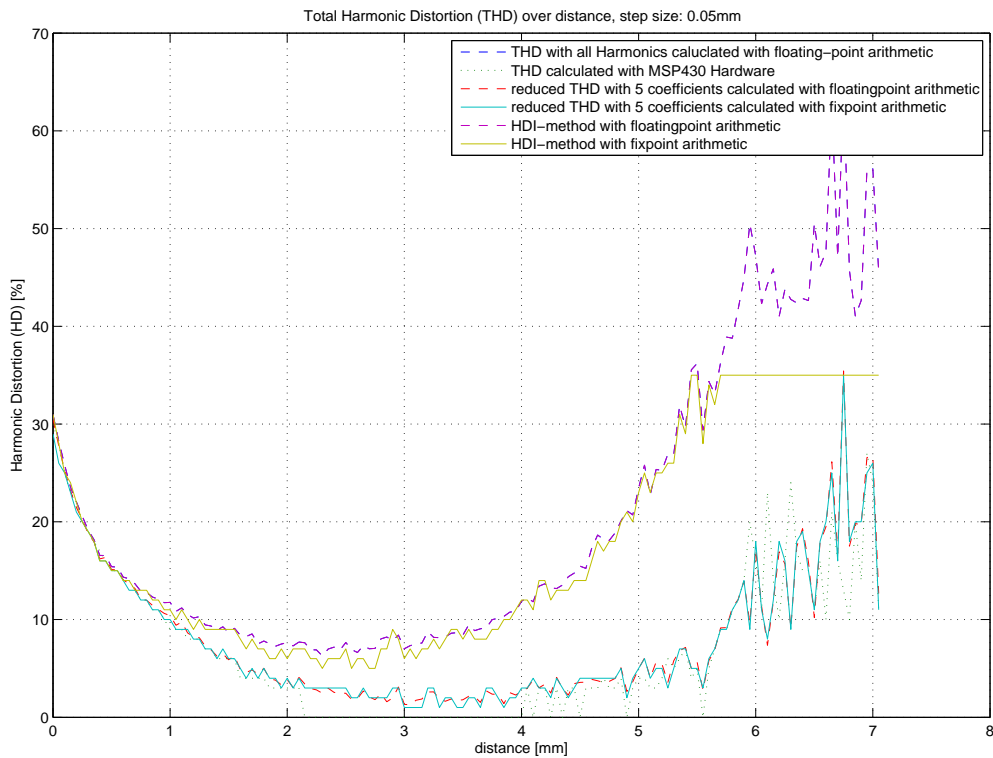


Abbildung 9.1.: Darstellung des Klirrfaktors in Abhängigkeit von der Entfernung zwischen Sensor und Encoderrad, für die Parameter des Radmessplatzes [8]

In Abbildung 9.1 ist zu erkennen, dass die Ergebnisse der HD5-Methode, mit den gemessenen Werten übereinstimmen. Bei Verwendung der HDI-Methode weichen die Ergebnisse der Festkomma- und Gleitkomma-Berechnung voneinander ab. Um das Problem zu untersuchen, wird die Formel zur Berechnung betrachtet:

$$THD = \sqrt{\frac{P_{ges} - P_1}{P_{ges}}} = \sqrt{1 - \frac{P_1}{P_{ges}}} \quad (9.1)$$

An dieser Formel lässt sich erkennen, dass der Klirrfaktor kleiner wird, wenn die Leistung der ersten Harmonischen zu groß geschätzt wird. Wenn mehr Harmonische berücksichtigt werden, weichen die Kennlinien ab einer Entfernung von ungefähr 0,5mm voneinander ab. Bei der Berechnung durch den Mikrocontroller besteht weiterhin das Problem, dass das Ergebnis bei sehr kleinen Werten Null wird. Das Problem kommt zum einen durch die ungünstig gewählte Wurzel-Tabelle zur Ermittlung der Wurzelfunktionen und zum anderen durch unnötig starke Reduzierung der Teilergebnisse, zustande.

Das mit Festkomma-Arithmetik berechnete Ergebnis mit der HDI-Methode, stimmt erwartungsgemäß mit der Berechnung des Klirrfaktors unter Berücksichtigung aller Koeffizienten überein. Das kann durch den Nachweis erklärt werden, der im A.2 angefügt ist.

Die Fixpoint-Implementationen nähern sich an die exakt berechneten Kennlinien gut an. Zur Untersuchung, der tatsächlich erreichten Genauigkeit, soll im nächsten Abschnitt untersucht werden. Wird die Entfernung größer als 0,5 Millimeter, vergrößern sich die ermittelten Ergebnisse der HD5 Methode und der HDI-Methode. Dieses Problem soll, im nachfolgenden Kapitel untersucht werden.

### 9.2.2. Analyse der Abweichungen bei Verwendung von Fixed-Point-Arithmetik

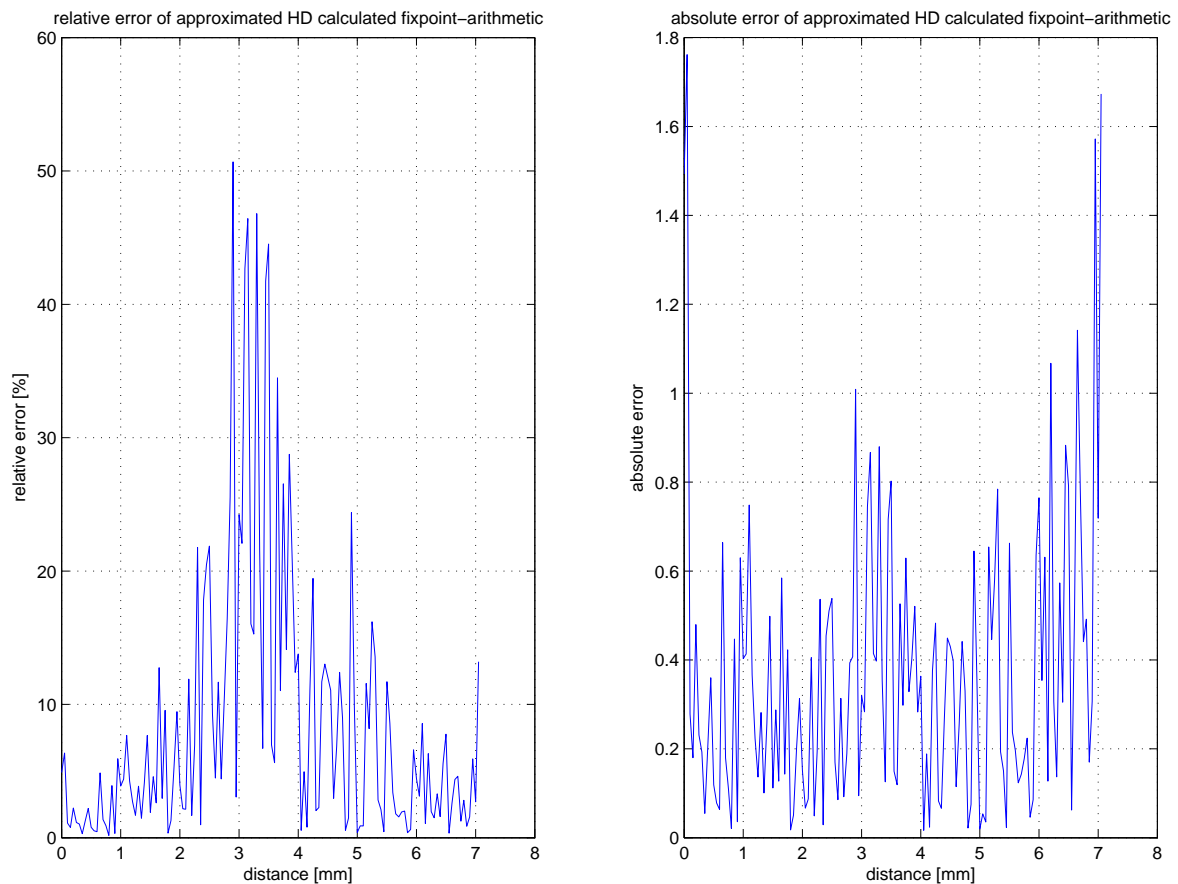


Abbildung 9.2.: Relative und absolute Abweichungen der HD5-Methode [8]

Wie Abbildung 9.2 zeigt, liegt dieser Implementierung die maximale Abweichung des Festkomma-Ergebnisses bei ca. 1.8%, allerdings ist an dieser Stelle der Klirrfaktor sehr groß. Für diesen Bereich ist nicht möglich das Radizieren mit einer Genauigkeit von 1% durchzuführen. Die übrigen Werte können in diesem Fall sicher mit einer Genauigkeit von

1,5% bestimmt werden. Das stimmt mit der zuvor festgelegten Genauigkeit der Wurzel-Tabelle überein.

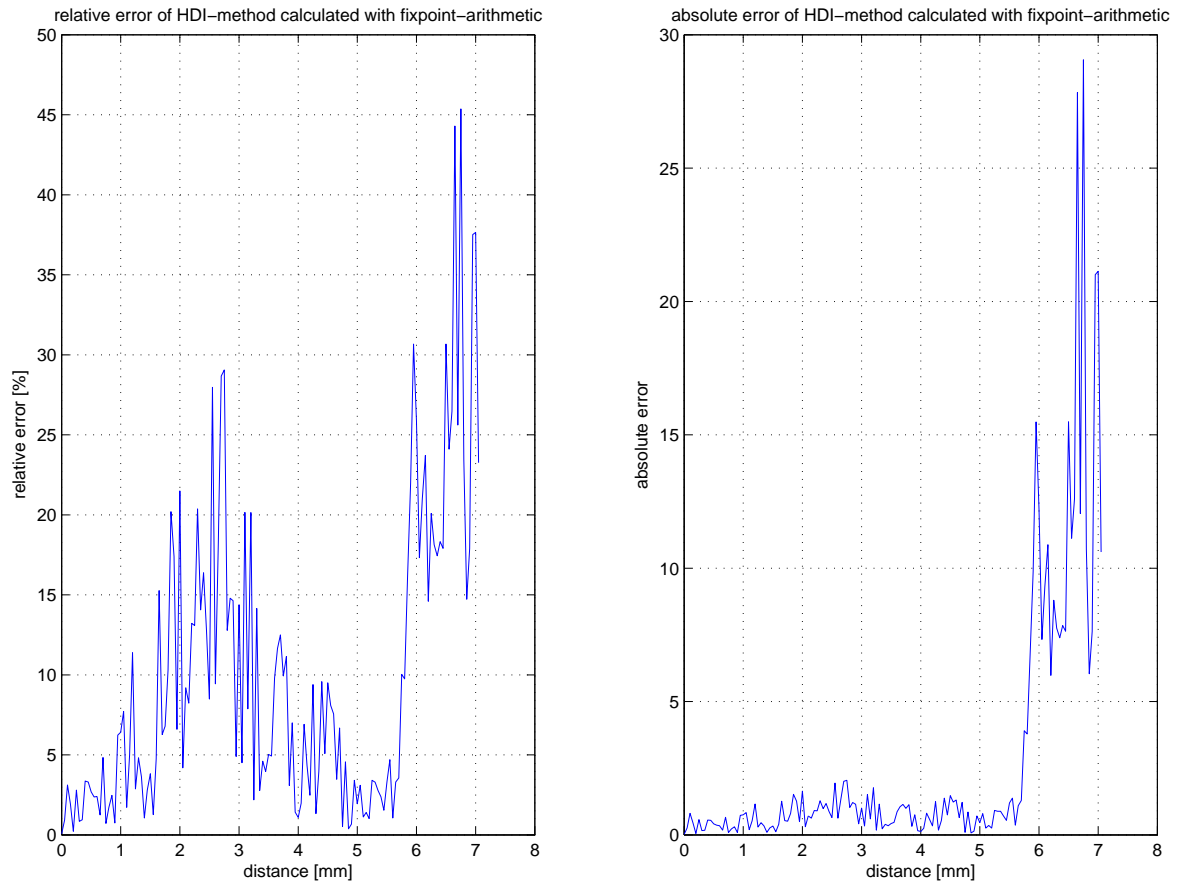


Abbildung 9.3.: Relative und absolute Abweichungen bei Verwendung der HDI-Methode [8]

In dem Fall, der in Abbildung 9.3 dargestellt ist, kann festgehalten werden, dass das Ergebnis, das zwischen 0 und 5,5 Millimeter berechnet wurde, um maximal 2% abweicht. Damit lässt sich eine Zustanserkennung eines ABS-Sensors durchführen. Da der Klirrfaktor (wie in Bild 9.1) bei dieser Implementierung für große Entfernungen sehr stark ansteigt, wird der Maximalwert, der in der Wurzel-Tabelle abgelegt ist, erreicht. Das hat zur Folge, dass der absolute und somit auch der relative Fehler größer wird.

In einem weiteren Plot ist die Abweichung zwischen den beiden Berechnungsverfahren dargestellt. Idealerweise sollte dieser Fehler Null sein. In Abbildung 9.4 ist bereits zu erkennen, dass für Entfernungen von mehr als 0,5 Millimeter der Fehler groß ist. Daraus lässt sich schließen, dass ein Problem vorliegt, das im folgenden Kapitel näher untersucht wird.

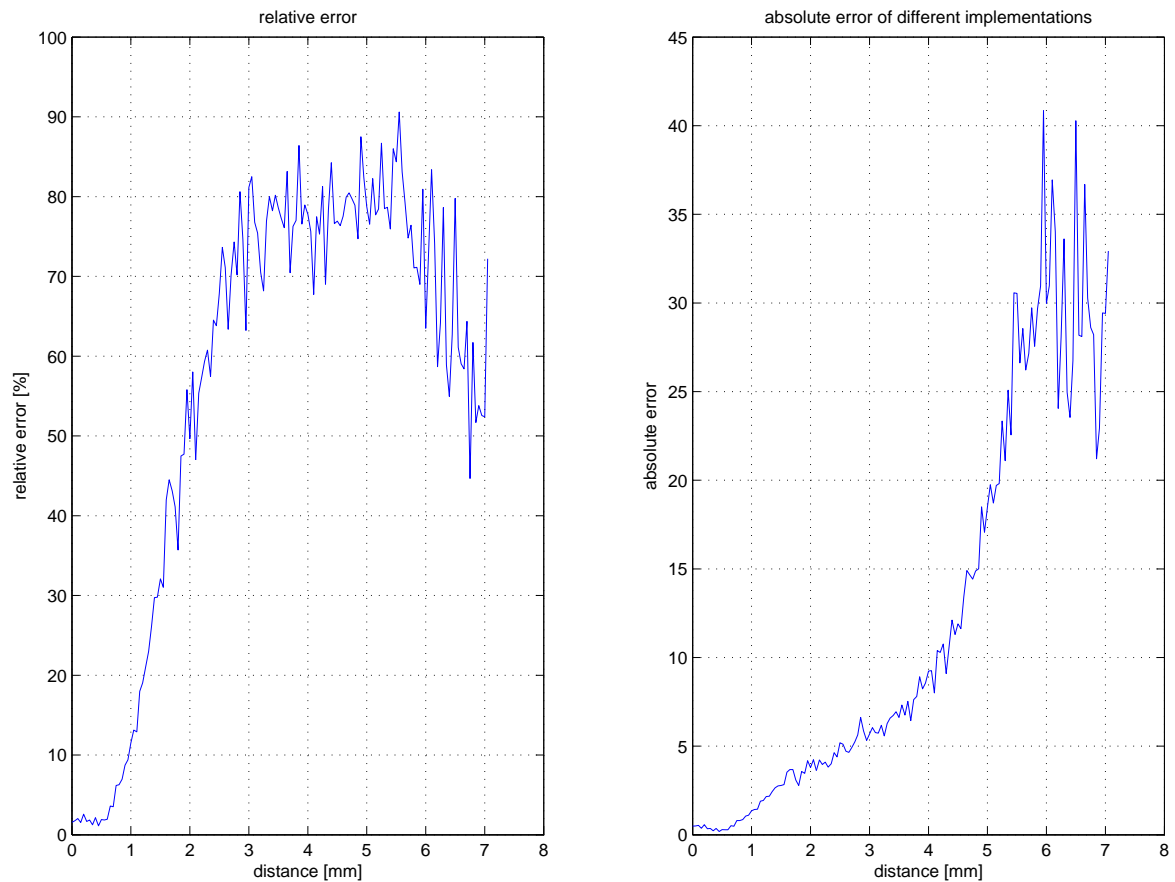


Abbildung 9.4.: Darstellung der Abweichung zwischen den beiden verwendeten Berechnungsverfahren [8]

## 9.3. Reduzierung der Wortbreite der Variablen

### 9.3.1. Reduzierung der Wortbreite auf 16 Bit

In diesem Versuch sollen die Variablen zum Speichern der Ergebnisse und für die Additionen nur noch 16 Bit aufweisen. Vor den Multiplikation wird die Wortbreite nach wie vor auf 16 Bit begrenzt.

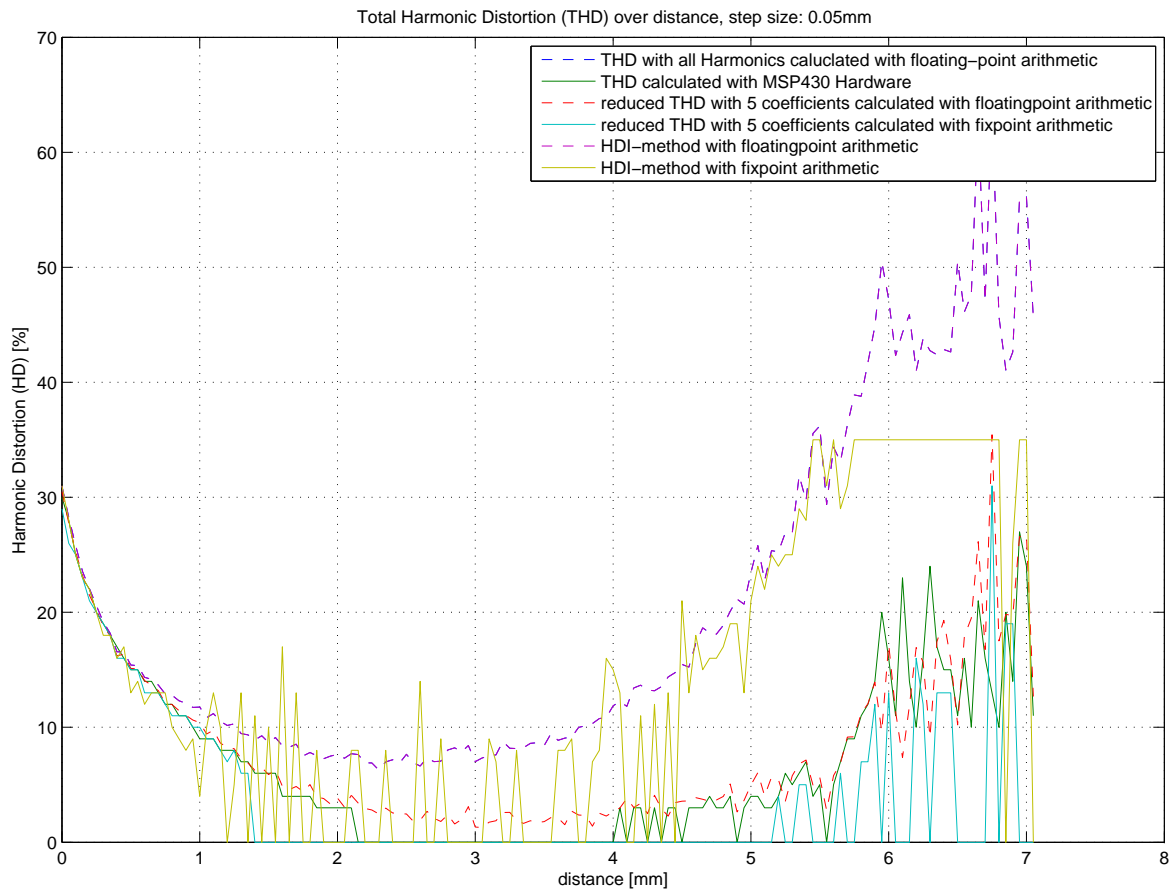


Abbildung 9.5.: Darstellung des Klirrfaktors in Abhängigkeit von der Entfernung zwischen Sensor und Encoderrad [8]

Anhand der Abbildung 9.5 lässt sich erkennen, dass der Klirrfaktor nicht mehr zuverlässig ermittelt werden kann. Bei der HD5-Methode (türkis) ist es wohl bei der Berechnung der zweiten bis fünften Harmonischen zu sehr kleinen Ergebnissen gekommen, sodass diese durch Quantisierung Null werden. Deshalb ist der Klirrfaktor bei diesem Berechnungsverfahren an den entsprechenden Stellen Null. Dieses Problem besteht zwar bei Verwendung der HDI-Methode (beiger Verlauf) Berechnung nicht. Stattdessen können die Gesamtleistung sowie die Leistung der ersten Harmonischen des Signals nur mit unzureichender Genauigkeit berechnet werden, da bei geringer Wortbreite  $NOB$  die Signal-zu-Rauschleistung  $SNR$  kleiner sein muss. Für ein sinusförmiges Signal kann die Signal-zu-Rauschleistung durch folgende Formel bestimmt werden:

$$SNR = NOB \cdot 6,02 + 1,76 \quad (9.2)$$

Im schlimmsten Fall kommt es wegen Genauigkeitsproblemen zu dem Fall, dass die erste

Harmonische des Signals größer als die Gesamtleistung ist, kommen. Für den Fall wird die Berechnung abgebrochen und der Klirrfaktor ist Null.

In Abschnitt 6.4.4 ist beschrieben, dass für die Einhaltung der Spezifikationen der Wurzel-Tabelle 14 Bit, die nicht durch Rauschen beeinflusst sind, ermittelt werden müssen. Das ist in diesem Fall auch nicht mehr gegeben. Eine genauere Analyse der Fehler erübrigt sich für diesen Fall, da die Qualität der Ergebnisse unzureichend ist.

### 9.3.2. Reduzierung der Wortbreite auf 24 Bit

Im nächsten Schritt soll die Wortbreite auf 24 Bit reduziert werden. Es gibt zwar keinen Standarddatentypen, in dieser Wortbreite. Die Ergebnisse dieser Simulation können für eine spätere Beschreibung mit VHDL von Bedeutung sein, da pro Register 8 Bit eingespart werden können.

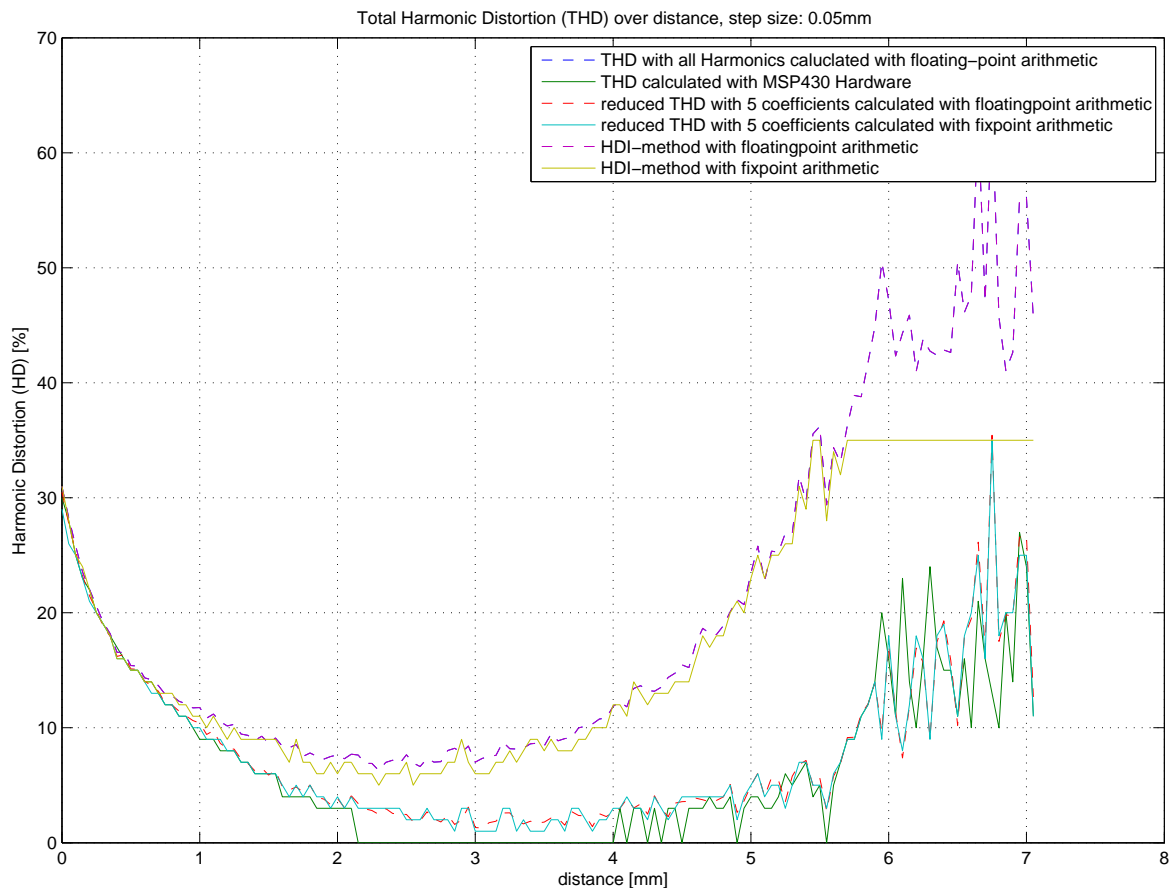


Abbildung 9.6.: Darstellung des Klirrfaktors in Abhängigkeit von der Entfernung zwischen Sensor und Encoderrad [8]

In Abbildung 9.6 ist dargestellt, dass Ergebnisse mit denen der ersten Simulation mit einer Wortbreite von 32 Bit, vergleichbar sind. Zur genaueren Bewertung der Ergebnisse werden in den Abbildung 9.7 und 9.8 die Abweichungen der Fixed-Point-Implementierung dargestellt.

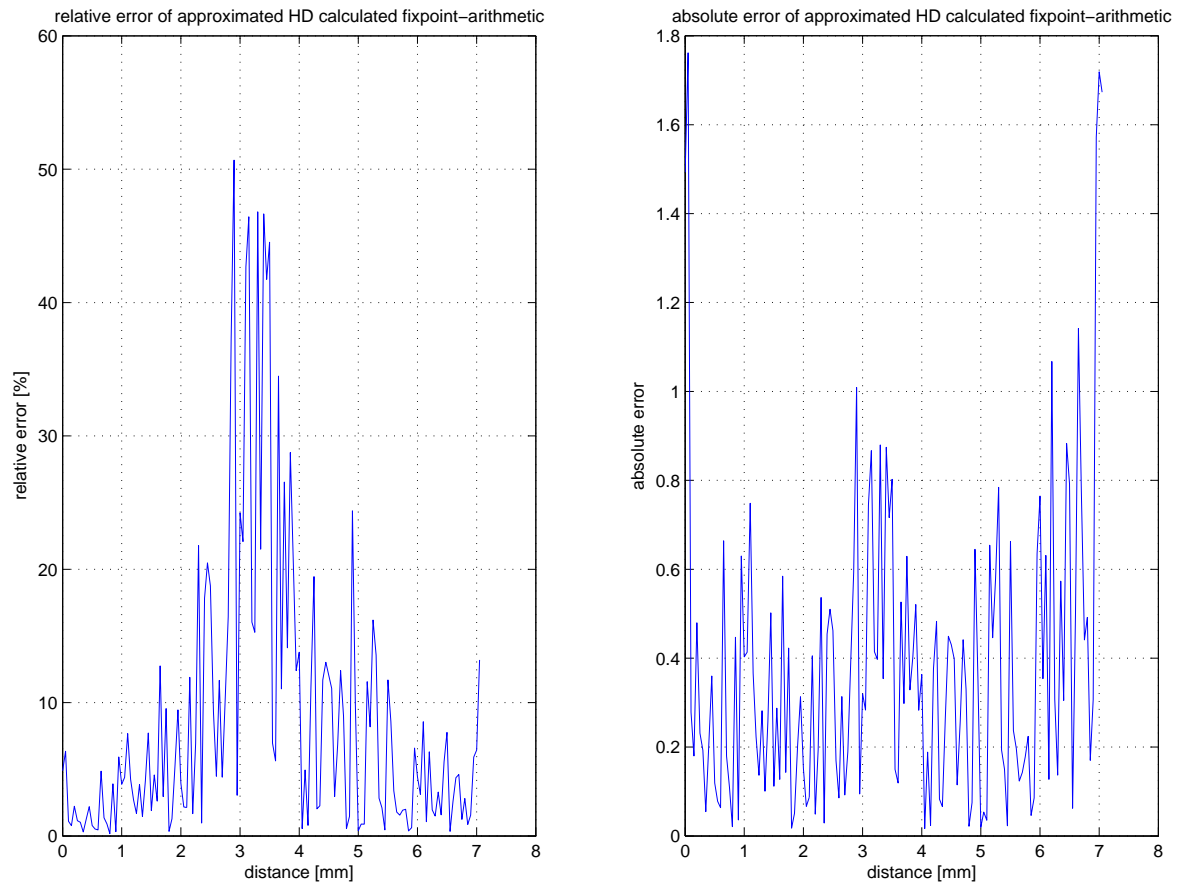


Abbildung 9.7.: Darstellung der absoluten und relativen Abweichungen der HD5-Methode bei Berechnung mit einer Wortbreite von 24 Bit [8]



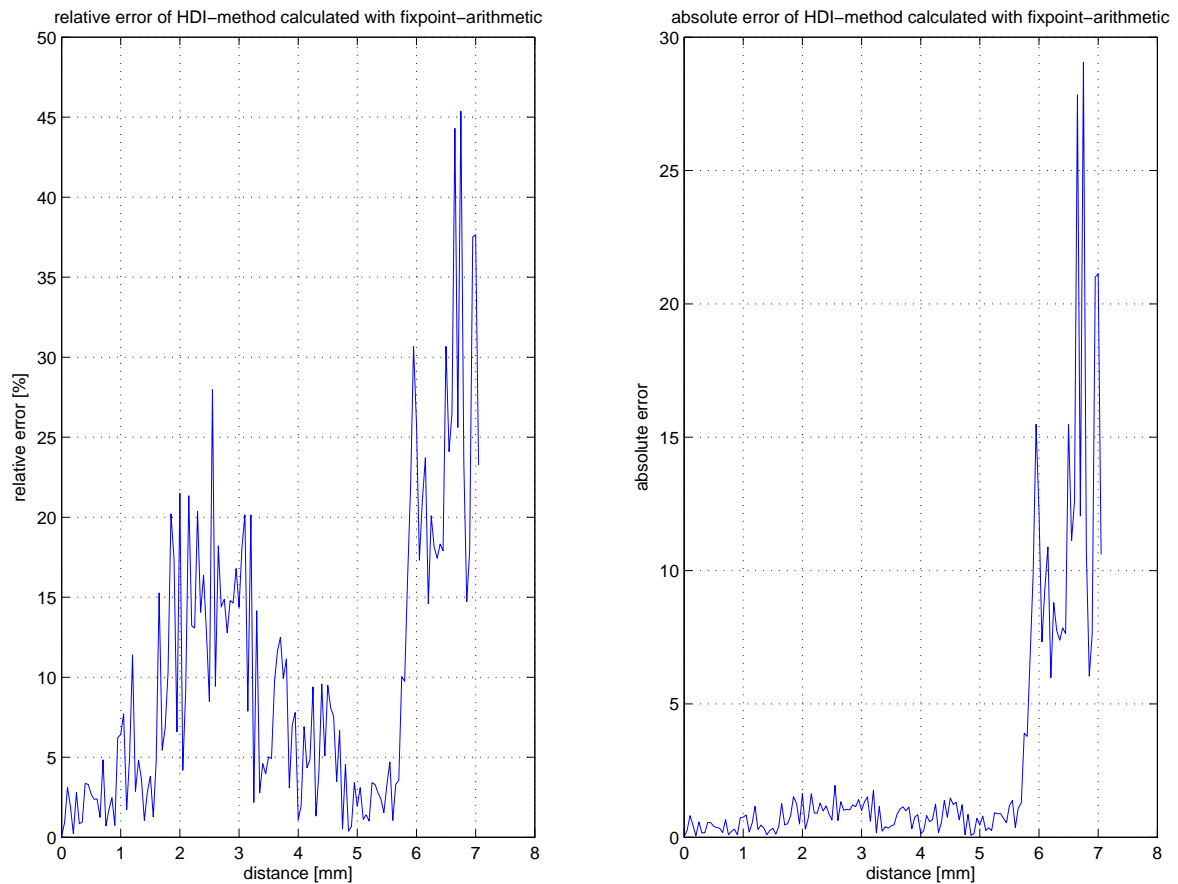


Abbildung 9.8.: Darstellung der absoluten und relativen Abweichungen der HDI-Methode bei Berechnung mit einer Wortbreite von 24 Bit [8]

### 9.3.3. Bewertung der Simulationsergebnisse

Eine genaue Aussage, wie stark die Wortbreite begrenzt werden kann, ist nach Meinung des Autors nach dem jetzigen Stand des Projektes noch unseriös, da erst genaue Schwellen festgelegt werden müssen, ab welcher Größe des Klirrfaktors für die richtige Funktion des Anti-Blockier-System garantiert werden kann. Erst wenn dieses festgelegt ist, ist eine verbindliche Aussage über die Wortbreite möglich.

Wird jedoch davon ausgegangen, dass die jetzigen Spezifikationen an die Auflösung der Ergebnisse, die in Abschnitt 6.1.3 dargestellt sind, endgültig erreicht werden müssen, ist eine Reduzierung der Wortbreite auf 16 Bit nicht zulässig. Es ist jedoch ausreichend die Wortbreite der Register in denen die Werte gespeichert werden auf 24 Bit zu begrenzen. Es kann dann ein 24-Bit-Addierer und ein 16x16-Bit Multiplizierer verwendet werden, dessen Ergebnis auf 24 reduziert werden muss.

## 9.4. Reduzierung der Eingangswerte

### 9.4.1. Versuchsbeschreibung

Als nächstes soll eine Simulationsreihe durchgeführt werden, bei der die Auflösung der Sinus- und Kosinus-Tabellen sowie die Auflösung des Analog-Digital-Umsetzer verkleinert wird. Die Sinus- und Kosinus-Tabelle soll eine Wortbreite von 6-, 7-, 8-, 9- und 10-Bit aufweisen. Die Auflösung des Analog-Digital-Umsetzers(ADC) soll eine Auflösung von 6-, 8-, 10- und 12-Bit annehmen. Die Wortbreite der Variablen soll auf 24-Bit begrenzt werden, da sie in dem vorherigen Abschnitt als kleinste sinnvolle Wortbreite experimentell bestimmt worden ist. Weiterhin sind folgende Parameter verwendet worden:

- Anzahl der berücksichtigten Koeffizienten für reduzierten Klirrfaktor: 5
- Wurzel-Tabelle: in 9 Stufen als PCM-Codewort codiert
- Datenquelle: Messwerte des Demonstrators
- Anzahl der Abtastwerte pro Periode: 64
- Es werden beide Berechnungsmöglichkeiten der HDI-Methode verwendet.

### 9.4.2. Ergebnisse des Versuchs

Da diese Simulation sehr umfangreich ist, sind die Ergebnisse dieser Simulation im Anhang in Punkt D.1 dargestellt. Beispielhaft sind in Abbildung 9.9 und 9.10 für beide Berechnungsmethoden die die Ergebnisse unter Verwendung eines 6 Bit ADC und einer Sinus- und Kosinus-Tabelle mit einer Wortbreite von 10 Bit dargestellt:

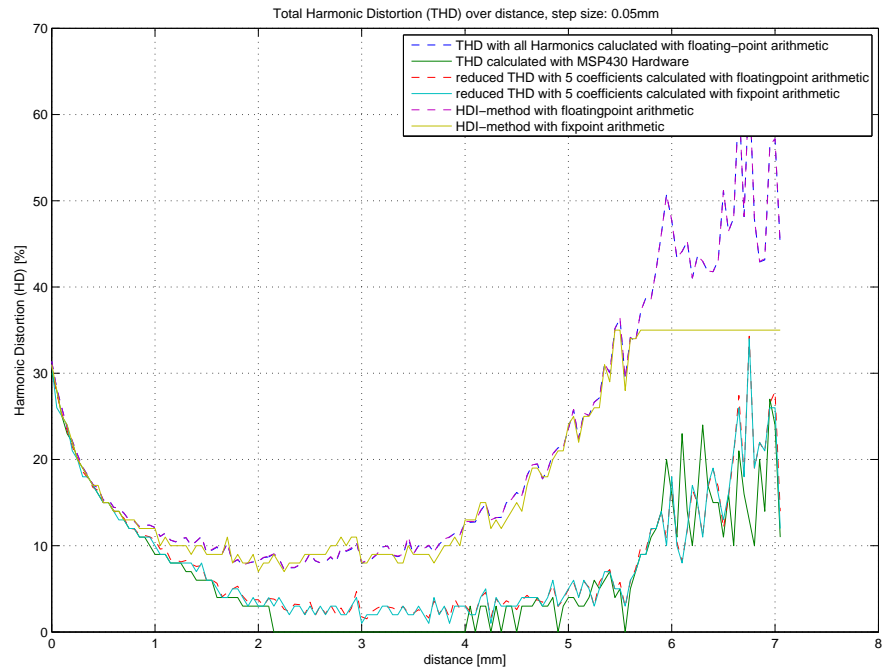


Abbildung 9.9.: Klirrfaktor in Abhängigkeit von der Entfernung zwischen Sensor und Encoderrad bei Verwendung der ersten Berechnungsmöglichkeit [8]

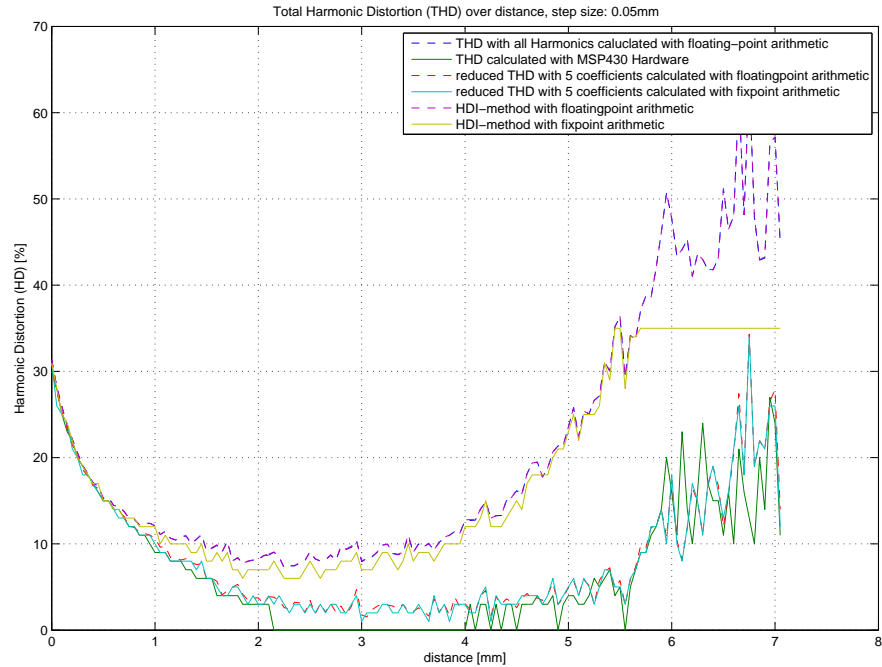


Abbildung 9.10.: Klirrfaktor in Abhängigkeit von der Entfernung zwischen Sensor und Encoderrad bei Verwendung der zweiten Berechnungsmöglichkeit [8]

### 9.4.3. Auswertung der Versuchs

Bei der Auswertung des Versuchs wurde festgestellt, dass eine Reduzierung der Sinus- und Kosinus-Wertetabellen, gerade für die Ergebnisse, die mit der HDI-Methode ermittelt worden sind, nicht unproblematisch ist. Wenn eine Sinus- und Kosinus-Wertetabelle mit einer Auflösung von 6-Bit und ein Analog-Digital-Umsetzer mit einer Auflösung von 12-Bit verwendet werden, sind die Ergebnisse, wie in Abbildung D.8 bzw. D.24 dargestellt ist, nicht zufriedenstellend. Deshalb ist es eher zu empfehlen, etwas mehr Speicherplatz zu belegen um eine Wertetabelle mit einer Auflösung von 10-Bit abzuspeichern und dafür die Wortbreite des Analog-Digital-Umsetzers auf 8-Bit zu reduzieren.

## 9.5. Erhöhung der Abtastfrequenz

### 9.5.1. Versuchsbeschreibung

In einem weiteren Versuch soll die Abtastfrequenz erhöht werden, sodass sich die Anzahl der Samples pro Periode erhöht. Die Wortbreite der Variablen beträgt immer noch 24-Bit. Aus dem letzten Versuch ist eine sinnvolle Auflösung der Sinus- und Kosinus-Tabelle von 10-Bit ermittelt worden. Die Auflösung des ADC soll zwischen 2- und 6-Bit variieren, ebenso die Abtastrate in Zweierpotenzen von  $2^7 = 128$  bis  $2^9 = 512$ .

### 9.5.2. Ergebnisse des Versuchs

Die Ergebnisse dieses Versuch sind in Anhang D.2 dargestellt. Beispielhaft sind in Abbildung 9.11 und 9.12 für beide Berechnungsmethoden die die Ergebnisse unter Verwendung eines 6 Bit ADC und Ermittlung von 512 Samples pro Periode dargestellt.

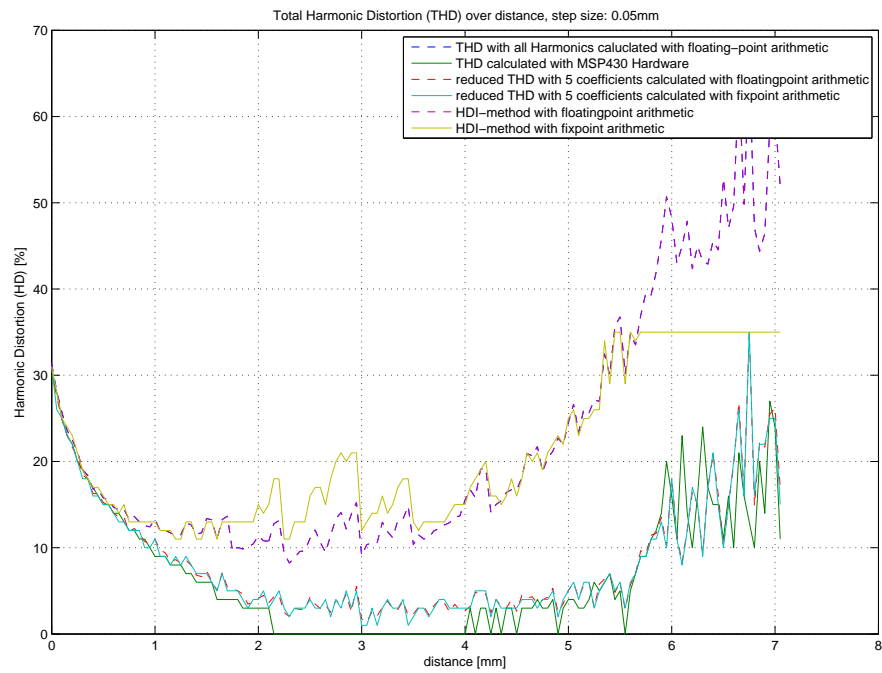


Abbildung 9.11.: Klirrfaktor in Abhängigkeit von der Entfernung zwischen Sensor und Encoderrad unter Berücksichtigung von 512 Samples pro Periode [8]

[8]

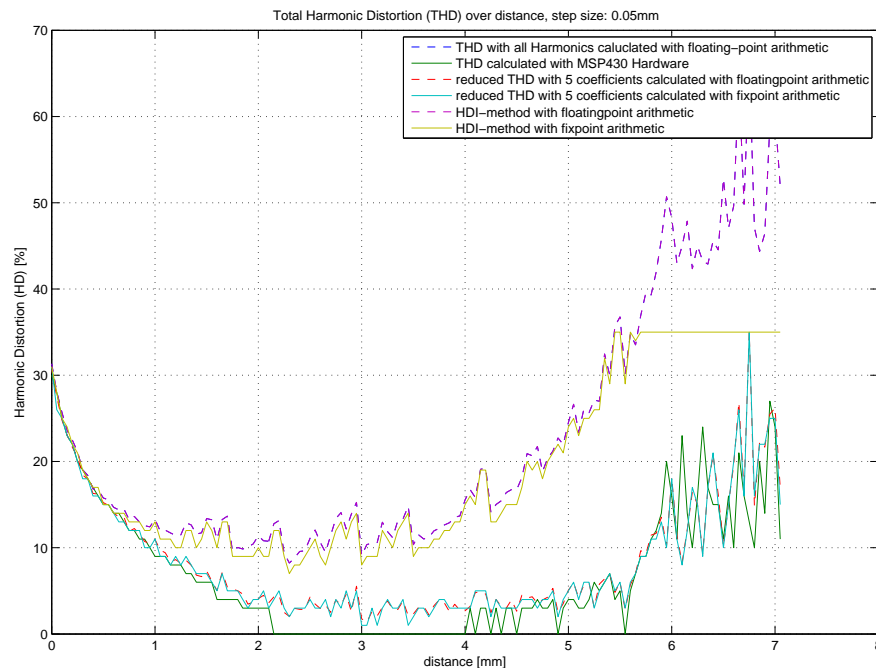


Abbildung 9.12.: Klirrfaktor in Abhängigkeit von der Entfernung zwischen Sensor und Encoderrad unter Berücksichtigung von 512 Samples pro Periode

### 9.5.3. Auswertung des Versuchs

Bei diesem Versuch wurde festgestellt, dass die Ergebnisse bei Erhöhung der Abtastfrequenz und Berechnung mit begrenzter Wortbreite besser mit den Ergebnissen, die zur Kontrolle mit Gleitkomma-Arithmetik bestimmt worden sind, übereinstimmen. Wenn die Wortbreite Analog-Digital-Umsetzers kleiner als vier Bit wird, sind die Ergebnisse fehlerhaft.

## 9.6. Vor- und Nachteile der HDI-Methode

In diesem Abschnitt sollen die Vor- und Nachteile der HDI-Methode diskutiert werden. Zu den Vorteilen zählen folgende Punkte:

- Ein großer Vorteil dieses Verfahrens ist, dass die Berechnung weniger Zeit in Anspruch nimmt. Die Messergebnisse können in Kapitel 7 nachgelesen werden.
- Weiterhin ist festzuhalten, dass der Parameter „Anzahl der berücksichtigten Koeffizienten“ für dieses Verfahren keine Bedeutung mehr hat. Es besteht keine Gefahr mehr, dass nicht genügend Harmonische zur Berechnung des Klirrfaktors berücksichtigt werden.

- Ein weiterer Vorteil besteht darin, dass nur noch zwei Sinus- und Kosinus-Tabellen benötigt werden. Das Auswahlverfahren zur Ermittlung des passenden Wertes, das in [7] verwendet wurde, ist nicht mehr erforderlich.

Dem gegenüber stehen folgende Nachteile:

- Ein großer Nachteil dieses Verfahrens ist, dass im Zähler der Gleichung 5.4 eine Differenz gebildet werden muss. Das kann dazu führen, dass die Differenz negativ wird. Das kann ebenfalls auftreten, wenn eine der Quantisierungsfehler der Leistung der 1. Harmonischen, durch die Verwendung einer Sinus- und Kosinus-Tabelle mit geringer Wortbreite, nicht zu vernachlässigen ist. Theoretisch tritt dieser Fall nie ein, da die Leistung der ersten Harmonischen niemals größer werden darf, als die Gesamtleistung des Signals. Wenn jedoch die Sinus- und Kosinus-Tabelle oder die Wortbreite der Variablen reduziert wird, tritt dieser Fall ein (s. Abschnitt 9.3.1). Um keinen Absturz des Simulationsprogramms zu verursachen, ist dieser Fall abgefangen, und der Klirrfaktor zu Null gesetzt worden.
- Bei diesem Verfahren ist außerdem der Gleichanteil störend, der dem Ausgangssignal des Sensors überlagert ist. Dieser muss entweder durch eine gute Schätzung oder durch genaue Berechnung ermittelt werden und dann von dem digitalen Eingangssignal abgezogen werden.

# 10. Bewertung der Ergebnisse

## 10.1. Abweichungen der Ergebnisse bei Verwendung der HDI-Methode

Anhand der Beobachtungen der Simulation aus Abschnitt 9.2 ist festgestellt worden, dass der Klirrfaktor, der unter Berücksichtigung der ersten fünf harmonischen Schwingungen errechnet wurde, ab 0,5 Millimeter erheblich von dem Klirrfaktor, der mit der HDI-Methode berechnet ist, abweicht.

Eine weitere Simulation, die die aufgezeichneten Daten des Oszilloskops verwendet, zeigt, dass die Approximation des Klirrfaktor durch die HD5-Methode erlaubt ist. Die Ergebnisse sind in Abbildung 10.1 dargestellt.



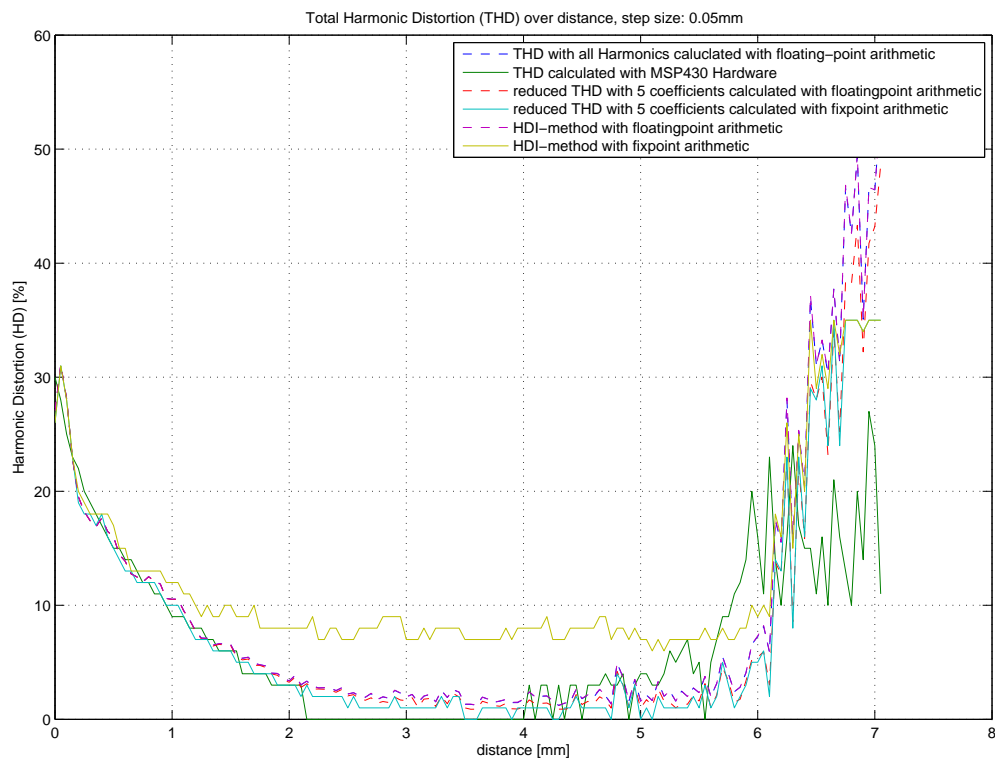


Abbildung 10.1.: Klirrfaktor über die Distanz bei Verwendung von Messdaten des Oszilloskops [8]

Aufgrund dieser Erkenntnis besteht die Vermutung, dass die Abweichung durch die Unterabtastung entsteht, da die Oszilloskopdaten mit einer Samplefrequenz  $f_s$  von 250kHz aufgenommen worden sind. Zudem ist dem ADC und dem Oszilloskop derselbe Vorverstärker vorgeschaltet, sodass dieser ebenso als mögliche Fehlerquelle ausgeschlossen werden kann. In diesem Kapitel soll daher die Ursache des Problems erforscht und Lösungen diskutiert werden.

## 10.2. Untersuchung möglicher Ursachen des Fehlers

### 10.2.1. HD5-Methode um Harmonische erweitern

In dem ersten Versuch soll geklärt werden, wie viele Harmonische berücksichtigt werden müssen, damit das Ergebnis der HD5-Methode mit den Ergebnissen der HDI-Methode nahezu übereinstimmt. Dazu ist zuerst eine Simulation mit den gleichen Parametern, wie sie in Abschnitt 9.2 verwendet worden, durchgeführt. Der einzige Unterschied ist, dass statt 5

Harmonische jetzt 12 Harmonische berücksichtigt werden. Der Klirrfaktor über die Größe des Luftspalts zwischen Sensor und Encoderrad ist in Abbildung 10.2 dargestellt.

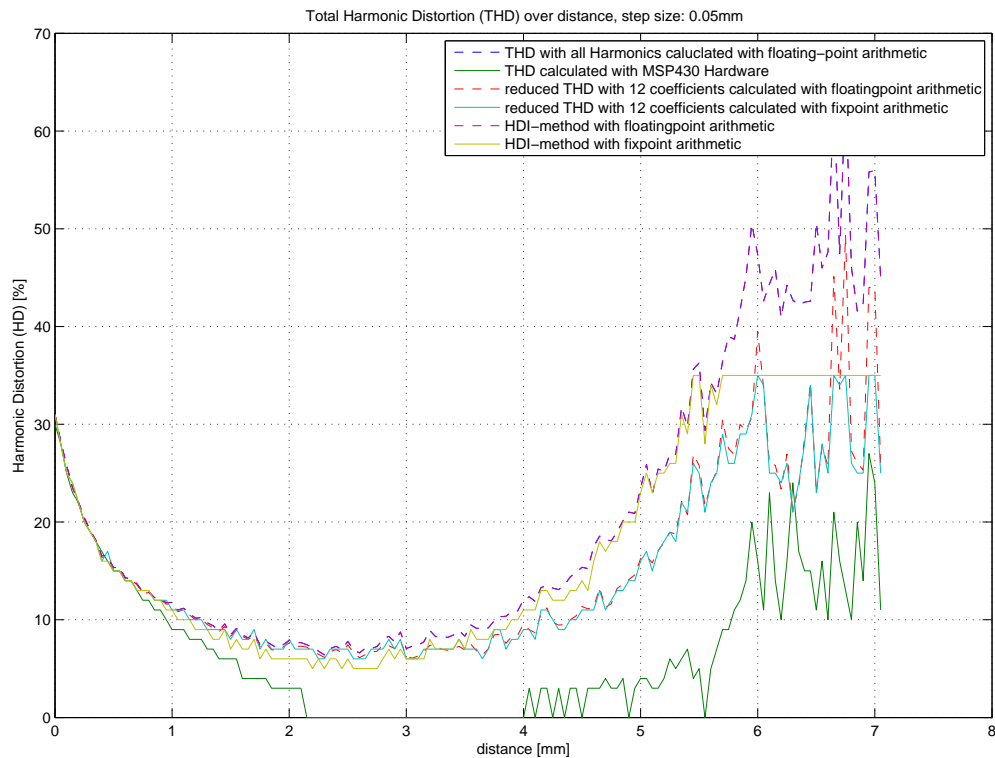


Abbildung 10.2.: Klirrfaktor über die Distanz mit Messdaten des Demonstrators [8]

Bei Betrachtung der Simulationsergebnisse in Abbildung 10.2 ist festzustellen, dass die Klirrfaktorberechnung mit 12 Oberschwingungen mit den Ergebnissen der HDI-Methode-Berechnung wesentlich besser übereinstimmt. Es ist also anzunehmen, dass dem unterabgetasteten Signal Harmonische überlagert sind. Deshalb soll als nächstes eine Analyse des unterabgetastetem Ausgangssignal durchgeführt werden.

### 10.2.2. Bewertung der Qualität des Eingangssignals

Um diesen Fehler zu untersuchen, wurde zunächst das abgetastete Signal des Demonstrators für verschiedene Entfernungen zum Sensor verglichen. Die erzielten Ergebnisse sind in Abbildung 10.3 und 10.4 dargestellt, die mit dem Matlab-Script „zufaellig\_nichtzufaellig.m“ erzeugt worden sind.

Bei Betrachtung der Signale im Zeitbereich ist bereits festzustellen, dass dem Signal bei größeren Entfernungen eine Oberschwingung überlagert ist, die nicht zu vernachlässigen

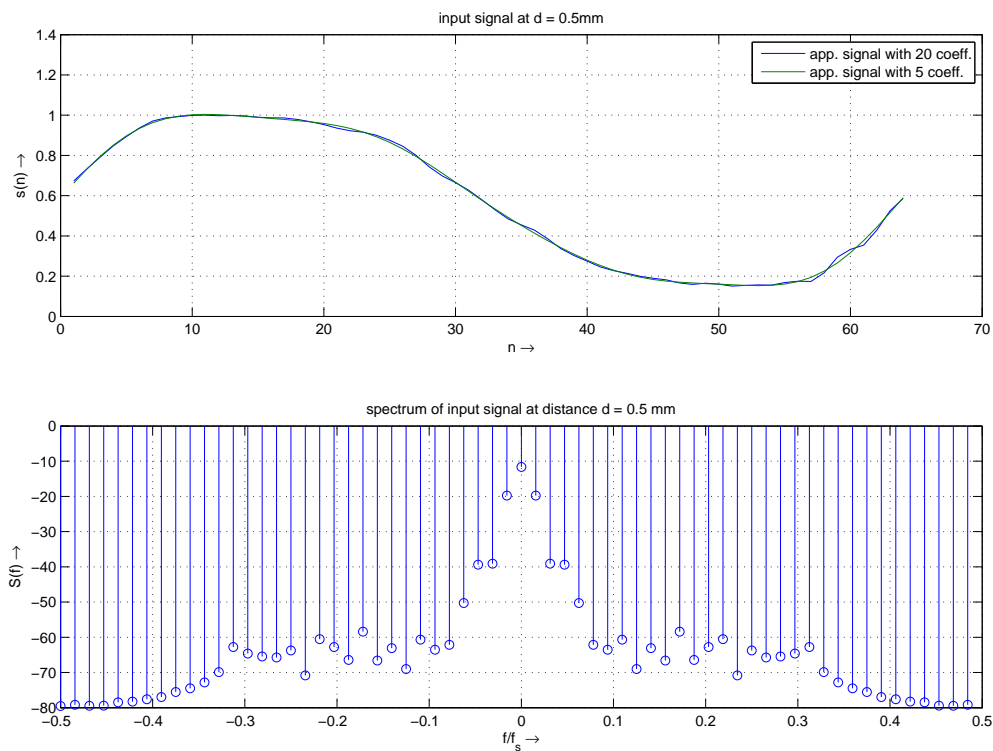


Abbildung 10.3.: Eingangssignal bei einer Entfernung zwischen Sensor und Encoderrad von 0,5mm

ist. Werden die im unteren Teil des Bildes abgebildeten Spektren untersucht, ist festzustellen, dass Spektralanteile der 7 und 8 Harmonischen an den Stellen  $\frac{f}{f_s} = \frac{7}{64} = 0,109$  bzw. bei  $\frac{f}{f_s} = \frac{8}{64} = 0,125$  enthalten sind.

Dadurch lassen sich die Abweichungen der Verläufe der Klirrfaktoren erklären. Jetzt stellt sich allerdings die Frage, warum die 7. und 8. Harmonische auftreten. Um diese Frage beantworten zu können, muss das Verfahren zur Datenaufnahme des Demonstrators genauer betrachtet werden. Vor der Durchführung dieser Untersuchung ist es erforderlich, die parallel aufgenommenen Oszilloskopdaten genauer zu analysieren.

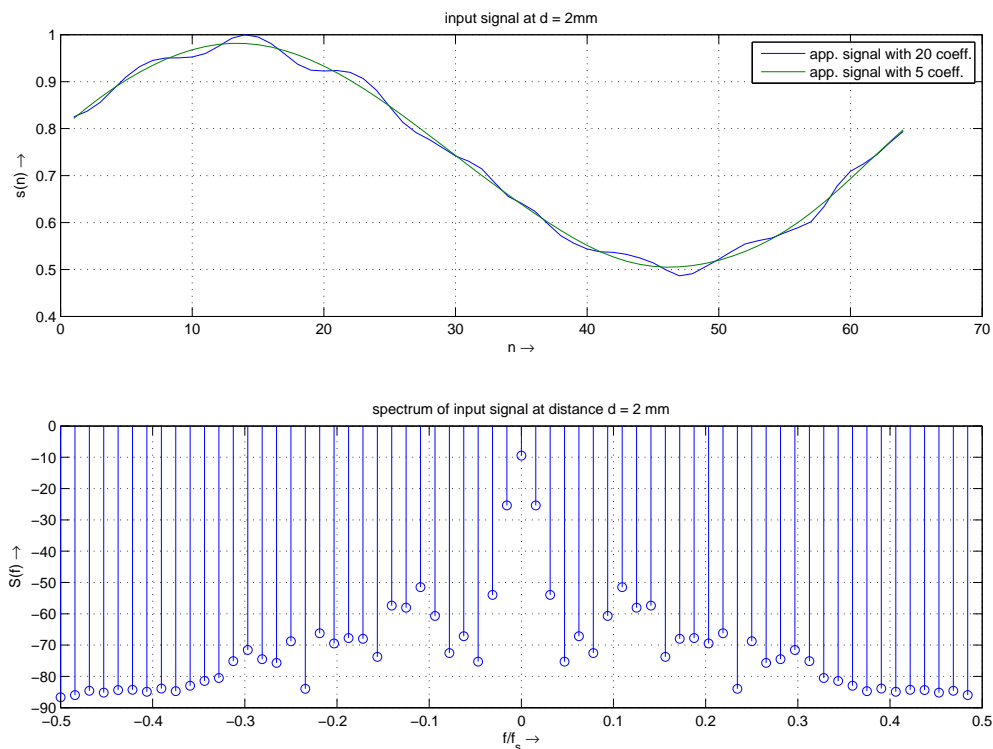


Abbildung 10.4.: Eingangssignal bei einer Entfernung zwischen Sensor und Encoderrad von 2mm

## 10.3. Analyse der Amplitude des Sensorsignals über die Zeit

### 10.3.1. Untersuchung jeder einzelnen Periode des Oszilloskopsignals

In diesem Schritt sollen die Aufzeichnungen des Oszilloskops überprüft werden. Dazu werden die einzelnen Nulldurchgänge detektiert, um anschließend für jede Periode eine Fouriertransformation durchzuführen. Aus diesen Ergebnissen soll dann der Klirrfaktor berechnet und im Zeitbereich dargestellt werden. Zusätzlich ist der Betrag der ersten bis zur fünften Harmonischen sowie der berechnete Klirrfaktor jeder Periode zusammen mit dem Klirrfaktor, der durch den Mikrocontroller bestimmt worden ist, über den Drehwinkel des Encoderrades  $\varphi$  aufgetragen. Dabei wird davon ausgegangen, dass der Drehwinkel  $\varphi$  bei der ersten Periode immer Null ist. Damit die Anzahl der Diagramme überschaubar bleibt, ist die Analyse nur für ein Intervall von 0 - 7 Millimeter in 1 Millimeter Schritten ausgeführt worden. Zudem ist am Radmessplatz eine Einrichtung vorhanden, um zu erreichen, dass das Encoderrad ausgerichtet ist. Das wird im Folgenden als Beseitigung des Unrundlaufs bezeichnet.

Die Simulationen sind jeweils einmal mit und ohne einmal diese Einrichtung durchgeführt worden. Das Simulationsprogramm trägt den Namen `rmp_scope_analyze.m`. Die Plots sind im Anhang E zu finden. Beispielhaft sind in Abbildung 10.5 und 10.6 die erzielten Ergebnisse bei einer Distanz zwischen Sensor und Encoderrad von einem Millimeter dargestellt:

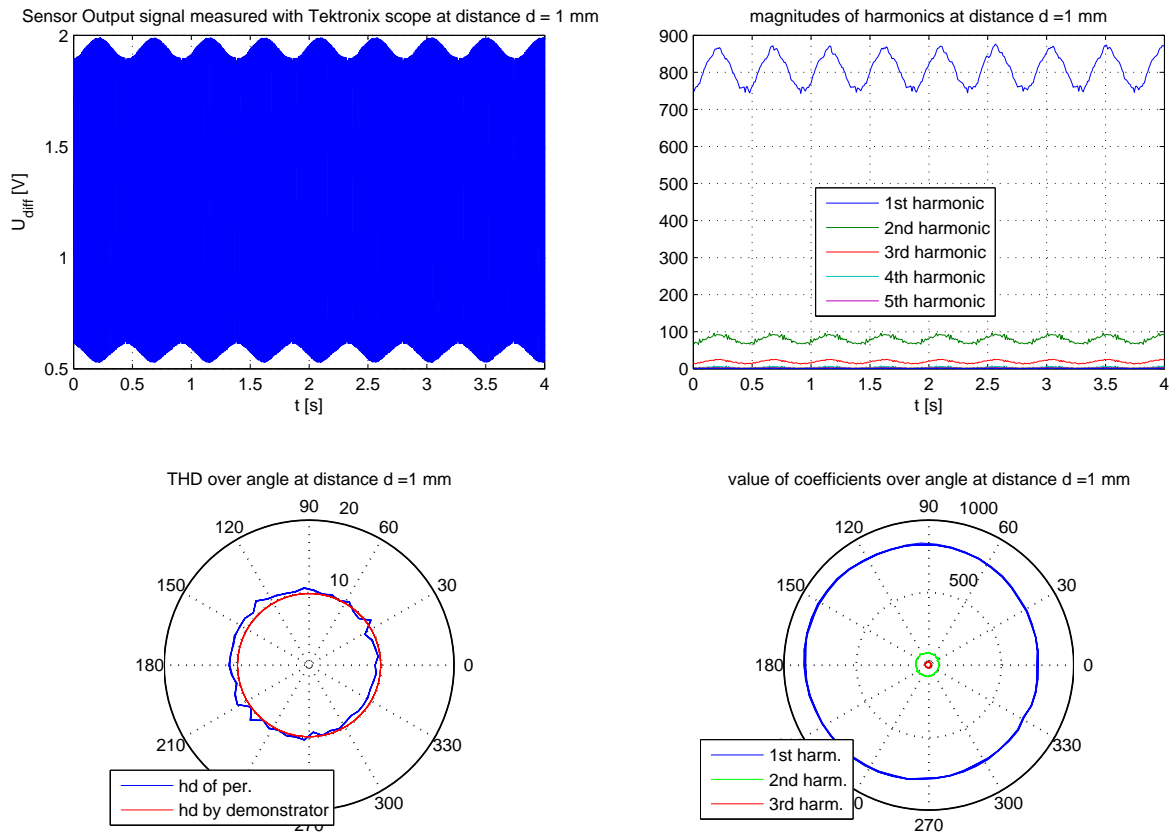


Abbildung 10.5.: Ergebnis der Fouriertransformation jeder einzelnen Schwingung bei einer Entfernung zum Sensor von 1mm [8]

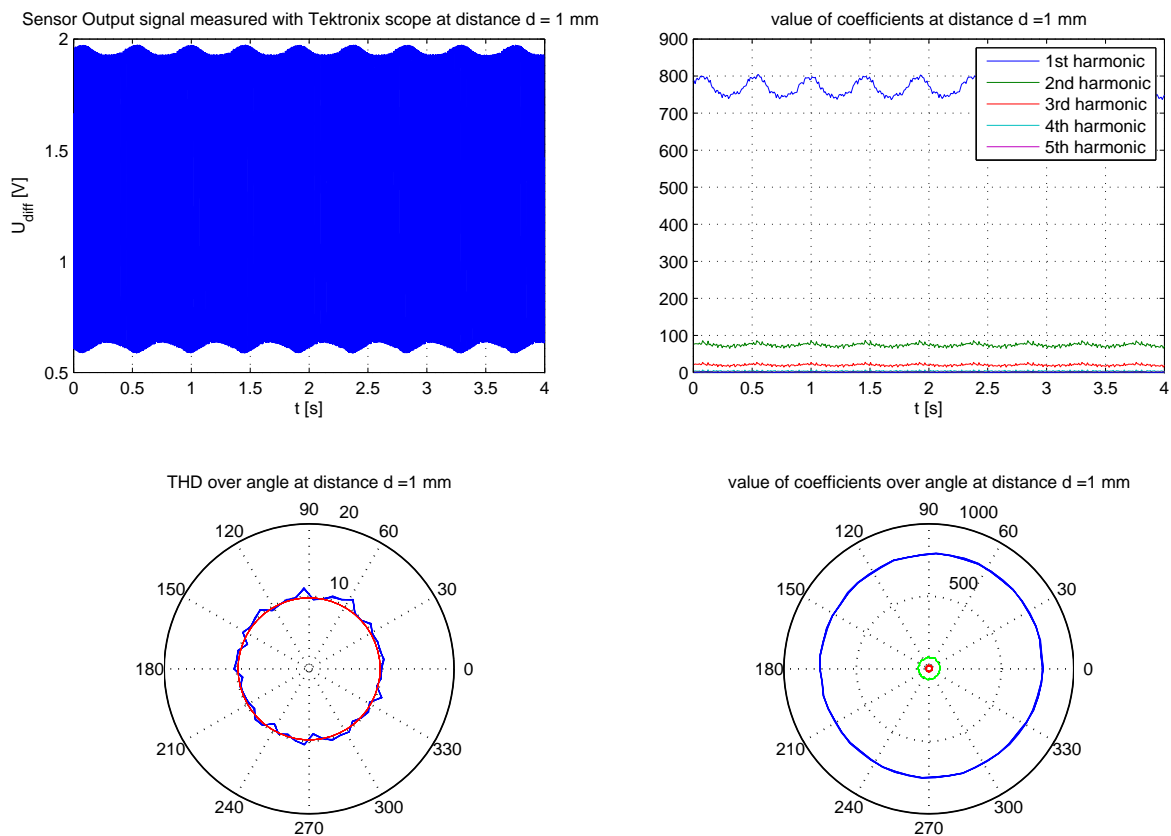


Abbildung 10.6.: Ergebnis der Fouriertransformation jeder einzelnen Schwingung bei einer Entfernung zum Sensor von 1mm [8]

Es wird festgestellt, dass sich der Betrag der ersten Harmonischen periodisch verändert. Die Periodendauer beträgt ungefähr 0,5 Sekunden. Da ebenfalls die Pulsfrequenz von 107Hz und die Anzahl der Zähne des Encoderrades von 50 bekannt ist, kann die Drehfrequenz  $f_D$  des Encoderrades errechnet werden:

$$f_D = \frac{107Hz}{50} = 2,14Hz \quad (10.1)$$

Wird jetzt noch die Periodendauer bestimmt, ergibt sich folgender Wert:

$$T_D = \frac{1}{f_D} = \frac{1}{2,14Hz} = 0,47s \quad (10.2)$$

Dieser Wert ist als Periodendauer in dem Plot „value of coefficients“ wiederzufinden. Daraus lässt sich schließen, dass die Überlagerung der niederfrequenten Schwingung etwas mit

dem sichtbaren Unrundlauf des Encoderrades zu tun hat. Da zudem die ermittelten Klirrfaktoren immer einem bestimmten Zahn des Encoderrades zugeordnet werden können, stützt das zusätzlich die Aussage. Weiterhin ist festzustellen, dass die Amplitude des Signals bei Entfernungen kleiner als 0,5mm weniger stark schwankt, als die Amplitude der Signale bei größeren Entfernungen. Diese Feststellung deckt sich eher mit den Abweichungen aus Abbildung 9.2. Bei kleinen Distanzen stimmt das Ergebnis der HD5-Methode und der HDI-Methode gut überein. Bei einem Millimeter ist eine kleine Abweichung zu erkennen. Je weiter sich der Sensor von dem Encoderrad entfernt, desto stärker sind die Schwankungen der Amplitude des Signals, und die Ergebnisse der beiden Berechnungsverfahren weichen stärker voneinander ab.

### 10.3.2. Erklärungsversuche der 7. und 8. Harmonischen

Das Ausgangssignal des Sensors wurde mit einem Unterabtastverfahren aufgenommen. Die Unterabtastung ist nur bei Signalen erlaubt, die über die gesamte Zeit  $T_g$  periodisch sind. Wie auf den Abbildungen in Kapitel E zu sehen ist, ist dies nicht der Fall, da die Amplitude des Signals sich mit der Zeit ändert. Wie in Punkt 2.2.2 beschrieben, ist der unrunde Lauf des Encoderrades durch die Drehfrequenz, die  $1/50$  der Pulsfrequenz entspricht, gegeben. Der Demonstrator nimmt nur alle 6 - 7 Perioden ein neuen Samplewert auf. Bei 64 Samples, die pro Periode aufgenommen werden, ergibt sich daraus, dass im Mittel  $6.5 \cdot 64 = 416$  Perioden berücksichtigt worden sind. Daraus lässt sich schließen, dass sich das Rad eines Autos während der Aufnahme einer Periode um 8 Umdrehungen gedreht haben muss. Während einer Radumdrehung werden im Mittel  $\frac{50}{6.5} = 7,69$  Samples aufgenommen. Werden in diese Formel die minimale und maximale Anzahl der Perioden, in denen ein Wert aufgenommen wird, eingesetzt, ergeben sich folgende Werte:

$$S_{min} = \frac{50}{7} = 7,14 \quad (10.3)$$

$$S_{max} = \frac{50}{6} = 8,33 \quad (10.4)$$

Das bedeutet, dass der 8. bzw. 9. Wert bereits eine Radumdrehung später aufgenommen wird.

Dadurch ergibt sich, dass die Amplitude der ersten Periode, aus der ein Wert abgetastet wurde, ungefähr der Amplitude des 8. bzw. 9. Wertes entspricht. Das wird durch Abbildung 10.7 verdeutlicht:

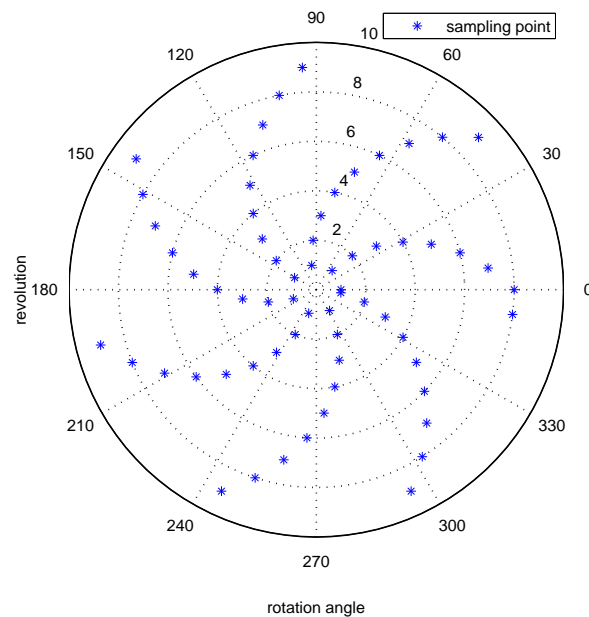


Abbildung 10.7.: Abtastpunkte über den Drehwinkel des Encoderrades aufgetragen bei Aufnahme eines Wertes alle 7 Perioden

Also ergibt sich hieraus eine hochfrequente Oberschwingung, deren Periodendauer  $1/8$  bzw.  $1/9$  der Periodendauer der Grundschwingung entspricht. Werden diese Erkenntnisse in den Frequenzbereich übertragen, ergibt sich daraus eine Oberschwingung von  $\frac{64}{9} \cdot f_0 \approx 7 \cdot f_0$  bzw.  $\frac{64}{8} \cdot f_0 = 8 \cdot f_0$ .

### 10.3.3. Simulation der Unterabtastung bei unrund laufendem Encoderrad

Um die Veränderung des Signals, die durch die Unterabtastung entsteht, genauer untersuchen zu können, wird die Unterabtastung simuliert. Dazu ist das Ausgangssignal des Sensors bei einer Entfernung von 1mm nachgebildet worden. Die verwendeten Werte sind annähernd aus der Abbildung 10.5 ermittelt und in die folgende Formel eingesetzt worden.

$$s = A_0 + \hat{A} \cdot \cos(2\pi t) = 1.25 + \left[ 0.7 + 0.025 \cdot \cos\left(\frac{2\pi t}{50}\right) \right] \cdot \cos(2\pi t) \quad (10.5)$$

Das nachgebildete Signal ist in Abbildung 10.8 dargestellt. Da in dem Signal nur die Grundschwingung enthalten ist, kann genau überprüft werden, welche Harmonische durch die Unterabtastung in dem Signal auftreten.



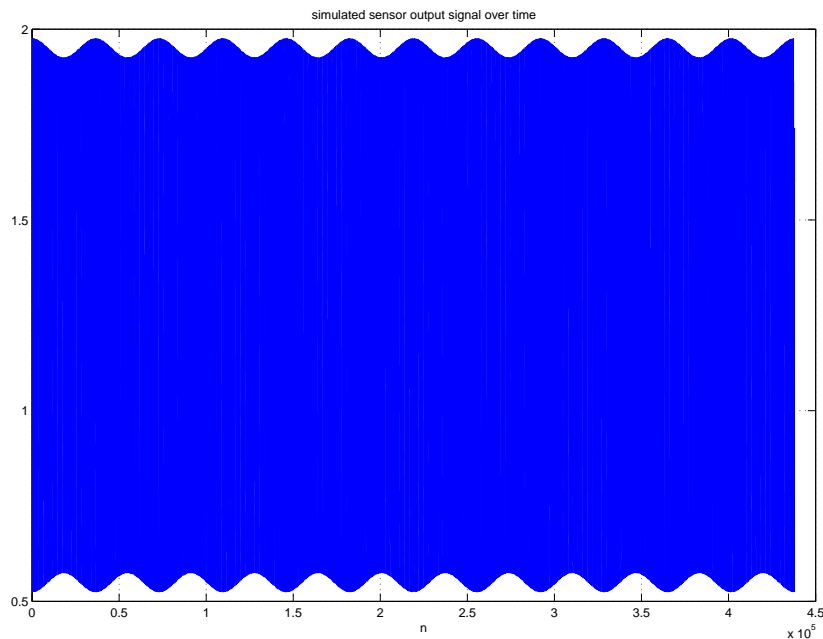


Abbildung 10.8.: Nachgebildetes Ausgangssignal des Sensors bei 1mm Entfernung zum Encoderrad

Die Messung der Periodendauer kann bei dieser Simulation entfallen, da diese beim Erstellen des Signalvektors vorgegeben wird. In diesem Beispiel ist die Abtastfrequenz der Oszilloskopdaten an den Takt des Timers von  $12,8\mu\text{s}$  [7] des MSP430 angepasst worden. Die Anzahl der Samples pro Periode können mit folgender Formel bestimmt werden:

$$N = \frac{T}{T_A} = \frac{f_A}{f} = \frac{1}{f \cdot T_A} \quad (10.6)$$

Werden die Werte in diese Formel eingesetzt, ergibt sich für eine Zahnfrequenz  $f_Z = 107\text{Hz}$  die Anzahl der Samples pro Periode zu  $N = 730$ .

Wird auch hier alle 6 - 7 Perioden ein Wert abgetastet, entsteht daraus folgendes Signal:

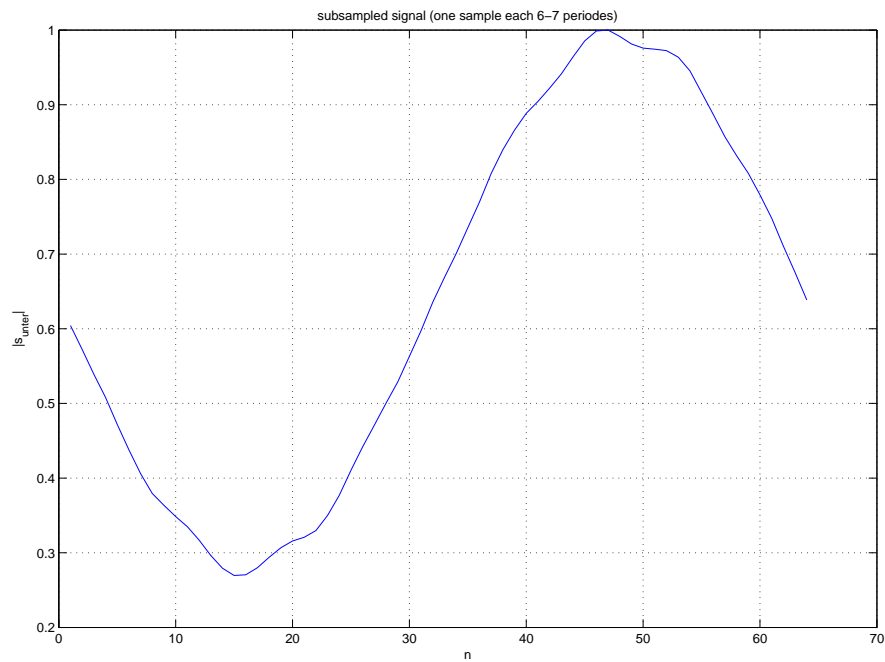


Abbildung 10.9.: Nachgebildetes unterabgetastetes Ausgangssignal des Sensors

Der Abbildung 10.10 ist zu entnehmen, dass dem Signal hochfrequente Störungen überlagert sind. Das wird beim Betrachten des Spektrums in Abbildung 10.10 des Signals deutlicher:

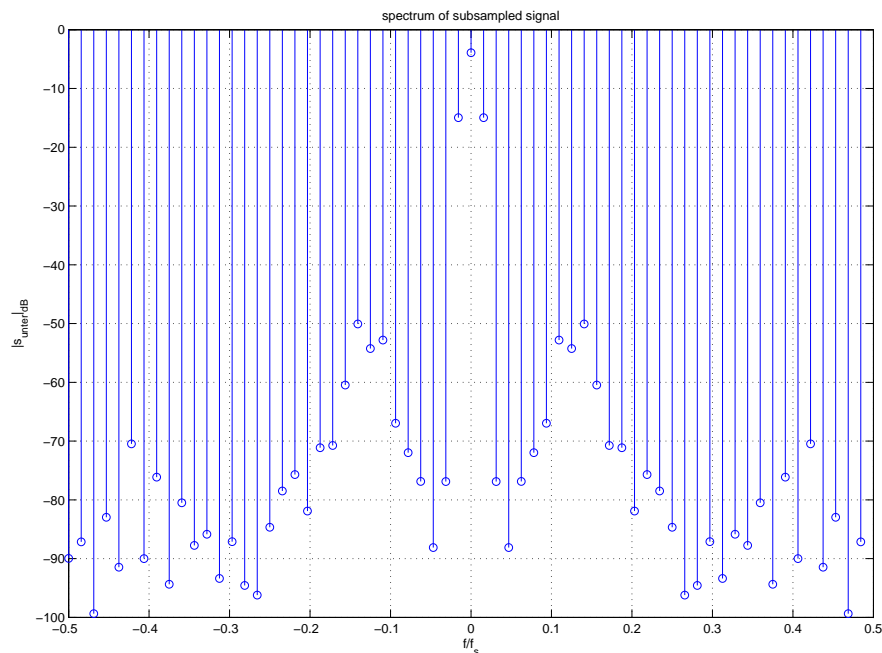


Abbildung 10.10.: Spektrum des nachgebildeten unterabgetasteten Ausgangssignal des Sensors

Die Auswertung des Spektrums des Signals ergibt, dass, wie vorher schon vermutet, Spektralanteile mit 7-, 8-, 9- und 10-facher Grundschwingung hinzugekommen sind.

Mit diesen gewonnenen Erkenntnissen soll versucht werden, die Unterabtastung nicht mit dem simuliertem Signal, sondern mit dem aufgezeichneten Signal des Oszilloskops nachzubilden. Zuvor sollen noch die genauen Abtastpunkte untersucht werden, um so der Entstehung der 7. bis 10. Harmonischen auf die Spur zu kommen.

### 10.3.4. Nachbildung der Messergebnisse des Demonstrators

Im Rahmen dieses Versuchs ist ein neues Matlab-Programm mit dem Namen „prepare\_measurements\_sim.m“ erstellt worden. Mit diesem Programm werden die Messdaten des Demonstrators mit der oben vorgestellten Funktion aus den Oszilloskopdaten gewonnen. Da nicht genügend Perioden aufgezeichnet wurden, wird davon ausgegangen, dass das Signal sich alle 400 Perioden wiederholt. Die Bestimmung der Periodendauer wird mit Hilfe der Nulldurchgangserkennung realisiert. Jeder zweite Nulldurchgang beschreibt die Grenzen einer Periode. Als Vorlage dient das in Kapitel 3 erläuterte Programm. Es müssen hier zusätzlich Angaben gemacht werden, wie viele Perioden minimal und maximal verstreichen sollen, bis ein neuer Wert aufgenommen werden soll. Der genaue Wert wird für jeden Abtastpunkt zufällig aus dem angegebenen Bereich bestimmt. Außerdem ist es möglich, die

Samples der Reihe nach aufzunehmen oder die aktuelle Position zufällig zu ermitteln. Diese Funktion wird für einen weiteren Versuch benötigt.

Unter Verwendung der neu erstellten Daten soll die Simulation aus Abschnitt 9.2 erneut durchgeführt werden. Ziel ist es, die Kurvenverläufe dieser Simulation mit den neuen Daten annähern zu können. Die Ergebnisse dieses Versuchs sind in Abbildung 10.11 dargestellt.

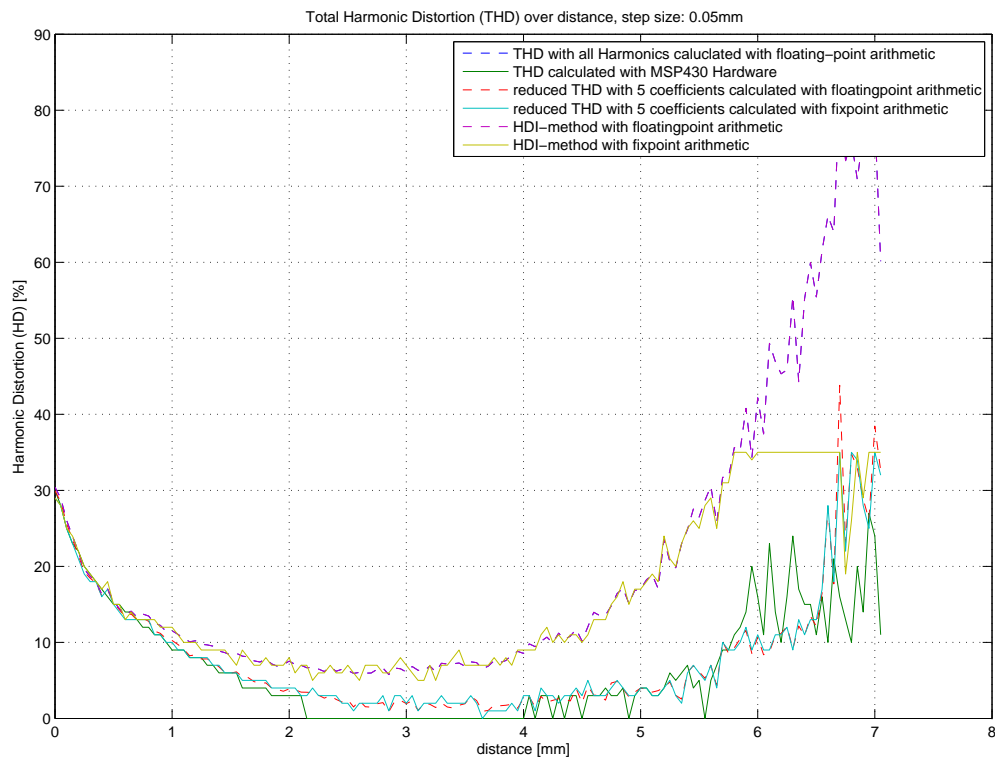


Abbildung 10.11.: Klirrfaktor über die Distanz mit nachgebildeten Messdaten des Demonstrators [8]

## 10.4. Lösungsvorschläge zur Angleichung der Ergebnisse beider Methoden

### 10.4.1. Erarbeitete Lösungen

Nachdem das Problem untersucht und die Ursache identifiziert ist, sollen in diesem Abschnitt Lösungsvorschläge diskutiert werden, mit denen es möglich ist, korrekte Ergebnisse unabhängig vom Unrundlauf des Encoderrades zu erzeugen. Aus der zuvor durchgeführten Signalanalyse und dem Studium der Arbeit Jegenhorst [7] sind folgende Lösungsvorschläge erarbeitet worden:

- Das Problem durch zufällige Wahl der Abtastwerte zu unterdrücken
- Die Abtastfrequenz deutlich erhöhen, sodass die Unterabtastung nicht mehr benötigt wird
- Die Samples öfter als alle 6 -7 Perioden aufnehmen
- Das Encoderrad zentrieren
- zufällige Aufnahmereihenfolge der Abtastwerte

### 10.4.2. Zufällige Wahl der Abtastwerte

#### Beschreibung der Idee

Die zufällige Wahl der Abtastwerte basiert auf der Idee, die Leistung der 7. und 8. Harmonischen auf alle Harmonischen aufzuteilen. Dieses Verfahren ist in der Arbeit von Herrn Jegenhorst ohne Kenntnis des Problems erwähnt, jedoch nicht realisiert worden. Dem in Kapitel 3 bzw. 10.3.4 beschriebenen Programm ist zu diesem Zweck ein weitere Auswahlmöglichkeit hinzugefügt worden. Wird die zufällige Reihenfolge der Abtastwerte gewählt, wird die Reihenfolge durch einen Zufallsgenerator bestimmt. Mit den neu erstellten Daten ist dann eine Simulation durchgeführt worden.

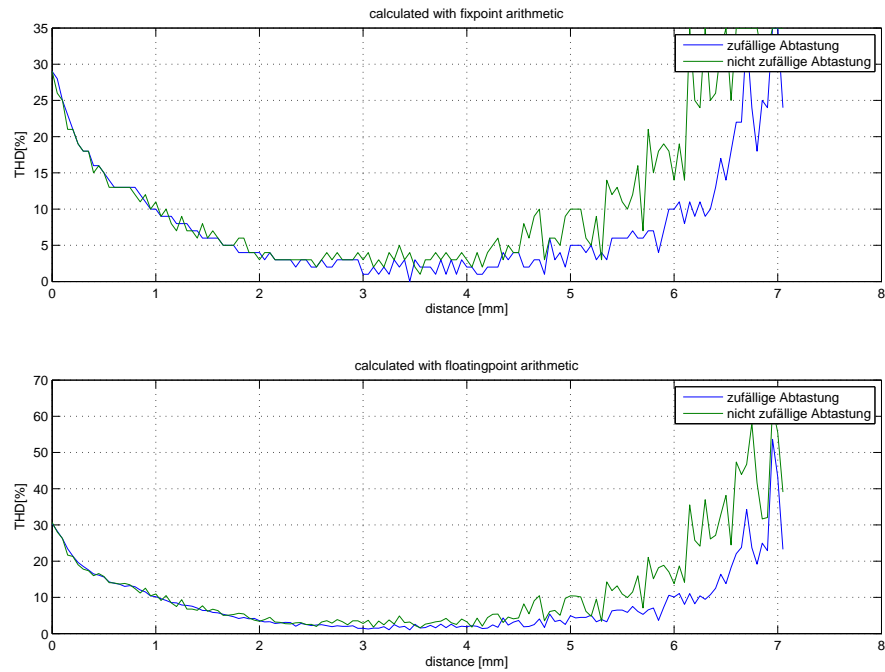
**Ergebnisse bei Realisierung dieser Lösung**

Abbildung 10.12.: Vergleich des HD5-Methodes bei Verwendung von Messdaten in zufälliger und nicht zufälliger Abtastreihenfolge

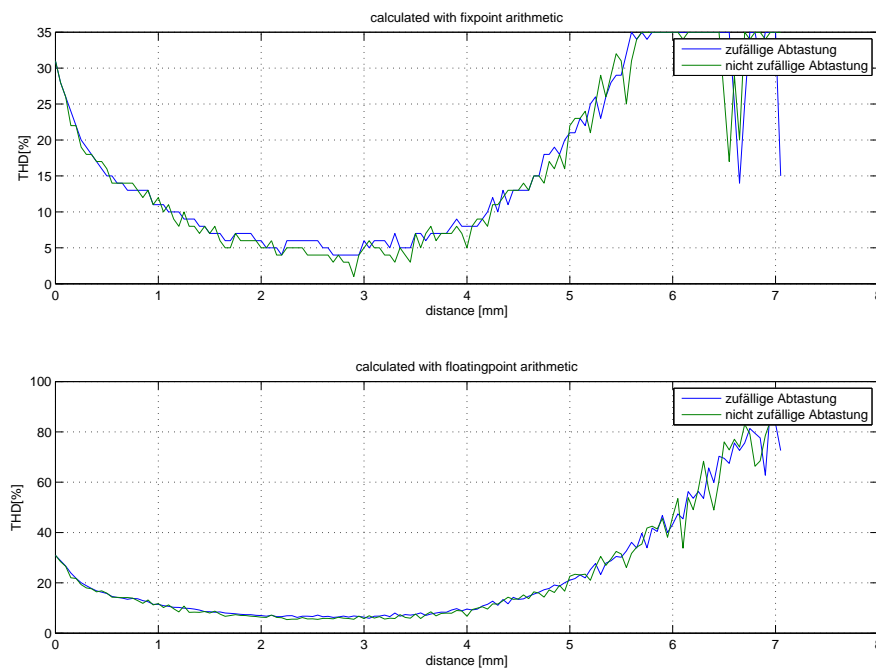


Abbildung 10.13.: Vergleich des Ergebnisses bei Verwendung der HDI-Methode und Samples, die in zufälliger und nicht zufälliger Abtastreihenfolge aufgenommen sind

### Bewertung der Ergebnisse

Aus den Ergebnissen der Simulation ist ersichtlich, dass die zufällige Abtastreihenfolge des Signals keine Verbesserung ist. Bei dem HDI-Methode-Berechnungsverfahren tritt eine Verbesserung des Ergebnisses erst ab 4 bis 4,5 mm Entfernung zwischen Sensor und Encoderrad auf. In diesem Bereich wird durch die zufällige Abtastung ein kleinerer Klirrfaktor errechnet.

Abschließend ist festzuhalten, dass die zufällige Abtastung der Werte zu keiner wesentlichen Verbesserung führt, sodass der dadurch bedingte Mehraufwand nicht gerechtfertigt ist und daher als Lösung des Problems nicht in Frage kommt.

### 10.4.3. Verringerung des Grads der Unterabtastung

#### Beschreibung des Lösungsvorschlags

Der Demonstrator arbeitet momentan mit einer 6-fachen Unterabtastung. Wird diese zum Beispiel in eine einfache oder zweifache Unterabtastung umgewandelt, werden öfter Samples aufgenommen und für die Aufnahme einer Periode weniger Radumdrehungen benötigt.

Es ist jedoch zu befürchten, dass nicht die 7. und 8. Harmonische auftreten, sondern eine andere Harmonische, die auch die Berechnung nach der HD5-Methode verfälschen kann. Um den Lösungsvorschlag zu bewerten, sind Simulationen mit ein-, zwei-, drei-, und vierfacher Unterabtastung durchgeführt worden.

### Ergebnisse des Versuchs

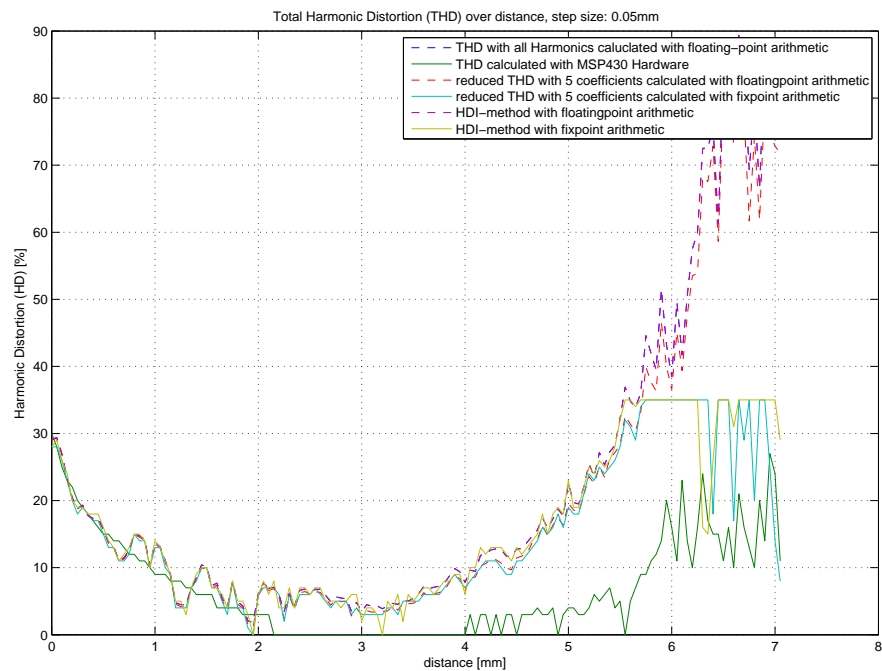


Abbildung 10.14.: Klirrfaktor bei Aufnahme eines Samples pro Periode [8]



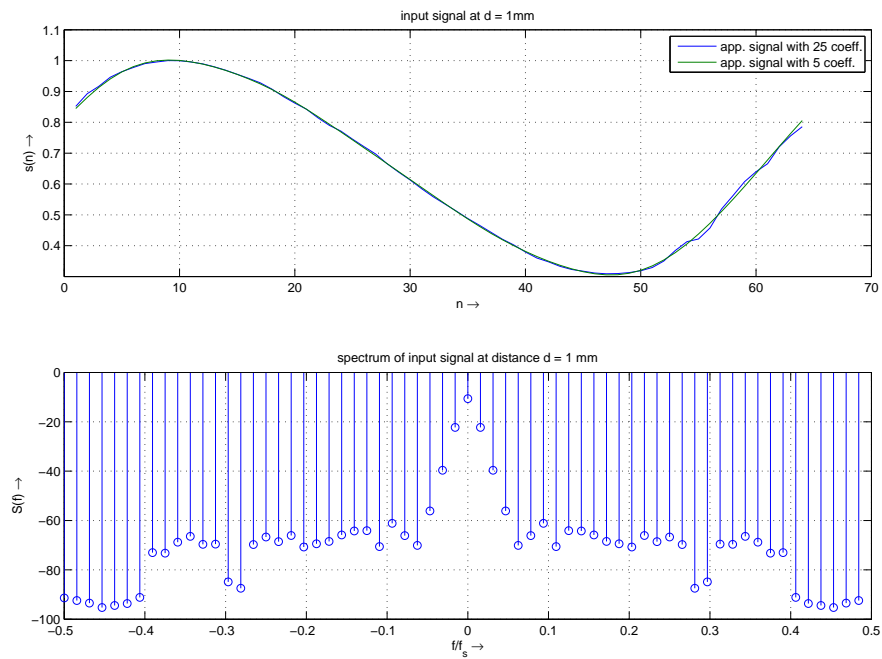


Abbildung 10.15.: Eingangssignal bei einer Entfernung zwischen Sensor und Encoderrad von 1mm bei Aufnahme eines Samples in jeder Periode

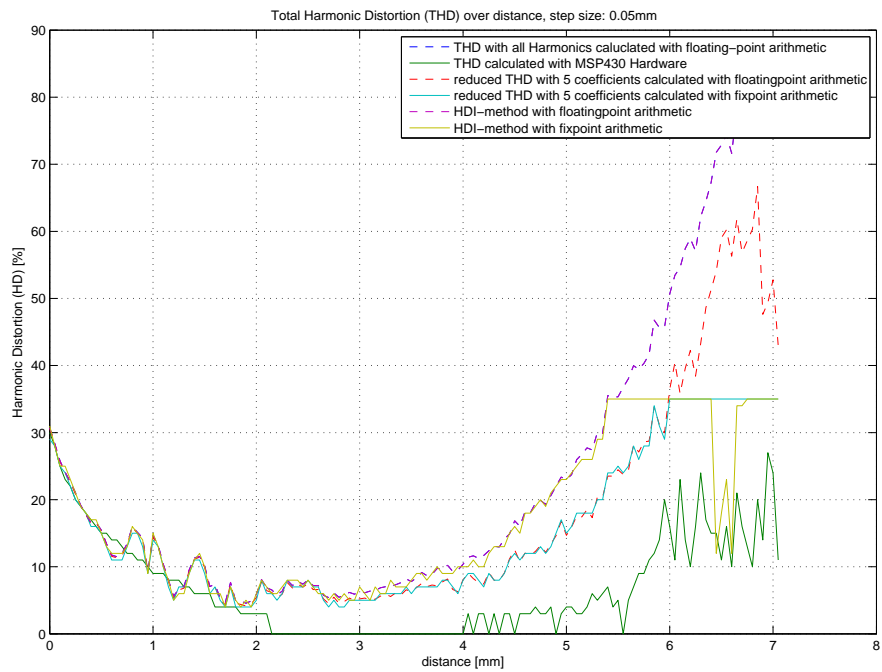


Abbildung 10.16.: Klirrfaktor bei Aufnahme eines Samples alle zwei Perioden [8]

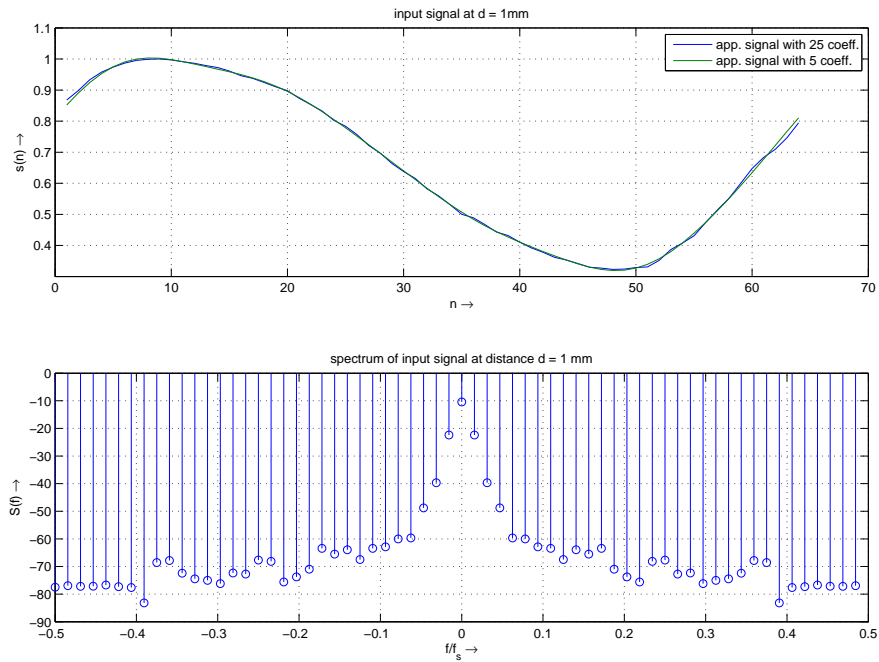


Abbildung 10.17.: Eingangssignal bei einer Entfernung zwischen Sensor und Encoderrad von 1mm bei Aufnahme eines Samples alle 2 Perioden

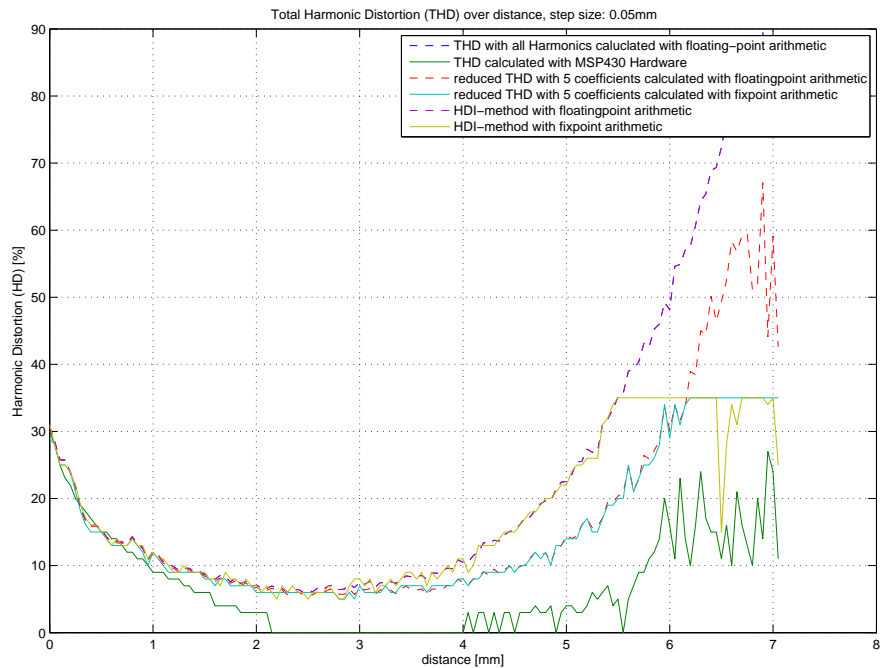


Abbildung 10.18.: Klirrfaktor bei Aufnahme eines Samples alle drei Perioden [8]

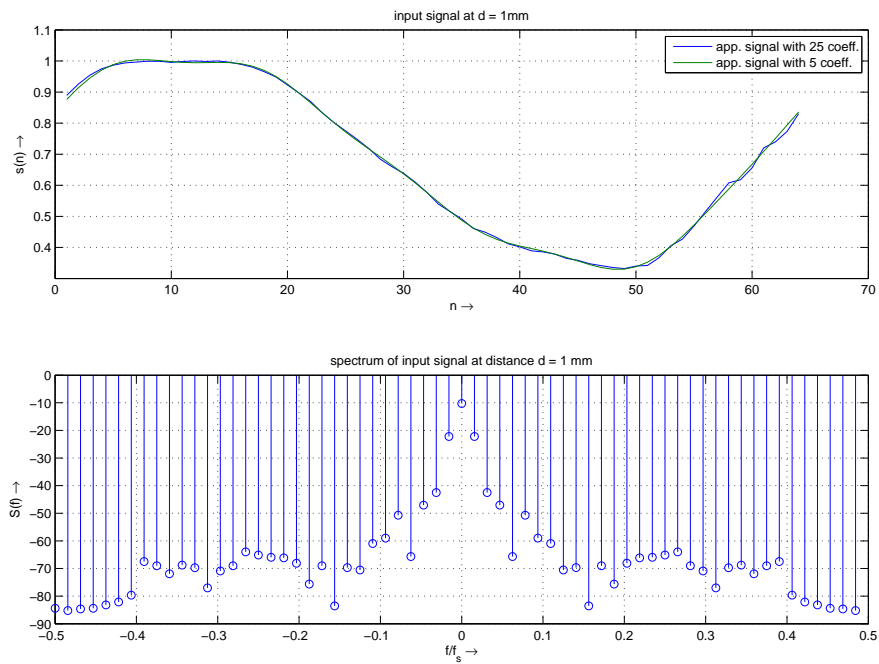


Abbildung 10.19.: Eingangssignal bei einer Entfernung zwischen Sensor und Encoderrad von 1mm bei Aufnahme eines Samples alle 3 Perioden

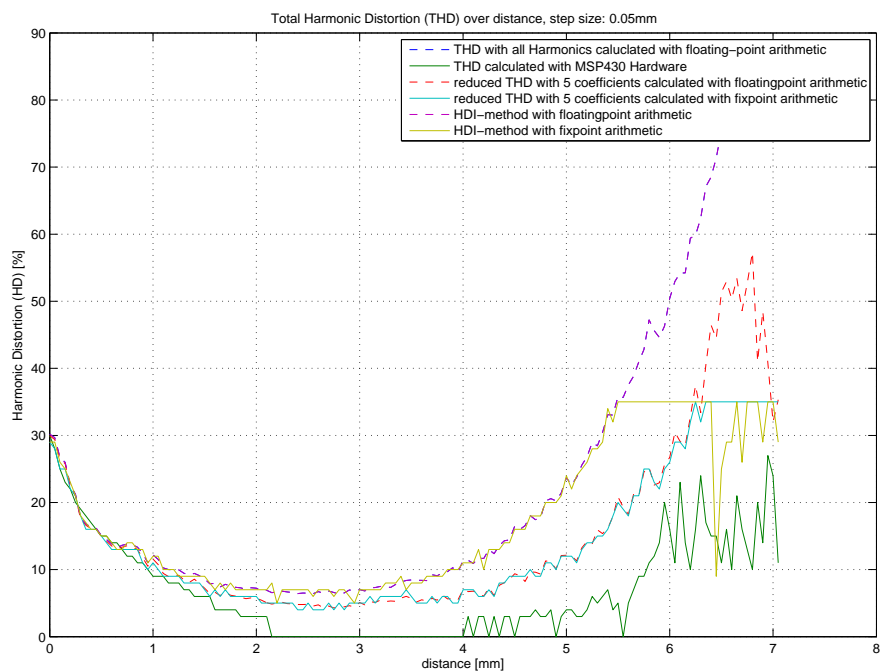


Abbildung 10.20.: Klirrfaktor bei Aufnahme eines Samples alle vier Perioden [8]

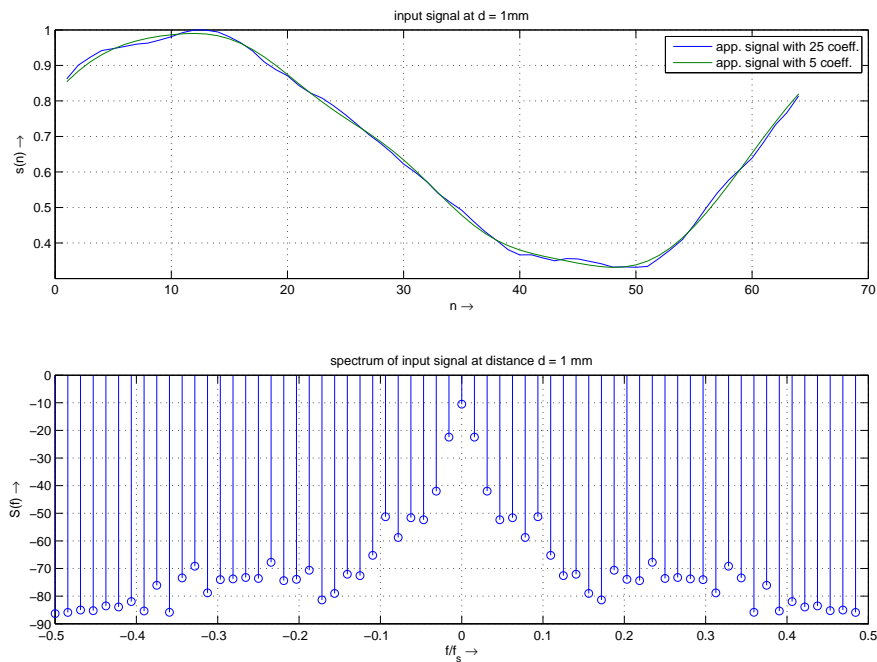


Abbildung 10.21.: Eingangssignal bei einer Entfernung zwischen Sensor und Encoderrad von 1mm bei Aufnahme eines Samples alle 4 Perioden

### Bewertung der Ergebnisse

Allgemein kann festgehalten werden, dass bei kleinem Grad der Unterabtastung die Lösungen beider Berechnungsverfahren gut übereinstimmen. Allerdings nähern sich die Ergebnisse nach der HD5-Methode an die Ergebnisse der HDI-Methode an. Je größer der Grad der Unterabtastung ist, desto mehr weichen die Ergebnisse der beiden verwendeten Berechnungsverfahren voneinander ab. Von dieser Lösung ist daher auch abzuraten, da die recht guten Ergebnisse der HD5-Methode verfälscht werden würden.

#### 10.4.4. Den Unrundlauf des Encoderrades beseitigen

##### Beschreibung des Lösungsansatzes

Um dieses Problem zu analysieren, ist parallel zu dieser Arbeit eine Vorrichtung entworfen worden, mit der es möglich ist, den Unrundlauf des Encoderrades zu minimieren. Danach wurde eine weitere Messung am Radmessplatz durchgeführt, um mit diesen Daten erneut die Simulation mit der identischen Parameter-Datei auszuführen. Für diesen Versuch stehen Messdaten mit dem Namen 2010\_02\_10\_rmp\_03 zur Verfügung

## Darstellung der Ergebnisse

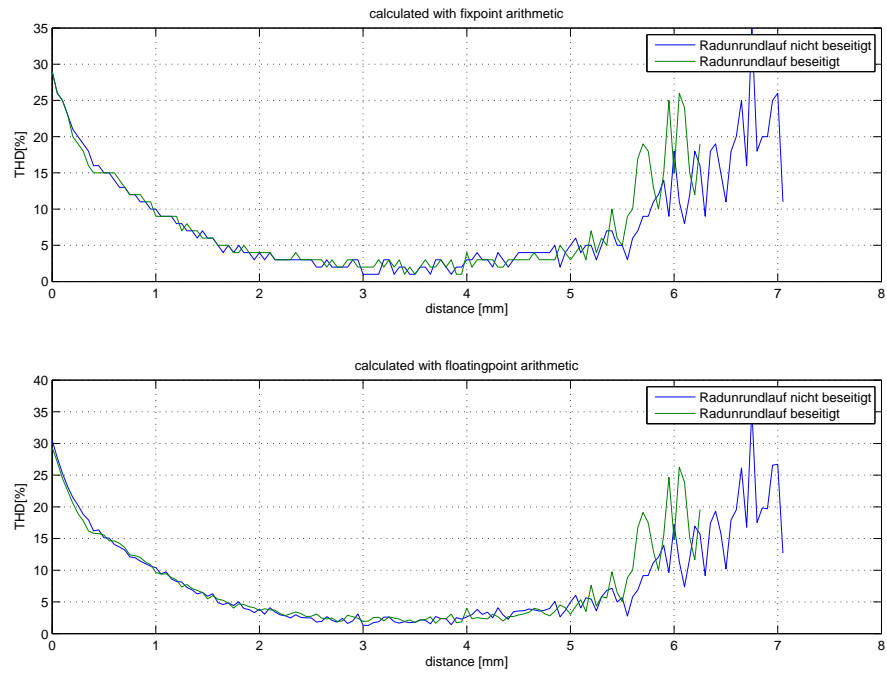


Abbildung 10.22.: Vergleich der Ergebnisse beider Simulation für das HD5-Methode

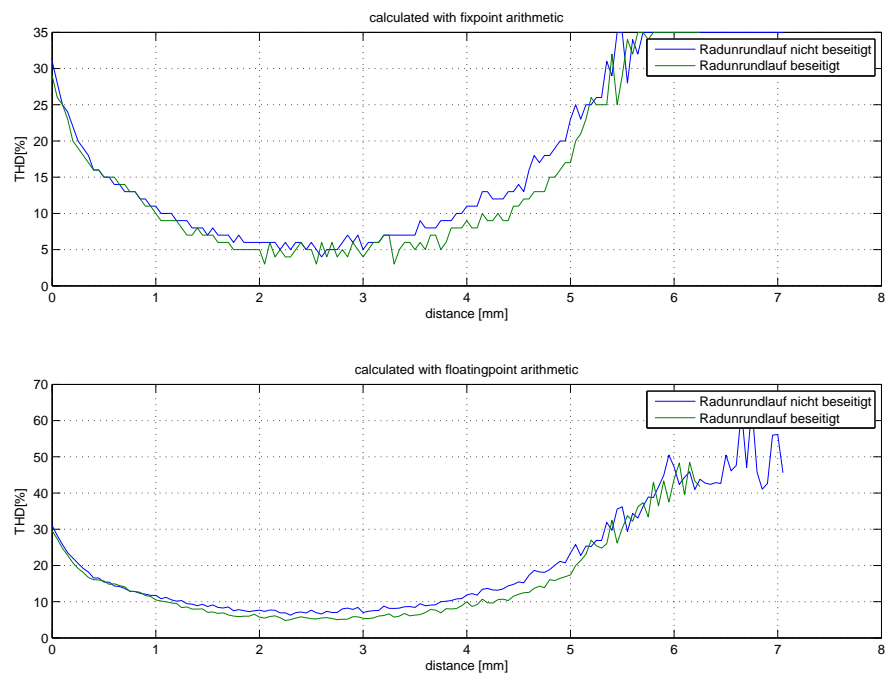


Abbildung 10.23.: Vergleich der Ergebnisse bei Verwendung der HDI-Methode

### Bewertung der Ergebnisse

Bei dieser Simulation fällt auf, dass der Radunrundlauf entscheidend in die Ergebnisse bei Verwendung der HDI-Methode einfließt. Durch die Reduzierung des Unrundlaufs nähern sich die Ergebnisse besser an die der HD5-Methode an. Wenn das Encoderrad zentriert wird, fallen die Änderungen der Amplitude geringer aus, sodass diese Lösung in Zukunft verwendet werden könnte. Falls jedoch ein eingebautes Encoderrad zum Beispiel durch einen Steinschlag verbogen wird, müsste es ausgetauscht werden.

### 10.4.5. Die Unterabtastung vermeiden

#### Beschreibung der Lösung

Wie an den Simulationsergebnissen, die unter Verwendung der aufgezeichneten Daten des Oszilloskops, das mit einer Abtastrate von 250kHz arbeitet, zu sehen ist, wird dieser Lösungsvorschlag zum Erfolg führen. Methode ist jedoch beim jetzigen Stand des Projektes nicht realisierbar. Weiterhin besteht der Nachteil, dass für die Berechnung des Klirrfaktors nur ein Zahn des Encoderrades berücksichtigt wird. Somit ist diese Variante auch nicht sehr empfehlenswert, da keine Mittelung über mehrere Perioden enthalten ist. Es können zwar

mehrere Berechnungen durchgeführt und in einem weiteren Schritt der Mittelwert der Teilergebnisse berechnet werden. Dieser dient dann als Endergebnis. Dadurch wird jedoch der Aufwand der Berechnung wieder vergrößert.

### Darstellung der Ergebnisse

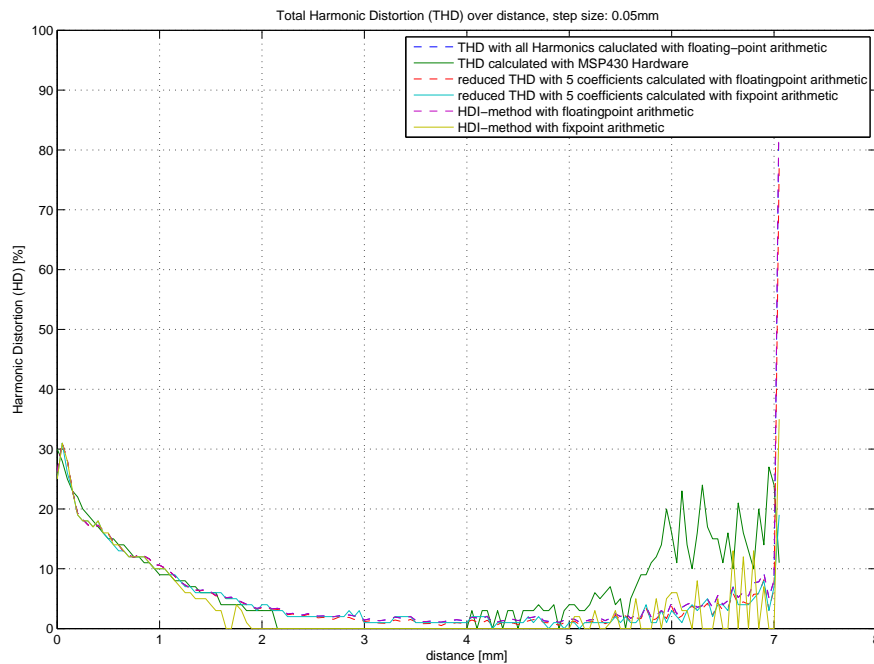


Abbildung 10.24.: Vergleich der Ergebnisse bei Verwendung der HDI-Methode [8]

### Bewertung des Ergebnisses

Abschließend kann festgehalten werden, dass dieser Lösungsvorschlag der sicherste ist. Es muss nicht auf den Unrundlauf des Encoderrades geachtet werden. Daher sollte langfristig daran gearbeitet werden, dieses Verfahren zu realisieren, da die anderen Lösungsvorschläge entweder zu keinem guten Ergebnis führen oder sich nicht durchsetzen lassen.

# 11. Fazit und Ausblick

## 11.1. Fazit

Bei dieser Arbeit war die Hauptaufgabe, den Aufwand der Schätzung der Harmonischen zu minimieren und zu optimieren. Diese Aufgabe kann als erfüllt angesehen werden. Der Sensor, der zum Abschluss des Forschungsprojekts entwickelt werden soll, darf nur wenige Euro kosten. Daher ist es nötig den Aufwand zu reduzieren und so das System zu verkleinern, um später die Produktionskosten zu senken. Bei diesem Vorgehen darf jedoch nicht die Genauigkeit der ermittelten Klirrfaktoren gefährdet werden.

Dafür ist die HDI-Methode eingeführt worden, mit der der Klirrfaktor zur Zustandsbestimmung von ABS-Sensoren 3,7-mal schneller, als mit der bisher verwendeten HD5-Methode bestimmt werden kann. Die Berechnung der Wurzelfunktion konnte ebenfalls effizienter als in der Arbeit von Herrn Jegenhorst gestaltet werden. Die Messungen, die in dieser Arbeit enthalten sind, wurden ausgewertet und daraufhin neue Spezifikationen für die Genauigkeit der Wurzel-Tabelle aufgestellt worden. Diese haben ergeben, dass die Anzahl der Werte um den Faktor 4 vergrößert werden musste und das Ergebnis eine Wortbreite von 14 Bit aufweisen muss. Durch effizientere Codierung ist die Tabelle von 1024 Werten auf 72 bzw. 64 Werte reduziert worden. Das entspricht einer Reduzierung der Werte um den Faktor 16. Das bedeutet, dass nur noch 6,25% des bisherigen Speicherplatzes benötigt werden.

Damit die bessere Genauigkeit der Wurzel-Tabelle ausgenutzt werden kann, ist die bisher verwendete HD5-Berechnungsmethode in dieser Arbeit optimiert worden. Statt konstante Schiebefaktoren zu verwenden, sind Formeln entwickelt worden, um die Schiebefaktoren in Abhängigkeit von den maximalen benötigten Bits zu berechnen.

Beim Vergleich der Ergebnisse der HDI-Methode mit denjenigen der HD5-Methode ist festgestellt worden, dass die Ergebnisse beider Verfahren ab einem Abstand zwischen Sensor und Encoderrad ab 0,5mm voneinander abweichen. Da dieses Problem völlig unerwartet aufgetreten ist, wurde in dieser Arbeit eine Analyse des Problems durchgeführt.

Um das Problem für den späteren Einsatz der HDI-Methode vermeiden zu können, sind Lösungsvorschläge erarbeitet worden, von denen der Lösungsvorschlag „Den Unrundlauf des Encoderrades zu vermeiden“ oder „Die Unterabtastung zu vermeiden“ als erfolgversprechend bewertet wurden. Diese konnten jedoch im Rahmen dieser Arbeit nicht genauer untersucht werden, da die technischen Voraussetzungen beim jetzigen Stand des Projekts nicht gegeben sind.

Eine konkrete Aussage darüber, welche Wortbreiten die verwendeten Variablen aufweisen



müssen und welche Auflösung der Analog-Digital-Umsetzers und der Sinus- und Kosinus-Tabellen notwendig sind, konnten in dieser Arbeit ebenfalls nicht getroffen werden, da in Zusammenarbeit mit der Industrie erst festgelegt werden muss, wie genau der Klirrfaktor zu bestimmen ist.

## 11.2. Ausblick

Während der Bearbeitung der Problemstellung sind einige Fragen und Ideen entstanden, die im Rahmen weiterer Abschlussarbeiten beantwortet bzw. weiter verfolgt werden können.

- Die Änderungen, die im Rahmen dieser Arbeit an der HD5-Methode vorgenommen wurden, müssen in die vorhandene Software integriert werden.
- Um die HDI-Methode weiter untersuchen zu können, muss die vorhandene Software in das Projekt von Herrn Jegenhorst integriert werden. Dazu kann auf die Vorlagen, die zur Ermittlung der Berechnungszeit erstellt worden sind, zurückgegriffen werden.
- Weiterhin ist es interessant zu untersuchen, ob der Unrundlauf des Encoderrades mit dem Präzisionsmessplatz, der im Rahmen einer weiteren Arbeit entstanden ist, geringer als mit dem Prototypen des Radmessplatzes ausfällt. Dazu müssen mit dem neuen Messplatz Daten aufgenommen und unter Verwendung dieser Messergebnisse die Simulationen aus dieser Arbeit erneut ausgeführt werden.
- Dem Unrundlauf des Encoderrades muss durch Maßnahmen entgegengewirkt werden. Für die Vermeidung der Unterabtastung ist es erforderlich einen schnellen Analog-Digital-Umsetzer zu verwenden und die Berechnungsvorschrift mit VHDL zu beschreiben, um die Berechnung auf einem FPGA durchzuführen.

# Literaturverzeichnis

- [1] BARTSCH, Hans-Joachim: *Taschenbuch Mathematischer Formeln*. Fachbuchverlag Leipzig, 2007. – ISBN 3-8273-7067-1
- [2] BIERL, Lutz: MSP430 Hardware Multiplier Application Report. (1999). – URL <http://focus.ti.com/lit/an/slaa042/slaa042.pdf>
- [3] BOLL, R. ; OVERSHOTT, K. J.: Magnetic Sensors. In: GÖPEL, W. (Hrsg.) ; HESSE, J. (Hrsg.) ; ZEMEL, J. N. (Hrsg.): *Sensors a Comprehensive Survey* Bd. 5. Weinheim : VCH, 1989. – insb. Kap. 9 von U. Dibbern. – ISBN 3-527-26771-9
- [4] BRANDT, Philip ; PETERS, Garlef ; KOCH, Lennart: *Local Positioning System*, Hochschule für Angewandte Wissenschaften Hamburg, Projektbericht, 2009
- [5] DRESCHHOFF, Jan-Heiner: *FPGA-Prototyp der Signalverarbeitung für ABS-Sensoren mit Diagnosefunktion*, Hochschule für Angewandte Wissenschaften Hamburg, Diplomarbeit, 2010
- [6] ENGEL, Björn ; DALAN, Marco: *Prius-Rückruf: Das steckt hinter dem Brems-Debakel bei Toyota*. 09.03.2010. – URL <http://www.welt.de/motor/article6329398/Das-steckt-hinter-dem-Brems-Debakel-bei-Toyota.html>
- [7] JEGENHORST, Niels: *Entwicklung eines Controllersystems zur Zustandserkennung von ABS-Sensoren*, Hochschule für Angewandte Wissenschaften Hamburg, Diplomarbeit, 2009
- [8] KOCH, Lennart: *Anhänge und Quelltexte der Diplomarbeit (bei Prof. Vollmer hinterlegt)*. 2010
- [9] LIPINSKI, Klaus ; LACKNER, Hans ; LAUÉ, Oliver P.: *ITWissen-Das große Onlinelexikon*. 19.03.2010. – URL <http://www.itwissen.info/definition/lexikon/Klirrfaktor-THD-total-harmonic-distortion.html>
- [10] LIPINSKI, Klaus ; LACKNER, Hans ; LAUÉ, Oliver P.: *ITWissen-Das große Onlinelexikon - THD+N (total harmonic distortion plus noise)*. 19.03.2010. – URL <http://www.itwissen.info/definition/lexikon/total-harmonic-distortion-plus-noise-THD-plusN.html>

- [11] MAHTOUF, Abdelkhalek: *Messungen und Signalanalyse an einem magnetischen Sensor*. Hamburg, Hochschule für Angewandte Wissenschaften Hamburg, Diplomarbeit, Dezember 2008
- [12] N.N: *Beschreibung des Evaluation-Boards vom Typ MSP430-169STK*. 16.04.2010. – URL <http://www.olimex.com/dev/msp-169stk.html>
- [13] REDEMANN, P. ; NEUNER, F.: *Lehrbrief Kommunikationstechnik - Grundlagen der PCM-Technik*. 2004. – URL <http://telecom.htwm.de/telecom/praktikum/pcm/lehrbrief-pcm2004.pdf>
- [14] SCHMEISSER, Fritz ; DIETMAYER, Klaus: *Rotational Speed Sensors KMI15/16*. (1999)
- [15] SCHOERMER, Christian: *Konstruktion und Automatisierung eines Radmessplatzes für ABS-Sensoren unterschiedlicher Hersteller*, Hochschule für Angewandte Wissenschaften Hamburg, Diplomarbeit, 2010
- [16] SEMICONDUCTORS, Philips: *Magnetoresistive sensors for magnetic field measurement*. (2000)
- [17] SENGPIEL, Dipl.-Ing. E.: *Tontechnik Rechner - sengpielaudio*. 02.02.2010. – URL <http://www.sengpielaudio.com/Rechner-harmonische.htm>
- [18] SIEBENMORGEN, Frank: *Ansteuerelektronik und Mikrocontrollersteuerung eines Kreuzspulennessplatzes für ABS-Sensoren*. Hamburg, Hochschule für Angewandte Wissenschaften Hamburg, Diplomarbeit, Juni 2009
- [19] STAHL, Martin: *Controllersystem zur Verstärkung und Offsetkompensation für ABS-Sensoren mit Diagnosefunktion*, Hochschule für Angewandte Wissenschaften Hamburg, Bachlorthesis, 2010
- [20] STURM, Mathias: *Mikrocontrollertechnik am Beispiel der MSP 430-Familie*. Carl Hanser Verlag, 2006. – ISBN 3-446-21800-9
- [21] WERNER, Martin: *Digitale Signalverarbeitung mit MATLAB 4. durchgesehene Auflage*. Vieweg+Teubner, 2009. – ISBN 978-3-8348-0457-0
- [22] WIESINGER, Johannes: *Aktive Rad-Drehzahlsensoren von BOSCH*. 11.04.2010. – URL <http://www.kfztech.de/kfztechnik/elo/sensoren/drehzahlsensor.htm>

# A. mathematische Beweise

## A.1. Symmetrie eines Spektrums

In diesem Abschnitt soll die Symmetrieeigenschaft eines Spektrums bewiesen werden. Dazu wird in die allgemein gültige Gleichung 3.1 für  $k$  der Ausdruck  $M - k$  eingesetzt. Man erhält dann folgende Gleichung:

$$\underline{X}_{M-k} = \frac{1}{M} \sum_{n=0}^M s[n] \cdot e^{-j \frac{2\pi[M-k]n}{M}} \quad (\text{A.1})$$

werden die Gleichung aufgelöst, ergibt sich folgender Ausdruck:

$$\underline{X}_{M-k} = \frac{1}{M} \sum_{n=0}^M s[n] \cdot \underbrace{e^{-j \frac{2\pi M n}{M}}}_{=1} \cdot e^{j \frac{2\pi k n}{M}} \quad (\text{A.2})$$

Die Gleichung lässt sich jetzt wieder vereinfachen, sodass sich für  $\underline{X}_{M-k}$  folgender Ausdruck ergibt:

$$\underline{X}_{M-k} = \frac{1}{M} \sum_{n=0}^M s[n] \cdot e^{j \frac{2\pi k n}{M}} = M_k \quad (\text{A.3})$$

## A.2. Äquivalenz der Summe der Quadrate und der Summe der Beträge der Fourierkoeffizienten

In diesem Abschnitt soll bewiesen werden, dass das Ergebnis der Summe aller Samples eines Signals und die Summe der Beträge aller Fourierkoeffizienten gleich ist. Das kann mathematisch wie folgt ausgedrückt werden:

$$\sum_{n=0}^{N-1} s_n^2 = \frac{1}{K} \cdot \sum_{k=0}^{K-1} |X_k|^2 \quad (\text{A.4})$$

die Fourierkoeffizienten  $X_k$  können mit Hilfe der Fouriertransformationen aus den Samples des Signals  $s_n$  bestimmt werden. Die Formel dafür lautet:

$$X_k = \sum_{n=0}^{N-1} \left[ s_n \cdot e^{j \cdot \frac{2\pi kn}{N}} \right]^2 \quad (\text{A.5})$$

Wird Gleichung A.5 in Gleichung A.4 eingesetzt, erhält man folgende Gleichung:

$$\sum_{n=0}^{N-1} s_n^2 = \frac{1}{K} \cdot \sum_{k=0}^{K-1} \left| \sum_{n=0}^{N-1} \left[ s_n \cdot e^{j \cdot \frac{2\pi kn}{N}} \right]^2 \right| \quad (\text{A.6})$$

Diese Formel kann zu folgendem Ausdruck umgeformt werden:

$$0 = \frac{1}{K} \cdot \sum_{k=0}^{K-1} \left| \sum_{n=0}^{N-1} \left[ s_n \cdot e^{j \cdot \frac{2\pi kn}{N}} \right]^2 \right| - \sum_{n=0}^{N-1} s_n^2 \quad (\text{A.7})$$

Die Rechenregeln für Summen erlauben es, dass die beiden Summen des ersten Term vertauscht werden dürfen. Dann kann die Formel weiter zusammengefasst werden, und es ergibt sich folgender Ausdruck:

$$0 = \sum_{n=0}^{N-1} s_n^2 \left[ \frac{1}{K} \cdot \sum_{k=0}^{K-1} \left| e^{j \cdot \frac{2\pi kn}{N}} \right|^2 - 1 \right] \quad (\text{A.8})$$

Damit diese Bedingung erfüllt werden kann, muss der Ausdruck in der Klammer zu Null gesetzt werden:

$$0 = \frac{1}{K} \cdot \sum_{k=0}^{K-1} \left| e^{j \cdot \frac{2\pi kn}{N}} \right|^2 - 1 \quad (\text{A.9})$$

oder anders ausgedrückt

$$1 = \frac{1}{K} \cdot \sum_{k=0}^{K-1} \left| e^{j \cdot \frac{2\pi kn}{N}} \right|^2 \quad (\text{A.10})$$

Da es sich bei dem Ausdruck  $e^{j \cdot \frac{2\pi kn}{N}}$  um einen komplexen Zeiger handelt, dessen Betrag immer 1 ist, darf das Gleichheitszeichen geschrieben werden und die Behauptung ist somit wahr.

# B. Wissenswertes zur Festkommaberechnung mit Matlab

## B.1. Grundlagen der Matlab Fixpoint Toolbox

### B.1.1. Aufbau einer Fixpoint-Variablen

Eine Fixpoint-Variable besteht aus einer Datenstruktur, die folgende Strukturelemente enthält:

- bin: Der Wert wird binär als String zur Verfügung gestellt.
- data: Gleitkommawert des Fixpoint Wertes wird in einer numerischen Variablen zur Verfügung gestellt.
- dec: Der Dezimalwert des Wertes wird als Zeichenkette zur Verfügung gestellt
- double: Gleitkommawert wird in einer „double“ Variable zur Verfügung gestellt.
- hex: Der Wert wird hexadezimal in einer Zeichenkette zur Verfügung gestellt.
- int: Der Inhalt der Variablen wird als Integer Zahl zur Verfügung gestellt. Alternativ kann dieses Ergebnis auch durch das Benutzen der folgenden Funktionen erreicht werden: int8, int16, int32, int64, uint8, uint16, uint32 und uint64.
- oct: Der Wert wird oktal in einer Zeichenkette zur Verfügung gestellt.

Um eine Fixpoint-Variable zu erstellen, steht in Matlab der Befehl `fi()` zur Verfügung. Um zum Beispiel der Variable `a` ohne Veränderung der Eigenschaften einen neuen Wert zuzuweisen, muss folgende Anweisung geschrieben werden: `a(:) = 48`.

Wird zum Beispiel in die Matlab Kommandozeile der Befehl `a = fi(32)` eingegeben, wird eine Fixpoint-Variable `a` definiert und mit dem Wert 32 initialisiert. Es werden zudem noch folgende Eigenschaften über die Variable `a` ausgegeben:

```
DataTypeMode: Fixed-point: binary point scaling
Signedness: Signed
WordLength: 16
FractionLength: 9
```

Die Wortbreite sowie die Anzahl der Nachkommastellen sind durch Matlab festgelegt, da keine weiteren Eigenschaften angegeben worden sind. Diese besagen, dass die Variable `a` eine Wortbreite von 16 Bit aufweist, Vorzeichen behaftet ist, und 9 Bit für die Darstellungen der Nachkommastellen verwendet werden. Daraus lässt sich schließen, dass 6 Bit für die Darstellung der ganzen Zahl übrig bleiben. Das bedeutet, dass der Wertebereich von 0 bis 63 definiert ist. Wenn in einer nächsten Operation der Wert von `a` um 32 erhöht werden soll, ist es nicht mehr darstellbar. Es wird dann folgendes Ergebnis ausgegeben:

```
a(:)=a + 32

a =

63.9980

DataTypeMode: Fixed-point: binary point scaling
Signedness: Signed
WordLength: 16
FractionLength: 9
```

Das ist für das weitere Vorgehen keine gute Möglichkeit. Wie dieses Problem umgangen werden kann, wird im nächsten Abschnitt erläutert.

### B.1.2. Ein `numeric-type`-Objekt definieren

Ein `numeric-type`-Objekt enthält Informationen über den Aufbau eines Fixpoint-Objektes. Diese können nur vor dem Erstellen einer Variablen festgelegt werden, und sind danach nicht mehr veränderbar. Das `numeric-type`-Objekt besteht ebenfalls aus einer Struktur, und es können dort folgende Eigenschaften festgelegt werden:



Eigenschaft	Beschreibung
Bias	dient zur Normalisierung des Exponenten bei Gleitkommazahlen. Ist nur für die Mantissee Exponent Darstellung erforderlich.
DataType	Vordefinierte Matlab Datentypen. Zur Auswahl stehen „boolean“, „double“, „Fixed“, „ScaledDouble“ und „single“. Die Datentypen „Fixed“ und „ScaledDouble“ sind keine Build-In Datentypen, bei denen weitere Eigenschaften angegeben werden können.
DataTypeMode	Datentyp und Skalierung. Dort stehen die Build-In Datentypen „boolean“, „double“ und „single“ zur Verfügung.
FixedExponent	Exponent der Mantissee Exponent Darstellung
FractionLength	Anzahl der Bits, die für die Darstellung der Nachkommastellen reserviert ist.
Scaling	Es gibt drei mögliche Optionen: BinaryPoint gibt an, dass die Variable über „wordlength“ und „fractionlength“ definiert ist, SlopeBias gibt an, dass die Variable über Slope und Bias festgelegt ist.
Signed / Signedness	Angabe, die ob Variable ein Vorzeichen aufweisen soll. Angabe bei Signed: true oder false. Angabe bei Signedness: Signed, Unsigned, auto.
Slope	Matisse der Mantissee-Exponent Darstellung.
WordLength	Wortbreite der Variablen in Bit.

Tabelle B.1.: Beschreibung eines numeric-type-Objekts

Um zum Beispiel ein numeric-type-Objekt mit dem Namen `b` zu entwerfen, in dem eine Wortbreite von 16 Bit ohne Vorzeichen definiert ist und 5 Bit für die Nachkommastellen zur Verfügung stehen sollen, kann wie folgt geschrieben werden:

```
b = numerictype( 'Signed', false, 'Scaling', 'BinaryPoint', ...
'wordlength', 16, 'fractionLength', 5)
```

Dieses Beispiel kann auch in der Exponentialform dargestellt werden. Dann kann das numeric-type Objekt so aussehen:

```
b = numerictype('DataType', 'Fixed', 'Signed', false, 'Scaling', ...
'SlopeBias', 'wordlength', 16, 'FixedExponent', -5)
```

Um eine Variable *a* mit einem Wert von 32.4375 von Typ *b* zu definieren, kann dies wie folgt angegeben werden:

```
a = fi(32.453,b);
```

Für den ersten Fall wird folgendes Ergebnis ausgegeben:

```
a =  
  
32.4375  
  
      DataTypeMode: Fixed-point: binary point scaling  
      Signedness:   Unsigned  
      WordLength:   16  
      FractionLength: 5
```

Die Abweichung kommt zustande da 0.453 nicht mit 5 Bit dargestellt werden kann. Deshalb wird das Ergebnis abgerundet.

Wird die Variable in Exponentialform dargestellt, wird folgendes Ergebnis ausgegeben:

```
a =  
  
32.4375  
  
      DataTypeMode: Fixed-point: slope and bias scaling  
      Signedness:   Unsigned  
      WordLength:   16  
      Slope:         2^-5  
      Bias:          0
```

### B.1.3. Aufbau eines *fimath*-Objekts

Ein *fimath*-Objekt definiert die Eigenschaften arithmetischer Operationen, wie die Addition, Subtraktion, Division und Multiplikation. Sie müssen ebenfalls bei der Definition einer neuen Fixpoint-Variablen angegeben werden. Die Einstellmöglichkeiten können in der Matlab Hilfe nachgelesen werden.

Die arithmetischen Eigenschaften müssen bei der Definition einer neuen Variablen mit den numeric-type-Eigenschaften angegeben werden. Das kann zum Beispiel für ein fimath-Objekt mit dem Namen `p` und dem numeric-type-Objekt `b` wie folgt aussehen:

```
x = fi(32,b,p);
```

## B.2. Die Schiebe Operationen

In der Fixpoint-Toolbox sind für das Schieben nach rechts die Funktionen `bitsra`, `bitsrl` sowie für das Schieben nach links die Funktionen `bitsla`, `bitsll` vorgesehen. Diese sind nicht verwendet worden, weil sie nur als Matlab-Code vorliegen und die Simulation sehr viel mehr Zeit in Anspruch nehmen würde.

Stattdessen ist die Funktion `bitshift()` verwendet worden, da diese im kompilierter Form vorliegt. Allerdings muss beachtet werden, dass ein positiver Schiebefaktor einem Schieben nach links und ein negativer Schiebefaktor einem Schieben nach rechts entspricht.

Durch das Verwenden dieser Funktion lässt sich das Ausführen des Simulationsprogramms beschleunigen.

# C. Beschreibung der Datenstruktur

## C.1. Beschreibung der abgespeicherten Simulationsergebnisse

Variablenname	Beschreibung
DFT_imag	Sinus-Wertetabelle mit Auflösung von „NLUT“ Bit.
DFT_real	Kosinus-Wertetabelle mit Auflösung von „NLUT“ Bit.
NADC	Auflösung des simulierten Analog-Digital-Umsetzers für die aktuelle Simulation.
NLUT	Auflösung der Sinus- und Kosinus Wertetabellen für die aktuelle Simulation.
NO	Anzahl der berücksichtigten Koeffizienten für die Berechnungsmethode aus der Arbeit von Herrn Jegenhorst.
N_harm	Anzahl der Harmonischen, mit denen das Signal approximiert worden ist.
P1	Errechnete Leistung der ersten Harmonischen mit der HDI-Methode.
Pges	Errechnete Leistung des Signals mit der HDI-Methode.
S	Anzahl der Samples pro Periode.
THD5_mat	In Gleitkomma-Arithmetik bestimmtes Ergebnis mit der HD5-Methode
THD_calc	In Fixpoint-Arithmetik bestimmtes Ergebnis des HD5-Methode
THD_lut	Aus der Arbeit von Herrn Jegenhorst übernommene Klirrfaktor-Ergebnisse die mit dem Mikrocontroller ermittelt worden sind.
THD_mat	In Gleitkomma-Arithmetik bestimmter Klirrfaktor unter Berücksichtigung aller im Signal enthalten Harmonischen.
THD_new	Mit Fixpoint-Arithmetik bestimmtes Ergebnis mit der HDI-Methode.
THD_new_mat	In Gleitkomma-Arithmetik bestimmtes Ergebnis mit der HDI-Methode
distance	Vektor in dem für alle Messungen die Entfernungen zwischen Sensor und Encoderrad abgelegt sind.

<b>Variablenname</b>	<b>Beschreibung</b>
fixp	Datenstruktur, in der die Fixpoint-Datentypen und Einstellungen abgelegt sind. Eine Beschreibung ist in Kapitel 4 zu finden.
im_calc	Feld, in dem für alle Messpunkte der Imaginärteil aller Harmonischer für das Verfahren aus der Arbeit von Herrn Jegenhorst abgelegt ist. Diese Werte sind in Festkomma-Arithmetik bestimmt worden.
im_mat	Feld, in dem für alle Messpunkte der Imaginärteil aller Harmonischen für das Verfahren aus der Arbeit von Herrn Jegenhorst abgelegt ist. Diese Werte sind in Gleitkomma-Arithmetik bestimmt worden.
mag_calc	Feld, in dem für alle Messpunkte die Beträge aller Harmonischen für das Verfahren aus der Arbeit von Herrn Jegenhorst abgelegt ist. Diese Werte sind in Festkomma-Arithmetik bestimmt worden.
mag_mat	Feld, in dem für alle Messpunkte die Beträge aller Harmonischer für das Verfahren aus der Arbeit von Herrn Jegenhorst abgelegt ist. Diese Werte in Gleitkomma-Arithmetik bestimmt worden.
parameters	Aus den Messdaten aus [7] entnommene Datenstruktur, in der Messbereich, die Abtastfrequenz des Oszilloskops, die Umschaltstufen des internen Vorverstärkers und die Entfernung zwischen zwei Messpunkten angegeben ist.
re_calc	Feld, in dem für alle Messpunkte der Realteil aller Harmonischen für das Verfahren aus der Arbeit von Herrn Jegenhorst abgelegt ist. Diese Werte sind in Festkomma-Arithmetik berechnet worden.
re_mat	Feld, in dem für alle Messpunkte der Realteil aller Harmonischen für das Verfahren aus der Arbeit von Herrn Jegenhorst abgelegt ist. Diese Werte sind in Gleitkomma-Arithmetik berechnet worden.
s_fix	Feld in dem für alle Messpunkte die Samples für eine Periode gespeichert sind.

Tabelle C.1.: Beschreibung der bei jeder Simulation abgespeicherten Ergebnisse

# D. Simulationsergebnisse

## D.1. Analyse des Klirrfaktors über die Distanz für verschiedene Parameter

### D.1.1. Verwendung der ersten Berechnungsmöglichkeit

In diesem Versuch soll die Simulation unter Verwendung von verschiedenen Wortbreiten für den Analog-Digital-Umsetzer sowie der Sinus- und Kosinus-Wertetabellen durchgeführt werden.

#### 6 Bit Look-up Tabelle

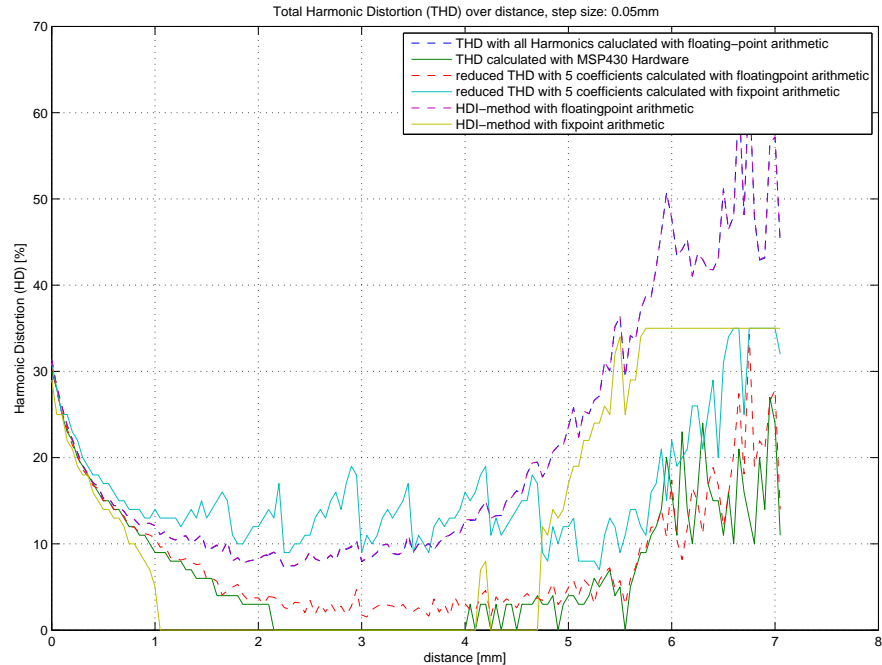


Abbildung D.1.: Klirrfaktor in Abhängigkeit von der Entfernung zwischen Sensor und Encoderrad bei Verwendung eines 6 Bit ADC [8]

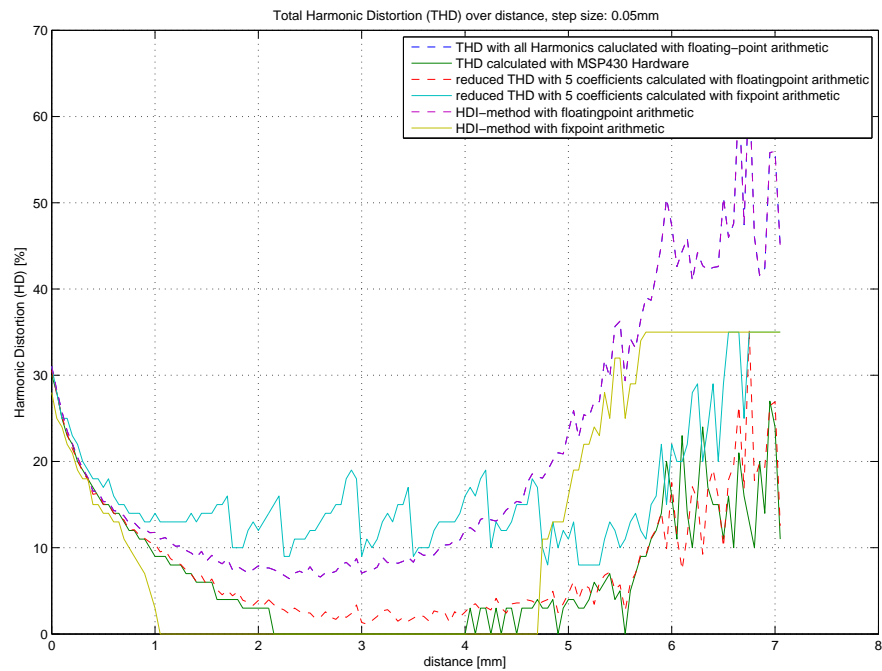


Abbildung D.2.: Klirrfaktor in Abhängigkeit von der Entfernung zwischen Sensor und Encoderrad bei Verwendung eines 8 Bit ADC [8]

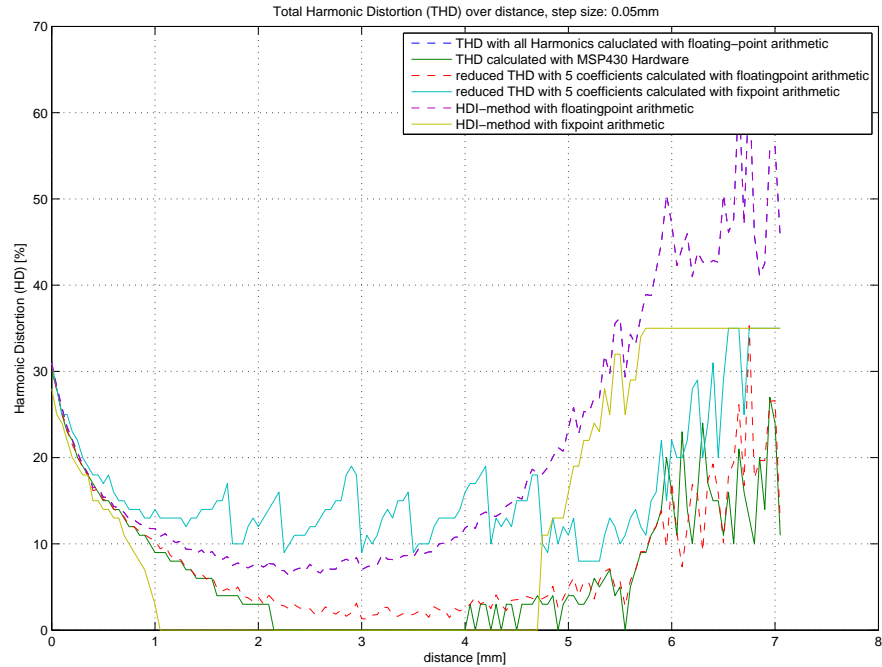


Abbildung D.3.: Klirrfaktor in Abhängigkeit von der Entfernung zwischen Sensor und Encoderrad bei Verwendung eines 10 Bit ADC [8]

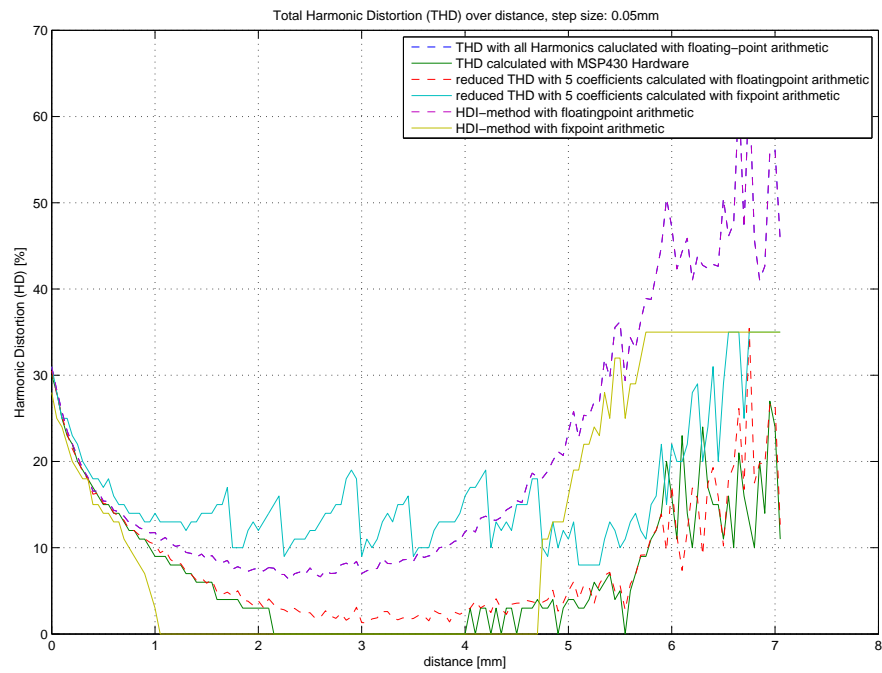


Abbildung D.4.: Klirrfaktor in Abhängigkeit von der Entfernung zwischen Sensor und Encoderrad bei Verwendung eines 12 Bit ADC [8]



### 8 Bit Look-up Tabelle

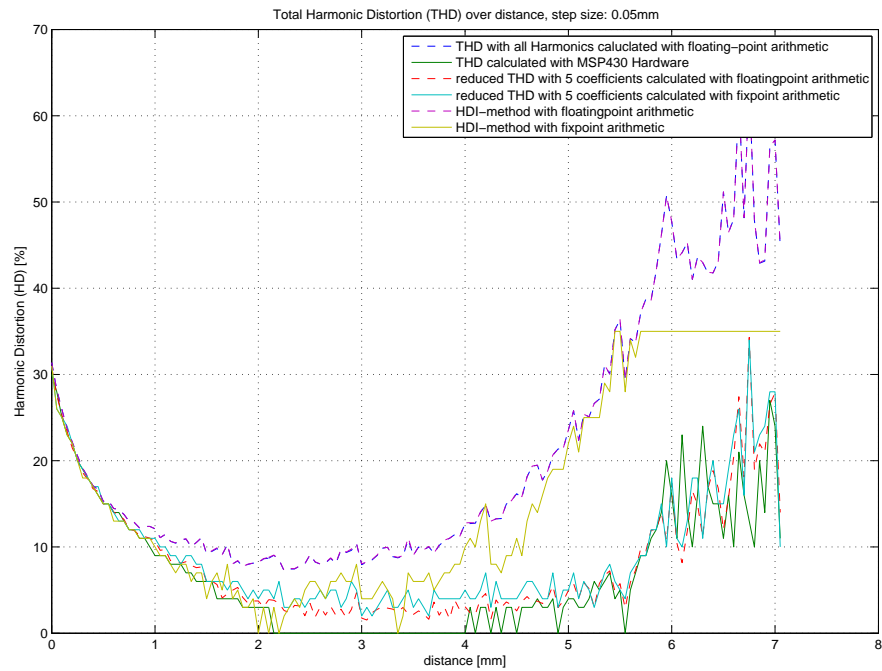


Abbildung D.5.: Klirrfaktor in Abhängigkeit von der Entfernung zwischen Sensor und Encoderrad bei Verwendung eines 6 Bit ADC [8]

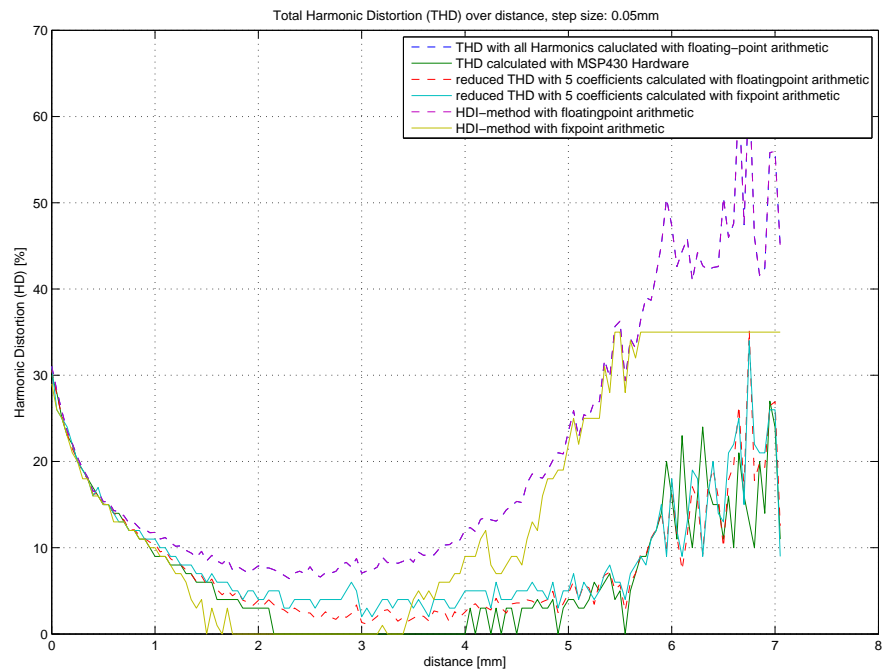


Abbildung D.6.: Klirrfaktor in Abhängigkeit von der Entfernung zwischen Sensor und Encoderrad bei Verwendung eines 8 Bit ADC [8]

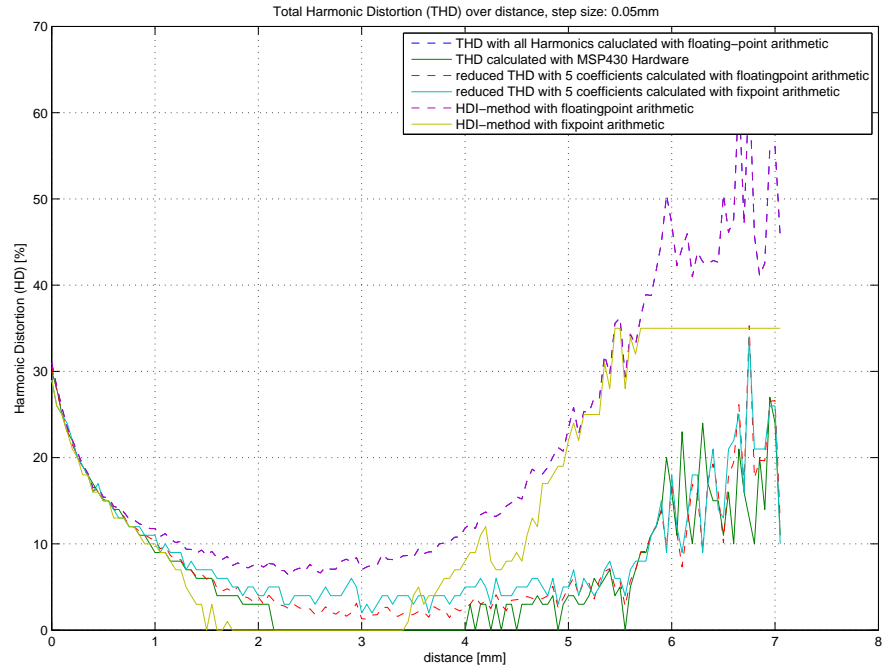


Abbildung D.7.: Klirrfaktor in Abhängigkeit von der Entfernung zwischen Sensor und Encoderrad bei Verwendung eines 10 Bit ADC [8]

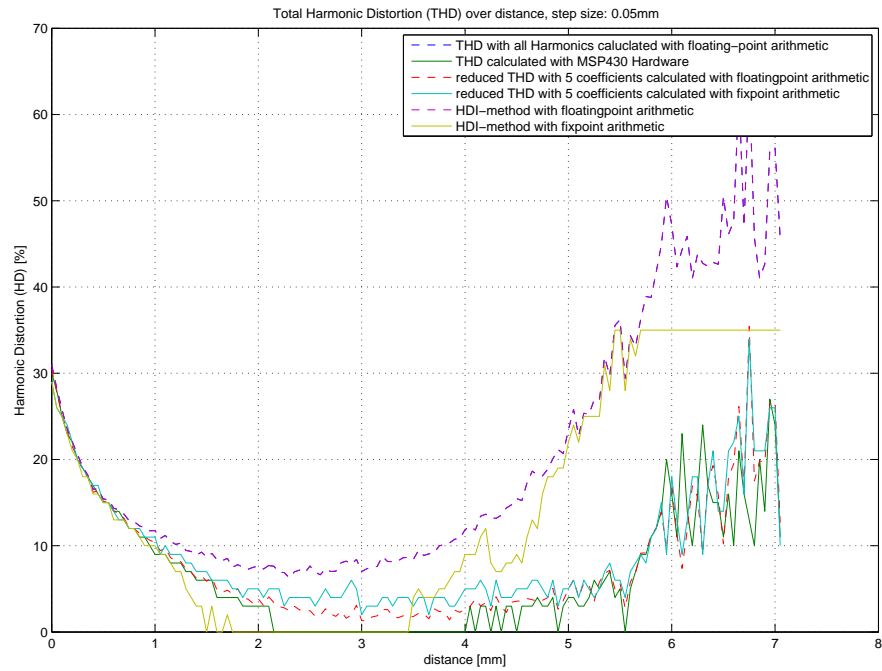


Abbildung D.8.: Klirrfaktor in Abhängigkeit von der Entfernung zwischen Sensor und Encoderrad bei Verwendung eines 12 Bit ADC [8]

### 9 Bit Look-up Tabelle

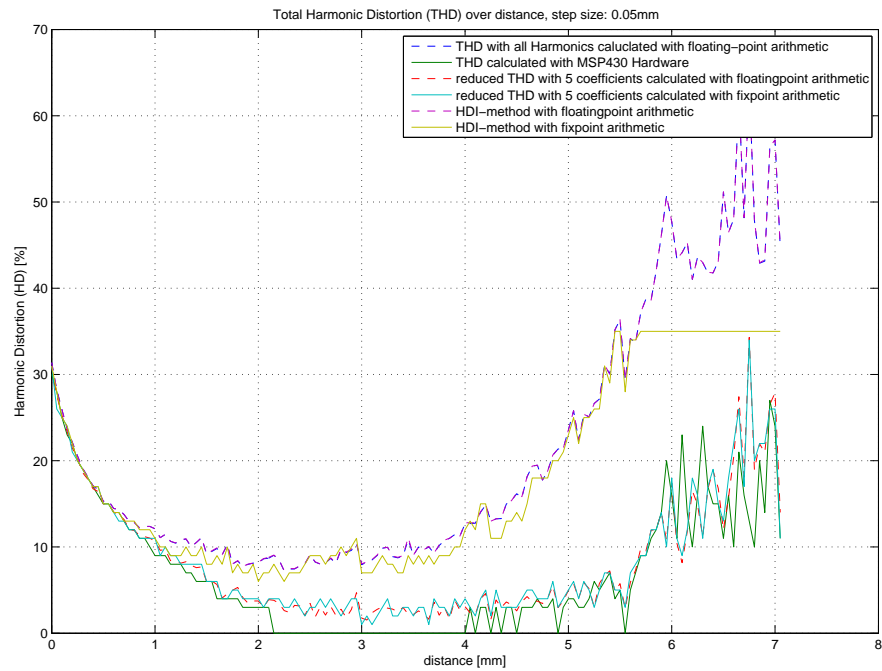


Abbildung D.9.: Klirrfaktor in Abhängigkeit von der Entfernung zwischen Sensor und Encoderrad bei Verwendung eines 6 Bit ADC [8]

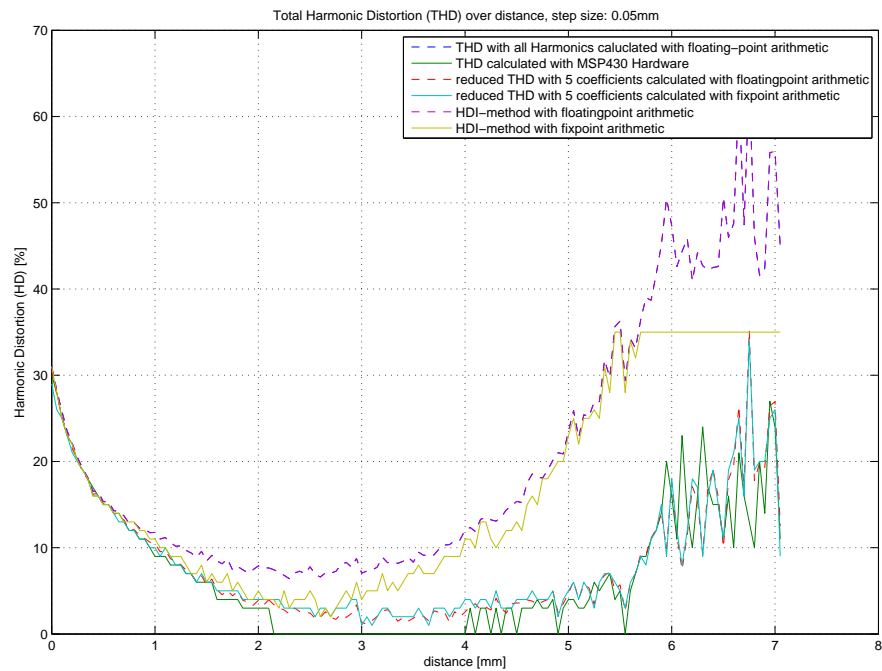


Abbildung D.10.: Klirrfaktor in Abhängigkeit von der Entfernung zwischen Sensor und Encoderrad bei Verwendung eines 8 Bit ADC [8]

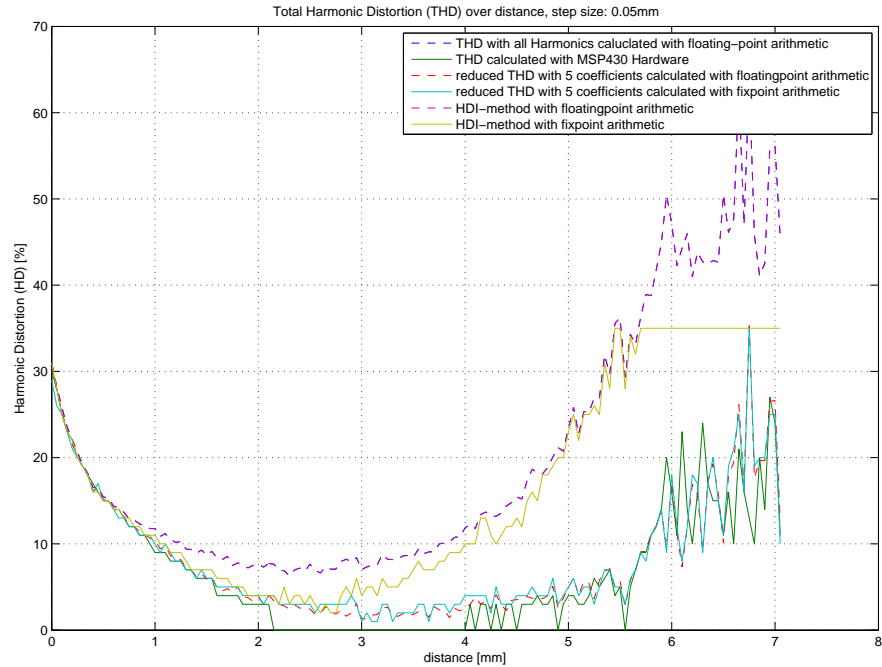


Abbildung D.11.: Klirrfaktor in Abhängigkeit von der Entfernung zwischen Sensor und Encoderrad bei Verwendung eines 10 Bit ADC [8]

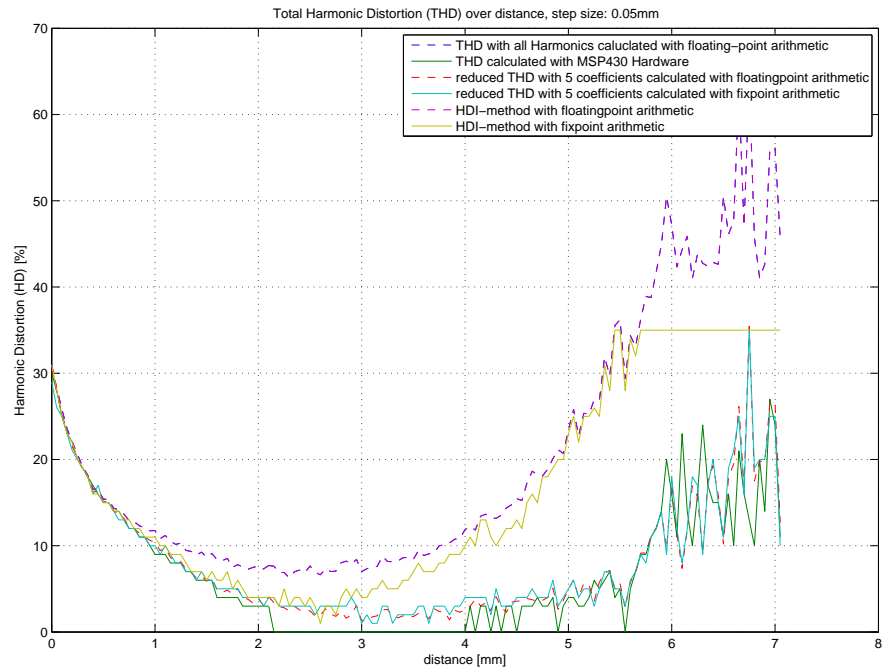


Abbildung D.12.: Klirrfaktor in Abhängigkeit von der Entfernung zwischen Sensor und Encoderrad bei Verwendung eines 12 Bit ADC [8]

## 10 Bit Look-up Tabelle

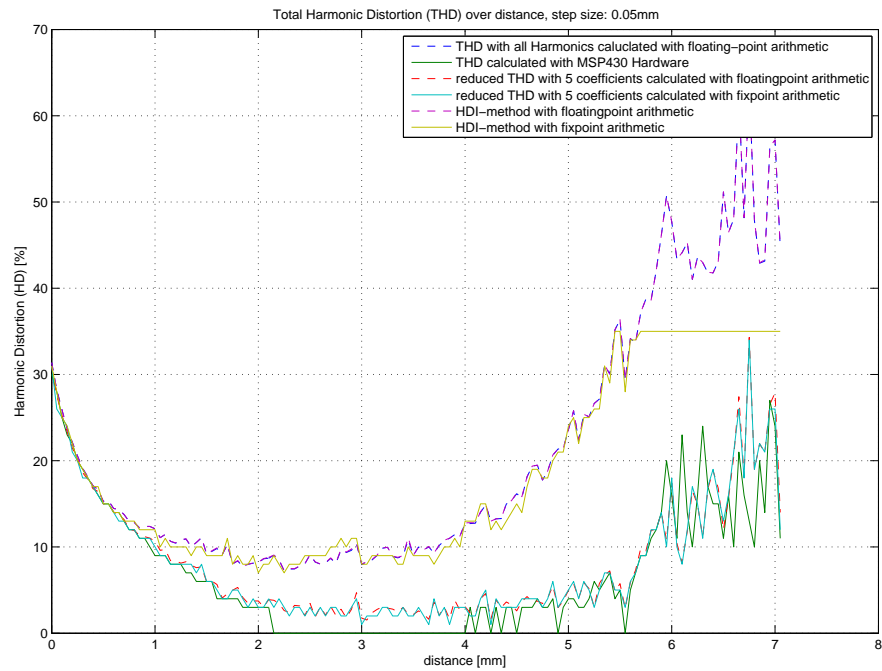


Abbildung D.13.: Klirrfaktor in Abhängigkeit von der Entfernung zwischen Sensor und Encoderrad bei Verwendung eines 6 Bit ADC [8]

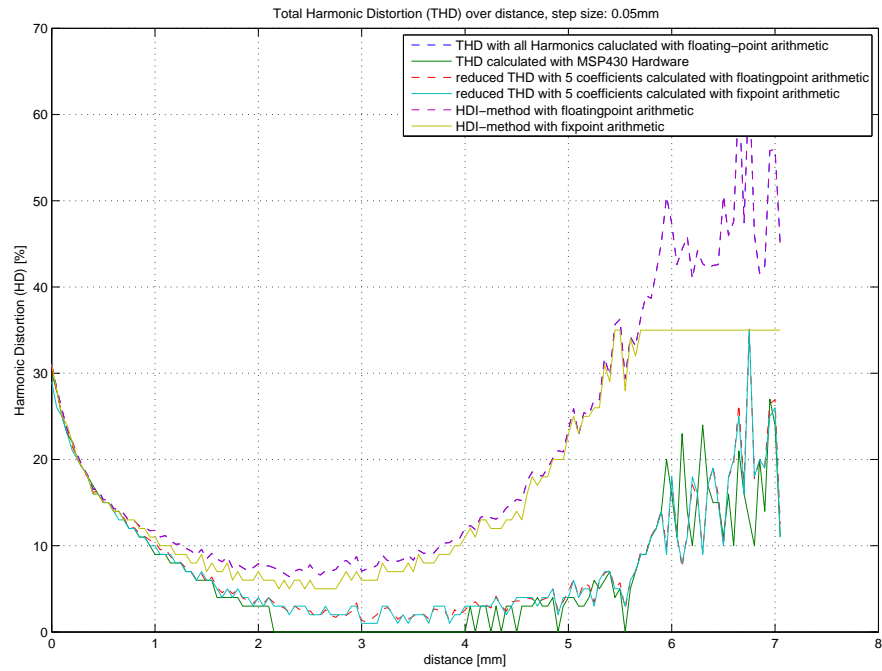


Abbildung D.14.: Klirrfaktor in Abhängigkeit von der Entfernung zwischen Sensor und Encoderrad bei Verwendung eines 8 Bit ADC [8]

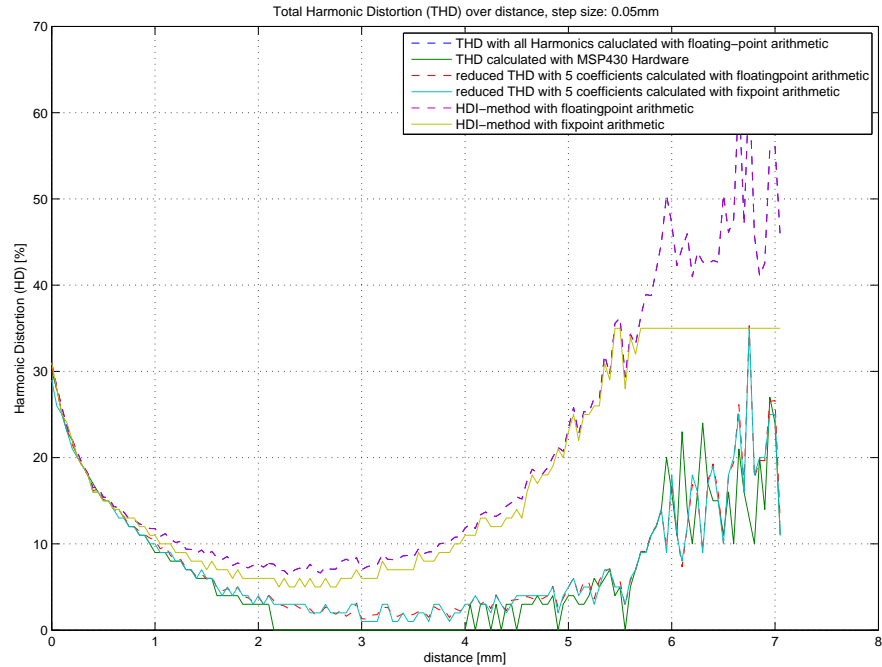


Abbildung D.15.: Klirrfaktor in Abhängigkeit von der Entfernung zwischen Sensor und Encoderrad bei Verwendung eines 10 Bit ADC



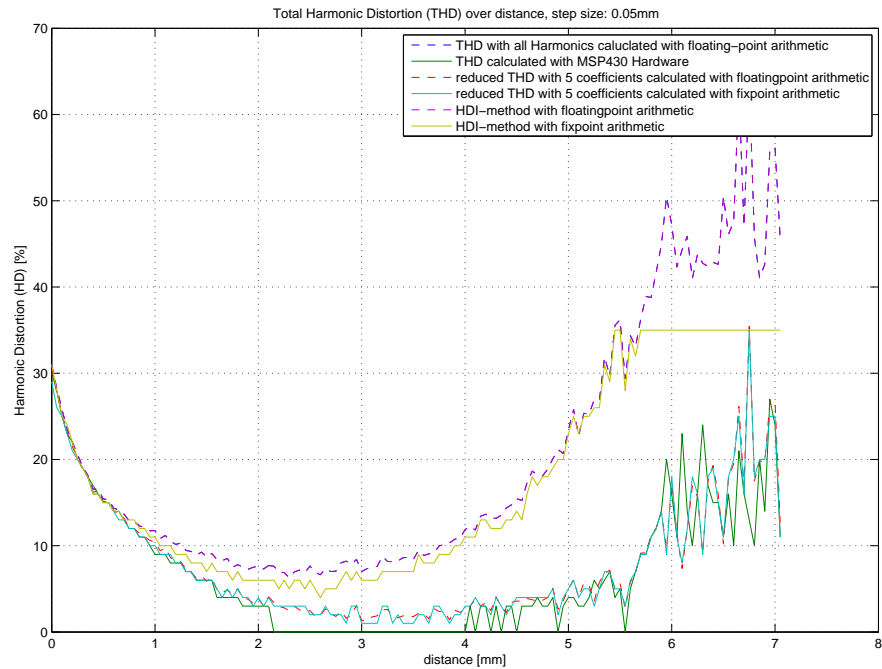


Abbildung D.16.: Klirrfaktor in Abhängigkeit von der Entfernung zwischen Sensor und Encoderrad bei Verwendung eines 12 Bit ADC [8]

### D.1.2. Verwendung der zweiten Berechnungsmöglichkeit

In diesem Versuch soll die Simulation unter Verwendung von verschiedenen Wortbreiten für den Analog-Digital-Umsetzer sowie der Sinus- und Kosinus-Wertetabellen durchgeführt werden.

## 6 Bit Look-up Tabelle

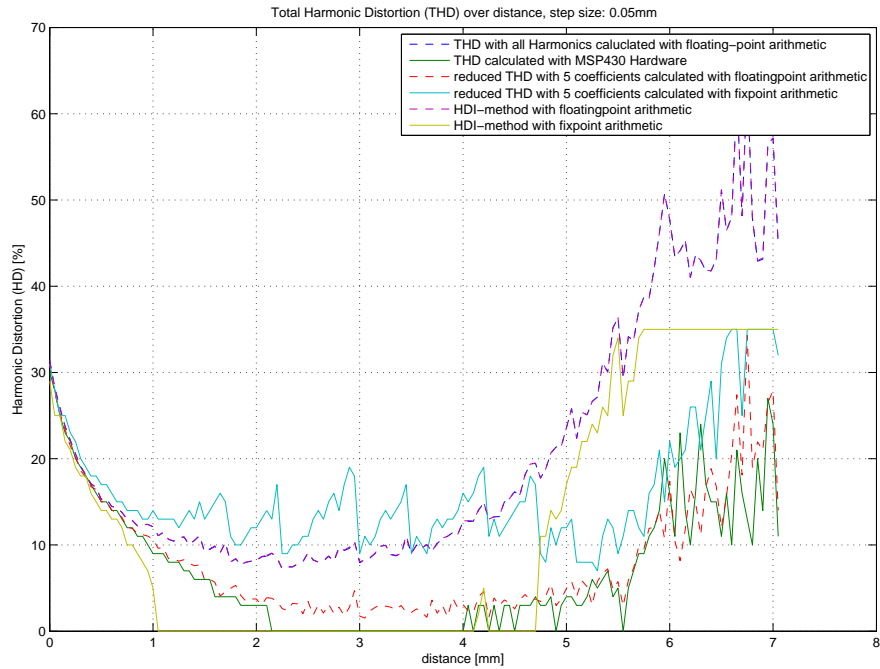


Abbildung D.17.: Klirrfaktor in Abhängigkeit von der Entfernung zwischen Sensor und Encoderrad bei Verwendung eines 6 Bit ADC [8]

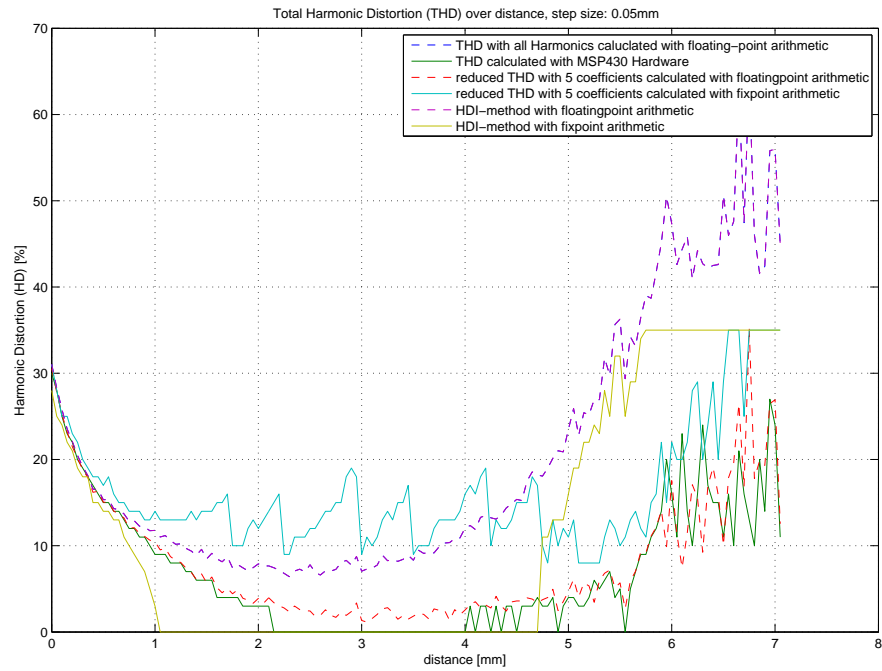


Abbildung D.18.: Klirrfaktor in Abhängigkeit von der Entfernung zwischen Sensor und Encoderrad bei Verwendung eines 8 Bit ADC [8]

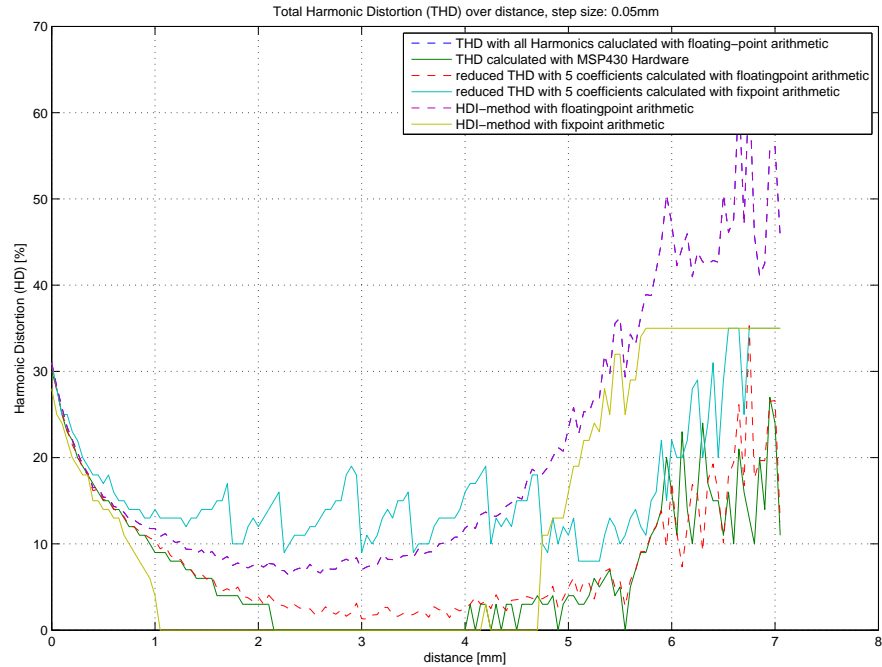


Abbildung D.19.: Klirrfaktor in Abhängigkeit von der Entfernung zwischen Sensor und Encoderrad bei Verwendung eines 10 Bit ADC [8]

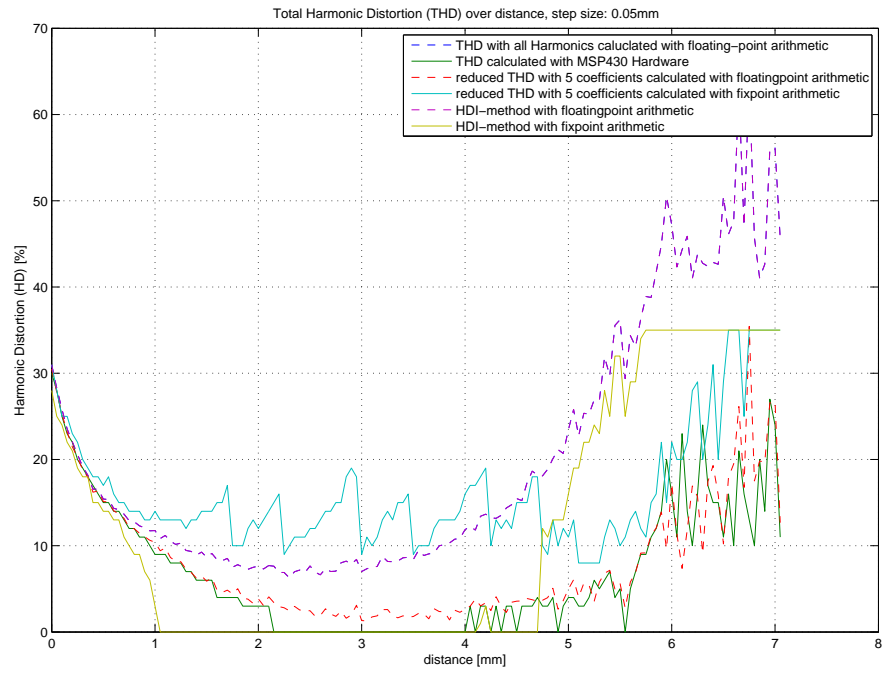


Abbildung D.20.: Klirrfaktor in Abhängigkeit von der Entfernung zwischen Sensor und Encoderrad bei Verwendung eines 12 Bit ADC [8]

## 8 Bit Look-up Tabelle

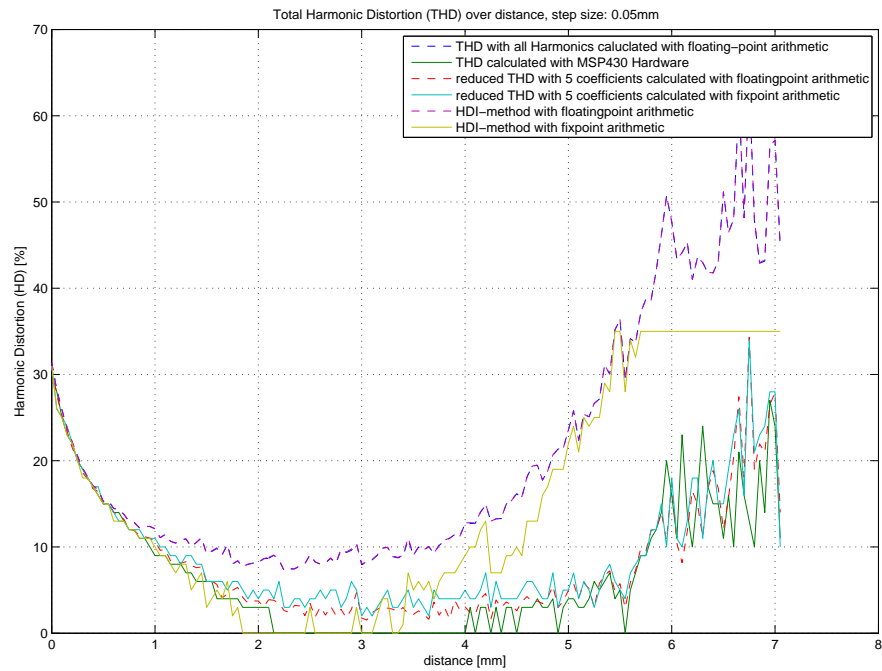


Abbildung D.21.: Klirrfaktor in Abhängigkeit von der Entfernung zwischen Sensor und Encoderrad bei Verwendung eines 6 Bit ADC [8]

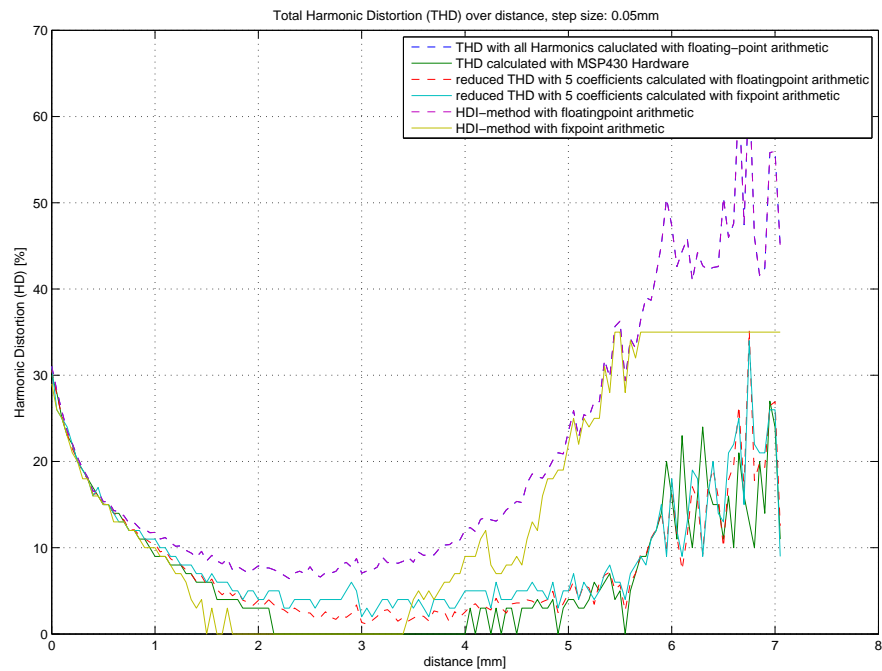


Abbildung D.22.: Klirrfaktor in Abhängigkeit von der Entfernung zwischen Sensor und Encoderrad bei Verwendung eines 8 Bit ADC [8]

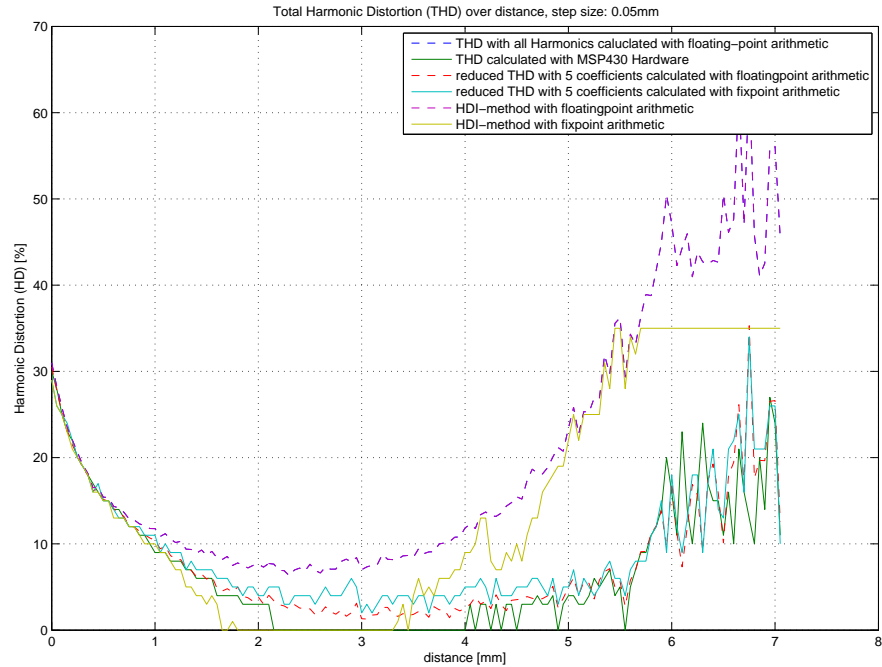


Abbildung D.23.: Klirrfaktor in Abhängigkeit von der Entfernung zwischen Sensor und Encoderrad bei Verwendung eines 10 Bit ADC [8]

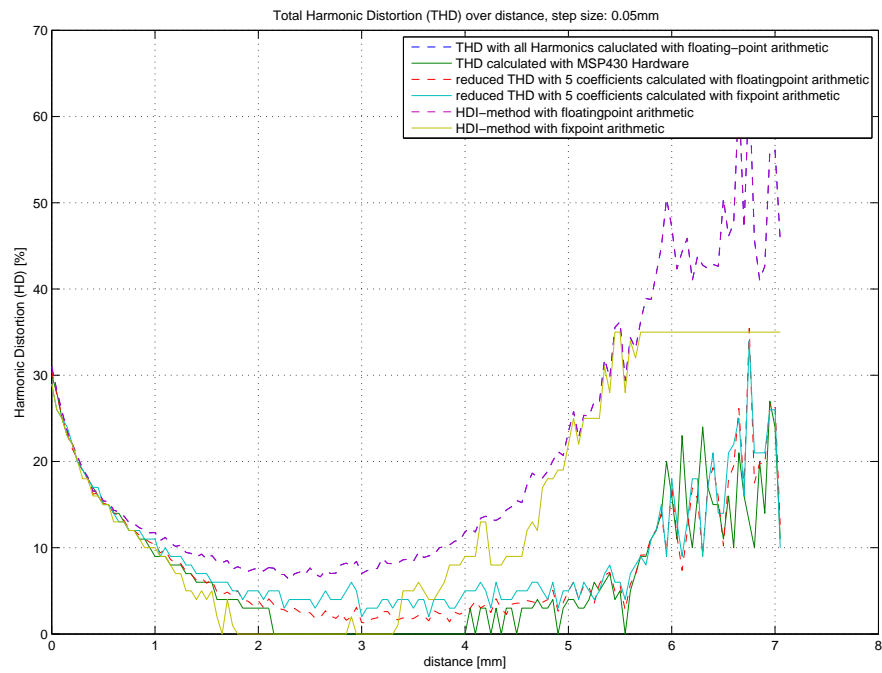


Abbildung D.24.: Klirrfaktor in Abhängigkeit von der Entfernung zwischen Sensor und Encoderrad bei Verwendung eines 12 Bit ADC [8]

### 9 Bit Look-up Tabelle

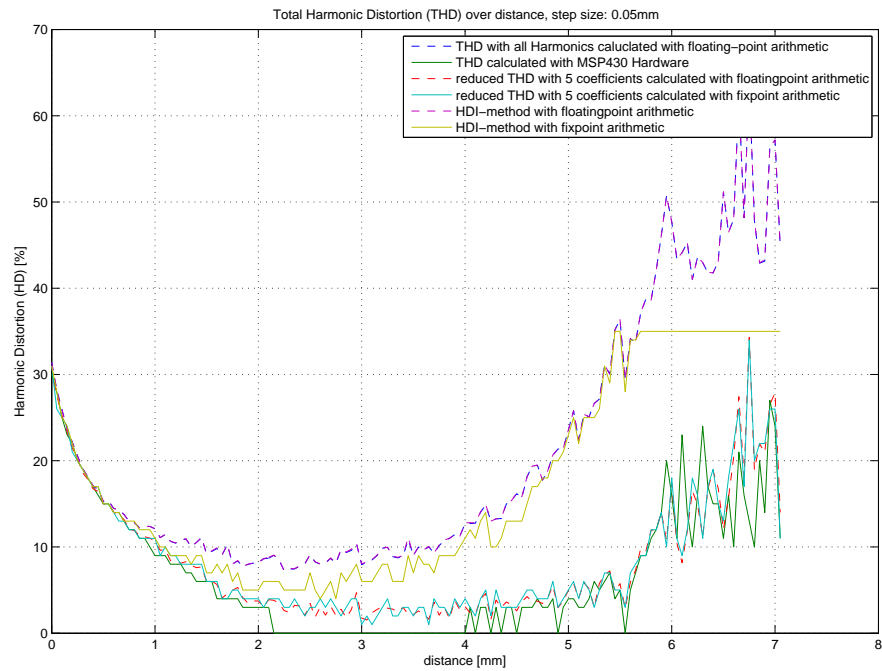


Abbildung D.25.: Klirrfaktor in Abhängigkeit von der Entfernung zwischen Sensor und Encoderrad bei Verwendung eines 6 Bit ADC [8]



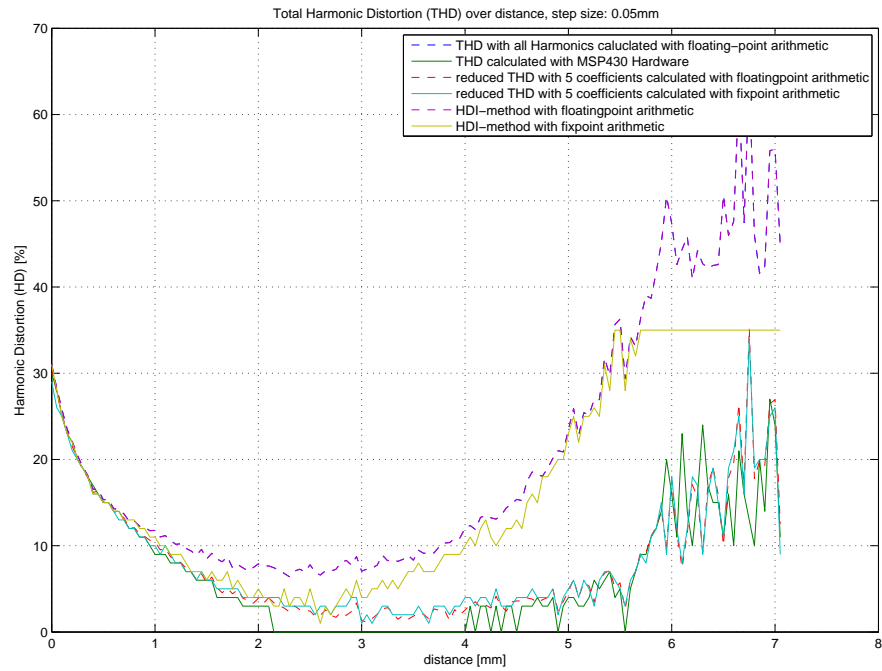


Abbildung D.26.: Klirrfaktor in Abhängigkeit von der Entfernung zwischen Sensor und Encoderrad bei Verwendung eines 8 Bit ADC [8]

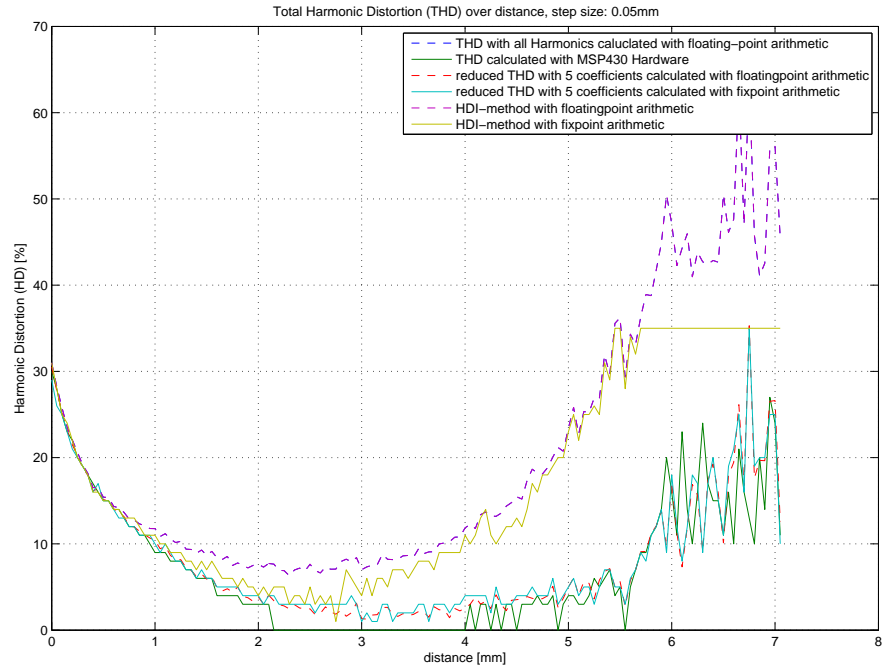


Abbildung D.27.: Klirrfaktor in Abhängigkeit von der Entfernung zwischen Sensor und Encoderrad bei Verwendung eines 10 Bit ADC [8]

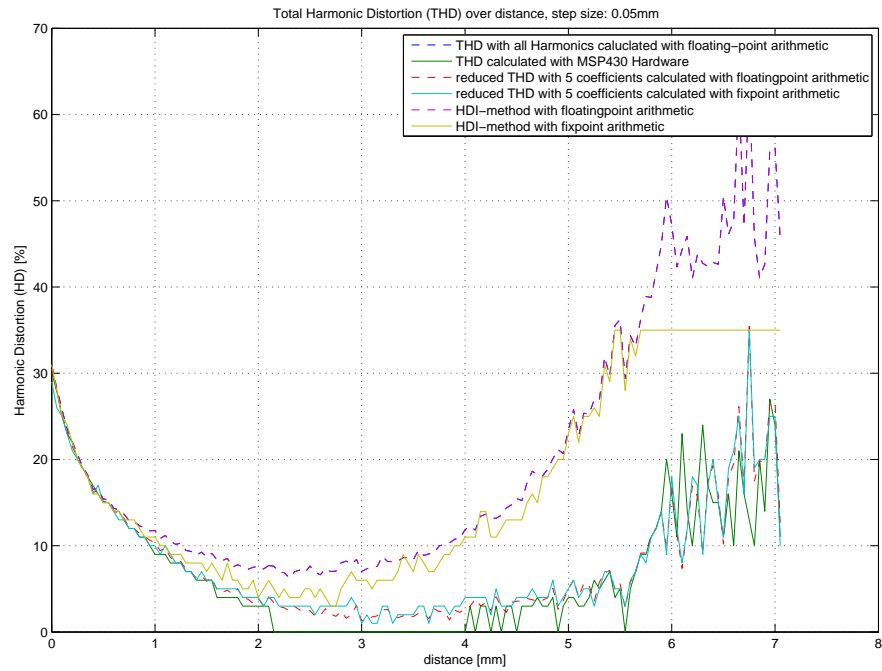


Abbildung D.28.: Klirrfaktor in Abhängigkeit von der Entfernung zwischen Sensor und Encoderrad bei Verwendung eines 12 Bit ADC [8]

## 10 Bit Look-up Tabelle

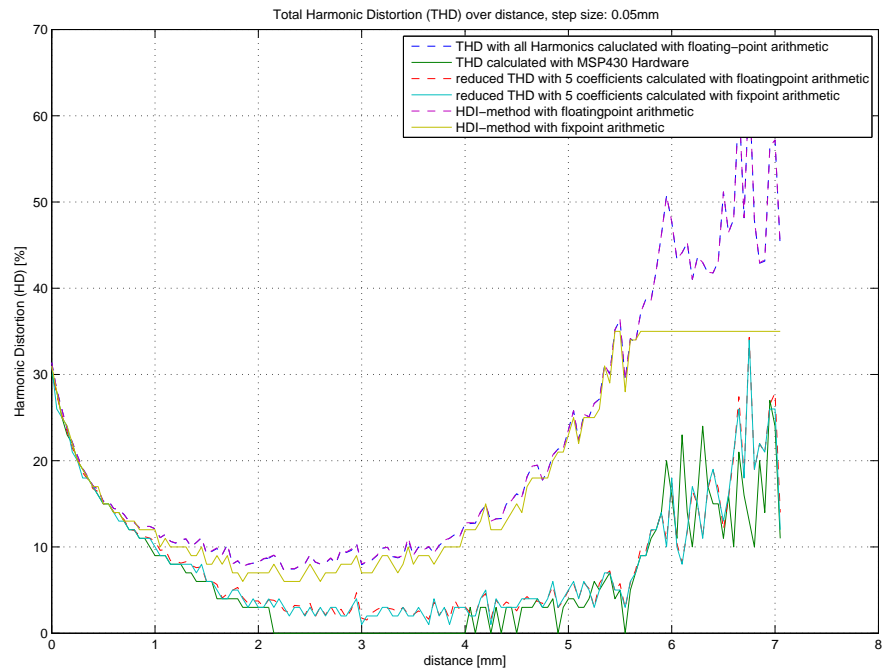


Abbildung D.29.: Klirrfaktor in Abhängigkeit von der Entfernung zwischen Sensor und Encoderrad bei Verwendung eines 6 Bit ADC [8]

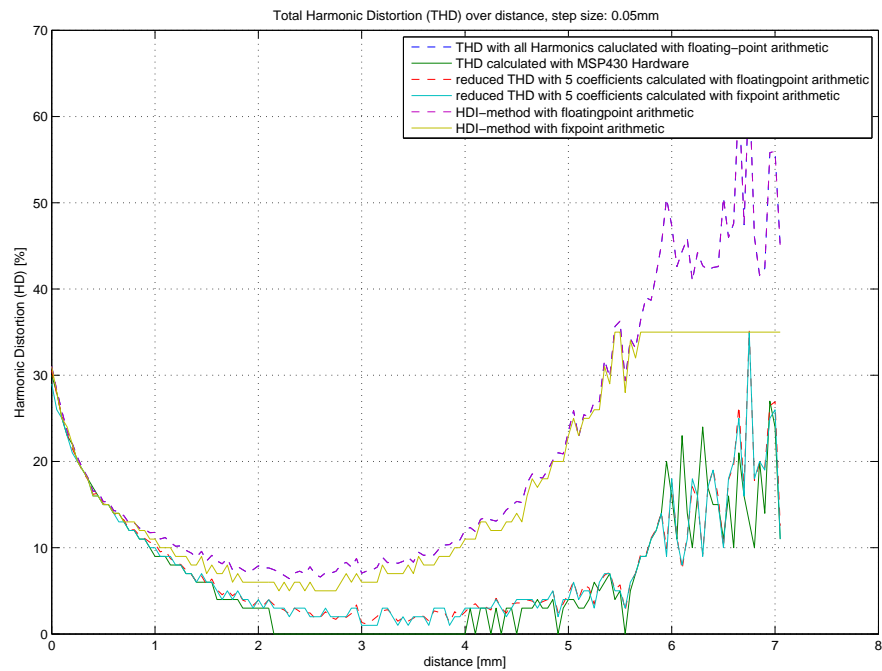


Abbildung D.30.: Klirrfaktor in Abhängigkeit von der Entfernung zwischen Sensor und Encoderrad bei Verwendung eines 8 Bit ADC [8]

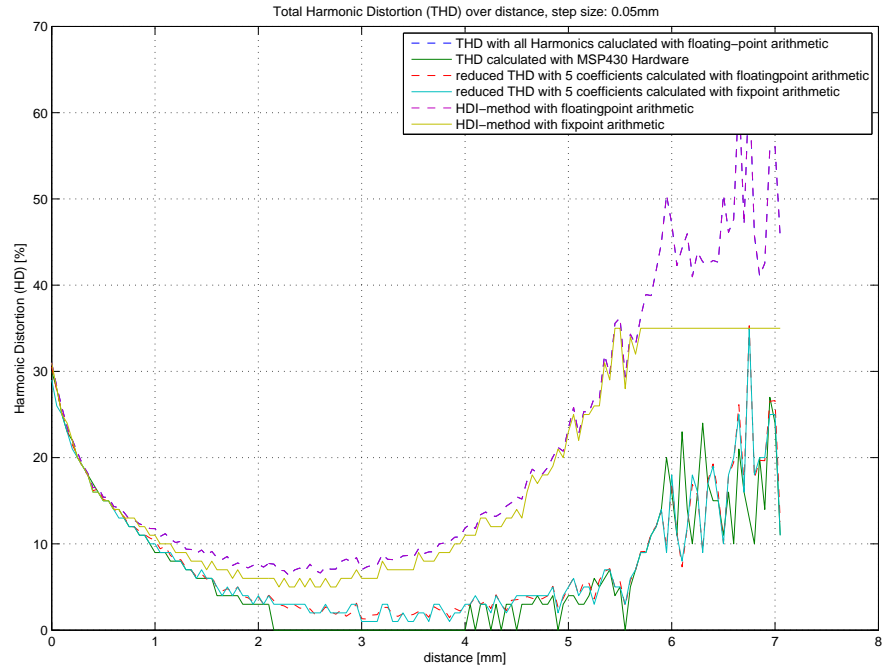


Abbildung D.31.: Klirrfaktor in Abhängigkeit von der Entfernung zwischen Sensor und Encoderrad bei Verwendung eines 10 Bit ADC [8]

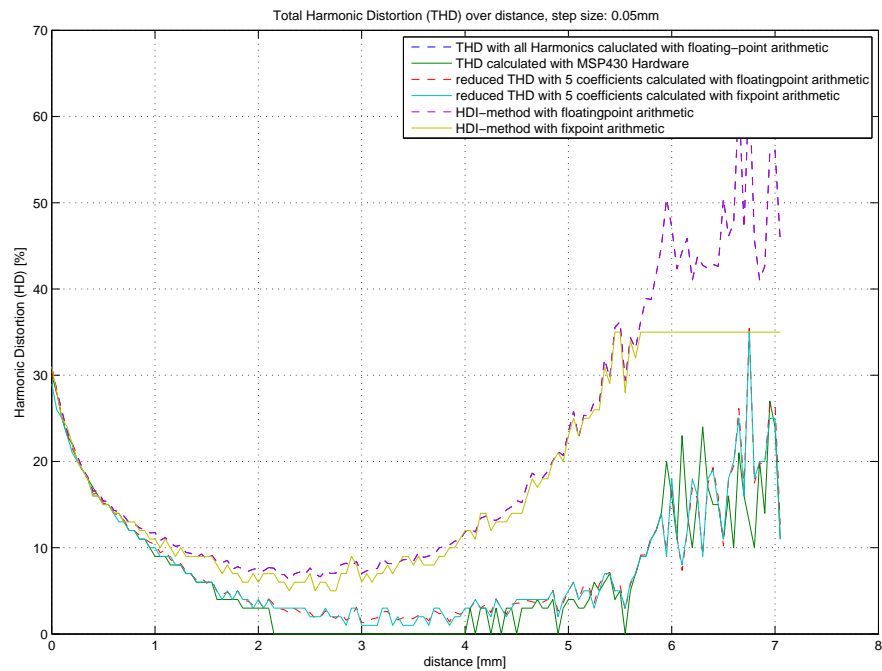


Abbildung D.32.: Klirrfaktor in Abhängigkeit von der Entfernung zwischen Sensor und Encoderrad bei Verwendung eines 12 Bit ADC [8]

## D.2. Erhöhen der Abtastfrequenz

### D.2.1. Verwendung der 1. Berechnungsmöglichkeit

In diesem Abschnitt befinden sich die Ergebnisse des in Abschnitt 9.5 beschriebenen Versuchs.

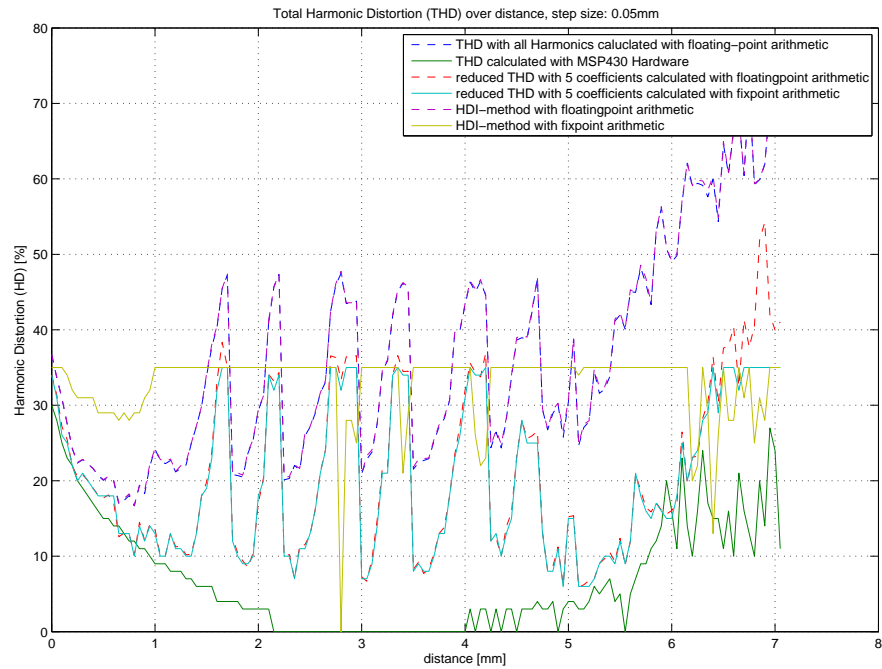
**Verwendung eines 3 Bit Analog-Digital-Umsetzers**

Abbildung D.33.: Klirrfaktor in Abhängigkeit von der Entfernung zwischen Sensor und Encoderrad unter Berücksichtigung von 64 Samples pro Periode [8]

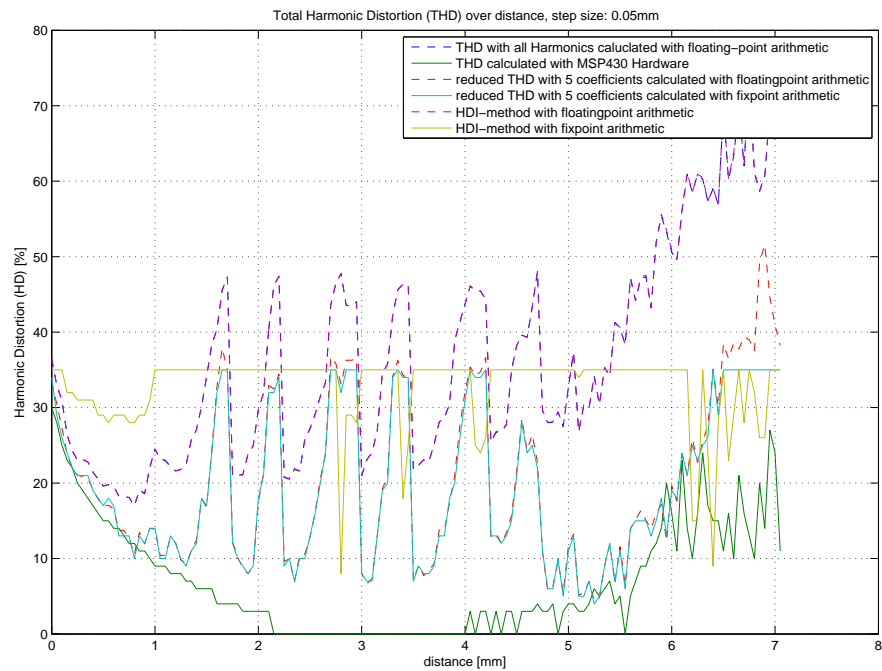


Abbildung D.34.: Klirrfaktor in Abhängigkeit von der Entfernung zwischen Sensor und Encoderrad unter Berücksichtigung von 128 Samples pro Periode [8]

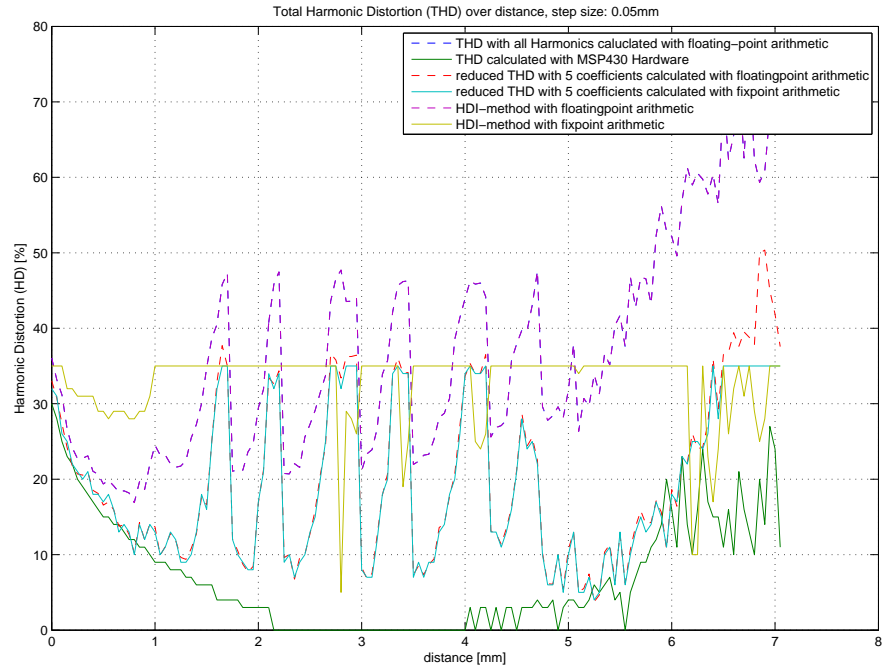


Abbildung D.35.: Klirrfaktor in Abhängigkeit von der Entfernung zwischen Sensor und Encoderrad unter Berücksichtigung von 256 Samples pro Periode [8]

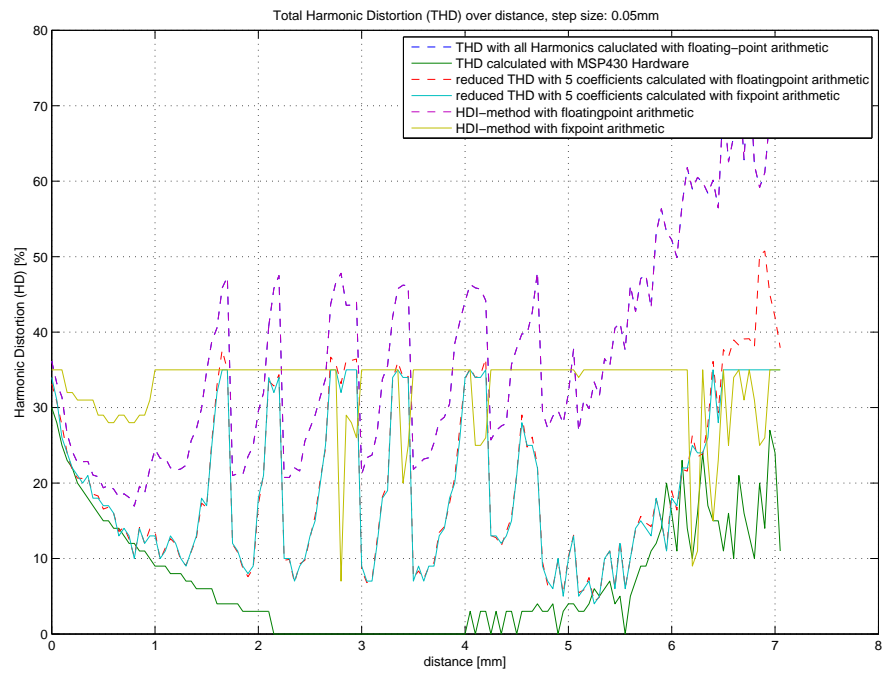


Abbildung D.36.: Klirrfaktor in Abhängigkeit von der Entfernung zwischen Sensor und Encoderrad unter Berücksichtigung von 512 Samples pro Periode [8]



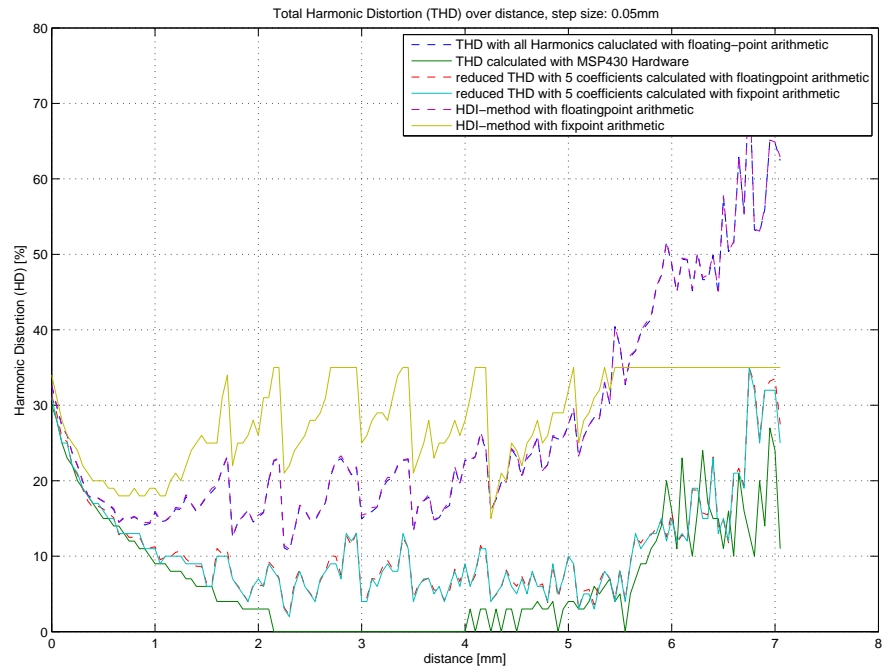
**Verwendung eines 4 Bit Analog-Digital-Umsetzers**

Abbildung D.37.: Klirrfaktor in Abhängigkeit von der Entfernung zwischen Sensor und Encoderrad unter Berücksichtigung von 64 Samples pro Periode [8]

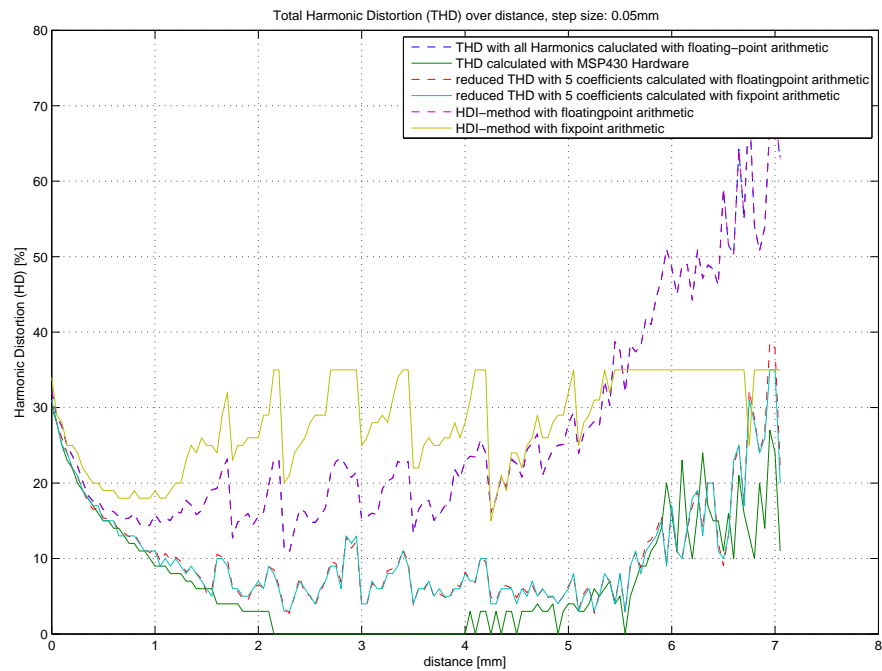


Abbildung D.38.: Klirrfaktor in Abhängigkeit von der Entfernung zwischen Sensor und Encoderrad unter Berücksichtigung von 128 Samples pro Periode [8]

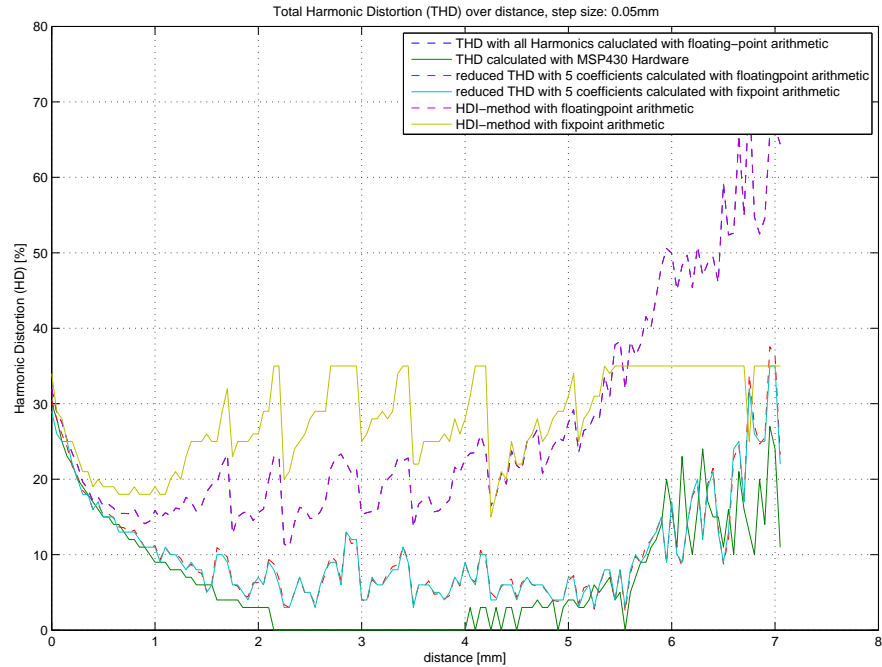


Abbildung D.39.: Klirrfaktor in Abhängigkeit von der Entfernung zwischen Sensor und Encoderrad unter Berücksichtigung von 256 Samples pro Periode [8]

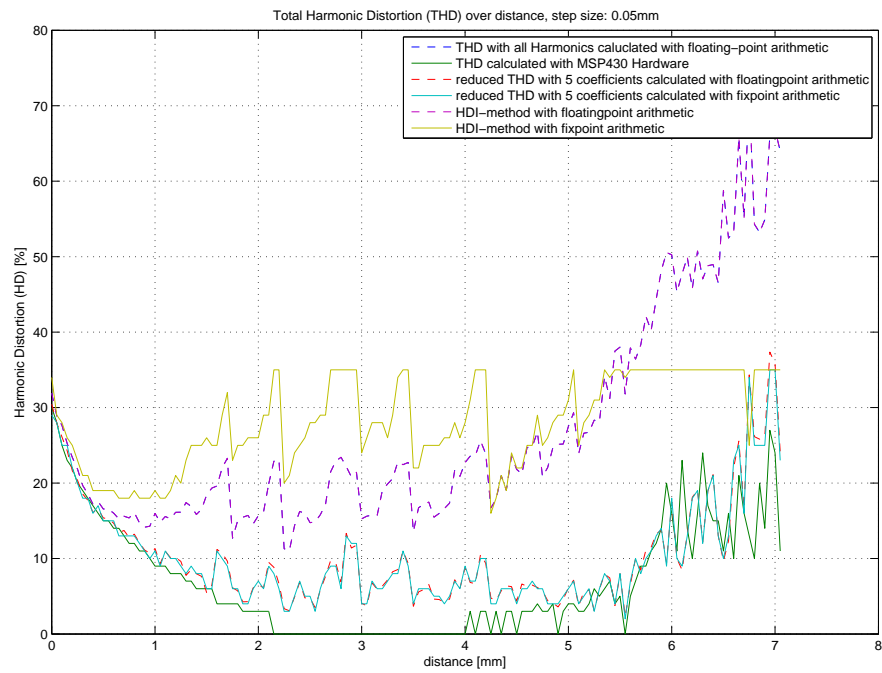


Abbildung D.40.: Klirrfaktor in Abhängigkeit von der Entfernung zwischen Sensor und Encoderrad unter Berücksichtigung von 512 Samples pro Periode [8]

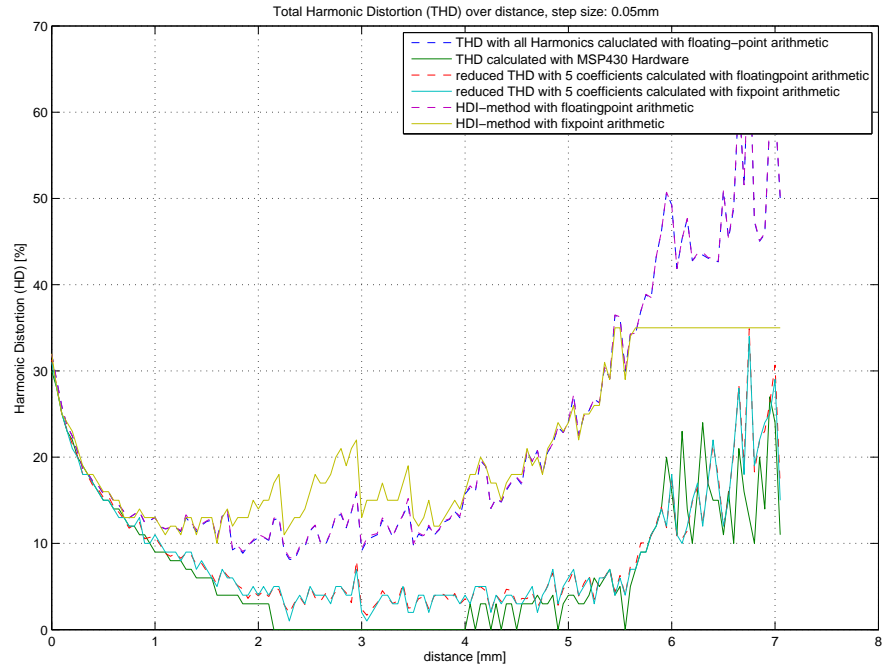
**Verwendung eines 5 Bit Analog-Digital-Umsetzers**

Abbildung D.41.: Klirrfaktor in Abhängigkeit von der Entfernung zwischen Sensor und Encoderrad unter Berücksichtigung von 64 Samples pro Periode [8]

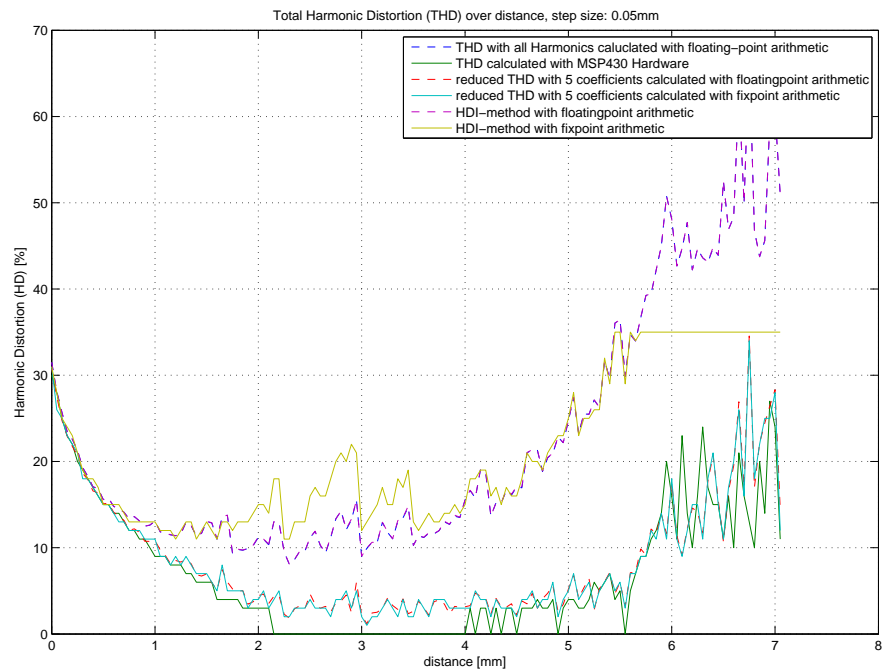


Abbildung D.42.: Klirrfaktor in Abhängigkeit von der Entfernung zwischen Sensor und Encoderrad unter Berücksichtigung von 128 Samples pro Periode [8]

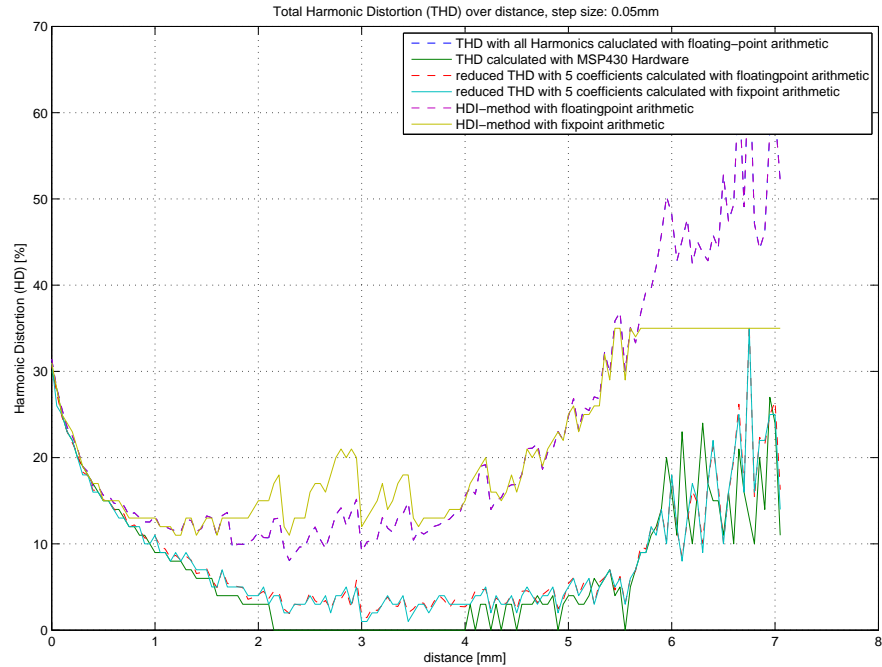


Abbildung D.43.: Klirrfaktor in Abhängigkeit von der Entfernung zwischen Sensor und Encoderrad unter Berücksichtigung von 256 Samples pro Periode [8]

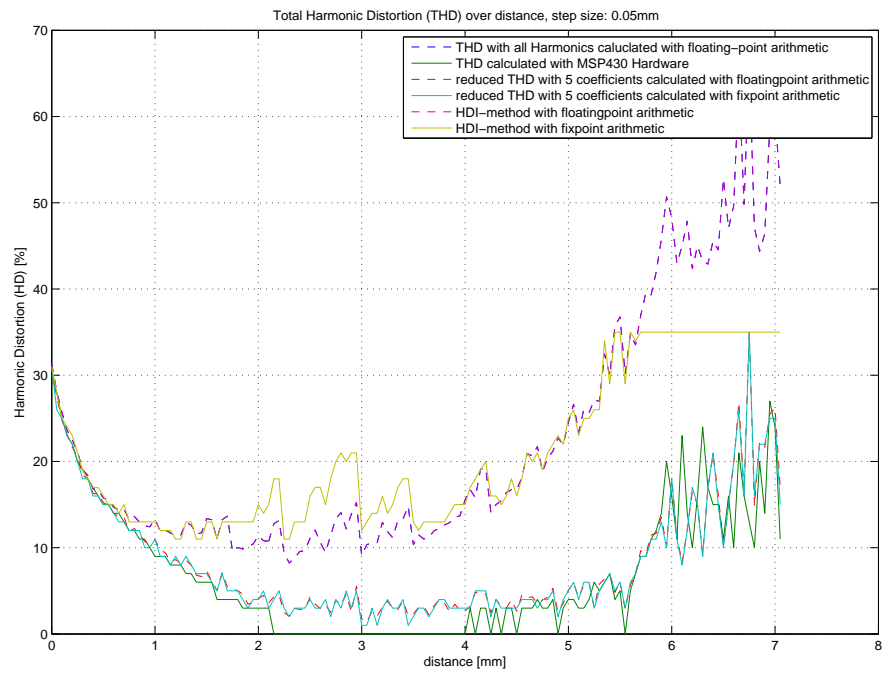


Abbildung D.44.: Klirrfaktor in Abhängigkeit von der Entfernung zwischen Sensor und Encoderrad unter Berücksichtigung von 512 Samples pro Periode [8]

### Verwendung eines 6 Bit Analog-Digital-Umsetzers

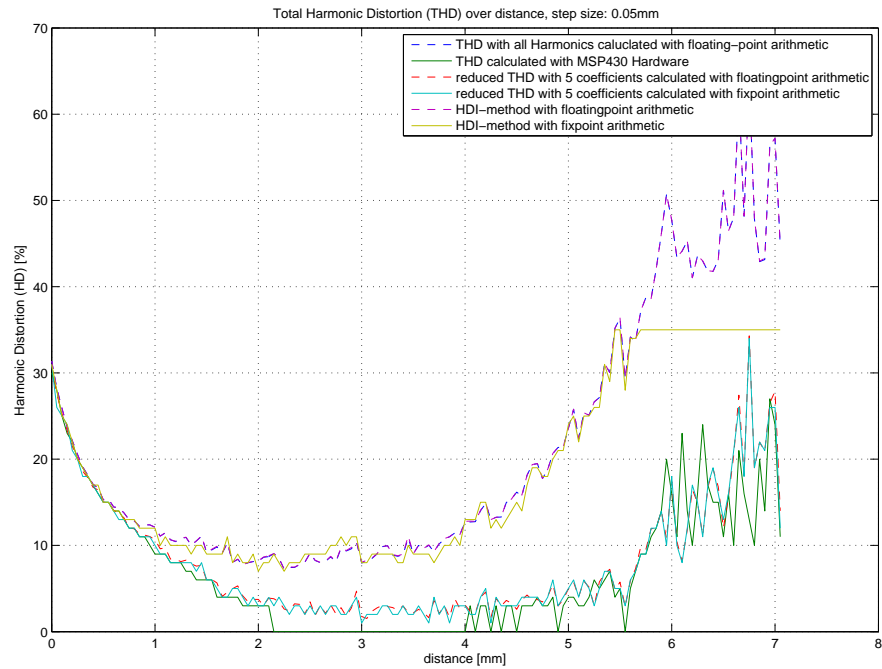


Abbildung D.45.: Klirrfaktor in Abhängigkeit von der Entfernung zwischen Sensor und Encoderrad unter Berücksichtigung von 64 Samples pro Periode [8]

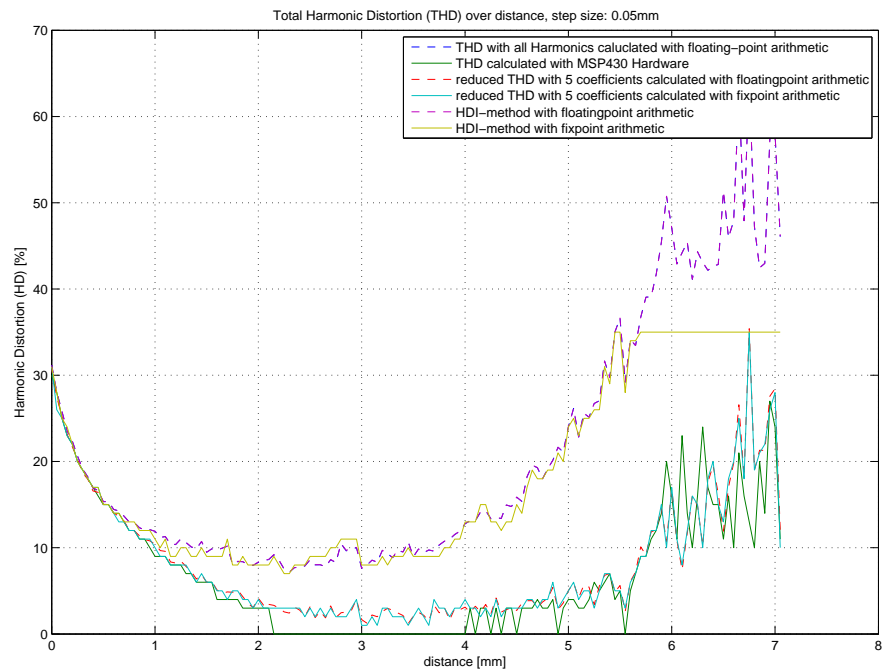


Abbildung D.46.: Klirrfaktor in Abhängigkeit von der Entfernung zwischen Sensor und Encoderrad unter Berücksichtigung von 128 Samples pro Periode [8]

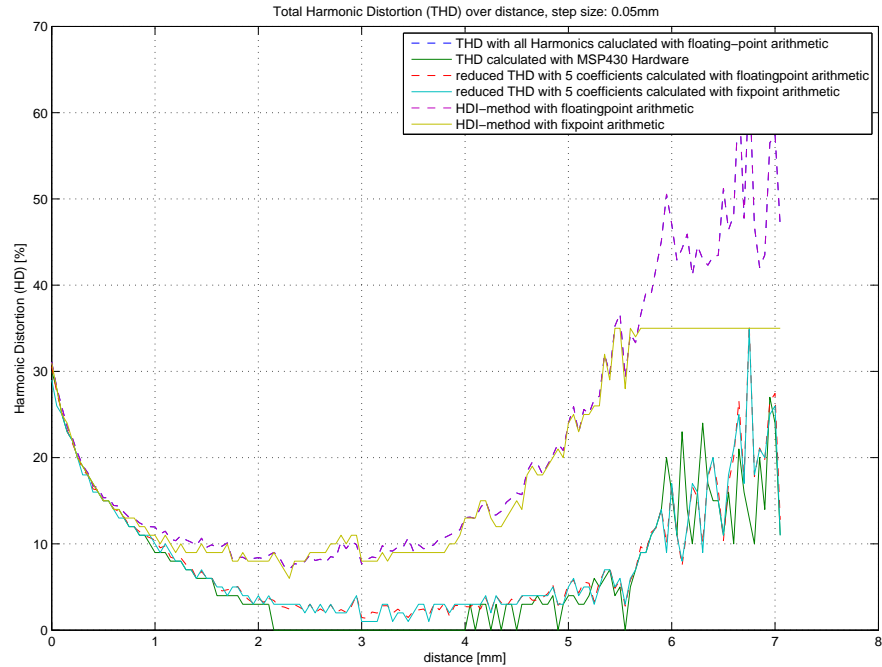


Abbildung D.47.: Klirrfaktor in Abhängigkeit von der Entfernung zwischen Sensor und Encoderrad unter Berücksichtigung von 256 Samples pro Periode [8]



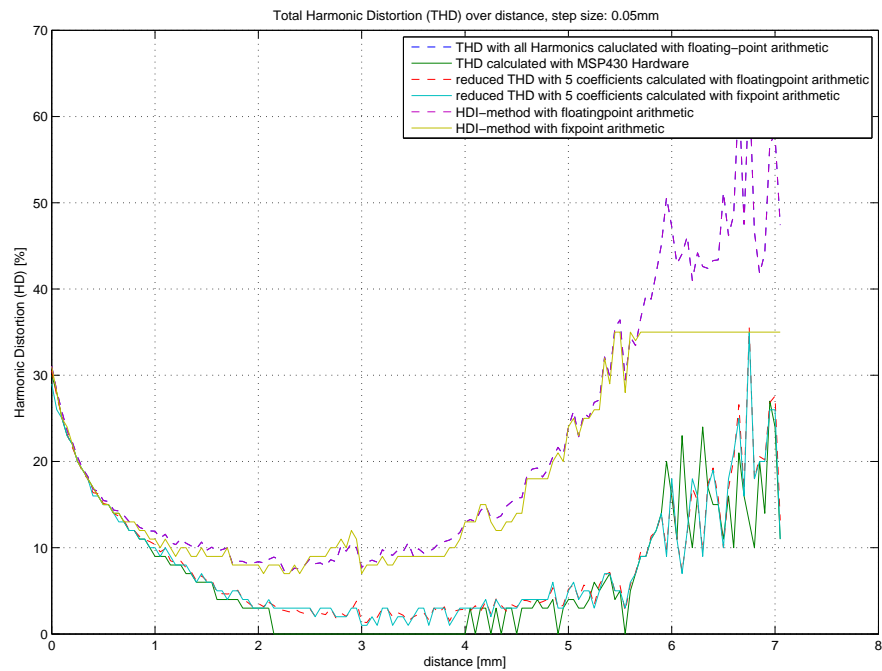


Abbildung D.48.: Klirrfaktor in Abhängigkeit von der Entfernung zwischen Sensor und Encoderrad unter Berücksichtigung von 512 Samples pro Periode [8]

### D.2.2. Verwendung der 2. Berechnungsmöglichkeit

In diesem Abschnitt befinden sich die Ergebnisse des in Abschnitt 9.5 beschriebenen Versuchs.

### Verwendung eines 3 Bit Analog-Digital-Umsetzers

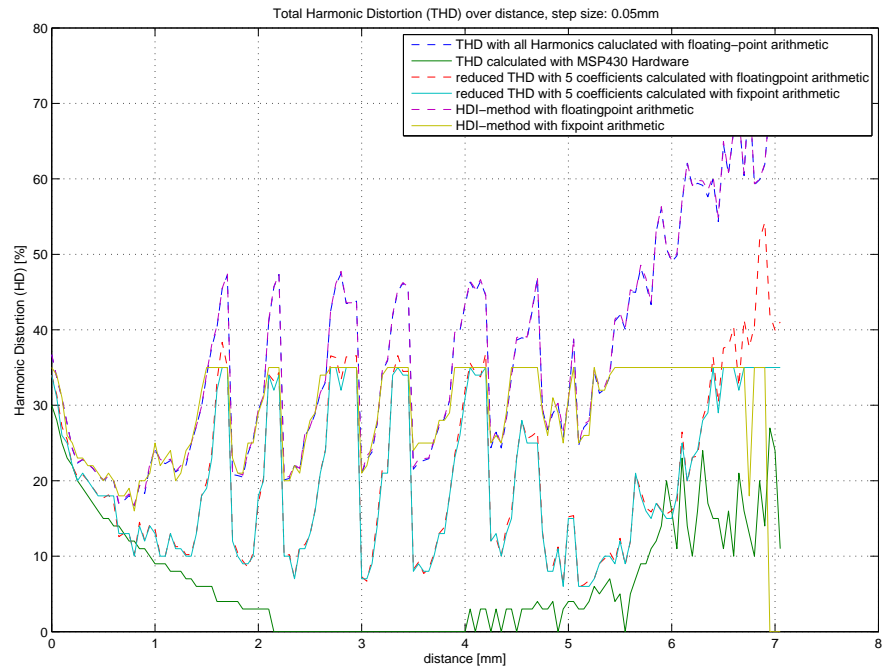


Abbildung D.49.: Klirrfaktor in Abhängigkeit von der Entfernung zwischen Sensor und Encoderrad unter Berücksichtigung von 64 Samples pro Periode [8]

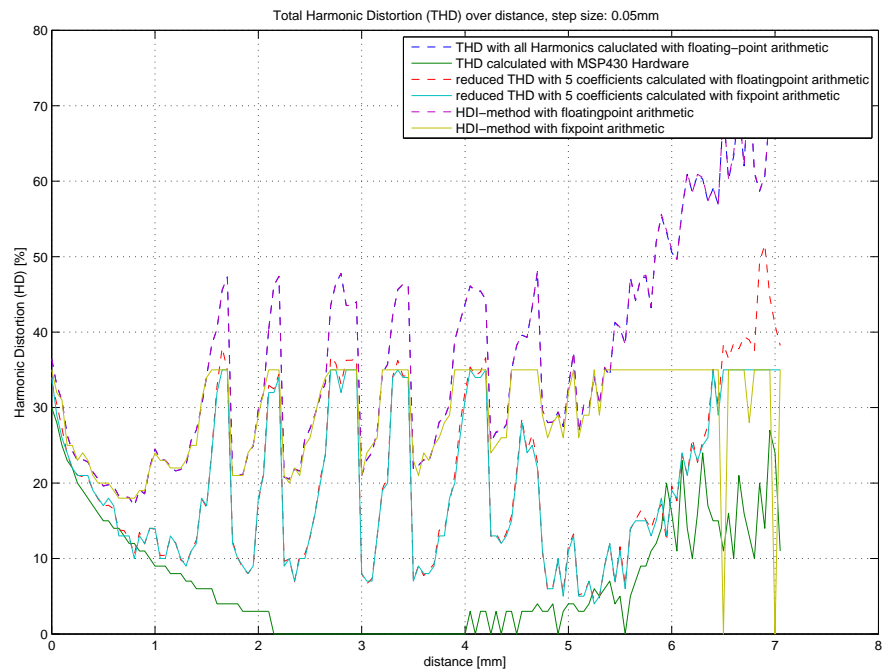


Abbildung D.50.: Klirrfaktor in Abhängigkeit von der Entfernung zwischen Sensor und Encoderrad unter Berücksichtigung von 128 Samples pro Periode [8]

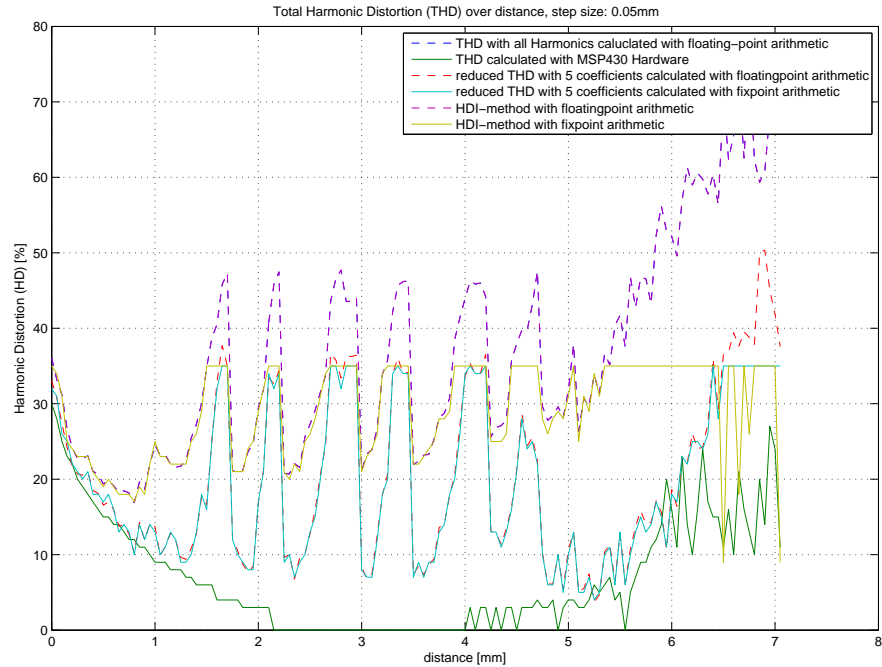


Abbildung D.51.: Klirrfaktor in Abhängigkeit von der Entfernung zwischen Sensor und Encoderrad unter Berücksichtigung von 256 Samples pro Periode [8]

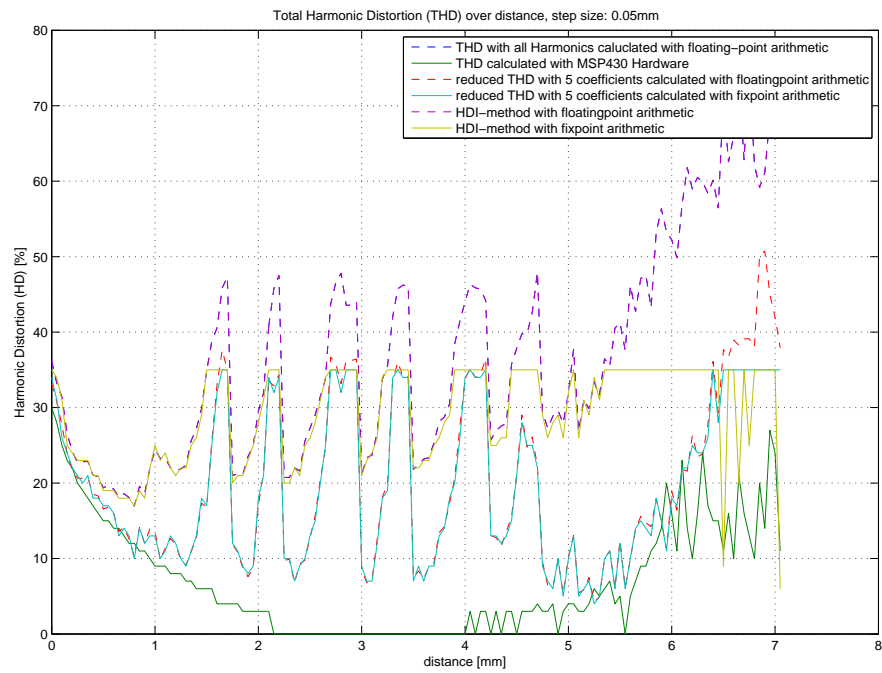


Abbildung D.52.: Klirrfaktor in Abhängigkeit von der Entfernung zwischen Sensor und Encoderrad unter Berücksichtigung von 512 Samples pro Periode [8]

### Verwendung eines 4 Bit Analog-Digital-Umsetzers

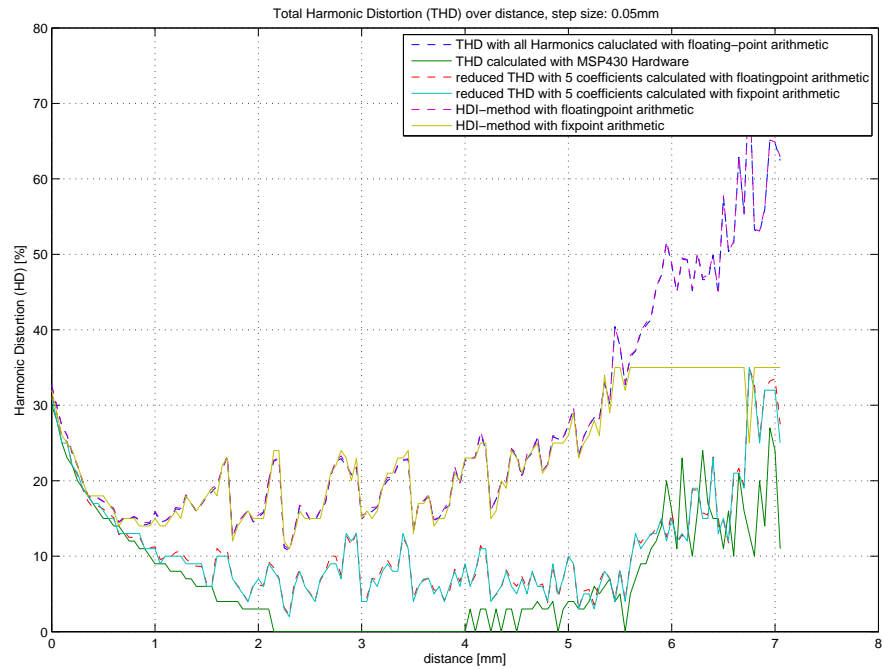


Abbildung D.53.: Klirrfaktor in Abhängigkeit von der Entfernung zwischen Sensor und Encoderrad unter Berücksichtigung von 64 Samples pro Periode [8]

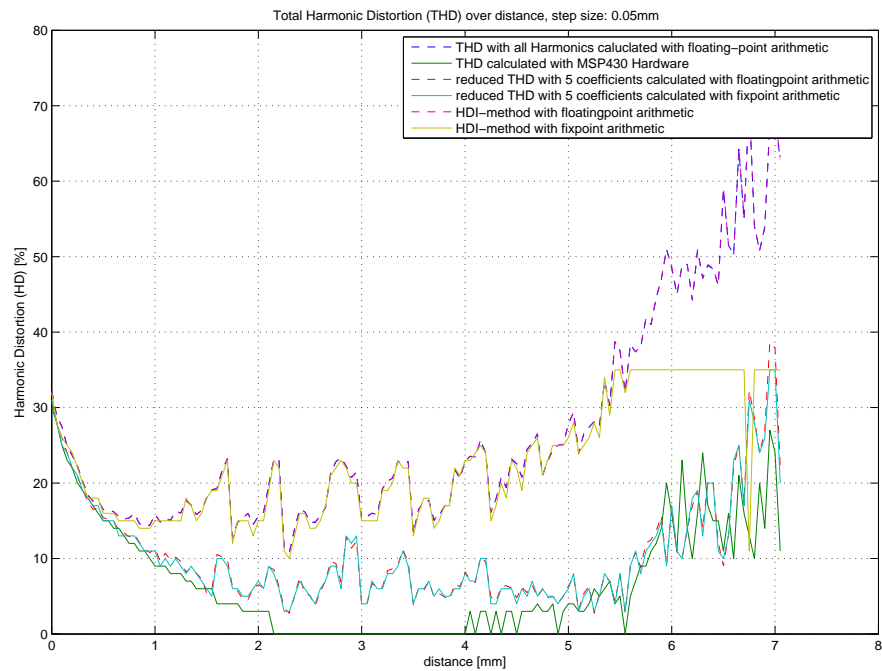


Abbildung D.54.: Klirrfaktor in Abhängigkeit von der Entfernung zwischen Sensor und Encoderrad unter Berücksichtigung von 128 Samples pro Periode [8]

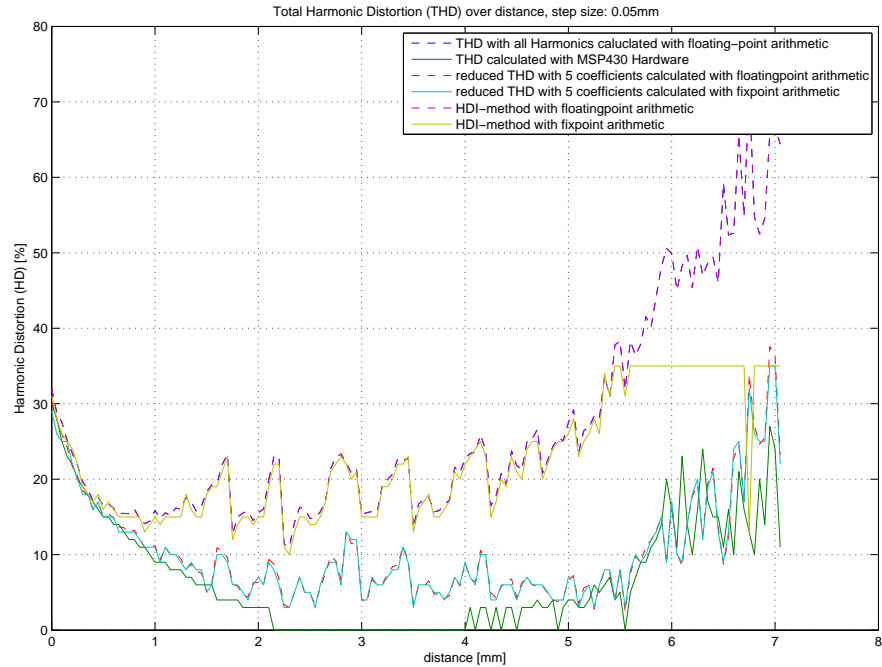


Abbildung D.55.: Klirrfaktor in Abhängigkeit von der Entfernung zwischen Sensor und Encoderrad unter Berücksichtigung von 256 Samples pro Periode [8]

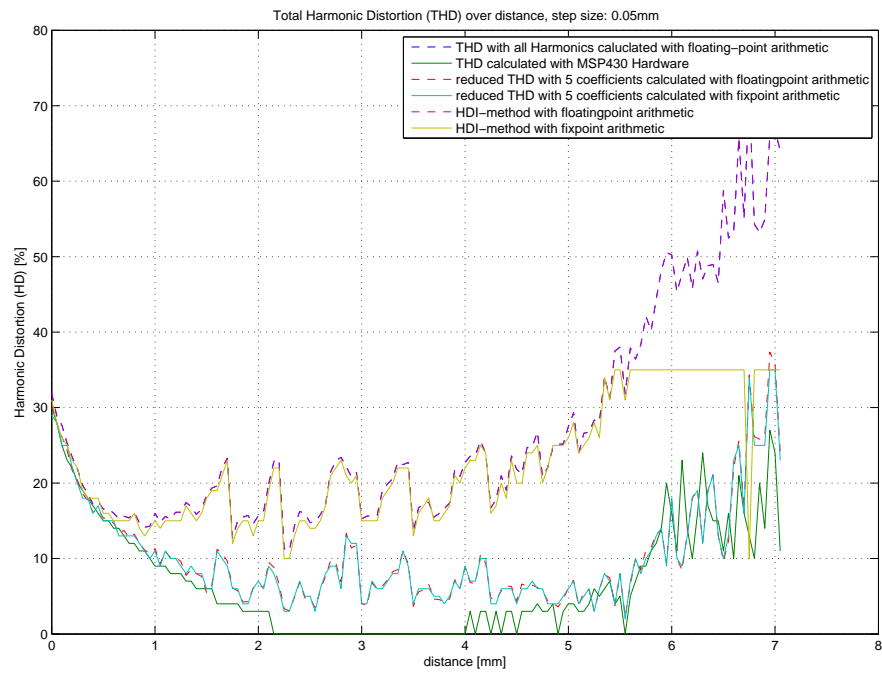


Abbildung D.56.: Klirrfaktor in Abhängigkeit von der Entfernung zwischen Sensor und Encoderrad unter Berücksichtigung von 512 Samples pro Periode [8]

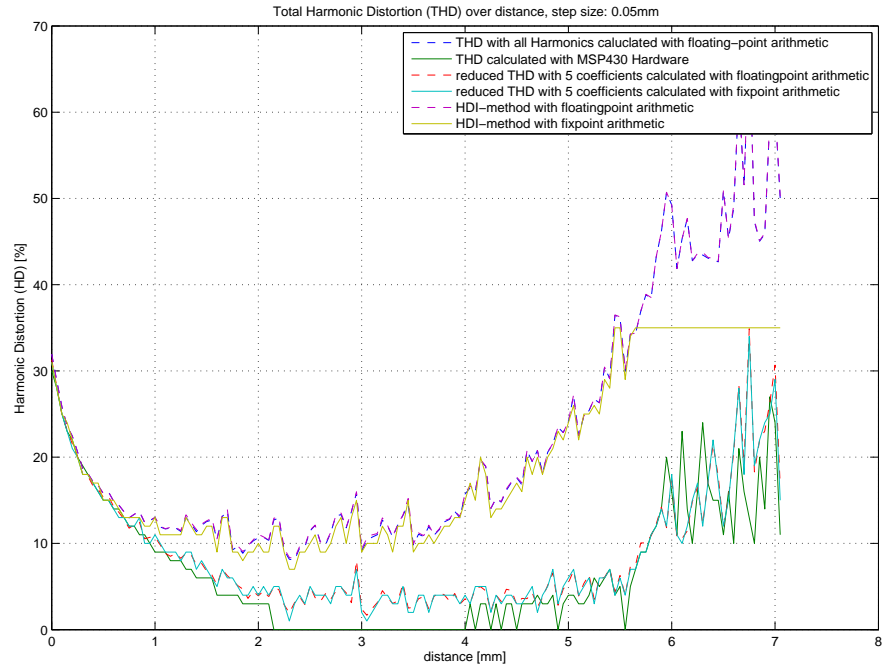
**Verwendung eines 5 Bit Analog-Digital-Umsetzers**

Abbildung D.57.: Klirrfaktor in Abhängigkeit von der Entfernung zwischen Sensor und Encoderrad unter Berücksichtigung von 64 Samples pro Periode [8]



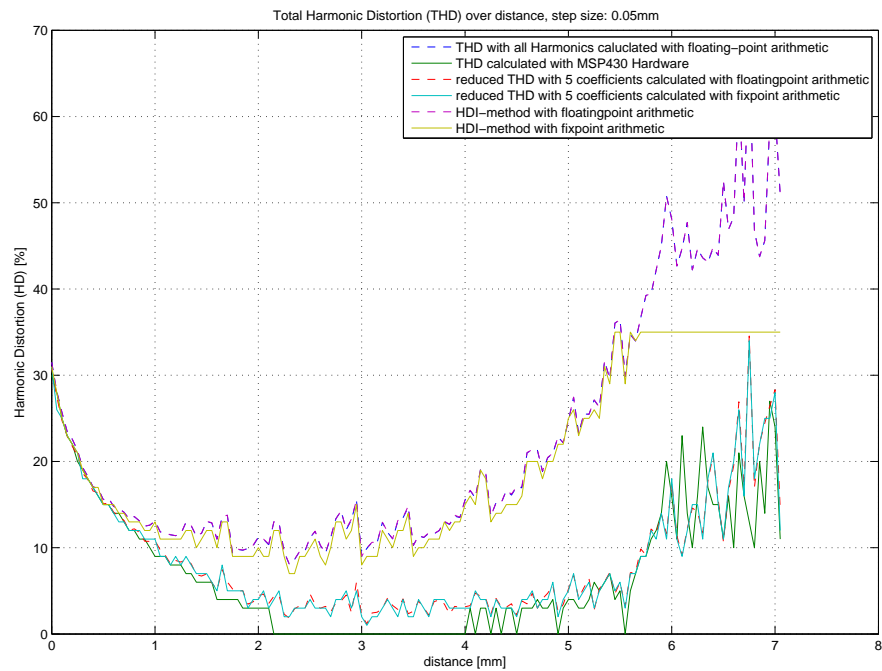


Abbildung D.58.: Klirrfaktor in Abhängigkeit von der Entfernung zwischen Sensor und Encoderrad unter Berücksichtigung von 128 Samples pro Periode [8]

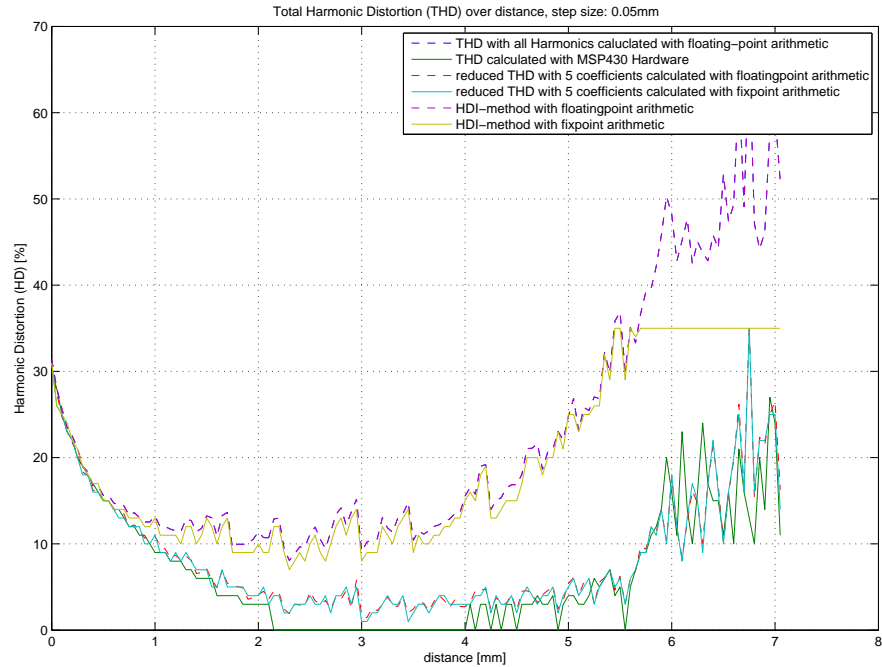


Abbildung D.59.: Klirrfaktor in Abhängigkeit von der Entfernung zwischen Sensor und Encoderrad unter Berücksichtigung von 256 Samples pro Periode [8]

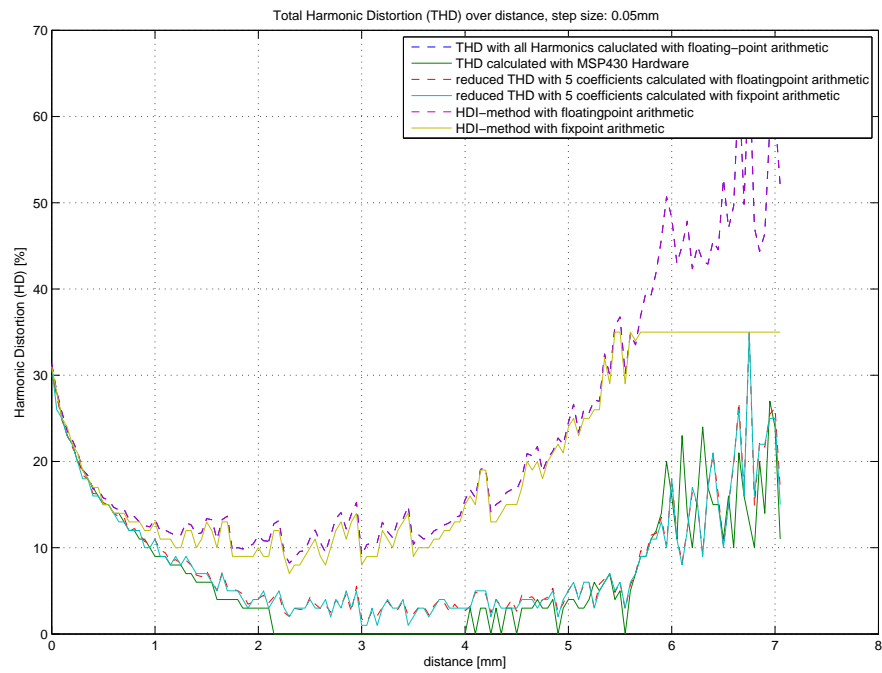


Abbildung D.60.: Klirrfaktor in Abhängigkeit von der Entfernung zwischen Sensor und Encoderrad unter Berücksichtigung von 512 Samples pro Periode [8]

### Verwendung eines 6 Bit Analog-Digital-Umsetzers

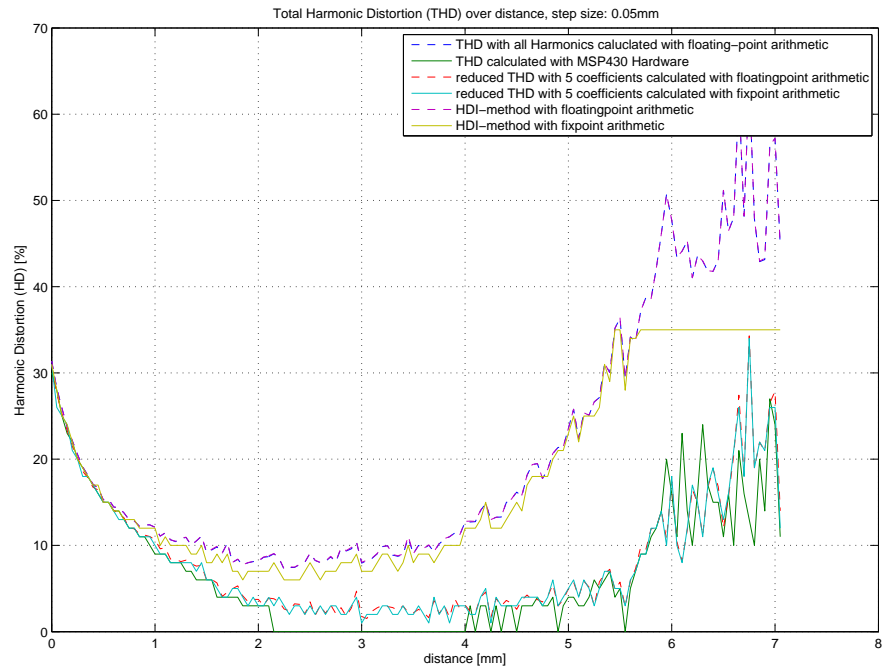


Abbildung D.61.: Klirrfaktor in Abhängigkeit von der Entfernung zwischen Sensor und Encoderrad unter Berücksichtigung von 64 Samples pro Periode [8]

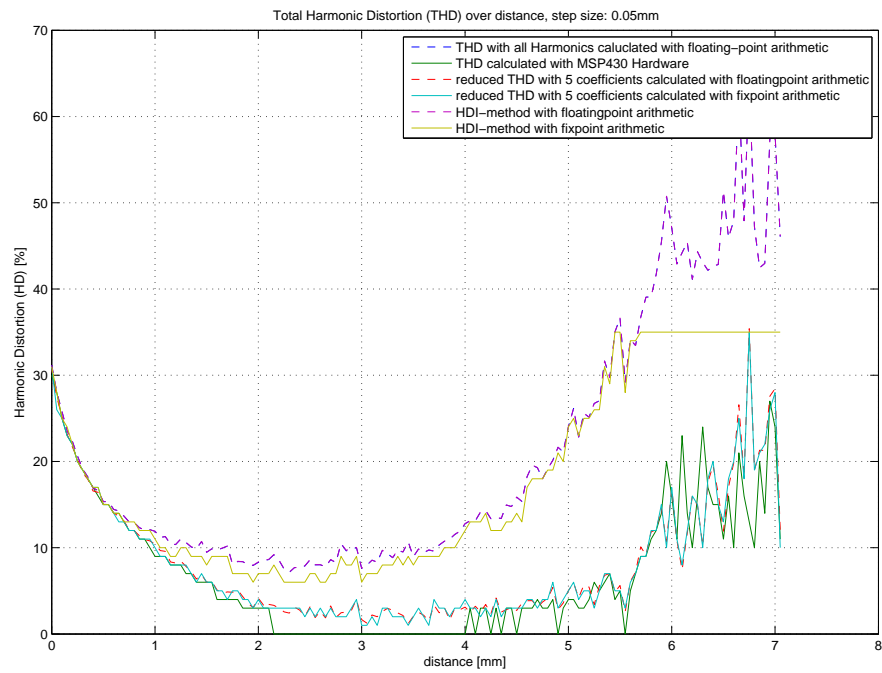


Abbildung D.62.: Klirrfaktor in Abhängigkeit von der Entfernung zwischen Sensor und Encoderrad unter Berücksichtigung von 128 Samples pro Periode [8]

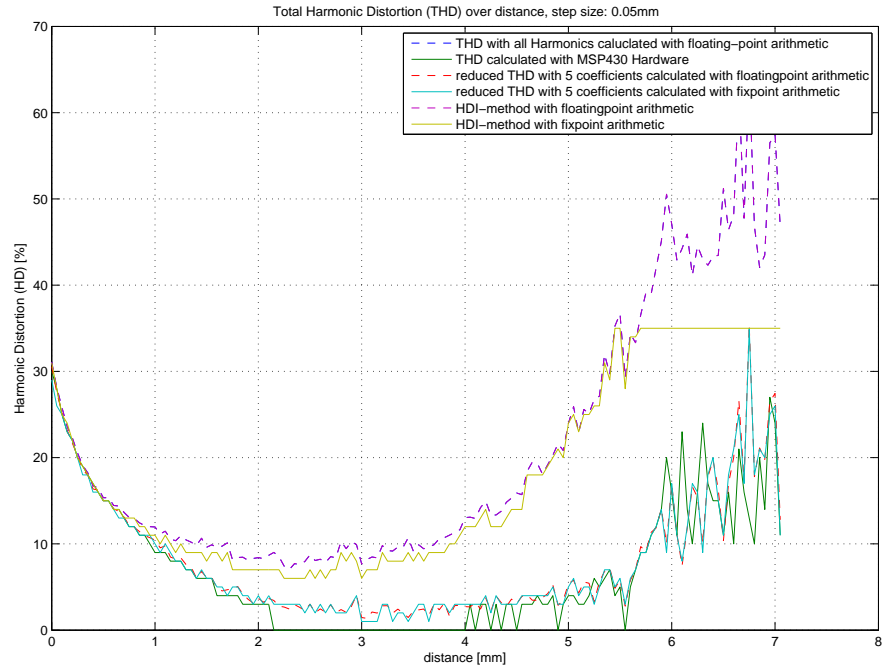


Abbildung D.63.: Klirrfaktor in Abhängigkeit von der Entfernung zwischen Sensor und Encoderrad unter Berücksichtigung von 256 Samples pro Periode [8]

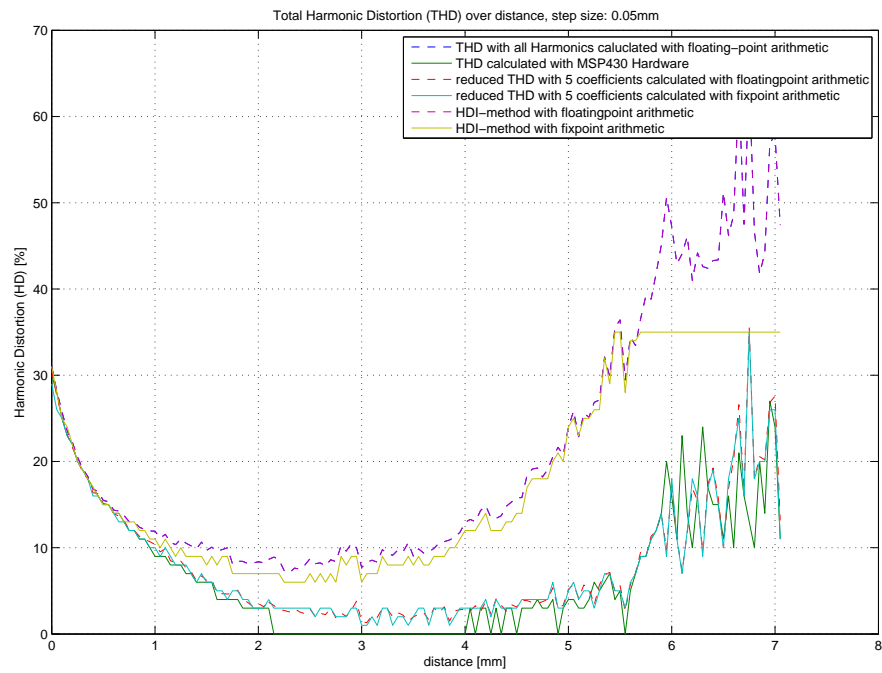


Abbildung D.64.: Klirrfaktor in Abhängigkeit von der Entfernung zwischen Sensor und Encoderrad unter Berücksichtigung von 512 Samples pro Periode [8]

# E. Signalanalyse des Unrundlaufs des Encoderrades

## E.1. keine Beseitigung des Unrundlaufs

Für die Plots ist hier die Messreihe 2009\_10\_07\_rmp\_01 verwendet worden

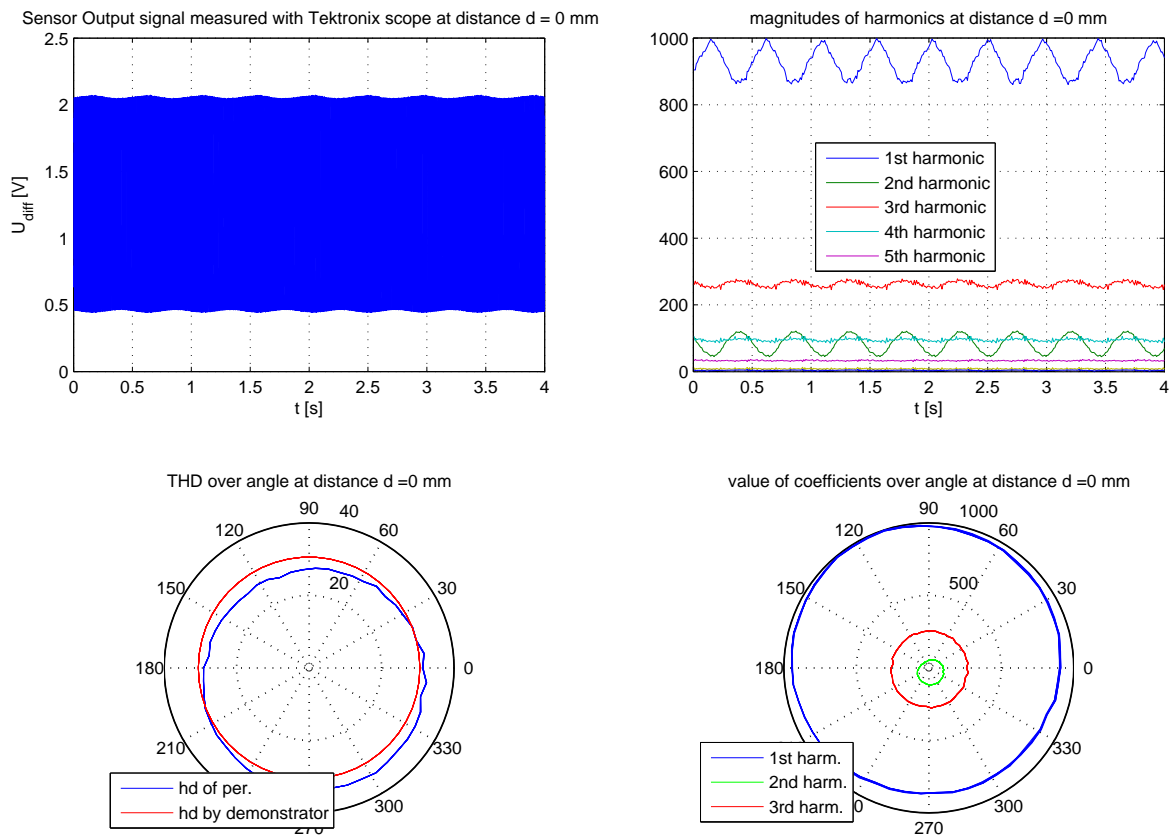


Abbildung E.1.: Ergebnis der Fouriertransformation jeder einzelnen Schwingung bei sehr kleiner Entfernung zum Sensor [8]

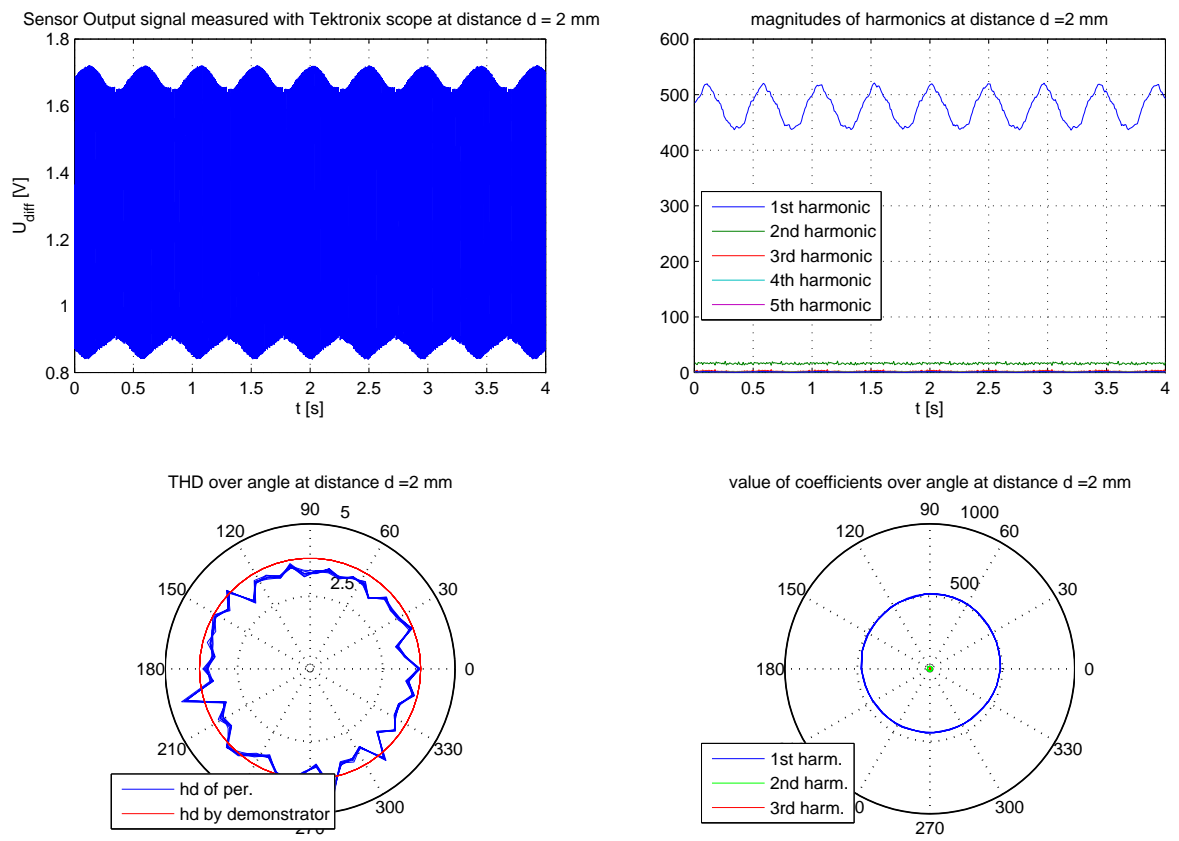


Abbildung E.2.: Ergebnis der Fouriertransformation jeder einzelnen Schwingung bei einer Entfernung zum Sensor von 2mm [8]

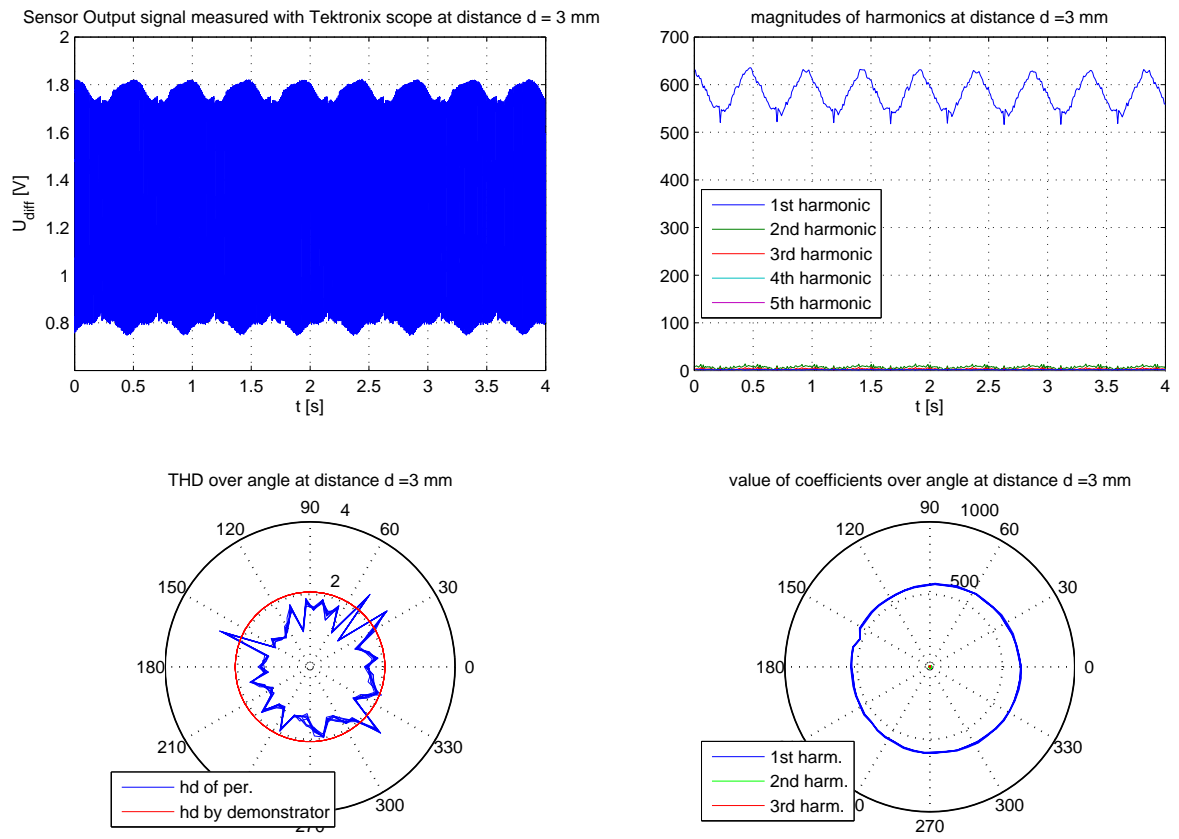


Abbildung E.3.: Ergebnis der Fouriertransformation jeder einzelnen Schwingung bei einer Entfernung zum Sensor von 3mm [8]



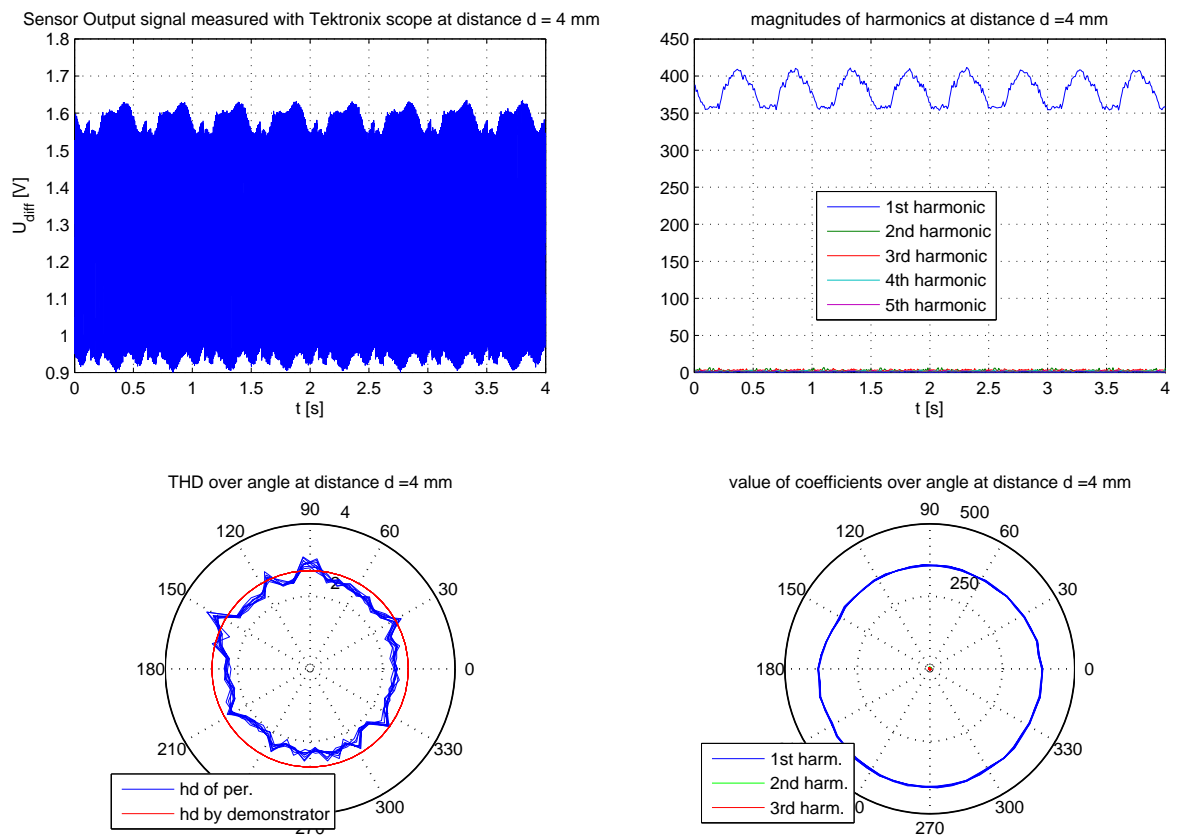


Abbildung E.4.: Ergebnis der Fouriertransformation jeder einzelnen Schwingung bei seiner Entfernung zum Sensor von 4mm

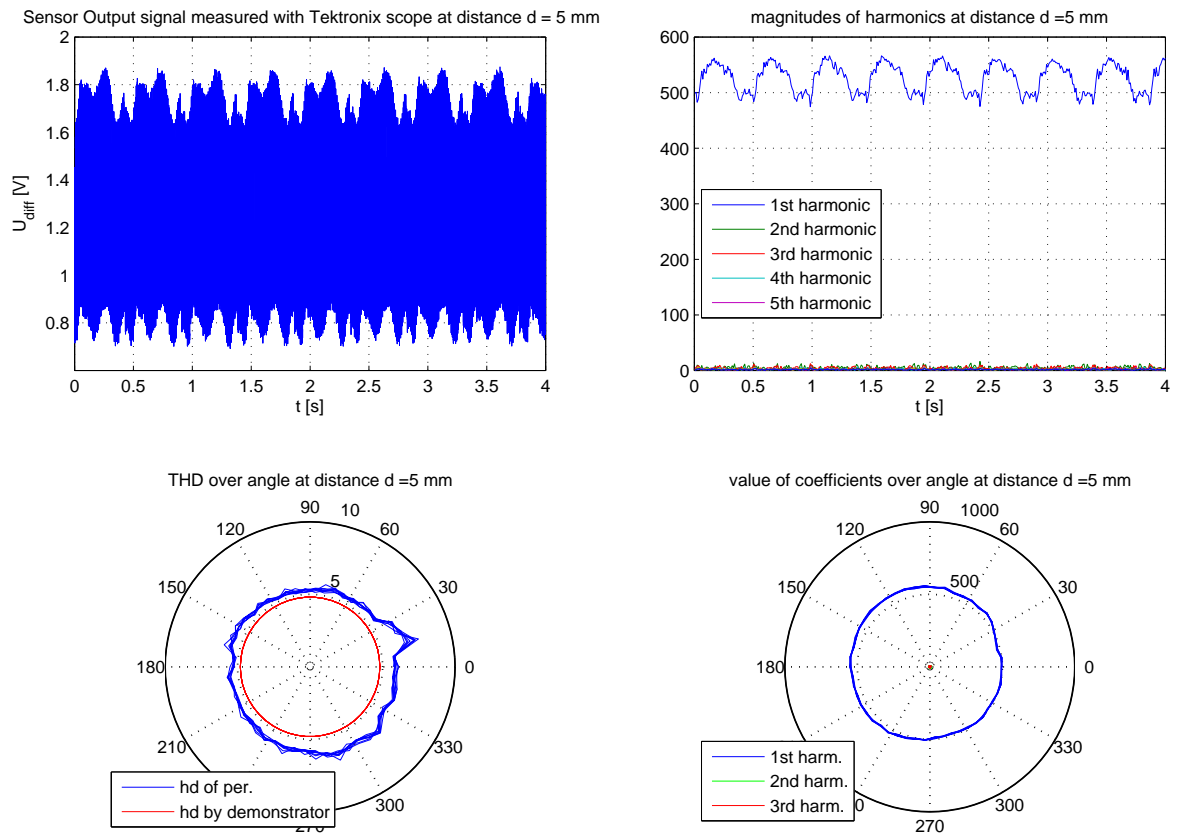


Abbildung E.5.: Ergebnis der Fouriertransformation jeder einzelnen Schwingung bei seiner Entfernung zum Sensor von 5mm [8]

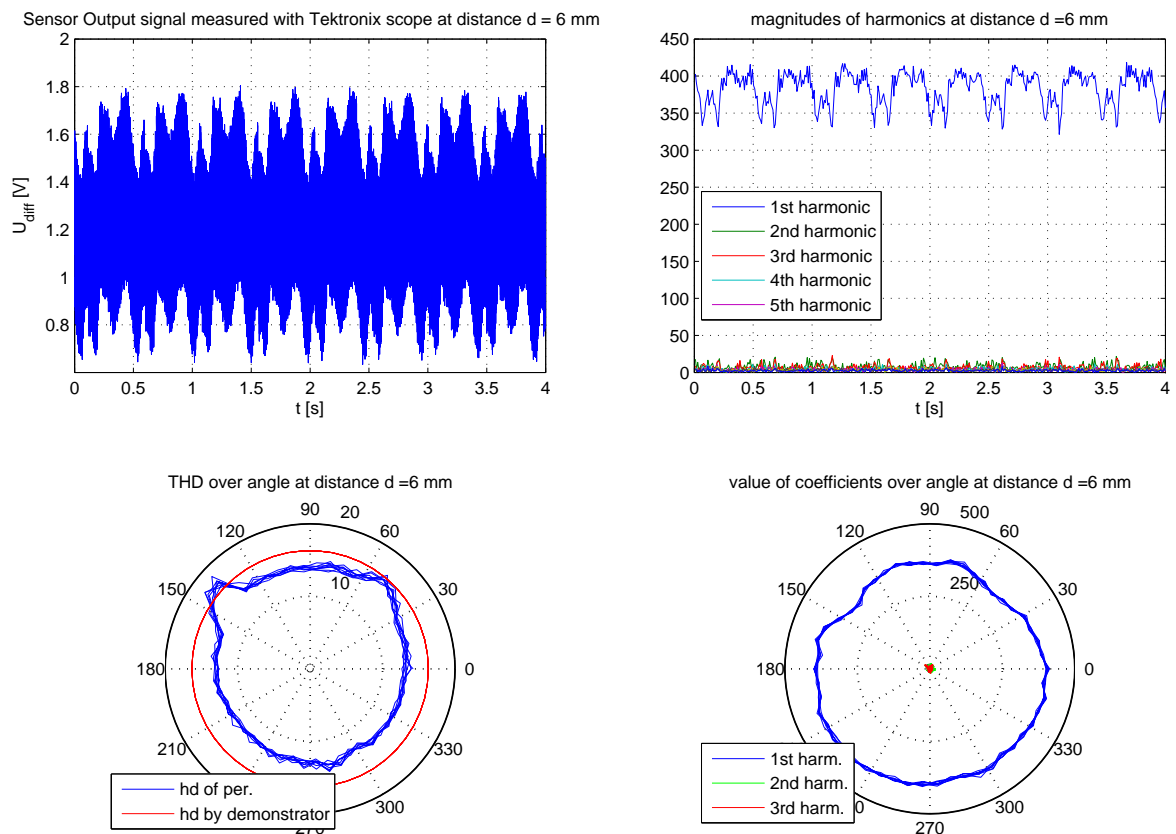


Abbildung E.6.: Ergebnis der Fouriertransformation jeder einzelnen Schwingung bei seiner Entfernung zum Sensor von 6mm [8]

## E.2. Beseitigung des Unrundlaufs

Für die Plots ist hier die Messreihe 2010\_02\_10\_rmp\_03 verwendet worden.

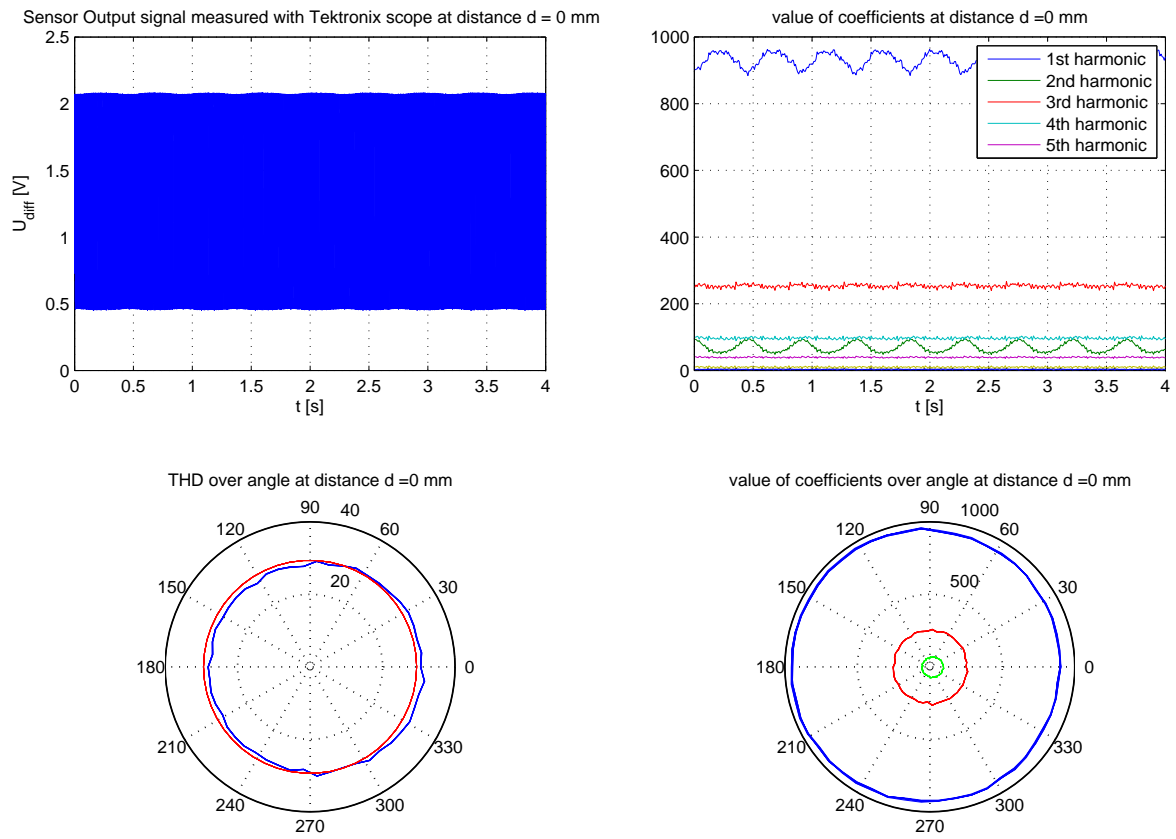


Abbildung E.7.: Ergebnis der Fouriertransformation jeder einzelnen Schwingung bei sehr kleiner Entfernung zum Sensor [8]

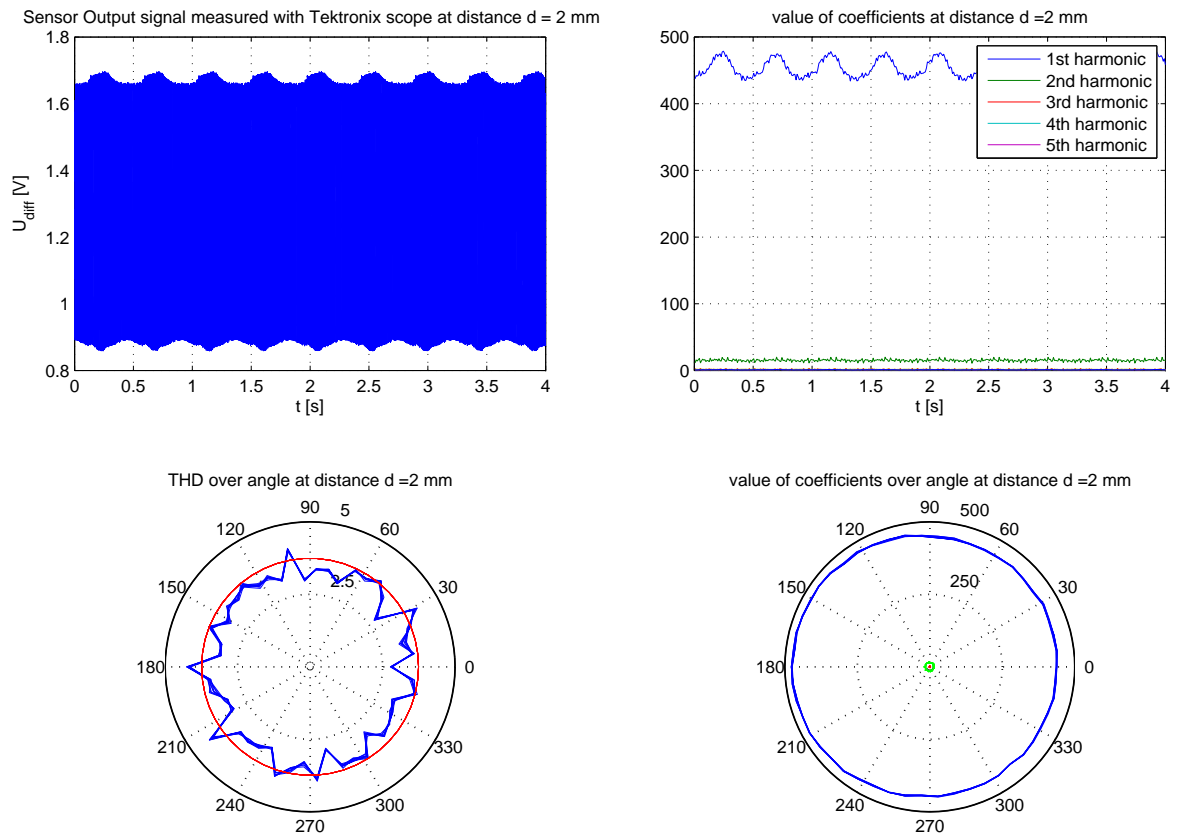


Abbildung E.8.: Ergebnis der Fouriertransformation jeder einzelnen Schwingung bei einer Entfernung zum Sensor von 2mm [8]

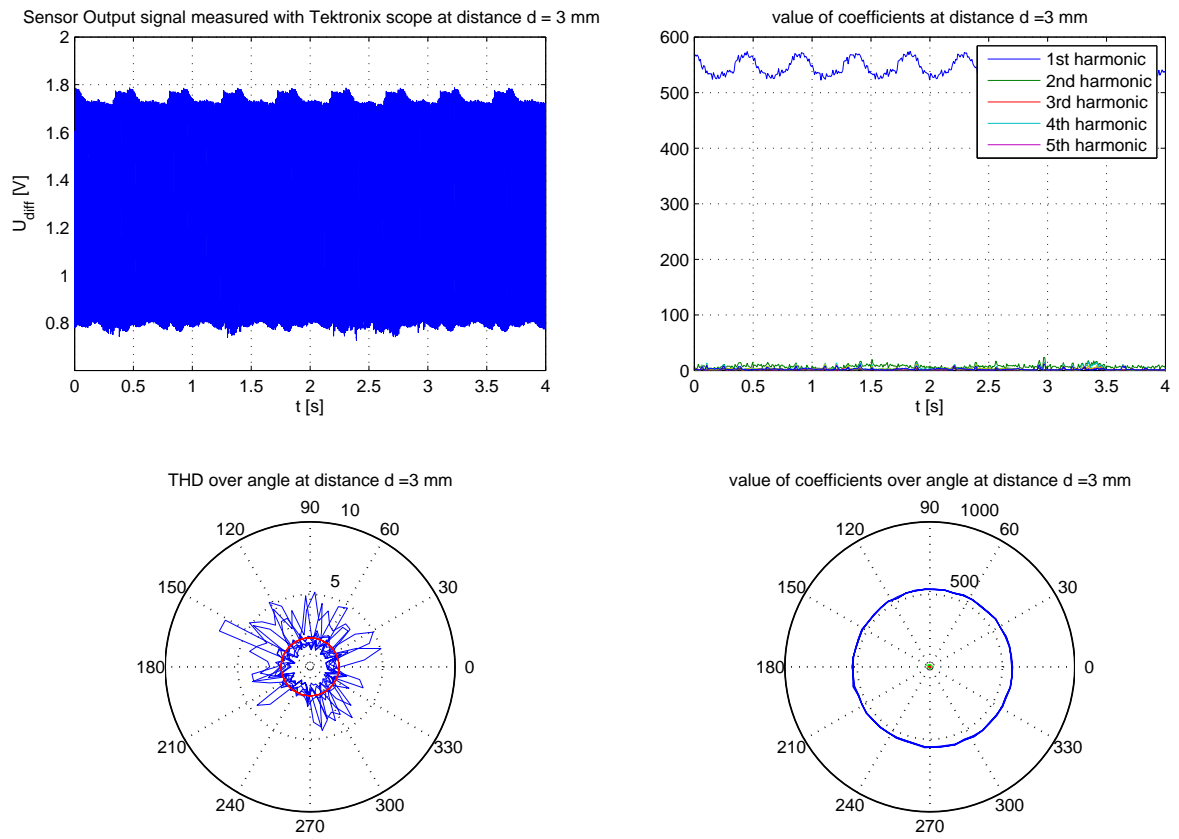


Abbildung E.9.: Ergebnis der Fouriertransformation jeder einzelnen Schwingung bei einer Entfernung zum Sensor von 3mm [8]

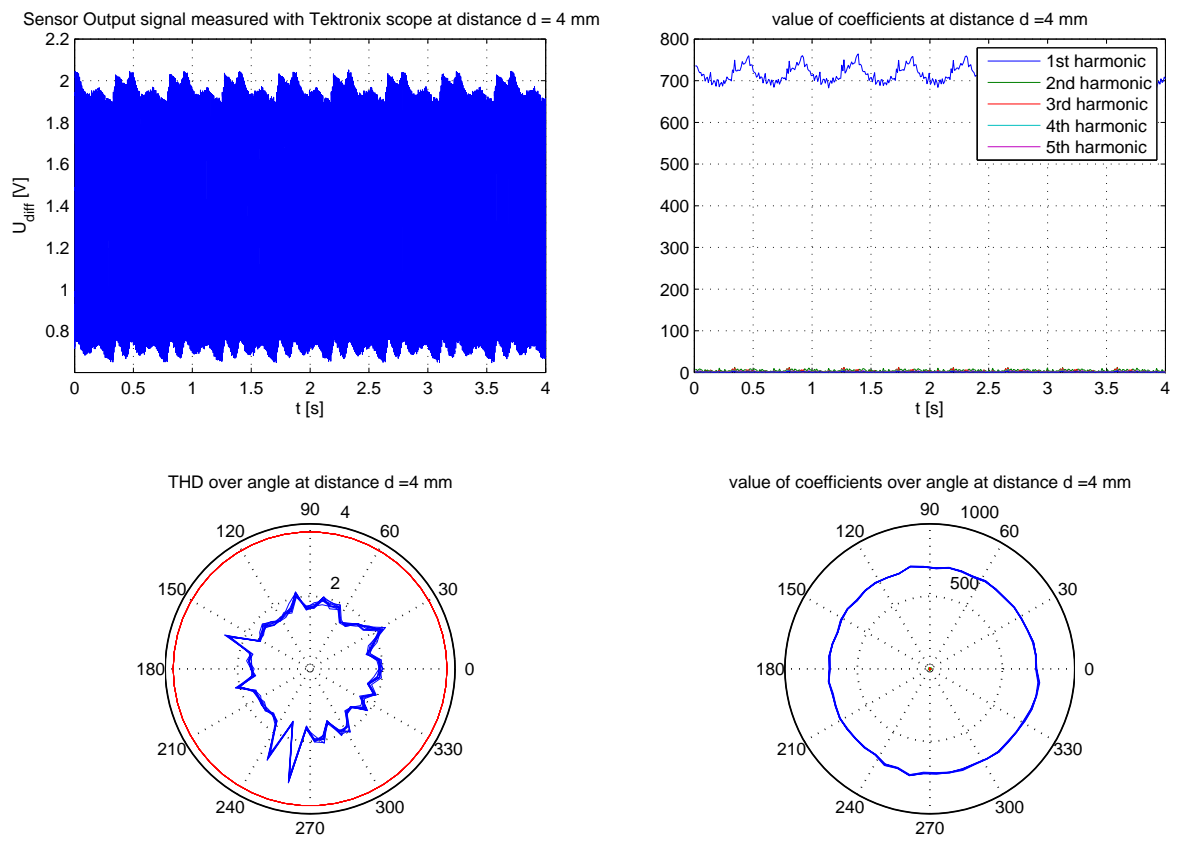


Abbildung E.10.: Ergebnis der Fouriertransformation jeder einzelnen Schwingung bei einer Entfernung zum Sensor von 4mm [8]

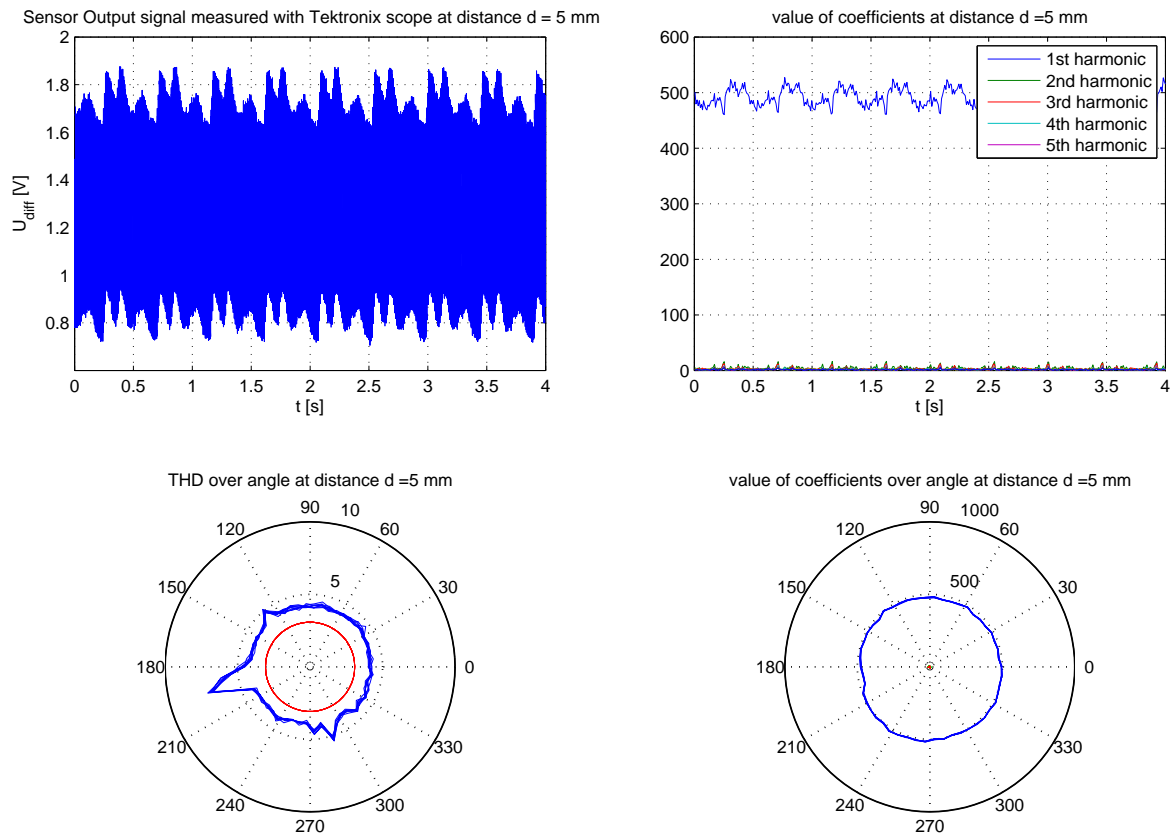


Abbildung E.11.: Ergebnis der Fouriertransformation jeder einzelnen Schwingung bei einer Entfernung zum Sensor von 5mm [8]



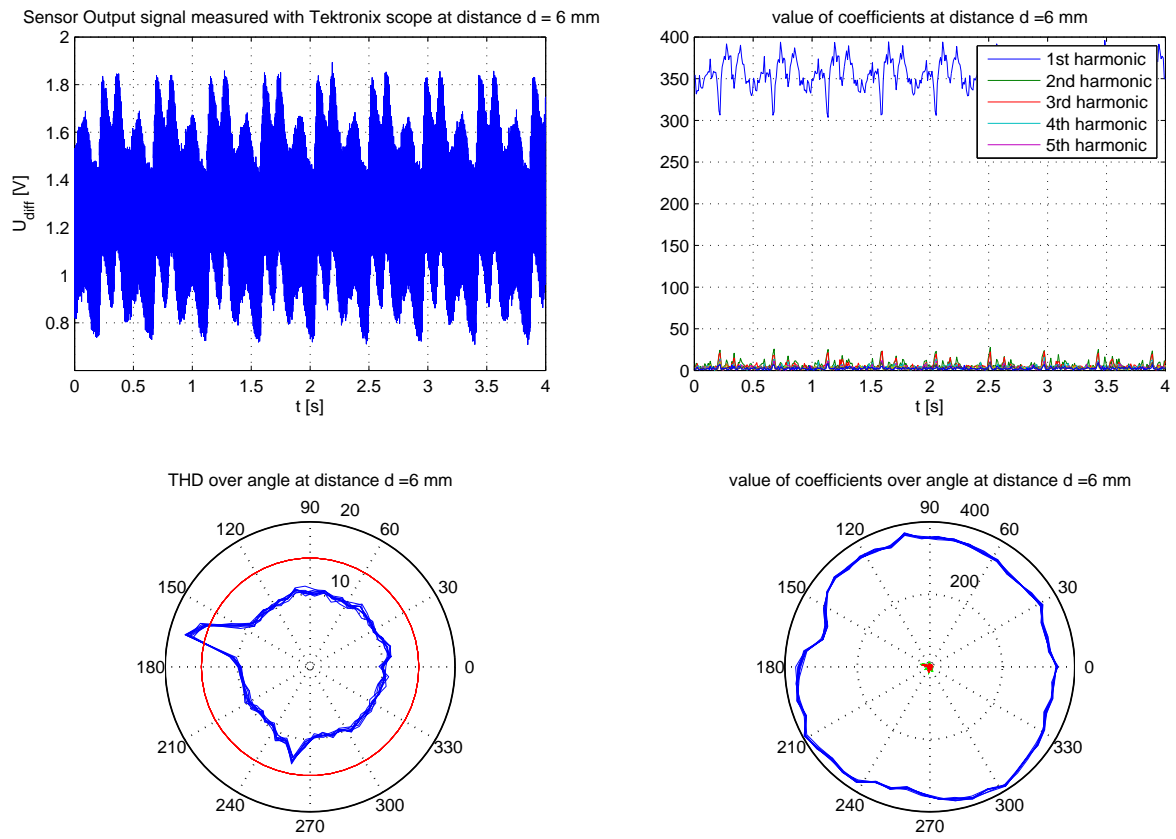


Abbildung E.12.: Ergebnis der Fouriertransformation jeder einzelnen Schwingung bei einer Entfernung zum Sensor von 6mm [8]

# F. Quellcode

## F.1. Matlab Quellcodes

### F.1.1. Programme

#### prepare\_measurements

Listing F.1:

```
1 %%%%%%%%%%%%%%%%%%%%%%%%%%%%%%%%%%%%%%%%%%%%%%%%%%%%%%%%%%%%%%%%%%%%%%%%%%
2 % Funktionen:
3 % Berechnet aus den Daten des Radmessplatzes eine angegebene Anzahl von
4 % Koeffizienten aus Scopedaten und Daten vom Radmessplatz
5 %
6 % Erstellung einer neuen Datenstruktur (Dokumentation in Diplomarbeit)
7 %
8 % Version 1.1
9 %
10 %
11 % Datei:          prepare_measurements.m
12 %
13 % erstellt von: Lennart Koch
14 % erstellt am: 08.01.2010
15 %
16 % Änderungen:
17 %
18 %%%%%%%%%%%%%%%%%%%%%%%%%%%%%%%%%%%%%%%%%%%%%%%%%%%%%%%%%%%%%%%%%%%%%%%%%%
19
20
21 %Arbeitsplatz bereinigen
22 clear all;
23 close all;
24 clc;
25
26 %% Vezeichnis mit Messdaten auswählen
27
28 DirName = uigetdir(pwd, 'Choose_directory_with_data-files');
29 cd(DirName);
30 list_of_files = ls('*.*.rmp.mat');
31 number_of_files = size(list_of_files, 1);
32
33 load(list_of_files(1,:)); % Erstes Datenpaket laden
34
35 %% Umgebungsvariablen festlegen und auswerten
36
37 stepsize = parameters.stepsize; % Schrittweite in mm
38 startpoint = parameters.startpoint; % Anfangspunkt in mm
39 endpoint = parameters.endpoint; % Endpunkt in mm
40 fs = parameters.samplerate; % sampling frequenz von Scope
41
42 %Vektor mit den Entfernungen aller Messpunkte erzeugen
43 distance = startpoint : stepsize : endpoint;
44
45 % Anzahl der Messpunkte ermitteln
46 LM = length(distance); %Länge der Messreihe
47
48 if isempty(measure_demo) || isempty(measure_scope)
49     error('In_erstem_Datenpaket_muss_mindestens_eine_Messung_enthalten_sein');
50 else
51     %Anzahl der Samples Signalvektor des Radmessplatzes bestimmen
52     L = length(measure_demo(1,1).u_diff);
```

```

53  end
54
55
56  % Eingabe der Anzahl der berücksichtigten Perioden für Scopedaten
57  % und Eingabe der berücksichtigten Koeffizienten
58
59  N = input('Bitte Anzahl der Koeffizienten mit denen Signal approximiert werden soll ,_eingeben:_');
60  while ( N > L/2 -2)
61      N = input('Fehler bei der Eingabe !! Bitte Anzahl der Koeffizienten erneut eingeben:_');
62  end
63
64  periodes = input('Bitte Anzahl der Perioden ,_über die FFT berechnet werden soll ,_eingeben:_');
65  while ( periodes > 100) %für mehr Perioden wird die Datenstruktur zu groß
66      N = input('Fehler bei der Eingabe !! Bitte Anzahl der Koeffizienten erneut eingeben:_');
67  end
68
69  % Filter für Referenzsignal berechnen
70  [n,Wn] = cheb2ord([0.1 1]/125,[0.03 10]/125,3,40);
71  [b,a] = cheby2(n,40,Wn);
72  freqz(b,a,512,250);
73
74
75  %% Datenstrukturen erstellen
76
77  data(1,LM) = struct('measure_rmp', {0}..., % Daten Radmessplatz
78                  'measure_scope', {0}..., % Daten Scope
79                  'N', {N}..., % Anzahl der berücksichtigten Koeffizienten
80                  'gain', {1}..., % Verstärkungsfaktor des Hardware Vorverstärkers
81                  'shift_factor', {1}..., % Id(gain) Schiebefaktor in Bit
82                  'distance', {1}..., % Entfernung Encoderrad zum Sensor
83                  'periodes', {periodes}... % Anzahl der berücksichtigten Perioden
84                  );
85
86  for measure = 1:LM
87
88      data(1,measure).measure_rmp = ...
89          struct('u_diff', {0}..., % gemessenes Differenzsignal
90              'coefficients', {0}..., % Fourier Koeffizienten
91              'P_harm', {0}..., % Leistung der berücksichtigten Harmonischen
92              'P_ob', {0}..., % Leistung der nicht berücksichtigten Harm.
93              'hd_lut', {0}..., % THD berechnet mit MSP Hardware
94              'mag', {0}... % Beträge der harmonischen (MSP Hardware)
95              );
96
97      data(1,measure).measure_scope = ...
98          struct('u_diff',{0}..., % gemessenes Differenzsignal(Ausschnitt)
99              'coefficients',{0}..., % Fourier Koeffizienten
100              'P_harm',{0}..., % Leistung der berücksichtigten Harmonischen
101              'P_ob', {0}..., % Leistung der nicht berücksichtigten Harm.
102              'periodes',{periodes}...% Anzahl der berücksichtigten Perioden
103              );
104  end
105
106  %Eingelesene Daten entfernen, da erneut 1. Teil der Messreihe geladen wird
107  clear measure_scope
108  clear measure_demo
109  clear parameters
110
111
112  %% Messdaten verarbeiten
113
114  k = 1; % Zähler für aktuelle Messung Radmessplatz
115  l = 1; % Zähler für aktuelle Messung Scope
116
117
118  for i=1:number_of_files % Dateien durchlaufen
119
120      disp(['loading_' list_of_files(i,:)]);
121      load(list_of_files(i,:)); % jeweilige Datei laden
122      disp('prepare_rmp_data_for_simulation');
123      % Verarbeitung Daten Radmessplatz und der ersten Ebene in Datenstruktur
124
125      for j=1:length(measure_demo)
126          % Anzahl der Harmonischen im Signal
127          data(1,k).N = N;
128          % Verstärkung Vorverstärker
129          data(1,k).gain = measure_demo(j).gain;
130          data(1,k).shift_factor = log2(measure_demo(j).gain);
131          %Entfernung Ecoderrad Sensor
132          data(1,k).distance = measure_demo(j).distance;
133
134          % Differenzsignal in neue Datenstruktur übernehmen
135          data(1,k).measure_rmp.u_diff = measure_demo(j).u_diff;
136          data(1,k).measure_rmp.mag = measure_demo(j).mag(:,1) / measure_demo(j).gain;
137          data(1,k).measure_rmp.hd_lut = measure_demo(j).hd_lut;

```

```

138
139 % Wert der Samples ausrechnen (Umrechnung Jegenhorst)
140 Samples = round(measure_demo(j).u_diff .* (2^12/2.5));
141
142 % Spektrum des Signals errechnen
143 S_sample = fft(Samples);
144
145 if L == 128 %In u_diff sind zwei Perioden enthalten
146     data(1,k).measure_rmp.periodes = 2;
147
148     % Fourierkoeffizienten abspeichern
149     data(1,k).measure_rmp.coefficients = S_sample(1:2*N+1);
150
151     % Leistung der berücksichtigten Schwingungen (Verwendung 2 Variante)
152     data(1,1).measure_rmp.P_harm = 2 * 2.5/((L - 1) * 2^12) * ...
153         (sum(abs(S_sample(2:2 * N+1)).^2));
154
155     % Leistung nicht berücksichtigte Schwingungen (Verwendung 2 Variante)
156     data(1,1).measure_rmp.P_ob = 2 * 2.5/((L - 1) * 2^12) * ...
157         sum(abs(S_sample(2* N+ 2: fix(L/2)-2)).^2);
158 elseif L == 64 %In u_diff ist eine Periode enthalten
159
160     data(1,k).measure_rmp.periodes = 1;
161
162     % Fourierkoeffizienten abspeichern
163     data(1,k).measure_rmp.coefficients = S_sample(1:N+1);
164
165     % Leistung der berücksichtigten Schwingungen (Verwendung 2 Variante)
166     data(1,1).measure_rmp.P_harm = 2 * 2.5/(L * 2^12) * ...
167         (sum(abs(S_sample(2:N+1)).^2));
168
169     % Leistung nicht berücksichtigte Schwingungen (Verwendung 2 Variante)
170     data(1,1).measure_rmp.P_ob = 2 * 2.5/(L * 2^12) * ...
171         sum(abs(S_sample(N+ 2: fix(L/2)-2)).^2);
172 end
173
174
175
176 k = k + 1;
177 clear('Samples');
178 end
179
180
181 % Verarbeitung Daten Oszilloskop
182 disp('prepare_scope_data_for_simulation');
183 for j=1:length(measure_scope)
184     % Messdaten laden
185     c1 = measure_scope(j).u_diff_y'; % Differenzsignal Channel 1
186
187     cf1 = filter(b,a,c1); % Eingangssignal filtern
188     ref=cf1-mean(cf1);
189
190     % Gleichanteil von Signal abziehen
191     clw = c1 - mean(c1);
192
193     % Referenzsignal (Ausgang externer Sensor laden)
194     ref_sig = ref - mean(ref);
195
196     % Zähler zu 0 setzen
197     counter = 0;
198
199     % Nulldurchgänge Referenzsignal erkennen
200     for n=1:(length(ref_sig)-1)
201         if (sign(ref_sig(n)) ~= sign(ref_sig(n+1))); %wenn Nulldurchgang
202             counter = counter+1;
203             if counter == 2*20 -1
204                 n_start = n;
205             end
206             if counter == 2*20 -1 + 2* periodes % ab 20. Periode (Jegenhorst)
207                 n_end = n;
208             end
209         end
210     end
211
212     % Faktor aus Analyse der Schwingungen ermittelt da Signal zu Groß wird wg Radeiern
213     data(1,1).measure_scope.u_diff = cl(n_start:n_end) + 0.1;
214
215     % Anzahl der Samples des Ausschnitts bestimmen
216     L_sig = length(data(1,1).measure_scope.u_diff);
217
218     % Wert der Samples ausrechnen (Umrechnung Jegenhorst)
219     Samples = round(data(1,1).measure_scope.u_diff * (2^12/2.5));
220
221     % FFT von Signal ausrechnen
222     S_app = fft(Samples);

```

```
223
224     % Koeffizienten abspeichern, idealerweise ist nur jeder "periodes" Wert
225     % +1 da erster Wert Gleichanteil
226     data(1,1).measure_scope.coefficients = S_app(1:N*periodes +1).';
227
228
229     %Leistung der berücksichtigten Schwingungen ( Verwendung 2 Variante)
230     data(1,1).measure_scope.P_harm = 2 * 2.5/((L_sig -1) *2^12) * (sum(abs(S_app(2:N*periodes+1)).^2));
231
232     %Leistung nicht berücksichtigte Schwingungen (Verwendung 2 Variante)
233     data(1,1).measure_scope.P_ob = 2 * 2.5/((L_sig -1) *2^12) *...
234     sum(abs(S_app(N * periodes + 2:fix(L_sig/2)-2)).^2);
235
236
237     l = l +1;
238     clear('Samples');
239
240     end
241     clear measure_scope           % clean up workspace
242     clear measure_demo
243
244     end
245
246     %% Neue Datenreihe abspeichern
247
248     % Datenreihe unter anderem Namen abspeichern
249
250     old_name = list_of_files(1,:); %Dateinamen in String kopieren
251     s = findstr(old_name, '_part'); %nach _part suchen
252     file = strcat(old_name(1:s-1), '_for_simulation.mat'); %neuen Dateinamen erstellen
253
254     save(file, 'data', 'parameters');
```

## prepare\_measurements\_sim

## Listing F.2:

```

1  %%%%%%%%%%%%%%%%%%%%%%%%%%%%%%%%%%%%%%%%%%%%%%%%%%%%%%%%%%%%%%%%%%%%%%%%%
2  % Funktionen:
3  % Das Programm bildet die Unterabtastung aus den Oszilloskopdaten nach.
4  % Dafür werden die Messdaten des Oszilloskops verwendet.
5  %
6  % Eingaben
7  % -Anzahl der Harmonischen, mit denen das Singal approximiert werden soll
8  % -Anzahl der Perioden des Oszilloskopsignals über die FFT Berechnet werden
9  % soll
10 % -Aufnamhereihenfolge der Werte zufällig oder der Reihe nach
11 % -maximale Anzahl an Perioden, die Verstreichen sollen, bis Abtastung
12 % erfolgt
13 % -minimale Anzahl an Perioden, die Verstreichen sollen, bis Abtastung
14 % erfolgt
15 %
16 % Erstellung einer neuen Datenstruktur (Dokumentation in Diplomarbeit)
17 %
18 % Version 1.1
19 %
20 %
21 % Datei:          prepare_measurements_sim.m
22 %
23 % erstellt von: Lennart Koch
24 % erstellt am:  25.01.2010
25 %
26 % Änderungen:
27 %
28 %%%%%%%%%%%%%%%%%%%%%%%%%%%%%%%%%%%%%%%%%%%%%%%%%%%%%%%%%%%%%%%%%%%%%%%%%
29
30
31 %Arbeitsplatz bereinigen
32 clear all;
33 close all;
34 clc;
35
36 %% Vezeichnis mit Messdaten auswählen
37
38 DirName = uigetdir(pwd, 'Choose_directory_with_data-files ');
39 cd(DirName);
40 list_of_files = ls('*.*.rmp.mat');
41 number_of_files = size(list_of_files, 1);
42
43 load(list_of_files(1,:));          % Erstes Datenpaket laden
44
45 %% Umgebungsvariablen festlegen und auswerten
46
47 stepsize = parameters.stepsize;    % Schrittweite in mm
48 startpoint = parameters.startpoint; % Anfangspunkt in mm
49 endpoint = parameters.endpoint;    % Endpunkt in mm
50 fs = parameters.samplerate;       % sampling frequenz von Scope
51
52 %Vektor mit den Entfernungen aller Messpunkte erzeugen
53 distance = startpoint : stepsize : endpoint;
54
55 % Anzahl der Messpunkte ermitteln
56 LM = length(distance); %Länge der Messreihe
57
58 if isempty(measure_demo) || isempty(measure_scope)
59     error('In_erstem_Datenpaket_muss_mindestens_eine_Messung_enthalten_sein');
60 else
61     %Anzahl der Samples Signalvektor des Radmessplatzes bestimmen
62     L = length(measure_demo(1,1).u_diff);
63 end
64
65
66
67 % Eingabe der oben beschriebenen Parameter
68 N = input('Bitte_Anzahl_der_Koeffizienten_mit_denen_Signal_approximiert_werden_soll_eingeben: ');
69 while ( N > L/2 -2)
70     N = input('Fehler_bei_der_Eingabe!!_Bitte_Anzahl_der_Koeffizienten_erneut_eingeben: ');
71 end
72
73 periodes = input('Bitte_Anzahl_der_Perioden_über_die_FFT_berechnet_werden_soll_eingeben: ');
74 while ( periodes > 100) %für mehr Perioden werden dei Messreihen zu groß
75     periodes = input('Fehler_bei_der_Eingabe!!_Bitte_Anzahl_der_Koeffizienten_erneut_eingeben: ');
76 end
77
78 random = input('Soll_die_Aufnahme_der_Samples_der_Reihe_nach_oder_zufällig_erfolgen_(0:_der_Reihe_nach;_1:_zufällig: ');
79 while (random ~=1 && random ~= 0)

```

```

80     random = input('Fehler_bitte_erneut_eingeben_(0:_der_Reihe_nach;_1:_zufällig:_):');
81 end
82
83 tm_max = input('Bitte_maximale_Anzahl_Perioden_angeben,die_ein_Wert_aufgenommen_werden_soll_(Hardware_7_Perioden):');
84 while ( tm_max < 1) %für mehr Perioden werden die Messreihen zu groß
85     tm_max = input('Fehler:_maximal_bei_jeder_Periode_möglich');
86 end
87
88 tm_min = input('Bitte_minimale_Anzahl_Perioden_angeben,die_ein_Wert_aufgenommen_werden_soll_(Hardware_6_Perioden):');
89 while ( tm_min < 1) %für mehr Perioden werden die Messreihen zu groß
90     tm_min = input('Fehler:_maximal_bei_jeder_Periode_möglich');
91 end
92
93
94 % Filter für Referenzsignal berechnen
95 [n,Wn] = cheb2ord(1/125,2.5/125,3,80);
96 [b,a] = cheby2(n,80,Wn);
97
98 freqz(b,a,512,250);
99
100
101 %% Datenstrukturen erstellen
102 simulation_parameters = struct( 'zufall', {random} ,... %Zufällige oder n. zufällige Aufnahmereihenfolge
103     'min_tw', {tm_min} ,... %min. Anzahl Perioden, bis Wert aufgenommen
104     'max_tw', {tm_max} ,... %max. Anzahl Perioden, bis Wert aufgenommen
105 );
106
107
108 data(1,LM) = struct('measure_rmp', {0} ,... % Daten Radmessplatz
109     'measure_scope', {0} ,... % Daten Scope
110     'N', {0} ,... % Anzahl der berücksichtigten Koeffizienten
111     'gain', {0} ,... % Verstärkungsfaktor des Hardware Vorverstärkers
112     'shift_factor', {0} ,... % ld(gain) Schiebefaktor in Bit
113     'distance', {0} ,... % Entfernung Encoderrad zum Sensor
114     'periodes', {periodes} ,... % Anzahl der berücksichtigten Perioden
115 );
116
117 for measure = 1:LM
118
119     data(1,measure).measure_rmp = struct( 'u_diff', {0} ,... % gemessenes Differenzsignal
120         'coefficients', {0} ,... % Fourier Koeffizienten
121         'P_harm', {0} ,... % Leistung der berücksichtigten Harmonischen
122         'P_ob', {0} ,... % Leistung der nicht berücksichtigten Harm.
123         'hd_lut', {0} ,... % THD berechnet mit MSP Hardware
124         'mag', {0} ,... % Beträge der Harmonischen berechnet mit MSP Hardware
125 );
126
127     data(1,measure).measure_scope = struct( 'u_diff', {0} ,... % gemessenes Differenzsignal(Ausschnitt)
128         'coefficients', {0} ,... % Fourier Koeffizienten
129         'P_harm', {0} ,... % Leistung der berücksichtigten Harmonischen
130         'P_ob', {0} ,... % Leistung der nicht berücksichtigten Harm.
131         'periodes', {periodes} ,... % Anzahl der berücksichtigten Perioden
132 );
133 end
134
135 %Eingelesene Daten entfernen
136
137 clear measure_scope
138 clear measure_demo
139 clear parameters
140
141
142 %% Messdaten verarbeiten
143
144 k = 1; % Aktuelle Messreihe Radmessplatz
145 l = 1; % Aktuelle Messreihe Scope
146
147
148 for i=1:number_of_files % Dateien durchlaufen
149
150     disp(['loading_' list_of_files(i,:)]);
151     load(list_of_files(i,:)); % jeweilige Datei laden
152
153     % Verarbeitung Daten ersten Ebene in Datenstruktur
154
155     for j=1:length(measure_demo)
156
157         data(1,k).N = N;
158         data(1,k).gain = measure_demo(j).gain;
159         data(1,k).shift_factor = log2(measure_demo(j).gain);
160         data(1,k).distance = measure_demo(j).distance;
161
162         data(1,k).measure_rmp.hd_lut = measure_demo(j).hd_lut;
163         k = k + 1;
164     end

```

```

165
166
167 % Verarbeitung Daten Oszilloskop
168 disp('prepare_scope_data_for_simulation');
169 for j=1:length(measure_scope)
170     % Messdaten laden
171     c1 = measure_scope(j).u_diff_y'; % Differenzsignal Channel
172
173     cf1 = filter(b,a,c1); % Eingangssignal filtern
174     ref=cf1-mean(cf1);
175
176     % Referenzsignal(Ausgang externer Sensor laden
177     ref = ref - mean(ref);
178
179     % Zähler zu 0 setzen
180     counter = 0;
181
182     %Referenzsignal auswerten, damit immer ganze Perioden
183     %entnommen werden
184     for n=1:(length(ref)-1)
185         if (sign(ref(n)) ~= sign(ref(n+1)));
186             counter = counter+1;
187             if counter == 2*20 -1
188                 n_start = n;
189             end
190             if counter == 2*20 -1 + 2* periodes
191                 n_end = n;
192             end
193             if counter == 2*20 -1 + 2*(400 + 1)
194                 n_end_rmp_sim = n; %Ende Signalvektor für Radmessplatz Simulation 400 Perioden
195             end
196         end
197     end
198     end
199
200 %Faktor aus Analyse der Schwingungen ermittelt da Signal zu Groß wird wg Radeiern
201 data(1,1).measure_scope.u_diff = c1(n_start:n_end) + 0.1;
202
203 %Referenzsignal auf gleiche Weise anpassen
204 ref_sig = ref(n_start:n_end);
205
206
207 % Anzahl der Samples des Ausschnitts bestimmen
208 L_sig = length(data(1,1).measure_scope.u_diff);
209
210 % Wert der Samples ausrechnen(Umrechnung Jegenhorst)
211 Samples = round(data(1,1).measure_scope.u_diff * (2^12/2.5));
212
213 % FFT von Signal ausrechnen
214 S_app = fft(Samples);
215
216 % Koeffizienten abspeichern, idealerweise ist nur jeder "periodes" Wert
217 % != 0, da N Koeffizienten berücksichtigt werden sollen N*periodes +1,
218 % +1 da erster Wert Gleichanteil
219 data(1,1).measure_scope.coefficients = S_app(1:N*periodes +1).';
220
221
222 %Leistung der berücksichtigten Schwingungen ( Verwendung 2 Variante)
223 data(1,1).measure_scope.P_harm = 2 * 2.5/((L_sig -1)*2^12) * ...
224     (sum(abs(S_app(2:N*periodes+1)).^2));
225
226 %Leistung nicht berücksichtigte Schwingungen (Verwendung 2 Variante)
227 data(1,1).measure_scope.P_ob = 2 * 2.5/((L_sig -1) *2^12) * ...
228     sum(abs(S_app(N * periodes + 2:fix(L_sig/2)-2)).^2);
229
230 %% Nachbildung der Unterabtastung des Radmessplatzes
231
232
233 % Um Timerticks von 12,8us(Jegenhorst) zu Simulieren muss dieses
234 % Signal( fs = 250 kHz) um den Faktor 3 reduziert werden
235 s = downsample(c1(n_start:n_end_rmp_sim) + 0.1, 3); % Signal mit 400 Perioden
236
237 % Entsprechend das Referenzsignal auch
238 ref_sig_sim = downsample(ref(n_start:n_end_rmp_sim),3);
239
240 counter = -1; % Zähler für die Nulldurchgänge
241 per = 0; % Periodenzähler
242 n_start = 1;
243
244 % Signal über viele Perioden auswerten, Periodendauer und Position der
245 % Nulldurchgänge (letzter Wert einer Periode) speichern
246 for n=1:(length(ref_sig_sim)-1000)
247     if (sign(ref_sig_sim(n)) ~= sign(ref_sig_sim(n+1)));
248         counter = counter+1;
249         if counter == 2

```



```

250         n_end = n;
251         per = per + 1;
252         T(per) = n_end - n_start; % Ermittlung der Periodendauer einer Periode
253         nulld(per) = n_end; % Ermittlung der Position eines Nulldurchgangs
254         counter = 0;
255         n_start = n+1;
256     end
257 end
258 end
259
260 M = 128; % Länge des Signals, das 2 Perioden beinhaltet
261
262
263 per_count = 0; % Periodenzähler zum entnehmen der Samples
264
265
266 % Siglavektor für Unterabgetastetes Signal erzeugen
267 data(1,1).measure_rmp.u_diff = zeros(1,M);
268
269
270 if random == 1
271     [y x] = sort(rand(1,64)); % y interessiert nicht (Zufallswerte)
272 elseif random == 0
273     x = 1:64; % Reihenfolge der Aufnahme der Samples (hier der Reihe nach)
274 end
275
276
277
278
279 for sample = 0:M-1
280     % Zufällige Auswahl zwischen minimal und maximalgrenze
281     t_um = round(tm_min + (tm_max-tm_min).*rand(1,1));
282     % Position des verwendeten Samples bestimmen (wenn per_count zu
283     % groß, beginne bei 1. Periode erneut mit dem Zählen
284     % die 2 stammt von l/(M/2)
285     pos = fix(T(mod(per_count,per-1)+1)* 2 * x(mod(sample,M/2)+1)/M);
286     if sample < 64
287         % 1. Periode aufnehmen
288         data(1,1).measure_rmp.u_diff(x(mod(sample,M/2)+1)) = ...
289             s(nulld(mod(per_count,per-1)+1) + pos);
290     else
291         % 2. Periode aufnehmen
292         data(1,1).measure_rmp.u_diff(64 + x(mod(sample,M/2)+1)) = ...
293             s(nulld(mod(per_count,per-1)+1) + pos);
294     end
295     per_count = per_count + t_um; % Nummer der Periode um t_um erhöhen
296 end
297
298 Samples = round(data(1,1).measure_rmp.u_diff .* (2^12/2.5));
299
300 % Spektrum des Signals errechnen
301 S_sample = fft(Samples);
302
303 data(1,1).measure_rmp.periodes = 2;
304
305 % Fourierkoeffizienten abspeichern
306 data(1,1).measure_rmp.coefficients = S_sample(1:2*N+1);
307
308 % Leistung der berücksichtigten Schwingungen (Verwendung 2 Variante)
309 data(1,1).measure_rmp.P_harm = 2 * 2.5/((L-1) * 2^12) * ...
310     (sum(abs(S_sample(2:2 * N+1)).^2));
311
312 % Leistung nicht berücksichtigte Schwingungen (Verwendung 2 Variante)
313 data(1,1).measure_rmp.P_ob = 2 * 2.5/((L-1) * 2^12) * ...
314     sum(abs(S_sample(2 * N+ 2: fix(L/2)-2)).^2);
315
316 l = l + 1;
317 clear('Samples', 'T', 'nulld'); % Größen Löschen, da die Anzahl der Perioden variiert
318 end
319 clear measure_scope % clean up workspace
320 clear measure_demo
321 end
322 %% Neue Datenreihe abspeichern
323
324 % Datenreihe unter anderem Namen abspeichern
325 old_name = list_of_files(1,:); % Dateinamen in String kopieren
326 s = findstr(old_name, '_part'); % nach _part suchen
327 file = strcat(old_name(1:s-1), '_rmp_sim_for_simulation.mat'); % neuen Dateinamen erstellen
328
329 save(file, 'data', 'parameters', 'simulation_parameters');

```

**demonstrator\_simulation**

## Listing F.3:

```

1  %%%%%%%%%%%%%%%%%%%%%%%%%%%%%%%%%%%%%%%%%%%%%%%%%%%%%%%%%%%%%%%%%%%%%%%%%%
2  % Funktionen :
3  % Programm zum durchführen einer Simulation
4  %
5  % Eingaben
6  % -Parameter Datei (Eingabeaufforderung)
7  %
8  %
9  % Version 1.0
10 %
11 %
12 % Datei:      demonstrator_simulation.m
13 %
14 % erstellt von: Lennart Koch
15 % erstellt am: 25.01.2010
16 %
17 % Änderungen:
18 %
19 %%%%%%%%%%%%%%%%%%%%%%%%%%%%%%%%%%%%%%%%%%%%%%%%%%%%%%%%%%%%%%%%%%%%%%%%%%
20
21
22
23 % Arbeitsplatz bereinigen
24 close all;
25 clear all;
26
27 % Ausgabefenster bereinigen
28 clc;
29
30 % Parameterdatei laden
31 pwd;
32 %   Datei in Auswahl Dialogbox auswählen und dann laden
33   [FileName, PathName] = uigetfile ('*txt', 'Bitte_eine_Messreihe_auswählen');
34
35   if isequal(FileName, 0)
36       error('No_file_selected');
37   else
38       disp(['selected_file:_' FileName]);
39   end
40
41   FileNameComp=fullfile(PathName, FileName);
42
43   % Name der Messung = Dateiname ohne Endung
44
45   name = FileName(1:end-4);
46
47   demonstrator_algorithm(name, FileNameComp); %Simulation ausführen

```

**analyse\_input\_signal**

Listing F.4:

```

1  %%%%%%%%%%%%%%%%%%%%%%%%%%%%%%%%%%%%%%%%%%%%%%%%%%%%%%%%%%%%%%%%%%%%%%%%%
2  % Funktionen:
3  % Analyse des aufgenommenem Ausgangssignal des Sensors mit dem Demonstrator
4  % werden soll. Darstellung der Ergebnisse als Kreisdiagramm.
5  % Eingabe:
6  % Schrittweite, in der Analyse des Eingangssignal durchgeführt wird [mm]
7  %
8  %
9  % Version 1.0
10 %
11 % Datei:      analyse_input_signal.m
12 %
13 % erstellt von: Lennart Koch
14 % erstellt am: 16.12.2009
15 %
16 % Änderungen:
17 %
18 %%%%%%%%%%%%%%%%%%%%%%%%%%%%%%%%%%%%%%%%%%%%%%%%%%%%%%%%%%%%%%%%%%%%%%%%%
19
20
21
22
23 % Arbeitsplatz bereinigen
24 clear all;
25 close all;
26 clc; %Ausgabefenster löschen
27
28 %% Datei auswählen und laden
29 cd('D:/simulation_folder');
30 pwd;
31 %Datei in Auswahl Dialogbox auswählen und dann laden
32 [FileName,PathName] = uigetfile('*.sim.mat','Bitte_eine_Messreihe_auswählen');
33
34 if isequal(FileName, 0)
35     error('No_file_selected');
36 else
37     disp(['selected_file:_' FileName]);
38 end
39
40 FileNameComp=fullfile(PathName, FileName);
41
42 load(FileNameComp);%gespeicherte Variablen laden
43
44
45 LM = size(s_fix,1);
46 L = size(s_fix,2); % Länge des Eingangssignals
47 n = 1:L;
48
49 k = -1/2:1/L:1/2-1/L; % Vektor zur Darstellung der Frequenzachse
50
51 d_a = input('Bitte_die_Distanz_zwischen_zwei_Messpunkten_an_denen_das_Eingangssignal_
    dargestellt_werden_soll_eingeben_[mm]:');
52 while (d_a <parameters.stepsize) || (d_a > 5) %ab 5mm keine sinnvolle Analyse mehr möglich
53     tm_max = input('Fehler:_maximal_bei_jeder_Periode_möglich');
54 end
55
56 m = round(d_a/ parameters.stepsize);
57
58

```

```

59 for i = 1:m:LM % für alle aufgen. Messdaten mit
    Schritt w. N
60 s = s_fix.double(i,:) / max(s_fix.double(i,:)); % normiertes Signal erzeugen
61 S1 = fft(s) / length(s_fix); % Spektrum Eingangssignal
62 S1_app = S1;
63 S1_app(7:end-5) = 0; % 5 Harmonische berücksichtigen
64 s1_app = ifft(S1_app) * length(s_fix); % app. Signal im zeitbereich bestimmen
65
66 %Dartellung
67 h = figure('Name', ['Analyse_des_Eingangssignals_bei_' num2str(distance(i)) 'mm']);
68 orient landscape;
69 subplot(2,1,1)
70 plot(n,s, n, s1_app);
71 ylabel('s(n)\rightarrow');
72 xlabel('n\rightarrow');
73 legend(['app.\_signal\_with\_ num2str(N_harm) '\_coeff.'], 'app.\_signal\_with\_5\_coeff. ');
74 title(['input\_signal\_at\_d=\_ num2str(distance(i)) 'mm']);
75 grid;
76
77 subplot(2,1,2)
78 stem(k, db(fftshift(S1)));
79 ylabel('S(f)\rightarrow');
80 xlabel('f/f_s\rightarrow');
81 title(['spectrum\_of\_input\_signal\_at\_distance\_d=\_ num2str(distance(i)) '\_mm' ] );
82 grid;
83 %Speichern zusammen mit den anderen Plots dieser Simulation
84 filename = [PathName '/Images/input_signal_' num2str(distance(i)) 'mm'];
85 filename = strrep(filename, '.', ',');
86 saveas(h, filename, 'pdf');
87 saveas(h, filename, 'fig');
88 saveas(h, filename, 'jpg');
89 end

```

## zufaellig\_nichtzufaellig

Listing F.5:

```

1  % Vergleich zufällige Abtastreihenfolge , nicht zufällige Abtastreihenfolge
2
3  close all;
4  clear all;
5
6  % Ausgabefenster bereinigen
7  clc;
8
9  ANALYSE = 1;          %1: Vergleich zufällige , nicht zufällige Abtastreihenfolge
10 %2: Vergleich mit und ohne Radunrundlauf
11
12 %% Einlesen der Ergebnisse
13
14 % Messreihe zufällige Reihenfolge laden
15     pwd;
16 %     Datei in Auswahl Dialogbox auswählen und dann laden
17 if ANALYSE == 1
18     [FileName PathName] = uigetfile('*sim.mat','Bitte_Simulationsergebnisse_mit_zufälliger_
19         Abtastreihenfolge_laden');
20 elseif ANALYSE == 2
21     [FileName PathName] = uigetfile('*sim.mat','Simulationsdaten_mit_beseitigtem_Unrundlauf
22         _laden');
23 end
24
25 if isequal(FileName, 0)
26     error('No_file_selected');
27 else
28     disp(['selected_file:_' FileName]);
29 end
30
31 FileNameComp=fullfile(PathName, FileName);
32
33 load(FileNameComp);
34 % Werte sichern
35
36 dist1 = distance
37 THD1_new_fix = THD_new.double;
38 THD1_new_float = THD_new_mat;
39
40 THD1_app_fix = THD_calc.double;
41 THD1_app_float = THD5_mat;
42
43 % Messreihe nicht zufällige Reihenfolge laden
44     pwd;
45 %     Datei in Auswahl Dialogbox auswählen und dann laden
46 if ANALYSE == 1
47     [FileName PathName] = uigetfile('*sim.mat','Bitte_Simulationsergebnisse_mit_nicht_
48         zufälliger_Abtastreihenfolge_laden');
49 elseif ANALYSE == 2
50     [FileName PathName] = uigetfile('*sim.mat','Simulationsdaten_mit_Unrund_laufendem_
51         Rad_laden');
52 end
53
54 if isequal(FileName, 0)
55     error('No_file_selected');
56 else
57     disp(['selected_file:_' FileName]);
58 end

```

```

56
57     FileNameComp=fullfile(PathName, FileName);
58
59     load(FileNameComp);
60
61     THD2_new_fix = THD_new.double;
62     THD2_new_float = THD_new.mat;
63
64     THD2_app_fix = THD_calc.double;
65     THD2_app_float = THD5.mat;
66
67     %% Ausgabe der Ergebnisse
68
69     if ANALYSE == 1
70         leg_txt1 = 'zufällige_Abtastung';
71         leg_txt2 = 'nicht_zufällige_Abtastung';
72     elseif ANALYSE == 2
73         leg_txt1 = 'Radunrundlauf_nicht_beseitigt';
74         leg_txt2 = 'Radunrundlauf_beseitigt';
75     end
76
77     %————— Abweichung NIHD Verfahren darstellen —————
78
79
80     h = figure('Name','HDI.method_hd');
81     set(h,'PaperPositionMode','manual');
82     set(h,'PaperUnits','centimeters');
83     set(h,'PaperType','A4');
84     orient landscape
85
86     subplot(2,1,1)
87     plot(distance, THD2_new_fix, dist1, THD1_new_fix);
88     grid;
89     %legend(, );
90     legend(leg_txt1, leg_txt2);
91     title('calculated_with_fixpoint_arithmetic');
92     xlabel('distance_[mm]');
93     ylabel('THD[%]');
94
95     subplot(2,1,2)
96     plot(distance, THD2_new_float, dist1, THD1_new_float);
97     grid;
98     legend(leg_txt1, leg_txt2);
99     title('calculated_with_floatingpoint_arithmetic');
100    xlabel('distance_[mm]');
101    ylabel('THD[%]');
102
103    saveas(h, 'noise_included_HD', 'fig');
104    saveas(h, 'noise_included_HD', 'pdf');
105    saveas(h, 'noise_included_HD', 'jpg');
106
107    %————— Abweichung hd5 Verfahren darstellen —————
108
109    h = figure('Name','HD5');
110    set(h,'PaperPositionMode','manual');
111    set(h,'PaperUnits','centimeters');
112    set(h,'PaperType','A4');
113    orient landscape
114
115    subplot(2,1,1)
116    plot(distance, THD2_app_fix, dist1, THD1_app_fix);
117    grid;
118    legend(leg_txt1, leg_txt2);

```

```
119     title('calculated_with_fixpoint_arithmetic');
120     xlabel('distance_[mm]');
121     ylabel('THD[%]');
122
123     subplot(2,1,2)
124     plot(distance, THD2_app_float, dist1, THD1_app_float);
125     grid;
126     legend(leg_txt1, leg_txt2);
127     title('calculated_with_floatingpoint_arithmetic');
128     xlabel('distance_[mm]');
129     ylabel('THD[%]');
130
131     saveas(h, 'approximated_THD', 'fig');
132     saveas(h, 'approximated_THD', 'pdf');
133     saveas(h, 'approximated_THD', 'jpg');
```

**drehung**

## Listing F.6:

```

1  %%%%%%%%%%%%%%%%%%%%%%%%%%%%%%%%%%%%%%%%%%%%%%%%%%%%%%%%%%%%%%%%%%%%%%%%%%
2  % Funktionen:
3  % Ermittlung der Position des Encoderrades, an der ein Wert entnommen
4  % werden soll. Darstellung der Ergebnisse als Kreisdiagramm.
5  %
6  %
7  % Version 1.0
8  %
9  % Datei:          drehung.m
10 %
11 % erstellt von:  Lennart Koch
12 % erstellt am:   08.02.2010
13 %
14 % Änderungen:
15 %
16 %%%%%%%%%%%%%%%%%%%%%%%%%%%%%%%%%%%%%%%%%%%%%%%%%%%%%%%%%%%%%%%%%%%%%%%%%%
17
18
19 %
20
21 N = 64;          %Anzahl der Samples
22 phi = zeros(1,N); %Winkel jeden Abtastpunkt
23 r = zeros(1,N);  % Anzahl der Umdrehungen
24
25 Z = 50;          %Zähne des Encoderrades
26 tw = 7;          %Anzahl der Pulse die verstreichen, bis nächster Wert abgetastet wird
27
28
29 for i = 1:N
30     phi(i) = 2*pi/Z * (i-1) * tw; % Drehwinkel für jedes Sample ausrechnen
31     r(i) = fix(phi(i)/(2*pi)) + 1; % Radumdrehung
32 end
33
34 polar(phi,r,'*');
35 xlabel('rotation_angle')
36 ylabel('revolution');
37 grid;
38 legend('sampling_point');

```



## unterabtast

## Listing F.7:

```

1  %%%%%%%%%%%%%%%%%%%%%%%%%%%%%%%%%%%%%%%%%%%%%%%%%%%%%%%%%%%%%%%%%%%%%%%%%
2  % Funktionen:
3  % Das Programm soll das Auftreten der 7 und 8 Harmonischen zeigen.
4  % Dazu wird die Unterabtastung des Radmessplatzes auf ein bekanntes Signal,
5  % dessen idealer Klirrfaktor 0 ist, angewendet
6  %
7  %
8  % Version 1.1
9  %
10 %
11 % Datei:          unterabtast.m
12 %
13 % erstellt von: Lennart Koch
14 % erstellt am:  17.03.2010
15 %
16 % Änderungen:
17 %
18 %%%%%%%%%%%%%%%%%%%%%%%%%%%%%%%%%%%%%%%%%%%%%%%%%%%%%%%%%%%%%%%%%%%%%%%%%
19
20 close all;
21 clear all;
22
23
24 Z = 50; % Anzahl der Zähne Encoderrad
25
26 S = 730; % Samples pro Periode des generierten Signals
27
28 wT = 0:2*pi/S:600*(2*pi -1/S); %Erstellung Zeitvektor
29
30 %Definition des Eingangssignals
31 s = 1.25 + cos(wT) .* (0.7 + 0.025 *cos(wT/50)); % Simulation des Sensorsignals
32
33 h = figure('Name', 'simulated_Output_signal_from_sensor');
34 orient landscape;
35 plot(s); % Ausgabe Ausgangssignal Sensor
36 grid;
37 xlabel('n');
38 title('simulated_sensor_output_signal_over_time');
39 % Bild speichern
40 saveas(h, 'signal', 'pdf');
41 saveas(h, 'signal', 'fig');
42 saveas(h, 'signal', 'jpg');
43
44 % Nulldurchgangserkennung
45
46 ref = sign(s - mean(s));
47 counter = 0;
48 per = 1;
49
50 % Periodendauer messen
51 for n=1:(length(ref)-1)
52     if (sign(ref(n)) ~= sign(ref(n+1)));
53         counter = counter+1;
54         if counter == 1
55             n_start = n;
56         end
57         if counter == 2 * per + 1
58             n_end = n;
59             nulld(per) = n_end;% Nulldurchgangserkennung

```

```

60         n_start = n;
61         per = per + 1;
62     end
63 end
64 end
65 % Aufnahme des Signals noch der ersten Periode mit 64 Abtastpunkten pro
66 % Periode
67
68 N = 64;
69
70 % Anzahl der Perioden, die verstreichen soll, ohne dass 1 Samplewerte
71 % entnommen wird (Hardware ca. 3 - 4) -> Umsetzzeit in Perioden
72
73
74 per_count = 1; % Periodenzähler zum entnehmen der Samples
75
76 s_unter = zeros(1,N);
77 % Simulation über 2 Perioden
78 for sample = 1:N
79     t_um = round(6 + (7-6) * rand(1));
80     %Position des verwendeten Samples bestimmen
81     pos = fix(S * sample / N);
82     per_count = per_count + t_um;
83     s_unter(sample) = s(nulld(per_count) + pos);
84 end
85
86 % Skalierung des Signal zwischen 0 und 1
87 s_unter = s_unter / max(s_unter);
88 % Darstellung Signal und Spektrum von unterabgetastem Signal
89
90 h = figure('Name', 'subsamped_signal_over_one_periode');
91 orient landscape;
92 plot(s_unter); % Ausgabe Ausgangssignal Sensor
93 grid;
94 xlabel('n');
95 ylabel('|s_{unter}|');
96 title('subsamped_signal_(one_sample_each_6-7_periodes)');
97 % Bild speichern
98 saveas(h, 'subsamped_signal', 'pdf');
99 saveas(h, 'subsamped_signal', 'fig');
100 saveas(h, 'subsamped_signal', 'jpg');
101
102
103 h = figure('Name', 'spectrum_of_subsamped_signal');
104 orient landscape;
105 df = 1/length(s_unter);
106 f = -0.5 : df : 0.5 - df;
107 stem(f, db(df * abs(fftshift(fft(s_unter))))); % Spektrum unterabgetastetes Signal
108 grid;
109 xlabel('f/f_s');
110 ylabel('|s_{unter}|_{dB}');
111 title('spectrum_of_subsamped_signal');
112 % Bild speichern
113 saveas(h, 'spectrum_subsamped_signal', 'pdf');
114 saveas(h, 'spectrum_subsamped_signal', 'fig');
115 saveas(h, 'spectrum_subsamped_signal', 'jpg');

```

**rmp\_scope\_analyze**

## Listing F.8:

```

1  %+++++
2  %
3  % Änderung:      Lennart Koch, 04.01.2010
4  %
5  % Beschreibung: Analyse der Rohdaten ohne Filter
6  %                - FFT von einer Periode und Koeffizienten plotten
7  %
8  %+++++
9
10 clear all
11 close all
12 clc
13
14 disp('—_Start_rmp_stepper_scope_record_analyze_tekdata.m_—');
15
16 %% — Datein auswählen, Variablen vorbereiten —————
17 % get directory
18 DirName = uigetdir(pwd, 'Choose_directory_with_data-files ');
19 cd(DirName);
20 list_of_files = ls('*.rmp.mat');
21 number_of_files = size(list_of_files , 1);
22
23 load(list_of_files(1,:));          % eine Datei laden zum Lesen Parameter
24 filename = list_of_files(1,:);
25
26 stepsize    = parameters.stepsize;    % Schrittweite in mm
27 startpoint  = parameters.startpoint;  % Anfangspunkt in mm
28 endpoint    = parameters.endpoint;    % Endpunkt in mm
29 fs          = parameters.samplerate;   % sampling frequenz
30 amp_setting = parameters.amp_setting;  % Verstärkerumschaltung
31
32 abstand = startpoint : stepsize : endpoint;
33 abstand = abstand';
34
35 meas_range = ((endpoint - startpoint) / stepsize)+1;
36
37 cnt = 0; % Zählvariable für bisher gelesene Messreihen
38
39 Z = 50; % Anzahl der Zähne des Encoderrades
40
41
42 %% — Dateien durchlaufen —————
43
44 disp('————_START_EINLESEN_————');
45 data_inc = 1;
46
47 for i=1:number_of_files          % datafile seperated in n parts
48
49                                % load one datafile
50     disp(['loading_' list_of_files(i,:)]);
51     load(list_of_files(i,:));
52
53                                % Strukturen auslesen
54     for j = 1:length(measure_scope)
55
56         if mod(cnt, 20) == 0
57             disp(['calculating_' num2str(cnt) '_from_' num2str(meas_range)]);
58
59             ref = measure_scope(j).ref_y'; % Refenzsensor Channel 4

```

```

60     c1 = measure_scope(j).u_diff_y'; % Differenzsignal Channel 1
61
62
63     num_samples = length(c1); % number of samples
64     t_max = num_samples/fs; % time range of data
65
66
67     t = 0:1/fs:t_max- 1/fs;
68
69     %% Eigene Arbeit
70     h = figure('Name', ['signal_distance_d=' num2str(abstand(cnt+1)) '_mm']);
71     orient landscape;
72     subplot(2,2,1);
73     plot(t, c1);
74     grid;
75     title(['Sensor_Output_signal_measured_with_Tektronix_scope_at_distance_d='
76           num2str(abstand(cnt+1)) '_mm']);
77     xlabel('t_[s]');
78     ylabel('U_{diff}_[V]');
79
80     %% Auszählen der Radfrequenz
81     % = Raddrehzahl * Zähne des Zahnrades an der Referenz.
82     % Signal muss AC gekoppelt sein !
83     ref=ref-mean(ref);
84     counter=0;
85     per_count = 1; % Periodenzähler
86     n_old = 1; %Speichern des Anfangs der Periode
87     for n=1:(length(ref)-1)
88         if (sign(ref(n)) ~= sign(ref(n+1)));
89             counter = counter+1;
90             if counter == 2;
91                 if n_old ~= 1
92                     sig = c1(n_old:n-1);%Eine Periode des Singal speichern
93                     C1 = abs(fft(sig));% Spektrum errechnen
94                     Koeff(per_count,:) = C1(2:9); %Fourierkoeffizienten speichern
95
96                     klirrf(per_count) = THD(C1); % THD errechnen
97                     per_count = per_count +1; % Periodenzähler inkrementieren
98                 else
99                     t_start= n / fs;%Startzeitpunkt errechnen für Zeitsignal
100                 end
101                 counter = 0;
102                 n_old = n;
103             end
104         end
105     end
106
107     phi = zeros(1,per_count-2); % Drehwinkel errechnen
108     for m =1:per_count-1
109         phi(m) = 2*pi/Z * (m-1);
110     end
111
112     %%Mit Mikrocontroller ermittelter Klirrfaktor
113     hd = measure_demo(j).hd_abs * ones(1,length(phi));
114
115     subplot(2,2,2);
116     t_vec = linspace(t_start, t_max, length(Koeff)); %Zeitachse für Darstellung im
117     %Zeitbereich
118     plot(t_vec, Koeff);
119     legend('1st_harmonic', '2nd_harmonic', '3rd_harmonic', '4th_harmonic', '5th_
120           harmonic','location', 'Best');
121     grid;
122     xlabel('t_[s]');

```

```

120         title(['magnitudes_of_harmonics_at_distance_d=' num2str(abstand(cnt+1)) '_mm'
121                ]);
122
123         % Kreisplots hinzufügen
124         subplot(2,2,4);
125         polar(phi, Koeff(:,1)','b');
126         p2l = gca; %nötig, damit richtige Darstellung der Legende
127         hold all;
128         polar(phi, Koeff(:,2)','g');
129         hold all;
130         polar(phi, Koeff(:,3)','r');
131         legend(p2l,'1st_harm.','2nd_harm.','3rd_harm.','location','Best');
132         grid;
133         title(['value_of_coefficients_over_angle_at_distance_d=' num2str(abstand(cnt
134                +1)) '_mm']);
135
136         subplot(2,2,3);
137         polar(phi, klirrf,'b');
138         p3l = gca; %nötig, damit richtige Darstellung der Legende
139         hold all;
140         polar(phi, hd,'r');
141         legend(p3l,'hd_of_per.','hd_by_demonstrator','location','Best');
142         grid;
143         title(['THD_over_angle_at_distance_d=' num2str(abstand(cnt+1)) '_mm']);
144
145         saveas(h, ['analyzed_d=' num2str(abstand(cnt+1)) '_mm'], 'eps');
146         saveas(h, ['analyzed_d=' num2str(abstand(cnt+1)) '_mm'], 'pdf');
147         saveas(h, ['analyzed_d=' num2str(abstand(cnt+1)) '_mm'], 'fig');
148         saveas(h, ['analyzed_d=' num2str(abstand(cnt+1)) '_mm'], 'jpg');
149         clear Koeff;
150         clear test;
151         clear klirrf;
152         %%%%%%%%%%%%%%%%%%%%%%%%%%%%%%%%%%%%%%%%%%%%%%%%%%%%%%%%%%%%%%%%%%%%%%%%%
153     end
154     cnt = cnt + 1; %Zähler hochzählen
155 end % Ende Schleife zum Einlesen der Datenstrukturen aus File
156
157 %cleanup workspace
158 clear measure_scope
159 clear measure_demo
160
161 %
162 end % Ende Schleife zum Einlesen der Files
163
164 disp('—_End_rmp_stepper_scope_record_analyze_tekdata.m—');

```

## Wurzeltab

Listing F.9:

```

1  %%%%%%%%%%%%%%%%%%%%%%%%%%%%%%%%%%%%%%%%%%%%%%%%%%%%%%%%%%%%%%%%%%%%%%%%%
2  % Funktionen:
3  % Mit diesem Skript soll das changing LUT Verfahren erprobt werden, sowie
4  % die Wurzelfunktion nach dem Jegenhorst Verfahren mit der erforderlichen
5  % Anzahl an Zwischenwerten dargestellt werden
6  %
7
8  % Version 1.0
9  %
10 %
11 % Datei:      Wurzelstab.m
12 %
13 % erstellt von: Lennart Koch
14 % erstellt am: 19.11.2009
15 %
16 % Änderungen:
17 %
18 %%%%%%%%%%%%%%%%%%%%%%%%%%%%%%%%%%%%%%%%%%%%%%%%%%%%%%%%%%%%%%%%%%%%%%%%%
19
20
21 clear all;
22 close all;
23
24 % ----- andere Variante -----
25
26 % Funktion Stufe 1 maximale Schrittweite um im unteren Bereich 1% Auflösung
27 % zu gewährleisten
28 x_anders = 0:1:1024-1;
29
30 Func = sqrt(100^2*2^-3/2^10 * x_anders); %Wurzelfunktion mit 1% Auflösung
31
32 % Darstellung der Wurzelfunktion
33 figure(9)
34 plot(x_anders, Func);
35 grid;
36 xlabel('n')
37 ylabel('THD_[%]');
38 title('Wurzelfunktion_mit_1024_Werten');
39
40
41 % Ableitung Bestimmen um Steigung der Funktion zu ermitteln
42 len_x = length(x_anders);
43 valdiff = zeros(1, len_x);
44 for i = 1:len_x -1
45     %Steigung der Funktion zwischen zwei Punkten
46     valdiff(i) = Func(i + 1) - Func(i);
47 end
48 % Schiefefaktoren ausrechnen um verschiedene Stufen zu realisieren
49 shift_fac = fix(log2(1./ valdiff));% mögliche Schiefefaktoren errechnen
50
51 figure(10)
52 subplot(2,1,1)
53 plot(valdiff);
54 xlabel('n')
55 ylabel('Steigung');
56 title('Steigung_der_implementierten_Wurzelfunktion');
57 grid;
58 subplot(2,1,2)
59 stairs(shift_fac);

```

```

60 grid
61 xlabel('log2(n)');
62 ylabel('shift_factor');
63 title('maximal_mögliche_Schiebefaktoren_zur_Darstellung_der_Funktion');
64
65 % Testen der 4 ermittelten Stufen
66
67 % Implementierung 1 Stufe: 8 Werte
68 x_imp1 = 0:1:8-1;
69 Func_imp1 = sqrt(100^2*2^-3/2^10 * x_imp1);
70
71 % Implementierung 2. Stufe: 8 Werte
72 % start = 7
73 %wertpos 111(7) >> 2 = 1 % Position an der vorheriger max.Wert vorkommt
74 x_imp2 = 7:4:8*4 +4 -1; %wg Scheibefaktor 2
75 Func_imp2 = sqrt(100^2*2^-3/2^10 * x_imp2);
76
77 % Implemtierung 3. Stufe: 16 Werte
78 % start = 7 + 1 >> 3 = 15
79 %wertpos 10 0100 (35) >> 3 = 100= 4 % Position an der vorheriger max.Wert vorkommt
80 x_imp3 = 15:8:16*8+8-1;
81
82 Func_imp3 = sqrt(100^2 * 2^-3/2^10* x_imp3);
83
84 %Impelementierung 4. Stufe = 16 Werte
85 % start = 15 + 1 << 4 = 31
86 %wertpos= 1000 0011 >> 4 = 100= 4 % Position an der vorheriger max.Wert vorkommt
87 x_imp4 = 31:16:16*32+31-1;
88 Func_imp4 = sqrt(100^2 * 2^-3/2^10 * x_imp4);
89
90
91 %Implementierung 5. Stufe = 32 Werte
92 % start = 31 + 1 << 5 = 63
93 %wertpos= 1 0000 0111 >> 5 = 100= 8 % Position an der vorheriger max.Wert vorkommt
94 x_imp5 = 63:32:32*31+ 63 -1;
95 Func_imp5 = sqrt(100^2 * 2^-3/2^10 * x_imp5);
96 error = find(Func_imp5 > 31); % maximal Wert 31%
97 Func_imp5(error) = 31;

```

## Wurzeltab\_PCM\_8Stufen

Listing F.10:

```

1  %%%%%%%%%%%%%%%%%%%%%%%%%%%%%%%%%%%%%%%%%%%%%%%%%%%%%%%%%%%%%%%%%%%%%%%%%%
2  % Funktionen:
3  % Skript zur Berechnung einer Wurzeltabelle mit PCM Codierung mit 8 Stufen.
4  % Es sind 10 Bit für das Ergebnis erforderlich
5  %
6  %
7  % Version 1.1
8  %
9  %
10 % Datei:          Wurzeltab_PCM_8Stufen.m
11 %
12 % erstellt von:  Lennart Koch
13 % erstellt am:   16.12.2009
14 %
15 % Änderungen:
16 %
17 %%%%%%%%%%%%%%%%%%%%%%%%%%%%%%%%%%%%%%%%%%%%%%%%%%%%%%%%%%%%%%%%%%%%%%%%%%
18
19
20 clear all;
21 close all;
22
23 % Funktion Stufe 1 maximale Schrittweite um im unteren Bereich 1% Auflösung zu
   % gewährleisten
24 %x_anders = 0:2^-13:2^-3 - 2^-13; %Länge 1024 entspricht 20 Bit Codierung
25 x_anders = 0:1:1023; %Länge 1024 entspricht 10 Bit Ergebnis
26
27 Func = sqrt(100^2 * 2^-3/2^10 * x_anders); % Originalfunktion
28
29 % Ausgabe Originalfunktion
30 figure(1)
31 plot(x_anders, Func);
32 grid;
33 xlabel('n')
34 ylabel('THD_[%]');
35 title('Wurzelfunktion_mit_1024_Werten');
36
37 xu = zeros(1,8);
38 xo = zeros(1,8);
39
40
41 %% Ober- und Untergrenzen der Segmente festlegen
42 % 1 Stufe Untergrenze = 0;
43 xu(1) = 0;
44
45 % 1 Stufe Obergrenze
46 xo(1) = 1024/128 -1;
47
48 % 2. Stufe Untergrenze
49 xu(2) = 1024/128;
50
51 % 2. Stufe Obergrenze
52 xo(2) = 1024/64 -1;
53
54 % 3. Stufe Untergrenze
55 xu(3) = 1024/64;
56
57 % 3. Stufe Obergrenze
58 xo(3) = 1024/32 -1;

```



```
59
60 % 4. Stufe Untergrenze
61 xu(4) = 1024/32;
62
63 % 3. Stufe Obergrenze
64 xo(4) = 1024/16-1;
65
66 % 5. Stufe Untergrenze
67 xu(5) = 1024/16;
68
69 % 5. Stufe Obergrenze
70 xo(5) = 1024/8-1;
71
72 % 6. Stufe Untergrenze
73 xu(6) = 1024/8;
74
75 % 6. Stufe Obergrenze
76 xo(6) = 1024/4-1;
77
78 % 7. Stufe Untergrenze
79 xu(7) = 1024/4;
80
81 % 7. Stufe Obergrenze
82 xo(7) = 1024/2-1;
83
84 % 8. Stufe Untergrenze
85 xu(8) = 1024/2;
86
87 % 8. Stufe Obergrenze
88 xo(8) = 1024-1;
89
90 Tabgr_o = sqrt(100^2 *0.125/1024 *xo); %Funktionswerte der Obergrenzen
91 Tabgr_u = sqrt(100^2 *0.125/1024 *xu); %Funktionswerte der Untergrenzen
92 Tabelle = zeros(8,8);
93
94 %Neue Wurzeltable mit Daten füllen
95 for i = 1:9
96     Tabelle(i,:) = round(linspace(Tabgr_u(i), Tabgr_o(i),8));
97 end
98
99 %Wurzeltable zur Verwendung in Simulationsprogramm speichern
100 save('SQRT_LUT_PCM_8STUFEN', 'Tabelle');
101
102 %grafische Darstellung der Wurzelfunktion
103 figure(3)
104 plot(xo, Tabgr_o, xu, Tabgr_u);
105 grid;
```

## Wurzeltab\_PCM\_9Stufen

Listing F.11:

```

1  %%%%%%%%%%%%%%%%%%%%%%%%%%%%%%%%%%%%%%%%%%%%%%%%%%%%%%%%%%%%%%%%%%%%%%%%%%
2  % Funktionen:
3  % Skript zur Berechnung einer Wurzeltabelle mit PCM Codierung mit 9 Stufen.
4  % Es sind 11 Bit für das Ergebnis erforderlich
5  %
6  %
7  % Version 1.0
8  %
9  %
10 % Datei:      Wurzeltab_PCM_9Stufen.m
11 %
12 % erstellt von: Lennart Koch
13 % erstellt am: 16.12.2009
14 %
15 % Änderungen:
16 %
17 %%%%%%%%%%%%%%%%%%%%%%%%%%%%%%%%%%%%%%%%%%%%%%%%%%%%%%%%%%%%%%%%%%%%%%%%%%
18
19 clear all;
20 close all;
21
22
23 % Funktion Stufe 1 maximale Schrittweite um im unteren Bereich 1% Auflösung zu
    gewährleisten
24 %x_anders = 0:2^-13:2^-3 - 2^-13; %Länge 1024 entspricht 20 Bit Codierung
25 x_anders = 0:1:1023; %Länge 1024 entspricht 10 Bit Codierung
26
27 Func = sqrt(100^2 * 2^-3/2^10 * x_anders); % Originalfunktion
28
29 % Ausgabe Originalfunktion
30 figure(1)
31 plot(x_anders, Func);
32 grid;
33 xlabel('n')
34 ylabel('THD[%]');
35 title('Wurzelfunktion_mit_1024_Werten');
36
37
38 xu = zeros(1,9);
39 xo = zeros(1,9);
40
41
42 %% Ober- und Untergrenzen der Segmente festlegen
43
44 % 1 Stufe Untergrenze = 0;
45 xu(1) = 0;
46
47 % 1 Stufe Obergrenze
48 xo(1) = 1024/256 -1;
49
50 % 2 Stufe Obergrenze = 1024/256;
51 xu(2) = 1024/256;
52
53 % 2 Stufe Obergrenze
54 xo(2) = 1024/128 -1;
55
56 % 3. Stufe Untergrenze
57 xu(3) = 1024/128;
58

```

```
59 % 3. Stufe Obergrenze
60 xo(3) = 1024/64-1;
61
62 % 4. Stufe Untergrenze
63 xu(4) = 1024/64;
64
65 % 4. Stufe Obergrenze
66 xo(4) = 1024/32-1;
67
68 % 5. Stufe Untergrenze
69 xu(5) = 1024/32;
70
71 % 5. Stufe Obergrenze
72 xo(5) = 1024/16-1;
73
74 % 6. Stufe Untergrenze
75 xu(6) = 1024/16;
76
77 % 6. Stufe Obergrenze
78 xo(6) = 1024/8-1;
79
80 % 7. Stufe Untergrenze
81 xu(7) = 1024/8;
82
83 % 7. Stufe Obergrenze
84 xo(7) = 1024/4-1;
85
86 % 8. Stufe Untergrenze
87 xu(8) = 1024/4;
88
89 % 9. Stufe Obergrenze
90 xo(8) = 1024/2-1;
91
92 % 8. Stufe Untergrenze
93 xu(9) = 1024/2;
94
95 % 9. Stufe Obergrenze
96 xo(9) = 1024-1;
97
98 Tabgr_o = sqrt(100^2 *0.125/1024 *xo); %Funktionswerte der Obergrenzen
99
100 Tabgr_u = sqrt(100^2 *0.125/1024 *xu); %Funktionswerte der Untergrenzen
101
102 Tabelle = zeros(9,8);
103
104 for i = 1:9
105     Tabelle(i,:) = round(linspace(Tabgr_u(i), Tabgr_o(i),8));
106 end
107
108 %Wurzeltabelle zur Verwendung in Simulationsprogramm speichern
109 save('SQRT_LUT_PCM_9STUFEN', 'Tabelle');
110
111 %grafische Darstellung der Wurzelfunktion
112 figure(3)
113 plot(xo, Tabgr_o, xu, Tabgr_u);
114 grid;
```

## F.1.2. Funktionen

### calc\_function

#### Listing F.12:

```

1  %%%%%%%%%%%%%%%%%%%%%%%%%%%%%%%%%%%%%%%%%%%%%%%%%%%%%%%%%%%%%%%%%%%%%%%%%%
2  % Funktion zur Berechnung einer approximierten Funktion mit variabler
3  % Anzahl von Samplewerten
4  %
5  %
6  %
7  % Version 1.0
8  %
9  % Datei:                calc_function.m
10 %
11 % erstellt von: Lennart Koch
12 % erstellt am: 20.11.2009
13 %%%%%%%%%%%%%%%%%%%%%%%%%%%%%%%%%%%%%%%%%%%%%%%%%%%%%%%%%%%%%%%%%%%%%%%%%%
14
15 function [s_fix gain] = calc_function(data, prop, S, option)
16 % erzeugen einer Signalmatrix für Funktion demonstrator_algorith in
17 % Fixpoint Arithmetik
18 % Eingabe:
19 % data : Datenstruktur
20 % prop : Fixpoint Eigenschaften und Datentypen
21 % S    : Anzahl der Samplewerte
22 %
23 % Ausgabe:
24 % s_fix: Samples im Fixpoint-Datentyp tADC, variable Wortbreite
25
26
27 wT = (0:2*pi:(S - 1) * 2* pi) / S; %Erstellung Zeitvektor
28 LM = length(data);                % Anzahl der Messungen in der Messreihe
29 gain = zeros(1,LM);
30 L = length(data(1,1).measure_rmp.u_diff);
31
32
33 Nb = prop.tADC.WordLength; % immer volle Aussteuerung
34
35 diff_bit = 12 - Nb;          %Fourierkoeffizienten sind mit 12 Bit ausgesteuert
36 diff_faktor = 2^diff_bit;    % wenn weniger Bit Divisionsfaktor ausrechnen um
37                               % Überlauf zu vermeiden
38
39
40 switch(option)
41     case 'demo'% Berechnung für Demonstrator Signal durchführen
42         disp('———_calc_function:_You've_selecteded_option_"demo"———');
43         s = zeros(LM,S);
44         for i = 1:LM
45             %Gleichanteil vor Berechnung dees Signals in Vektor
46             %übernehmen
47             s(i,:) = data(1,i).measure_rmp.coefficients(1);
48             for n = 1:length(data(1,i).measure_rmp.coefficients) - 1
49                 %Phasenwinkel bestimmen
50                 phi = atan2(imag(data(1,i).measure_rmp.coefficients(n+1)) ,...
51                             real(data(1,i).measure_rmp.coefficients(n+1)));
52                 %approximiertes Signal berechnen
53                 s(i,:) = s(i,:) + 2 * abs(data(1,i).measure_rmp.coefficients(n+1)) *...
54                             cos(1/data(1,i).measure_rmp.periodes * n * wT + phi);
55         end

```

```

56         gain(i) = data(1,i).gain; %Verstärkungsfaktor in Vektor kopieren
57     end
58     s = round(s/L);
59     s = s / diff_faktor;
60
61     s_fix(:) = fi(s, prop.tADC,prop.Properties); %Festkomma Variable
62
63     case 'scope'
64         disp('——_calc_function:_You've_selecteded_option_"scope"——');
65         s_scope = zeros(LM,S);
66         periodes = data(1,1).measure_scope.periodes;
67
68         for i = 1:LM
69             L_scope = length(data(1,i).measure_scope.u_diff);
70             %Gleichanteil vor Berechnung dees Signals in Vektor
71             %übernehmen
72             s_scope(i,:) = data(1,i).measure_scope.coefficients(1);
73             for n = 1:length(data(1,i).measure_scope.coefficients) - 1
74                 %Phasenwinkel bestimmen
75                 phi = atan2(imag(data(1,i).measure_scope.coefficients(n+1)),...
76                             real(data(1,i).measure_scope.coefficients(n+1)));
77                 %approximiertes Signal berechnen
78                 s_scope(i,:) = s_scope(i,:) + ...
79                     2 * abs(data(1,i).measure_scope.coefficients(n+1)) * cos(1 /
80                         periodes * n * wT + phi);
81                 gain(i) = data(1,i).gain; % Verstärkungsfaktor in Vektor kopieren
82             end
83             s_scope(i,:) = round(s_scope(i,:) / L_scope);
84         end
85         s_scope = s_scope / diff_faktor;
86         s_fix(:) = fi(s_scope, prop.tADC,prop.Properties);%Festkomma Variable
87     otherwise
88         error('You_have_selected_wrong_option');
89 end
90 end

```

## THD\_fix\_int

Listing F.13:

```

1  %%%%%%%%%%%%%%%%%%%%%%%%%%%%%%%%%%%%%%%%%%%%%%%%%%%%%%%%%%%%%%%%%%%%%%%%%%
2  %Funktion berechnet den THD (Total Harmonic Distortion)
3  %Berechnung der Wurzelfunktion mit Hilfe einer Tabelle
4  %
5  %
6  %
7  % Version 1.0
8  %
9  % Datei:                THD_fix_int.m
10 %
11 % erstellt von: Lennart Koch
12 % erstellt am: 11.02.2010
13 %%%%%%%%%%%%%%%%%%%%%%%%%%%%%%%%%%%%%%%%%%%%%%%%%%%%%%%%%%%%%%%%%%%%%%%%%%
14 function erg = THD_fix_int(abs_K, prop, wordlength, lut)
15 %Funktion berechnet den THD (Total Harmonic Distortion)
16 %Berechnung der Wurzelfunktion mit Hilfe einer Tabelle
17 %
18 %
19 %Formel :
20 %          N          N
21 %factor = sum abs_K / sum abs_K )
22 %          k = 2          k = 1
23 %
24 %
25 %Eingabe
26 % abs_K      : Vektor mit den Absolutwerten der Koeffizienten
27 % prop       : Fixpoint Eigenschaften
28 % wordlength : verwendete Wortbreite der Register: long, short, 24Bit
29 % lut        : 1: original Wurzetabelle von N. Jegenhorst
30 %             2: PCM codiert (9 Stufen)
31 %             3: PCM codiert (8 Stufen)
32 %             4: eigenes Verfahren
33 %
34 % Ausgabe
35 % THD in [%]
36
37
38
39 if nargin ~= 4
40     error('myApp: argChk', 'Wrong_number_of_input_arguments')
41 end
42
43
44 % Vereinbarung der Fixpoint Variablen
45 factor = fi(0,prop.long, prop.Properties); % geändert 11.02.2010
46
47     switch (wordlength)
48         case 'short' % getestet, funktioniert nicht gut
49             sum_ges = fi(0,prop.long, prop.Properties);
50             sum_ob = fi(0,prop.long, prop.Properties); %32 Bit Wortlänge
51         case '24Bit' % getestet, funktioniert nicht gut
52             sum_ges = fi(0,prop.long, prop.Properties);
53             sum_ob = fi(0,prop.long, prop.Properties); %32 Bit Wortlänge
54         case 'long' % getestet, funktioniert gut
55             sum_ob = fi(0,prop.long64, prop.Properties); %64 Bit Wortlänge
56             sum_ges = fi(0,prop.long, prop.Properties); %64 Bit Wortlänge
57         otherwise %Wenn ungültige Wortlänge gewählt
58             error('THD_fix_int: You_have_selected_wrong_wordlength!');
59     end

```

```

60
61 L = length(abs_K);
62
63 for i = 2:L
64     sum_ob(:) = sum_ob + abs_K(i); %Oberschwingungen addieren
65 end
66
67     %Betrag der Amplituden mit der Gesamtschwingung
68
69     sum_ges(:) = sum_ob + abs_K(1); % Summe der ersten 5 Harmonischen
70
71
72 % Ausgabe der Ergebnisse zur Kontrolle der Funktion
73     disp(['THD_fix:_' sum_ob:_' sum_ob.bin']); %Testausgabe
74     disp(['THD_fix:_' sum_ges:_' sum_ges.bin']);
75     disp(['THD_fix:_' factor:_' factor.bin']);
76
77
78     if lut == 1
79         ob_shift = 10;
80         sum_ob(:) = bitshift(sum_ob ,ob_shift); %Schieben um 10 Stellen -> Doku
81         factor(:) = divide(prop.long , sum_ob , sum_ges);
82
83         %Erstellen der Tabelle
84         x = 0: 10000 / 1024: (2^8 -1) * 10000 / 1024; %256 Werte in Tabelle enthalten
85         Wurzel = round(sqrt(x));
86
87         if factor > length(Wurzel); % Wenn sehr großer Klirrfaktor
88             erg = Wurzel(end);
89         else
90             erg = Wurzel(factor.int +1); %Wert aus Tabelle ermitteln
91         end
92
93     elseif lut == 2
94         ob_shift = 14; % Schiebefaktor der Oberschwingungen
95         shiftdiff = ob_shift -14; % Shiffaktordifferenz = ob_shift -14
96         Spalte = 0;
97         Zeile = 0;
98
99         sum_ob(:) = bitshift(sum_ob ,ob_shift); %Schieben um 14 Stellen nach links
100        factor(:) = divide(prop.long , sum_ob , sum_ges);
101
102        for bit = 20:29- shiftdiff
103            if factor.bin(bit) == '1' % wenn Bit gesetzt ist
104                Spalte = bin2num(prop.qu32 , factor.bin(bit+1:bit +3));
105                Zeile = 32- bit -2 - shiftdiff;
106                if Zeile > 8 % Für Große THD bleibt Zeile Konstant
107                    Zeile = 8;
108                    Spalte = 7;
109                end
110            break;
111        end
112    end
113
114    %wenn Zeile und Spalte weiterhin 0: THD sehr klein
115
116    if (Spalte == 0) && Zeile == 0
117        Spalte = bin2num(prop.qu16 , factor.bin(end-2- shiftdiff:end-shiftdiff));
118    end
119
120    % ermittelte Position in der Tabelle anzeigen
121    disp(['Zeile:_' num2str(Zeile)]);
122    disp(['Spalte:_' num2str(Spalte)]);

```

```

123     load('SQRT_LUT_PCM_9STUFEN.mat');
124     erg = Tabelle(Zeile+1,Spalte+1); %Ausgabe des Ergebnisses
125
126     elseif lut == 3
127         ob_shift = 13;           % Schiebefaktor der Oberschwingungen
128         shiftdiff = ob_shift-13; % Shiffaktordifferenz = ob_shift-13
129         Spalte = 0;
130         Zeile = 0;
131
132         sum_ob(:) = bitshift(sum_ob ,ob_shift);
133         factor(:) = divide(prop.long , sum_ob , sum_ges);
134
135         for bit = 20:29- shiftdiff
136             if factor.bin(bit) == '1' % wenn Bit gesetzt ist
137                 Spalte = bin2num(prop.qu32 , factor.bin(bit+1:bit +3));
138                 Zeile = 32- bit -2 - shiftdiff;
139                 if Zeile > 7 % Für sehr großen Klirrfaktor konstanter Wert
140                     Zeile = 7;
141                     Spalte = 7;
142                 end
143                 break;
144             end
145         end
146
147         %wenn Zeile und Spalte weiterhin 0: THD sehr klein
148         if (Spalte == 0) && Zeile == 0
149             Spalte = bin2num(prop.qu16 , factor.bin(end-2- shiftdiff:end-shiftdiff));
150         end
151
152         % ermittelte Position in der Tabelle anzeigen
153         disp(['Zeile:␣' num2str(Zeile)]);
154         disp(['Spalte:␣' num2str(Spalte)]);
155         load('SQRT_LUT_PCM_8STUFEN.mat');
156         erg = Tabelle(Zeile+1,Spalte+1); %Ausgabe des Ergebnisses
157
158     elseif lut == 4
159         ob_shift = 13;           % Schiebefaktor der Oberschwingungen
160         Wurzel = sqrt_table;     % Wurzeltabellen erzeugen
161         sum_ob(:) = bitshift(sum_ob ,ob_shift);
162         factor(:) = divide(prop.long , sum_ob , sum_ges);
163
164         if factor >= 7
165             factor(:) = bitshift(factor , -2); %Ergebnis schieben und in anderer Tabelle
166             if factor >= 7 % wenn factor immer noch groß
167                 factor(:) = bitshift(factor , -1); %nochmals um ein Bit schieben und inb
168                     anderer Tablle suchen
169                 if factor >= 16 % wenn immer noch groß
170                     factor(:) = bitshift(factor , -1); % nochmals um ein Bit schieben und
171                         in anderer Tabelle nachsehen
172                     if factor >= 32 % wenn immer noch groß
173                         factor(:) = bitshift(factor , -1); % nochmals um ein Bit schieben
174                             und in anderer Tabelle nachsehen
175                         if factor >= 32 %wenn immer noch zu groß ->
176                             sehr großer THD
177                             factor(:) = 31; % Maximalwert verwenden
178                             erg = Wurzel.Table5(factor.int); %Ergebnis aus Tabelle 5
179                         else
180                             erg = Wurzel.Table5(factor.int); %Ergebnis aus Tabelle 5
181                         end
182                     else
183                         erg = Wurzel.Table4(factor.int); %Ergebnis aus Tabelle 4
184                     end
185             end
186         else

```



```
182         erg = Wurzel.Table3(factor.int); %Ergebnis aus Tabelle 3
183     end
184     else
185         erg = Wurzel.Table2(factor.int); %Ergebnis aus Tabelle 2
186     end
187     else
188         erg = Wurzel.Table1(factor.int +1); %Ergebnis aus Tabelle 1
189     end
190     else
191         error('wrong_look-up_table!') % wenn falsche Ziffer angegeben
192     end
193 end
```

## DFT\_quant\_intV3

Listing F.14:

```

1  %%%%%%%%%%%%%%%%%%%%%%%%%%%%%%%%%%%%%%%%%%%%%%%%%%%%%%%%%%%%%%%%%%%%%%%%%
2  %Funktion berechnet den THD (Total Harmonic Distortion)
3  %Berechnung der Wurzelfunktion mit Hilfe einer Tabelle
4  %
5  %
6  %
7  % Version 1.0
8  %
9  % Datei:                DFT_quant_intV3.m
10 %
11 % erstellt von: Lennart Koch
12 % erstellt am: 02.11.09
13 %%%%%%%%%%%%%%%%%%%%%%%%%%%%%%%%%%%%%%%%%%%%%%%%%%%%%%%%%%%%%%%%%%%%%%%%%
14
15 function [re im absolut] = DFT_quant_int_V3(x_t,prop, Real, Imag, wordlength, N_K)
16 %DFT_quant_int berechnet eine reduzierte DFT des Signals
17 % über 1 Periode x_t .Die Auflösung der Samples und der LUT sind in den
18 % Datentypen tADC und tLUT eingestellt
19 %
20 % Eingabe:
21 % x_t:        Zahlenfolge des Signals im Zeitbereich
22 % N_K:        Anzahl der Koeffizienten die errechnet werden sollen
23 % prop:       Struktur mit Benutzerdefinierten Fixpoint Dateitypen(Ergebnis
24 %             von define_Types.m)
25 % Real:       Wertetabelle für den Realteil
26 % Imag:       Wertetabelle für den Imaginärteil
27 % wordlength: Variablentyp der verwendeten Register 'short', 'long',
28 %
29 %
30 % Ausgabe:
31 % re        : Realteil der Koeffizienten
32 % im        : Imaginärteil der Koeffizienten
33 % absolut:   Quadrate der Beträge der Koeffizienten
34 %           |           |
35 % Formel: X = 1/sqrt(N)* MAT * x
36 %           |           |
37 %           Wird in der Funktion berechnet
38
39
40 N = length(x_t);
41
42 w_LUT = Real.WordLength; % Wortlänge LUT Sinus und Kosinus
43 w_ADC = x_t.Wordlength; % Wortlänge ADC Samples
44
45 if nargin == 5
46     K = N; % wenn keine Anzahl der Koeffizienten angegeben ist, volle DFT berechnen
47 elseif nargin == 6
48     K = N_K; %Übergebene Anzahl Fourier Koeffizienten berechnen
49 else
50     error('myApp:argChk', 'Wrong_number_of_input_arguments');
51 end
52
53 %-----
54 % Es wird in der Simulation davon ausgegangen, dass für jede Multiplikation
55 % der Hardware Multiplizierer des MSP430 verwendet wird, dieser ist z.B im
56 % 1611 integriert
57
58     accu = fi(0,prop.long, prop.Properties); % 32 Bit Akku
59     OP1 = fi(0,prop.short, prop.Properties); % Operator1 16 Bit

```

```

60     OP2 = fi(0,prop.short, prop.Properties);    % Operator2 16 Bit
61
62     accu_wl = accu.WordLength;                % maximale Wortlänge von Produkt
63     op_wl = OP1.WordLength;
64
65     %-----
66
67     switch (wordlength)
68     case 'short' % getestet, funktioniert gut
69         re = fi(zeros(1,K),prop.short, prop.Properties);
70         im = fi(zeros(1,K),prop.short, prop.Properties);
71         re2 = fi(zeros(1,K),prop.short, prop.Properties);
72         im2 = fi(zeros(1,K),prop.short, prop.Properties);
73         absolut = fi(zeros(1,K),prop.short, prop.Properties);
74     case '24Bit' % getestet, funktioniert gut
75         re = fi(zeros(1,K),prop.bit24, prop.Properties);
76         im = fi(zeros(1,K),prop.bit24, prop.Properties);
77         re2 = fi(zeros(1,K),prop.bit24, prop.Properties);
78         im2 = fi(zeros(1,K),prop.bit24, prop.Properties);
79         absolut = fi(zeros(1,K),prop.bit24, prop.Properties);
80     case 'long' % getestet, funktioniert gut
81         re = fi(zeros(1,K),prop.long, prop.Properties);
82         im = fi(zeros(1,K),prop.long, prop.Properties);
83         re2 = fi(zeros(1,K),prop.long, prop.Properties);
84         im2 = fi(zeros(1,K),prop.long, prop.Properties);
85         absolut = fi(zeros(1,K),prop.long, prop.Properties);
86     otherwise % Wenn ungültige Wortlänge gewählt
87         error('DFT_quant_int_V2:~You_have_selected_wrong_wordlength!');
88     end
89
90     %Schiebefaktor ausrechnen
91
92     s = ceil(log2(N));
93
94     l_harm = (w_LUT -1) + w_ADC + s; % für 64 Werte: 12 +10 + 6 = 26
95
96
97     if re.wordlength < l_harm
98         shift_re = re.wordlength -l_harm;
99     else
100        shift_re = 0;
101    end
102    shift_test = OP1.wordlength -l_harm -shift_re; %Begründung in Doku
103    shift_quad = re2.wordlength - accu_wl; % Damit Summenbildung Gewährleistet
104    for k = 1:K
105        for n = 1:N
106            %----- Realanteil berechnen -----
107            OP1(:) = x_t.int(n);
108            OP2(:) = Real(k,n);
109            accu(:) = OP1 .* OP2; % Erzeugung doppeltes VZ
110            if shift_re ~= 0
111                accu(:) = bitshift(accu, shift_re +1);
112                accu(:) = quantize(prop.qu32, accu.int / 2); % statt bitshift
113            end
114            re(k) = re(k) + accu; % 1 Wert zwischenspeichern
115
116            %-----Imaginäranteil berechnen -----
117            OP1(:) = x_t.int(n);
118            OP2(:) = Imag(k,n);
119            accu(:) = OP1 .* OP2; % Erzeugung doppeltes VZ
120            if shift_re ~= 0
121                accu(:) = bitshift(accu, shift_re +1);
122                accu(:) = quantize(prop.qu32, accu.int / 2); % statt bitshift

```

```
123         end
124         im(k) = im(k) + accu; % 1 Wert zwischenspeichern
125     end
126
127     re(k) = bitshift(re(k), (shift_test +1));
128     OP1(:) = quantize(prop.qu16, re.int(k) / 2); % statt bitshift
129     accu(:) = OP1 .* OP1; % Doppeltes Vorzeichen entfernen
130     accu(:) = bitshift(accu, shift_quad +1);
131     re2(k) = quantize(prop.qu32, accu.int / 2); %LSB runden
132
133     im(k) = bitshift(im(k), (shift_test +1));
134     OP1(:) = quantize(prop.qu16, im.int(k) / 2); %%LSB runden
135     accu(:) = OP1 .* OP1;
136     accu(:) = bitshift(accu, shift_quad +1);
137     im2(k) = quantize(prop.qu32, accu.int / 2); %%LSB runden
138     absolut(k) = re2(k) + im2(k); %Absolutwert^2 berechnen
139     absolut(k) = bitshift(absolut(k), -1); % wegen Addition
140 end
141 end
```

## THD\_fix\_newV3

Listing F.15:

```

1  function [erg L1, Lges] = THD_fix_newV3(x_t, prop, Real, Imag, wordlength, lut)
2  % [erg L1, Lges] = THD_fix_newV3(x_t, prop, Real, Imag, wordlength, lut)
3  % Funktion berechnet den THD (Total Harmonic Distortion), Eingangswerte 32
4  % Bit Wortbreite. Verwendung von Variablen mit einstellbarer Wortbreite
5  % Berechnung der Wurzelfunktion mit Hilfe einer Tabelle
6  %
7  % Formel:
8  % 
$$\text{THD} = \frac{\sqrt{U_{ges}^2 - U_1^2}}{U_{ges}^2}$$

9  %
10 % THD=
11 % 
$$\sqrt{\frac{U_{ges}^2 - U_1^2}{U_{ges}^2}}$$

12 %
13 % THD[%] = sqrt(factor * 100^2 * 2^-3/2^10) => 13 Bit Scheiben der
14 % Oberschwingungen erforderlich
15 %
16 % Eingabe
17 % x_t : Eingangssignal
18 % prop : Fixpoint Eigenschaften
19 % Real : Kosinustabelle zur Berechnung des Realteils der ersten Harmonischen
20 % Imag : Kosinustabelle zur Berechnung des Imaginärteils der ersten Harmonischen
21 % wordlength: verwendete Wortbreite
22 % lut : 1: original Tabelle des Radmessplatzes
23 %        2: PCM codiert (9 Stufen)
24 %        3: PCM codiert (8 Stufen)
25 %        4: selbst erarbeitetes Verfahren
26 %
27 % Ausgabe
28 % erg : THD in [%]
29 % L1 : Leistung von 1 Harmonischer Schwingung
30 % Lges: Gesamtleistung des Signals
31 %
32 %%%%%%%%%%%%%%%%%%%%%%%%%%%%%%%%%%%%%%%%%%%%%%%%%%%%%%%%%%%%%%%%%%%%%%%%%%%
33 % erstellt : 15.03.2010
34 % bearbeitet: 15.03.2010
35 % Version : 1.0
36 % Status: funktioniert
37 %%%%%%%%%%%%%%%%%%%%%%%%%%%%%%%%%%%%%%%%%%%%%%%%%%%%%%%%%%%%%%%%%%%%%%%%%%%
38 % Probleme:
39 %
40 % Fehler bei Verwendung der eingestellten Auflösung für LUT
41
42 if nargin ~= 6
43     error('myApp: argChk', 'Wrong_number_of_input_arguments')
44 end
45
46 %
47 % Es wird in der Simulation davon ausgegangen, dass für jede Multiplikation
48 % der Hardware Multiplizierer des MSP430 verwendet wird, dieser ist z.B im
49 % 1611 integriert
50
51     accu = fi(0, prop.long, prop.Properties); % 32 Bit Akku
52     OP1 = fi(0, prop.short, prop.Properties); % Operator1 16 Bit
53     OP2 = fi(0, prop.short, prop.Properties); % Operator2 16 Bit
54
55     accu_wl = accu.WordLength; % maximale Wortlänge von Produkt
56     op_wl = OP1.WordLength;
57
58 %
59

```

```

60 % Vereinbarung der Fixpoint Variablen
61 switch (wordlength)
62     case 'short' % getestet, funktioniert recht gut
63         factor = fi(0,prop.long, prop.Properties);
64         sum_ob = fi(0,prop.long, prop.Properties); %32 Bit Wortlänge
65         % ----- Variablen 1. Oberschwungung -----
66         im1 = fi(0,prop.short, prop.Properties);
67         re1 = fi(0,prop.short, prop.Properties);
68         abs_im1 = fi(0,prop.short, prop.Properties);
69         abs_re1 = fi(0,prop.short, prop.Properties);
70         % ----- Gleichanteil -----
71         x_gl = fi(0,prop.short, prop.Properties);
72         % ----- Leistungen -----
73         L1 = fi(0,prop.short, prop.Properties); % Leistung 1 Oberschwungung
74         Lges = fi(0,prop.short, prop.Properties); % Leistung Gesamtsignal
75     case '24Bit'
76         factor = fi(0,prop.long, prop.Properties);
77         sum_ob = fi(0,prop.long64, prop.Properties); %32 Bit Wortlänge
78         % ----- Variablen 1. Oberschwungung -----
79         im1 = fi(0,prop.bit24, prop.Properties);
80         re1 = fi(0,prop.bit24, prop.Properties);
81         abs_im1 = fi(0,prop.bit24, prop.Properties);
82         abs_re1 = fi(0,prop.bit24, prop.Properties);
83         % ----- Gleichanteil -----
84         x_gl = fi(0,prop.bit24, prop.Properties);
85         % ----- Leistungen -----
86         L1 = fi(0,prop.bit24, prop.Properties); % Leistung 1 Oberschwungung
87         Lges = fi(0,prop.bit24, prop.Properties); % Leistung Gesamtsignal
88     case 'long' % getestet, funktioniert gut
89         factor = fi(0,prop.long, prop.Properties);
90         sum_ob = fi(0,prop.long64, prop.Properties); %64 Bit Wortlänge
91         %sum_ges = fi(0,prop.long, prop.Properties); %64 Bit Wortlänge
92         % ----- Variablen 1. Oberschwungung -----
93         im1 = fi(0,prop.long, prop.Properties);
94         re1 = fi(0,prop.long, prop.Properties);
95         abs_im1 = fi(0,prop.long, prop.Properties);
96         abs_re1 = fi(0,prop.long, prop.Properties);
97         % ----- Gleichanteil -----
98         x_gl = fi(0,prop.long, prop.Properties);
99         % ----- Leistungen -----
100        L1 = fi(0,prop.long, prop.Properties); % Leistung 1 Oberschwungung
101        Lges = fi(0,prop.long, prop.Properties); % Leistung Gesamtsignal
102    otherwise %Wenn ungültige Wortlänge gewählt
103        error('THD_fix_new:~You_have_selected_wrong_wordlength!');
104 end
105
106 % Eingestellte Wortbreiten analysieren
107 N = length(x_t);
108
109 w_LUT = Real.WordLength; % Wortlänge LUT Sinus und Kosinus
110 w_ADC = x_t.Wordlength; % Wortlänge ADC Samples
111
112
113 %Ausgleichfaktoren für unterschiedliche Wortbreite ADC und LUT
114 if w_ADC >= (w_LUT-1)
115     fak_LUT = w_ADC - (w_LUT -1);
116     fak_ADC = 0;
117 elseif w_ADC < (w_LUT-1)
118     fak_LUT = 0;
119     fak_ADC = (w_LUT -1) - w_ADC;
120 end
121
122 %% Schiebefaktoren ermitteln

```

```

123 % Scheibefaktor bestimmen um /L zu realisieren
124
125 s = ceil(log2(N));
126
127 % Für Gleichanteil
128
129 l_max = w_ADC + s;
130 if x_gl.wordlength <= l_max % = da MSB vorzeichen
131     shift_gl = x_gl.wordlength - l_max - 1;
132 else
133     shift_gl = 0;
134 end
135
136 %Für Gesamtleistung des Signals
137 %Für Addition der Samples
138 w_max_add = 2 * w_ADC + 2 + s;
139
140 if Lges.wordlength < w_max_add
141     shift_Lg_add = Lges.wordlength - w_max_add;
142 else
143     shift_Lg_add = 0;
144 end
145
146 %Prüfen ob ausreichende Wortbreite für richtige Skallierung
147 % ist so erforderlich, da w_max_add 0 sein kann.
148 if Lges.wordlength < (w_max_add - shift_Lg_add + 2 * fak_ADC) %Wenn Wortbreite für
149     Skallierung nicht ausreichend ist
150     shift_Lg_skall = -2 * fak_ADC;
151 else
152     shift_Lg_skall = 0;
153 end
154
155 shift_Lg = shift_Lg_add + shift_Lg_skall;
156
157
158 %% Gleichanteil berechnen
159 for n = 1:N
160     OP1(:) = x_t(n);
161     x_gl(:) = x_gl + bitshift(OP1, shift_gl);
162 end
163 x_gl(:) = bitshift(x_gl, -s - shift_gl + 1); %Division durch N
164 x_gl(:) = quantize(prop.qu16, x_gl.int / 2); % statt bitshift
165
166
167 %% Leistung Signal ohne Gleichanteil bestimmen
168 % wenn maximal 16 Bit ADC verwendet wird, ist Gleichanteil max 15 Bit lang
169 x0 = int16(x_t - x_gl); % bis hier einwandfrei für 32 Bit Register
170
171 for n = 1:N
172     OP1(:) = x0(n); % da Signal nur im positiven Bereich => Gleichanteil Umax/2
173     accu(:) = OP1 .* OP1;
174     if shift_Lg_add ~= 0
175         accu(:) = bitshift(accu, shift_Lg_add + 1);
176         accu(:) = quantize(prop.qu32, accu.int / 2); % LSB runden
177     end
178     Lges(:) = Lges + accu;
179 end
180
181 %Skallierung der Leistung des Signals
182 Lges(:) = bitshift(Lges, 2*fak_ADC + shift_Lg_skall);
183
184

```

```

185
186
187 %% Leistung 1. Oberschwungung bestimmen( aus DFT_quant_int_V3)
188
189 l_harm = (w_LUT -1) + fak_LUT + w_ADC + fak_ADC + s; % für 64 Werte: 12 +12 + 6 = 28
190
191
192 if rel.wordlength < l_harm
193     shift_rel = rel.wordlength -l_harm;
194 else
195     shift_rel = 0;
196 end
197
198 shift_test = OP1.wordlength -l_harm -shift_rel;
199 shift_quad = -(accu.wordlength -l_harm -2 - shift_Lg);
200 if shift_quad > 0
201     Lges(:) = bitshift(Lges,- shift_quad);
202     shift_quad = 0;
203 end
204
205 for n = 1:N
206     %----- Realanteil berechnen -----
207     OP1(:) = x_t.int(n);
208     OP1(:) = bitshift(OP1,fak_ADC);
209     OP2(:) = Real(n);
210     OP2(:) = bitshift(OP2, fak_LUT);
211     accu(:) = OP1 .* OP2;
212     if shift_rel ~= 0
213         accu(:) = bitshift(accu, shift_rel +1);
214         accu(:) = quantize(prop.qu32, accu.int / 2); % statt bitshift
215     end
216     rel(:) = rel + accu; % 1 Wert zwischenspeichern
217
218     %----- Imaginäranteil berechnen -----
219     OP1(:) = x_t.int(n);
220     OP1(:) = bitshift(OP1,fak_ADC);
221     OP2(:) = Imag(n);
222     OP2(:) = bitshift(OP2, fak_LUT);
223     accu(:) = OP1 .* OP2; % Erzeugung doppeltes VZ
224     if shift_rel ~= 0
225         accu(:) = bitshift(accu, shift_rel +1);
226         accu(:) = quantize(prop.qu32, accu.int / 2); % statt bitshift
227     end
228     im1(:) = im1 + accu; % 1 Wert zwischenspeichern
229 end
230 rel(:) = bitshift(rel, (shift_test +1));%Auf 16 Bit reduzierten
231 OP1(:) = quantize(prop.qu16, rel.int / 2); % statt bitshift
232 accu(:) = OP1 .* OP1; % Doppeltes Vorzeichen entfernen
233 accu(:) = bitshift(accu, shift_quad + 1);
234 abs_rel(:) = quantize(prop.qu32, accu.int / 2); %%LSB runden
235 im1(:) = bitshift(im1, (shift_test +1)); %Auf 16 Bit reduzierten
236 OP1(:) = quantize(prop.qu16, im1.int / 2); %%LSB runden
237 accu(:) = OP1 .* OP1;
238 accu(:) = bitshift(accu, shift_quad + 1);
239 abs_im1(:) = quantize(prop.qu32, accu.int / 2); %%LSB runden
240 L1(:) = abs_rel + abs_im1; %Leistung 1. Harmonische berechnen
241 L1(:) = bitshift(L1, -1); % wegen Addition
242
243
244 %% Division durchführen
245 if Lges > L1
246     sum_ob(:) = Lges - L1;

```



```

247     else                                     %sonst ist der THD so klein , dass er nicht mehr Darstellbar ist
248         also 0
249         sum_ob(:) = 0;
250     end
251
252     %% Ergebnis aus Tabellen 1 –4 ermitteln
253     % Ausgabe Übersicht wichtigste Werte , dient nur zur Kontrolle
254     disp([' Gleichanteil: ', num2str(x_gl.double)]); %Testausgabe
255     disp([' Gesamtleistung: ', num2str(Lges.double)]); %Testausgabe
256     disp([' Leistung_1_Harm.: ', num2str(L1.double)]); %Testausgabe
257     disp([' THD_fix: ', sum_ob(:), ' sum_ob.bin']); %Testausgabe
258     disp([' THD_fix: ', sum_gs(:), ' Lges.bin']);
259     disp([' THD_fix: ', factor(:), ' factor.bin']);
260
261
262     if lut == 1
263
264         ob_shift = 10;
265
266         sum_ob(:) = bitshift(sum_ob ,ob_shift);
267         factor(:) = divide(prop.long , sum_ob, Lges);
268
269         %Erstellen der Tabelle
270         x = 0: 10000 / 1024: (2^8 -1) * 10000 / 1024; %256 Werte in Tabelle
271             enthalten
272         Wurzel = round(sqrt(x));
273
274         if factor > length(Wurzel); % Wenn sehr großer Klirrfaktor
275             erg = Wurzel(end);
276         else
277             erg = Wurzel(factor.int +1); %Wert aus Tabelle ermitteln
278         end
279
280
281     elseif lut == 2
282         %Definition der Variablen für Ermittlung der Tabellen– Funktion
283
284         ob_shift = 14; % Schiefefaktor der Oberschwingungen
285         shiftdiff = ob_shift -14; % Shiffaktordifferenz = ob_shift -13
286         Spalte = 0;
287         Zeile = 0;
288
289         sum_ob(:) = bitshift(sum_ob ,ob_shift);
290         factor(:) = divide(prop.long , sum_ob, Lges);
291
292         for bit = 20:29 - shiftdiff
293             if factor.bin(bit) == '1' % wenn Bit gesetzt ist
294                 Spalte = bin2num(prop.qu32 , factor .bin(bit+1:bit +3));
295                 Zeile = 32 - bit -2 - shiftdiff;
296                 if Zeile > 8 % Für Große THD bleibt Zeile Konstant
297                     Zeile = 8;
298                     Spalte = 7;
299                 end
300                 break;
301             end
302         end
303         %wenn Zeile und Spalte weiterhin 0: THD sehr klein
304
305         if (Spalte == 0) && Zeile == 0
306             Spalte = bin2num(prop.qu16 , factor .bin(end-2- shiftdiff:end-shiftdiff));
307         end

```

```

308
309      % ermittelte Position in der Tabelle anzeigen
310      disp(['Zeile:_' num2str(Zeile)]);
311      disp(['Spalte:_' num2str(Spalte)]);
312      load('SQRT_LUT_PCM_9STUFEN.mat');
313      erg = Tabelle(Zeile+1,Spalte+1); %Ausgabe des Ergebnisses
314
315  elseif lut == 3
316      %Definition der Variablen für Ermittlung der Tabellen- Funktion
317
318      ob_shift = 13;      % Schiefefaktor der Oberschwingungen
319      shiftdiff = ob_shift-13; % Shiffaktordifferenz = ob_shift-13
320      Spalte = 0;
321      Zeile = 0;
322
323      sum_ob(:) = bitshift(sum_ob ,ob_shift);
324      factor(:) = divide(prop.long , sum_ob, Lges);
325
326      for bit = 20:29- shiftdiff
327          if factor.bin(bit) == '1' % wenn Bit gesetzt ist
328              Spalte = bin2num(prop.qu32, factor.bin(bit+1:bit +3));
329              Zeile = 32- bit -2 - shiftdiff;
330              if Zeile > 7 % Für sehr großen Klirrfaktor konstanter Wert
331                  Zeile = 7;
332                  Spalte = 7;
333              end
334              break;
335          end
336      end
337      if (Spalte == 0) && Zeile == 0
338          Spalte = bin2num(prop.qu16, factor.bin(end-2- shiftdiff:end-shiftdiff));
339      end
340
341      disp(['Zeile:_' num2str(Zeile)]);
342      disp(['Spalte:_' num2str(Spalte)]);
343      load('SQRT_LUT_PCM_8STUFEN.mat');
344      erg = Tabelle(Zeile+1,Spalte+1); %Ausgabe des Ergebnisses
345  elseif lut == 4
346
347      ob_shift = 13;      % Schiefefaktor der Oberschwingungen
348      Wurzel = sqrt_table; % Wurzeltabellen erzeugen
349
350      sum_ob(:) = bitshift(sum_ob ,ob_shift);
351      factor(:) = divide(prop.long , sum_ob, Lges);
352
353      if factor >= 7
354          factor(:) = bitshift(factor , -2); %Ergebnis schieben und in anderer
          Tabelle
355          if factor >= 7 % wenn factor immer noch groß
356              factor(:) = bitshift(factor , -1); %nochmals um ein Bit schieben und inb
              anderer Tablle suchen
357          if factor >= 16 % wenn immer noch groß
358              factor(:) = bitshift(factor , -1); % nochmals um ein Bit schieben
              und in anderer Tabelle nachsehen
359          if factor >= 32 % wenn immer noch groß
360              factor(:) = bitshift(factor , -1); % nochmals um ein Bit
              schieben und in anderer Tabelle nachsehen
361              if factor >= 32 %wenn immer noch zu groß
              -> sehr großer THD
362                  factor(:) = 31; % Maximalwert verwenden
363                  erg = Wurzel.Table5(factor.int); %Ergebnis aus Tabelle
364                      5
365              else

```

```
365             erg = Wurzel.Table5(factor.int); %Ergebnis aus Tabelle
366                 end
367             else
368                 erg = Wurzel.Table4(factor.int); %Ergebnis aus Tabelle 4
369             end
370         else
371             erg = Wurzel.Table3(factor.int); %Ergebnis aus Tabelle 3
372         end
373     else
374         erg = Wurzel.Table2(factor.int); %Ergebnis aus Tabelle 2
375     end
376 else
377     erg = Wurzel.Table1(factor.int +1); %Ergebnis aus Tabelle 1
378 end
379 else
380     error('wrong_look-up_table!')
381 end
382 end
```

## THD\_fix\_newV4

Listing F.16: ../bla.m

```

1  function [erg L1, Lges] = THD_fix_newV4(x_t, prop, Real, Imag, wordlength, lut)
2  %
3  %[erg L1, Lges] = THD_fix_newV4(x_t, prop, Real, Imag, wordlength, lut)
4  %
5  %Funktion berechnet den THD mit Hilfe des noise-included hd- Verfahrens.
6  %Die Wortbreiten der Variablen können eingestellt werden. Diese Version
7  %arbeitet mit tatsächlichen C Implementierung.
8  %Berechnung der Wurzelfunktion mit Hilfe einer Tabelle
9  %
10 %Formel:
11 %      /-----
12 %      / Uges^2 - U1^2
13 % THD=  /-----
14 %      \      Uges^2
15 %
16 % THD[%] = sqrt(factor * 100^2 * 2^-3/2^10) => 13 Bit Scheiben der
17 % Oberschwingungen erforderlich
18 %
19 %Eingabe
20 % x_t : Eingangssignal
21 % prop : Fixpoint Eigenschaften
22 % Real : Kosinustabelle zur Berechnung des Realteils der ersten Harmonischen
23 % Imag : Kosinustabelle zur Berechnung des Imaginärteils der ersten Harmonischen
24 % wordlength: verwendete Wortbreite
25 % lut : 1: original Tabelle des Radmessplatzes
26 %       2: PCM codiert (9 Stufen)
27 %       3: PCM codiert (8 Stufen)
28 %       4: selbst erarbeitetes Verfahren
29 %
30 % Ausgabe
31 % erg : THD in [%]
32 % L1 : Leistung von 1 Harmonischer Schwingung
33 % Lges: Gesamtleistung des Signals
34 %
35 %%%%%%%%%%%%%%%%%%%%%%%%%%%%%%%%%%%%%%%%%%%%%%%%%%%%%%%%%%%%%%%%%%%%%%%%%%
36 % erstellt : 15.03.2010
37 % bearbeitet: 15.03.2010
38 % Version   : 0.9
39 % Status:
40 %%%%%%%%%%%%%%%%%%%%%%%%%%%%%%%%%%%%%%%%%%%%%%%%%%%%%%%%%%%%%%%%%%%%%%%%%%
41
42 if nargin ~= 6
43     error('myApp: argChk', 'Wrong_number_of_input_arguments')
44 end
45
46 %-----
47 % Es wird in der Simulation davon ausgegangen, dass für jede Multiplikation
48 % der Hardware Multiplizierer des MSP430 verwendet wird, dieser ist z.B im
49 % 1611 integriert
50
51     accu = fi(0,prop.long, prop.Properties); % 32 Bit Akku
52     OP1 = fi(0,prop.short, prop.Properties); % Operator1 16 Bit
53     OP2 = fi(0,prop.short, prop.Properties); % Operator2 16 Bit
54
55     accu_wl = accu.WordLength; % maximale Wortlänge von Produkt
56     op_wl = OP1.WordLength;
57
58 %-----
59

```

```

60 % Vereinbarung der Fixpoint Variablen
61 switch (wordlength)
62     case 'short' % getestet, funktioniert recht gut
63         factor = fi(0,prop.long, prop.Properties);
64         sum_ob = fi(0,prop.long, prop.Properties); %32 Bit Wortlänge
65         % ----- Variablen 1. Oberschwingung -----
66         im1 = fi(0,prop.short, prop.Properties);
67         re1 = fi(0,prop.short, prop.Properties);
68         abs_im1 = fi(0,prop.short, prop.Properties);
69         abs_re1 = fi(0,prop.short, prop.Properties);
70         % ----- Gleichanteil -----
71         x_gl = fi(0,prop.short, prop.Properties);
72         % ----- Leistungen -----
73         L1 = fi(0,prop.short, prop.Properties); % Leistung 1 Oberschwingung
74         Lges = fi(0,prop.short, prop.Properties); % Leistung Gesamtsignal
75     case '24Bit'
76         factor = fi(0,prop.long, prop.Properties);
77         sum_ob = fi(0,prop.long64, prop.Properties); %32 Bit Wortlänge
78         % ----- Variablen 1. Oberschwingung -----
79         im1 = fi(0,prop.bit24, prop.Properties);
80         re1 = fi(0,prop.bit24, prop.Properties);
81         abs_im1 = fi(0,prop.bit24, prop.Properties);
82         abs_re1 = fi(0,prop.bit24, prop.Properties);
83         % ----- Gleichanteil -----
84         x_gl = fi(0,prop.bit24, prop.Properties);
85         % ----- Leistungen -----
86         L1 = fi(0,prop.bit24, prop.Properties); % Leistung 1 Oberschwingung
87         Lges = fi(0,prop.bit24, prop.Properties); % Leistung Gesamtsignal
88     case 'long' % getestet, funktioniert gut
89         factor = fi(0,prop.long, prop.Properties);
90         sum_ob = fi(0,prop.long64, prop.Properties); %64 Bit Wortlänge
91         %sum_ges = fi(0,prop.long, prop.Properties); %64 Bit Wortlänge
92         % ----- Variablen 1. Oberschwingung -----
93         im1 = fi(0,prop.long, prop.Properties);
94         re1 = fi(0,prop.long, prop.Properties);
95         abs_im1 = fi(0,prop.long, prop.Properties);
96         abs_re1 = fi(0,prop.long, prop.Properties);
97         % ----- Gleichanteil -----
98         x_gl = fi(0,prop.long, prop.Properties);
99         % ----- Leistungen -----
100        L1 = fi(0,prop.long, prop.Properties); % Leistung 1 Oberschwingung
101        Lges = fi(0,prop.long, prop.Properties); % Leistung Gesamtsignal
102    otherwise %Wenn ungültige Wortlänge gewählt
103        error('THD_fix_new:~You_have_selected_wrong_wordlength!');
104 end
105
106 %% Schiebefaktoren ermitteln
107
108 N = length(x_t);
109
110 w_LUT = Real.WordLength; % Wortlänge LUT Sinus und Kosinus
111 w_ADC = x_t.Wordlength; % Wortlänge ADC Samples
112
113
114 if w_ADC >= (w_LUT-1)
115     fak_LUT = w_ADC - (w_LUT - 1);
116     fak_ADC = 0;
117 elseif w_ADC < (w_LUT-1)
118     fak_LUT = 0;
119     fak_ADC = (w_LUT - 1) - w_ADC;
120 end
121
122

```

```

123 % Scheibefaktor bestimmen um /L zu realisieren
124
125 s = ceil(log2(N));
126
127 %Für Gesamtleistung des Signals
128 %Für Addition der Samples
129 w_max_add = 2 * w_ADC + s;
130
131 if Lges.wordlength < w_max_add
132     shift_Lg_add = Lges.wordlength -w_max_add;
133 else
134     shift_Lg_add = 0;
135 end
136
137 %Prüfen ob ausreichende Wortbreite für richtige Skallierung
138 % ist so erforderlich, da w_max_add 0 sein kann.
139 if Lges.wordlength < (w_max_add - shift_Lg_add +2 * fak_ADC) %Wenn Wortbreite für
    Skallierung nicht ausreichend ist
140     shift_Lg_skall = -2 * fak_ADC;
141 else
142     shift_Lg_skall = 0;
143 end
144
145 shift_Lg = shift_Lg_add + shift_Lg_skall;
146
147
148
149
150 % Für Gleichanteil
151
152 l_max = w_ADC + s;
153 if x_gl.wordlength <= l_max % da MSB vorzeichen
154     shift_gl = x_gl.wordlength -l_max -1;
155 else
156     shift_gl = 0;
157 end
158
159 % Division durch N aufteilen 1. Schritt so weit, dass Ergebnis 16 Bit
160 shift_gll = op_wl - l_max -1;
161 if shift_gll > 0
162     shift_gll = 0; %Nach links schieben vermeiden
163 end
164
165 %Schiebefaktor quadrieren
166 shift_quad_gl = -2* shift_gl - (s + 2*shift_gll) + shift_Lg_add;
167
168 %                *Faktor gl                /s                /Faktor Lg
169
170
171
172 %% Gesamtleistung des Signals ohne Gleicheinteil bestimmen (2. Lösung)
173 for n = 1:N
174     % Gleichantei berechnen
175     OP1(:) = int16(x_t(n));
176     x_gl(:) = x_gl + bitshift(OP1, shift_gl);
177
178
179     % Gesamtleistung des Signals mit Gleicheinteil
180     accu(:) = OP1 .* OP1;
181     if shift_Lg_add ~= 0
182         accu(:) = bitshift(accu, shift_Lg_add +1);
183         accu(:) = quantize(prop.qu32, accu.int / 2); % statt bitshift
184     end

```

```

185     Lges(:) = Lges + accu;
186 end
187
188 %Lges(:) = bitshift(Lges, -s); % * 1/N
189
190 x_gl(:) = bitshift(x_gl, shift_gl1); %*1/N Teil 1
191 OP1(:) = x_gl.int;
192 accu(:) = OP1 .* OP1;
193 if shift_quad_gl ~= 0
194     accu(:) = bitshift(accu, shift_quad_gl +1);
195     accu(:) = quantize(prop.qu32, accu.int / 2);% statt bitshift
196 end
197
198 %Lges(:) = Lges - accu;
199 Lges(:) = bitshift (Lges - accu, 2*fak_ADC + shift_Lg_skall);
200
201 %% Leistung 1. Oberschwungung bestimmen( aus DFT_quant_int_V3)
202
203 l_harm = (w_LUT -1) + fak_LUT + w_ADC + fak_ADC + s; % für 64 Werte: 12 +10 + 6 = 26
204
205
206 if rel.wordlength < l_harm
207     shift_rel = rel.wordlength -l_harm;
208 else
209     shift_rel = 0;
210 end
211
212 shift_test = OP1.wordlength -l_harm -shift_rel;
213 %shift_quad = -(accu.wordlength -l_harm -3 - (w_ADC- (w_LUT-1)) - shift_Lg);
214 shift_quad = -(accu.wordlength -l_harm -2 - shift_Lg);
215 if shift_quad > 0
216     Lges(:) = bitshift(Lges,- shift_quad);
217     shift_quad = 0;
218 end
219
220 for n = 1:N
221     % ----- Realanteil berechnen -----
222     OP1(:) = int16(x_t.int(n));
223     OP1(:) = bitshift(OP1,fak_ADC);
224     OP2(:) = int16(Real(n));
225     OP2(:) = bitshift(OP2, fak_LUT);
226     accu(:) = OP1 .* OP2; % Erzeugung doppeltes VZ
227     if shift_rel ~= 0
228         accu(:) = bitshift(accu, shift_rel +1);
229         accu(:) = quantize(prop.qu32, accu.int / 2); % statt bitshift
230     end
231     rel(:) = rel + accu; % 1 Wert zwischenspeichern
232
233     %Imaginäranteil berechnen
234     OP1(:) = int16(x_t.int(n));
235     OP1(:) = bitshift(OP1,fak_ADC);
236     OP2(:) = int16(Imag(n));
237     OP2(:) = bitshift(OP2, fak_LUT);
238     accu(:) = OP1 .* OP2; % Erzeugung doppeltes VZ
239     if shift_rel ~= 0
240         accu(:) = bitshift(accu, shift_rel +1);
241         accu(:) = quantize(prop.qu32, accu.int / 2); % statt bitshift
242     end
243     im1(:) = im1 + accu; % 1 Wert zwischenspeichern
244 end
245 rel(:) = bitshift(rel, (shift_test +1));
246 OP1(:) = quantize(prop.qu16, rel.int / 2); % statt bitshift
247 accu(:) = OP1 .* OP1; % Doppeltes Vorzeichen entfernen

```

```

248     accu(:) = bitshift(accu, shift_quad + 1);
249     abs_re1(:) = quantize(prop.qu32, accu.int / 2); % statt bitshift
250     im1(:) = bitshift(im1, (shift_test + 1));
251     OP1(:) = quantize(prop.qu16, im1.int / 2); % statt bitshift
252     accu(:) = OP1 .* OP1;
253     accu(:) = bitshift(accu, shift_quad + 1);
254     abs_im1(:) = quantize(prop.qu32, accu.int / 2); % statt bitshift
255     L1(:) = abs_re1 + abs_im1; %Absolutwert^2 berechnen
256     L1(:) = bitshift(L1, -1); % wegen Addition
257
258     %% Division durchführen
259     if Lges > L1
260         sum_ob(:) = Lges - L1;
261     else
262         sum_ob(:) = 0;
263     end
264     %sonst ist der THD so klein, dass er nicht mehr Darstellbar ist also 0
265
266
267     %% Ergebnis aus Tabellen 1–4 ermitteln
268     % Ausgabe Übersicht wichtigste Werte, dient nur zur Kontrolle
269     disp([' Gleichanteil: ', num2str(x_gl.double)]); %Testausgabe
270     disp([' Gesamtleistung: ', num2str(Lges.double)]); %Testausgabe
271     disp([' Leistung_1_Harm.: ', num2str(L1.double)]); %Testausgabe
272     disp([' THD_fix: ', sum_ob(:), ' sum_ob.bin']); %Testausgabe
273     disp([' THD_fix: ', sum_gs(:), ' Lges.bin']);
274     disp([' THD_fix: ', factor(:), ' factor.bin']);
275
276
277     if lut == 1
278
279         ob_shift = 10;
280
281         sum_ob(:) = bitshift(sum_ob, ob_shift);
282         factor(:) = divide(prop.long, sum_ob, Lges);
283
284         %Erstellen der Tabelle
285         x = 0: 10000 / 1024: (2^8 - 1) * 10000 / 1024; %256 Werte in Tabelle
                enthalten
286         Wurzel = round(sqrt(x));
287
288         if factor > length(Wurzel); % Wenn sehr großer Klirrfaktor
289             erg = Wurzel(end);
290         else
291             erg = Wurzel(factor.int + 1); %Wert aus Tabelle ermitteln
292         end
293
294
295
296     elseif lut == 2
297         %Definition der Variablen für Ermittlung der Tabellen– Funktion
298
299         ob_shift = 14; % Schiebefaktor der Oberschwingungen
300         shiftdiff = ob_shift - 14; % Shiffaktordifferenz = ob_shift - 13
301         Spalte = 0;
302         Zeile = 0;
303
304         sum_ob(:) = bitshift(sum_ob, ob_shift);
305         factor(:) = divide(prop.long, sum_ob, Lges);
306
307         for bit = 20:29 - shiftdiff
308             if factor.bin(bit) == '1' % wenn Bit gesetzt ist
309                 Spalte = bin2num(prop.qu32, factor.bin(bit+1:bit + 3));

```



```

310         Zeile = 32- bit -2 - shiftdiff;
311         if Zeile > 8 % Für Große THD bleibt Zeile Konstant
312             Zeile = 8;
313             Spalte = 7;
314         end
315         break;
316     end
317 end
318 %wenn Zeile und Spalte weiterhin 0: THD sehr klein
319
320 if (Spalte == 0) && Zeile == 0
321     Spalte = bin2num(prop.qu16, factor.bin(end-2- shiftdiff:end-shiftdiff));
322 end
323
324 % ermittelte Position in der Tabelle anzeigen
325 disp(['Zeile:_' num2str(Zeile)]);
326 disp(['Spalte:_' num2str(Spalte)]);
327 load('SQRT_LUT_PCM_9STUFEN.mat');
328 erg = Tabelle(Zeile+1,Spalte+1); %Ausgabe des Ergebnisses
329
330 elseif lut == 3
331     %Definition der Variablen für Ermittlung der Tabellen- Funktion
332
333     ob_shift = 13; % Schiefefaktor der Oberschwingungen
334     shiftdiff = ob_shift-13; % Shiffaktordifferenz = ob_shift-13
335     Spalte = 0;
336     Zeile = 0;
337
338     sum_ob(:) = bitshift(sum_ob ,ob_shift);
339     factor(:) = divide(prop.long, sum_ob, Lges);
340
341     for bit = 20:29- shiftdiff
342         if factor.bin(bit) == '1' % wenn Bit gesetzt ist
343             Spalte = bin2num(prop.qu32, factor.bin(bit+1:bit +3));
344             Zeile = 32- bit -2 - shiftdiff;
345             if Zeile > 7 % Für sehr großen Klirrfaktor konstanter Wert
346                 Zeile = 7;
347                 Spalte = 7;
348             end
349             break;
350         end
351     end
352 if (Spalte == 0) && Zeile == 0
353     Spalte = bin2num(prop.qu16, factor.bin(end-2- shiftdiff:end-shiftdiff));
354 end
355
356 disp(['Zeile:_' num2str(Zeile)]);
357 disp(['Spalte:_' num2str(Spalte)]);
358 load('SQRT_LUT_PCM_8STUFEN.mat');
359 erg = Tabelle(Zeile+1,Spalte+1); %Ausgabe des Ergebnisses
360 elseif lut == 4
361
362     ob_shift = 13; % Schiefefaktor der Oberschwingungen
363     Wurzel = sqrt_table; % Wurzeltabellen erzeugen
364
365     sum_ob(:) = bitshift(sum_ob ,ob_shift);
366     factor(:) = divide(prop.long, sum_ob, Lges);
367
368     if factor >= 7
369         factor(:) = bitshift(factor, -2); %Ergebnis schieben und in anderer
370             Tabelle
371         if factor >= 7 % wenn factor immer noch groß

```

```
371         factor(:) = bitshift(factor, -1); %nochmals um ein Bit schieben und inb
           anderer Tablle suchen
372     if factor >= 16                                     % wenn immer noch groß
373         factor(:) = bitshift(factor, -1); % nochmals um ein Bit schieben
           und in anderer Tabelle nachsehen
374         if factor >= 32                                 % wenn immer noch groß
375             factor(:) = bitshift(factor, -1); % nochmals um ein Bit
           schieben und in anderer Tabelle nachsehen
376             if factor >= 32                             %wenn immer noch zu groß
           -> sehr großer THD
377                 factor(:) = 31;                         % Maximalwert verwenden
378                 erg = Wurzel.Table5(factor.int); %Ergebnis aus Tabelle
           5
379             else
380                 erg = Wurzel.Table5(factor.int); %Ergebnis aus Tabelle
           5
381             end
382         else
383             erg = Wurzel.Table4(factor.int); %Ergebnis aus Tabelle 4
384         end
385     else
386         erg = Wurzel.Table3(factor.int); %Ergebnis aus Tabelle 3
387     end
388 else
389     erg = Wurzel.Table2(factor.int); %Ergebnis aus Tabelle 2
390 end
391 else
392     erg = Wurzel.Table1(factor.int +1); %Ergebnis aus Tabelle 1
393 end
394 else
395     error('wrong_look-up_table!')
396 end
397 end
```

**fehler**

## Listing F.17:

```
1 %%%%%%%%%%%%%%%%%%%%%%%%%%%%%%%%%%%%%%%%%%%%%%%%%%%%%%%%%%%%%%%%%%%%%%%%%%
2 %
3 %
4 % Version 1.0
5 %
6 % Datei:                fehler.m
7 %
8 % erstellt von: Lennart Koch
9 % erstellt am:  22.10.2009
10 %%%%%%%%%%%%%%%%%%%%%%%%%%%%%%%%%%%%%%%%%%%%%%%%%%%%%%%%%%%%%%%%%%%%%%%%%%
11
12 function [ rel_fehler , abs_fehler ] = fehler( x_a , x_r)
13 %function [ rel_fehler , abs_fehler ] = fehler( x_a , x_r)
14 %Berechnung vom relativen- und absoluten Fehler von zwei übergebenen
15 %Werten oder Vektoren
16 %Eingabe
17     % x_r: idealer Wert
18     % x_a: realer Wert
19 % Ausgabe
20     %rel_fehler in %
21     %abs_fehler
22
23
24
25     abs_fehler = abs(x_a - x_r);
26
27     rel_fehler = abs(abs_fehler ./ x_r) .*100; % in Prozent
28
29 end
```

**sqrt\_table**

## Listing F.18:

```

1  %%%%%%%%%%%%%%%%%%%%%%%%%%%%%%%%%%%%%%%%%%%%%%%%%%%%%%%%%%%%%%%%%%%%%%%%%%
2  %
3  %
4  % Version 1.0
5  %
6  % Datei:                sqrt_table.m
7  %
8  % erstellt von: Lennart Koch
9  % erstellt am:  22.10.2009
10 %%%%%%%%%%%%%%%%%%%%%%%%%%%%%%%%%%%%%%%%%%%%%%%%%%%%%%%%%%%%%%%%%%%%%%%%%%
11
12 function [ sqrt_tab ] = sqrt_table ()
13 % Funktion erstellt Wurzeltabelle in 4 Auflösungen ,
14 % Tabellen werden in Struktur bereitgestellt
15 % Rückgabewert:
16 % sqrt_tab : Struktur bestehend aus den 5 Wurzeltabellen
17
18 % Implementierung 1 Stufe: 8 Werte
19 x_imp1 = 0:1:8-1;
20 Func_imp1 = sqrt(100^2*2^-3/2^10 * x_imp1);
21
22 % Implementierung 2. Stufe: 8 Werte
23 % start = 7
24 %wertpos 111(7) >> 2 = 1 % Position an der vorheriger max.Wert vorkommt
25 x_imp2 = 7:4:8*4 +4 -1; %wg Scheibefaktor 2
26 Func_imp2 = sqrt(100^2*2^-3/2^10 * x_imp2);
27
28
29
30 % Implementierung 3. Stufe: 16 Werte
31 % start = 7 + 1 >> 3 = 15
32 %wertpos 10 0100 (35) >> 3 = 100= 4 % Position an der vorheriger max.Wert vorkommt
33 x_imp3 = 15:8:16*8+8-1;
34 Func_imp3 = sqrt(100^2 * 2^-3/2^10* x_imp3);
35
36 %Implementierung 4. Stufe = 16 Werte
37 % start = 15 + 1 << 4 = 31
38 %wertpos= 1000 0011 >> 4 = 100= 4 % Position an der vorheriger max.Wert vorkommt
39 x_imp4 = 31:16:16*32+31-1;
40 Func_imp4 = sqrt(100^2 * 2^-3/2^10 * x_imp4);
41
42 %Implementierung 5. Stufe = 32 Werte
43 % start = 31 + 1 << 5 = 63
44 %wertpos= 1 0000 0111 >> 5 = 100= 8 % Position an der vorheriger max.Wert vorkommt
45 x_imp5 = 63:32:32*31+ 63 -1;
46 Func_imp5 = sqrt(100^2 * 2^-3/2^10 * x_imp5);
47 error = find(Func_imp5 > 31); % maximal Wert 31%
48 Func_imp5(error) = 31;
49
50 sqrt_tab = struct('Table1', Func_imp1, 'Table2', Func_imp2, 'Table3', Func_imp3,...
51                 'Table4', Func_imp4, 'Table5', Func_imp5);
52
53 end

```

## THD

## Listing F.19:

```

1  %%%%%%%%%%%%%%%%%%%%%%%%%%%%%%%%%%%%%%%%%%%%%%%%%%%%%%%%%%%%%%%%%%%%%%%%%%
2  %
3  % Version 1.0
4  %
5  % Datei:                THD.m
6  %
7  % erstellt von: Lennart Koch
8  % erstellt am:  21.09.2009
9  %%%%%%%%%%%%%%%%%%%%%%%%%%%%%%%%%%%%%%%%%%%%%%%%%%%%%%%%%%%%%%%%%%%%%%%%%%
10 function erg = THD( S_f, No )
11 %Funktion berechnet den THD (Total Harmonic Distortion) von einem
12 %übergebenen Spektrum in %
13 %Formel :
14 %      N                N
15 % sqrt( sum |S_f|^2 / sum |S_f|^2 )
16 %      k = 2                k = 1
17 %
18 %
19 % S_f: Spektrum eines Signals
20 % No : Anzahl der Harmonischen Schwingungen
21
22 maxTHDlength = fix((length(S_f) / 2) -2);
23
24 if nargin == 1
25     No = maxTHDlength;
26 elseif nargin ~= 2
27     error('myApp: argChk', 'Wrong_number_of_input_arguments')
28 end
29
30 % Prüfen ob THD wie gewünscht berechnet werden kann
31
32 %Letzte zwei Schwingungen sollen nicht mehr berücksichtigt werden
33
34
35 if maxTHDlength >= No
36     % Betrag der Amplituden der Oberschwingungen
37
38     sum_ob = sum(abs(S_f(3:No + 1).^2));
39
40     %Betrag der Amplituden mit der Grundschiwingung
41
42     sum_gs = sum_ob + abs(S_f(2).^2);
43
44     % Berechnung THD
45
46     erg = sqrt (sum_ob / sum_gs) * 100;
47 else
48     error('Berechnung_konnte_nicht_ausgefuehrt_werden ,_da_zu_wenig_Spektrallinien_im_
49     Spektrum_enthalten_sind');
50 end
51 end

```

## THD\_calculation

## Listing F.20:

```

1  %%%%%%%%%%%%%%%%%%%%%%%%%%%%%%%%%%%%%%%%%%%%%%%%%%%%%%%%%%%%%%%%%%%%%%%%%%
2  %
3  %
4  % Version 1.0
5  %
6  % Datei:                THD_calculation.m
7  %
8  % erstellt von: Lennart Koch
9  % erstellt am:  8.12.2009
10 %%%%%%%%%%%%%%%%%%%%%%%%%%%%%%%%%%%%%%%%%%%%%%%%%%%%%%%%%%%%%%%%%%%%%%%%%%
11 function [THD_app THD_full THD_new re, im, betrag] = THD_calculation(s, V, No, LM)
12 % Berechnung des THD sowie Real- und Imaginärteil mit Matlab ohne Fixpoint-
13 % Toolbox.
14 % Simulation der Fälle
15 % - Aufnahme der Daten mit demonstrator, Auswertung mit Matlab
16 % - Aufnahme der Daten mit Oszilloskop, Auswertung der Daten mit Matlab
17 %
18     % Eingabewerte:
19     % S      : quantisiertes Eingangssignal
20     % V      : Verstärkerstufen des Vorverstärkers
21     % N      : Anzahl der verwendeten Koeffizienten für s
22     % No     : Anzahl der zu berechneten Koeffizienten (Ergebnis für
23     %         THD_app)
24     %
25     % Ausgabe
26     % THD_app : HD5-Methode
27     % THD_full: HD undlich
28     % THD_new : HD1-Methode
29     % re      : Realteil der Harmonischen
30     % im      : Imaginärteil der Harmonischen
31     % betrag  : Betrag der Harmonischen
32
33 % Neue Berechnungsmethode hinzugefügt
34
35
36 %% Felder initialisieren
37
38 % Länge der Messreihe bestimmen
39
40 L = size(s, 2);
41 THD_full = zeros(1,LM); % THD von allen Koeffizienten
42 THD_new = zeros(1,LM); % THD neue Berechnungsmethode
43 THD_app = zeros(1,LM); % THD "No" Koeffizienten
44 re = zeros(No, LM); % Realteil
45 im = zeros(No, LM); % Imaginärteil
46 betrag = zeros(No, LM); % Beträge
47
48 %% Felder mit Werten füllen
49
50 for i = 1:LM
51     S = fft(s(i,:)); % FFT von quantisiertem Signal berechnen
52
53     %Leistung Signal ausrechnen
54     sig = s(i,:) - S(1)/L;
55     Psig = sum(sig .* sig) / (L); %S(1) = Gleichanteil
56     P1 = 2* (abs(S(2))/L)^2 ; % Leistung 1. Harmonische
57     %THD nach anderer Berechnungsmethode ermitteln
58     THD_new(i) = 100 * sqrt((Psig -P1)/ Psig);
59

```

```
60      % THD nach gewohnter Rechenmethode ermitteln
61      re(:,i) = real(S(2:No+1)) ./ V(i); % Realteil bestimmen
62      im(:,i) = imag(S(2:No+1)) ./ V(i); %Imaginärteil bestimmen
63      betrag(:,i) = abs(S(2:No+1)) ./V(i);%Betrag bestimmen
64      THD_full(i) = THD(S);
65      THD_app(i) = THD(S,No);
66  end
67
68 end
```

## define\_Types

Listing F.21:

```

1  %%%%%%%%%%%%%%%%%%%%%%%%%%%%%%%%%%%%%%%%%%%%%%%%%%%%%%%%%%%%%%%%%%%%%%%%%%
2  % Erstellen von Fixpoint- Datentypen und quantizer Objekten um bin2num ,
3  % hex2num , num2hex und num2bin zu verwenden
4  %
5  % Version 1.0
6  %
7  %
8  % Datei:                define_Types.m
9  %
10 %
11 % erstellt von: Lennart Koch
12 % erstellt am: 01.11.2009
13 % geändert:    18.11.2009
14 %
15 % quantizer Objekte q16 und q32 eingefügt
16 %%%%%%%%%%%%%%%%%%%%%%%%%%%%%%%%%%%%%%%%%%%%%%%%%%%%%%%%%%%%%%%%%%%%%%%%%%
17
18 function erg = define_Types(N_ADC, N_LUT)
19 %[F, long , long64 , short , tADC, tLUT, tTHD] = define_Types(N_THD, N_ADC, N_LUT)
20 % N_ADC:    Wortbreite für Samples vom ADC [Bit]
21 % N_LUT:    Wertbreite für Sinus und Cosinus Werte in LUT [Bit]
22 %Ausgabe
23 % Datenstruktur , die alle Typen enthält
24
25     warning on fi:overflow    %Ausgabe einer Warnung bei Overflow
26     warning off fi:underflow  %Ausgabe einer Warnung bei Underflow
27
28     fipref('DataTypeOverride', 'ForceOff', 'LoggingMode', 'on'); % Loggingmode einschalten
29
30     %Wenn nicht alle Eigabeparameter eingegeben worden sind
31     if nargin == 0
32         N_ADC = 15;
33         N_LUT = 16;
34     elseif nargin ~ = 2
35         error('wrong_number_of_input_arguments');
36     end
37
38     % Verwendete fimath Eigenschaften
39     F = fimath;
40     F.ProductMode          = 'KeepLSB';
41     F.ProductWordLength    = 32;
42     F.MaxProductWordLength = 32;
43     F.ProductFractionLength = 0;
44     F.SumMode              = 'KeepLSB';
45     F.SumWordLength        = 32;
46     F.SumFractionLength    = 0;
47     F.OverflowMode         = 'wrap';
48     F.RoundMode            = 'floor';
49     F.CastBeforeSum        = false;
50
51     % Definition Datentypen
52     long = numericitype('Signed', true, 'WordLength', 32, 'FractionLength', 0, 'Scaling', ' ',
53         'BinaryPoint'); %32 Bit mit Vorzeichen ohne Kommastellen
53     long64 = numericitype('Signed', true, 'WordLength', 64, 'FractionLength', 0, 'Scaling', ' ',
54         'BinaryPoint'); %64 Bit mit Vorzeichen ohne Kommastellen
54     short = numericitype('Signed', true, 'WordLength', 16, 'FractionLength', 0, 'Scaling', ' ',
55         'BinaryPoint'); %16 Bit mit Vorzeichen ohne Kommastellen
55     bit24 = numericitype('Signed', true, 'WordLength', 24, 'FractionLength', 0, 'Scaling', ' ',
56         'BinaryPoint'); %16 Bit mit Vorzeichen ohne Kommastellen

```



```
56     char    = numerictype('Signed',true,'WordLength',8,'FractionLength',0,'Scaling',',',  
57         BinaryPoint'); %8 Bit mit Vorzeichen ohne Kommastellen  
57     tADC    = numerictype('Signed',false,'WordLength',N_ADC,'FractionLength',0,'Scaling',  
58         ',','BinaryPoint');  
58     tLUT    = numerictype('Signed',true,'WordLength',N_LUT +1,'FractionLength',0,'Scaling',  
59         ',','BinaryPoint'); % + 1 Bit fürs Vorzeichen entspricht jetzt Angabe in C-Quellcode  
60     % Quantizer Objekte definieren um LSB beim Schieben zu runden  
61  
62     q16 = quantizer('datamode','fixed','format',[16,0],'overflowmode',...  
63         'wrap','roundmode','convergent');  
64     q32 = quantizer('datamode','fixed','format',[32,0],'overflowmode',...  
65         'wrap','roundmode','convergent');  
66  
67     % Datentypen in Struktur ablegen zum besseren Handling  
68     erg = struct('Properties',{F}, 'long',{long}, 'long64',{long64},...  
69         'bit24',{bit24}, 'short',{short}, 'char',{char}, 'tADC',{tADC}, 'tLUT',{tLUT},  
70         },...  
71         'N_LUT',{N_LUT}, 'N_ADC',{N_ADC}, 'qu16',{q16}, 'qu32',{q32});  
71     end
```

**demonstrator\_algorithm**

## Listing F.22:

```

1  %%%%%%%%%%%%%%%%%%%%%%%%%%%%%%%%%%%%%%%%%%%%%%%%%%%%%%%%%%%%%%%%%%%%%%%%%%
2  % Simulation des Radmessplatzes und Vergleich mit berechneten Werten von
3  % Demonstrator
4  %
5  % Verwendung von Integer Werten
6  %
7  % Version 1.1
8  %
9  %
10 % Datei:                demonstrator_algorithm.m
11 %
12 %
13 % erstellt von: Lennart Koch
14 % erstellt am: 17.11.2009
15 %
16 % v1.1: Neue THD Berechnungsmethode hinzugefügt THD_fix_new
17 % v1.2: 2. Möglichkeit NIHD- Berechnung
18 %%%%%%%%%%%%%%%%%%%%%%%%%%%%%%%%%%%%%%%%%%%%%%%%%%%%%%%%%%%%%%%%%%%%%%%%%%
19
20 function demonstrator_algorithm (name, ParameterFile)
21 % demonstrator_algorithm (name, ParameterFile)
22 % Funktion simuliert die Demonstrator Hardware von Herrn Jegenhorst und gibt
23 % berechneten THD aus. Außerdem wird der Name der Simulationsreihe
24 % festgelegt und die Ergebnisse der Simulation selbstständig abgespeichert.
25
26 % Simulation der Fälle
27 % – Aufnahme der Daten mit demonstrator, Auswertung mit eigener Hardware
28 % – Aufnahme der Daten mit Oszilloskop, Auswertung mit eigener Hardware
29 %
30 %Vergleich mit den Fällen (THD_calculation)
31 % – Aufnahme der Daten mit demonstrator, Auswertung mit Matlab
32 % – Aufnahme der Daten mit Oszilloskop, Auswertung der Daten mit Matlab
33 %
34 %Eingabedaten
35 % Name:                : Name der Parameter Datei
36 %Parameter File : Pfad einer Parameter Datei
37
38
39 %% Übergabeparameter aus Datei lesen, wenn icht vorhanden mit default Werten füllen
40
41 s = fileread (ParameterFile);
42
43 wh = what; %aktuellen Pfad ermitteln
44
45 disp(wh.path);
46
47 % String in Variablen umwandeln
48 eval(s);
49
50
51 %Abfragen, ob alle Variablen vorhanden sind
52
53 if exist('Nb_LUT', 'var') == 0
54     Nb_LUT = 10;    % Default value
55 end
56
57 if exist('Nb_ADC', 'var') == 0
58     Nb_ADC = 12;    % Default value
59 end

```

```

60
61
62     if exist('N_Sample', 'var') == 0
63         N_Sample = 64;      % Default value
64     end
65
66     if exist('No', 'var') == 0
67         No = 5;          % Default value
68     end
69
70     if exist('wordlength', 'var') == 0
71         wordlength = 'long';    % Default value
72     end
73
74     if exist('use_data', 'var') == 0
75         use_data = 'demo';      % Default value
76     end
77
78     if exist('use_table', 'var') == 0
79         use_table = 2;      % Default value
80     end
81
82     if exist('noise_inc_var', 'var') == 0
83         noise_inc_var = 1;    % Default value
84     end
85
86
87
88
89
90     %% Datei mit Messdaten laden
91
92     %% Aufbereitete Daten aus Datei laden
93     pwd;
94     % Datei in Auswahl Dialogbox auswählen und dann laden
95     [FileName, PathName] = uigetfile('*_for_simulation.mat', 'Bitte_eine_Messreihe_auswählen');
96
97     if isequal(FileName, 0)
98         error('No_file_selected');
99     else
100        disp(['selected_file:_' FileName]);
101    end
102
103    FileNameComp=fullfile(PathName, FileName);
104
105    load(FileNameComp);
106    %% Pfade festlegen
107
108    date_time = clock; % date_time = [year month day hour minute seconds]
109
110    % Verzeichnis für neue Simulationen
111
112    save_folder = 'D:/simulation_folder';
113
114    lfdnr = [num2str(date_time(1), '%d') num2str(date_time(2), '%02d') num2str(date_time(3),
115        '%02d') ...
116        num2str(date_time(4), '%02d') num2str(date_time(5), '%02d')];
117
118    foldername = [lfdnr '_' name];
119
120    mkdir(save_folder, foldername);

```

```

121
122     pathname = [save_folder '/' foldername];
123     %Numerindex für Simulationsdateien setzt sich aus Datum zusammen
124
125     LM = length(data);
126     N_harm = data(1,1).N;
127     part_number = 1;
128
129
130
131     %% Überprüfung der eingegebenen Daten
132
133     if min(Nb_LUT) < 1 || max(Nb_LUT) > 16 %Erlaubter Bereich: 1..16 Bit
134         error('Parameter_Nb_LUT_nur_zwischen_1_und_16_Bit_Wortbreite_erlaubt');
135     end
136
137     if min(Nb_ADC < 1) || max(Nb_ADC > 16) %Erlaubter Bereich: 1..16 Bit
138         error('Parameter_Nb_ADC_nur_zwischen_1_und_16_Bit_Wortbreite_erlaubt');
139     end
140
141     if min(No) < 2 || max(No) > N_harm %Erlaubter Bereich: 1..N_harm
142         error('Parameter_Nb_LUT_nur_zwischen_1_und_16_Bit_Wortbreite_erlaubt');
143     end
144
145     if min(N_Sample) < 16
146         error('Parameter_N_Sample_zu_klein');
147     end
148
149     if strcmp(use_data , 'demo')== 0 && strcmp(use_data , 'scope') == 0 %Erlaubter Bereich
150         : 1..N_harm
151         error('datasource_not_avaluable');
152     end
153
154     if strcmp(wordlength , 'long')== 0 && strcmp(wordlength , 'short')== 0 && strcmp(
155         wordlength , '24Bit') == 0 %Erlaubter Bereich: 1..N_harm
156         error('wordlength_option_not_avaluable');
157     end
158
159     if use_table < 1 || use_table > 4 %Erlaubter Bereich: 1..4 Bit
160         error('sqrt_Table_not_avaluable');
161     end
162
163     if noise_inc_var < 1 || noise_inc_var > 2 %Erlaubter Bereich: 1..4 Bit
164         error('calculation_option_not_avaluable');
165     end
166
167     %Überprüfen, ob mehrere Simulationsreihen durchgeführt werden sollen
168
169     if length(Nb_LUT) > 1 || length(Nb_ADC) > 1 || length(No) > 1 || length(N_Sample) > 1
170         visible = 'off'; % Es werden keine Plots angezeigt
171     else
172         visible = 'on';
173     end
174
175
176     %% Variablen festlegen
177
178
179     % Initialisierung der nicht Fixpoint Vektoren, nur Abhängigkeit von LM
180     distance = zeros(1,LM); %Vektor für Distanz
181     THD_lut = zeros(1,LM); % gemessen an Radmessplatz

```

```

182
183     for i = 1:LM
184         distance(i) = data(1,i).distance;           % Distanz einlesen
185         THD_lut(i) = data(1,i).measure_rmp.hd_lut;   % THD mit aus Lookup Table einlesen
186     end
187
188     for ns = 1:length(N_Sample) % Simulation für mehrere Samples
189         S = N_Sample(ns);
190
191         for n_lut = 1:length(Nb_LUT)
192             NLUT = Nb_LUT(n_lut);
193
194             %Berechnung LUT Sinus und Kosinusfunktionen ( Real und Imaginärteil eines
195             %Zeigers
196             wT = 0:2*pi/N_Sample(ns):(N_Sample(ns)-1)* 2* pi / N_Sample(ns);
197
198             sin_fix = ((2^(NLUT) -1) * (-sin(wT))); %geändert 26.11.2009
199             cos_fix = ((2^(NLUT) -1) * cos(wT));   % geändert 26.11.2009
200
201         for n_adc = 1:length(Nb_ADC)
202             NADC = Nb_ADC(n_adc);
203             fixp = define_Types(NADC, NLUT); % Datentypen erstellen
204
205             %Sinus Cosinus Fixpoint Variablen erstellen
206             sinx = fi(sin_fix, fixp.tLUT, fixp.Properties); % etwas andere Skallierung
207             % als in C- Code
208             cosx = fi(cos_fix, fixp.tLUT, fixp.Properties); % etwas andere
209             % Skallierung als in C- Code
210
211             switch (use_data)
212             case 'scope'
213                 disp('_____you_have_selected_option_"scope"_
214                 _____');
215                 [s_fix gain_vec]= calc_function(data, fixp, N_Sample(ns), 'scope');
216             case 'demo'
217                 disp('_____you_have_selected_option_"demo"_
218                 _____');
219                 [s_fix gain_vec]= calc_function(data, fixp, N_Sample(ns), 'demo');
220             otherwise
221                 % Fehlermeldung log Datei
222                 fprintf(fid, 'Diese_Daten_sind_nicht_verfügbar ,_bitte_andere_option
223                 _wählen\n');
224                 error('This_option_is_not_available!');
225             end
226
227         end
228
229     %% Log Datei erstellen
230
231     %File- Pointer erstellen
232     fid = fopen([pathname '/' foldername '_simulation_parmeters.txt'], 'wt');
233     fprintf(fid, '*****\n');
234     fprintf(fid, '*Simulation_Radmessplatz*\n');
235     fprintf(fid, '*****\n\n');
236
237     fprintf(fid, 'Messung_durchgeföhrt_am_:_%02d.%02d.%d_um_%02d:%02d_Uhr\n\n', date_time
238     (3), ...
239     date_time(2), date_time(1), date_time(4), date_time(5));
240
241     fprintf(fid, 'verwendete_Parameter\n');
242     fprintf(fid, 'Name_der_Parameterdatei:_%s\n', ParameterFile);

```

```

238 fprintf(fid, 'Name_der_Messreihe_____:%s\n', FileName);
239 fprintf(fid, 'verwendete_Messdaten_____:%s\n', use_data);
240 fprintf(fid, 'Samples_pro_Periode_____:%d\n', N_Sample);
241 fprintf(fid, 'beruecksichtigte_Koeffizienten_____:%d\n', No);
242 fprintf(fid, 'Aufloesung_Look-up_Table_fuer_DFT_____:%d_Bit\n', Nb_LUT);
243 fprintf(fid, 'Aufloesung_Analog-Digital-Umsetzer_____:%d_Bit\n', Nb_ADC);
244 fprintf(fid, 'verwendete_Look-up_Tabelle_____:');
245 if use_table == 1
246     fprintf(fid, 'original_Look-up_Tabelle_des_Radmessplatzes\n');
247 elseif use_table == 2
248     fprintf(fid, 'PCM_Codierung_9_Stufen\n');
249 elseif use_table == 3
250     fprintf(fid, 'PCM_Codierung_8_Stufen\n');
251 elseif use_table == 4
252     fprintf(fid, 'verwendung_mehrerer_Tabellen_72_Werte\n');
253 end
254 fprintf(fid, 'Berechnungsmoeglichkeit_HDI-Methode:');
255 if noise_inc_var == 1
256     fprintf(fid, 'Berechnung_Gesamtleistung_ohne_Gleichanteil\n');
257 elseif noise_inc_var == 2
258     fprintf(fid, 'Berechnung_Gesamtleistung_mit_Gleichanteil\n');
259 end
260 fprintf(fid, 'Wortbreite_der_Variablen_____:%s\n\n', wordlength)
261
262 fprintf(fid, '*****\n');
263 fprintf(fid, '*_____Eigenschaften_des_Eingangssignals_____*\n');
264 fprintf(fid, '*****\n\n');
265
266 if strcmp(use_data, 'scope')
267     fprintf(fid, 'Es_wird_das_aufgezeichnete_Signal_des_Oszilloskops_verwendet\n');
268     fprintf(fid, 'verwendete_Parameter\n');
269
270     fprintf(fid, 'Abtastfrequenz_____:%d_Hz\n', parameters.samplerate
271             );
272     fprintf(fid, 'Anzahl_der_Harmonischen_____:%d\n', N_harm );
273     fprintf(fid, 'Perioden_ueber_die_FFT_berechnet_wird:_%d\n', data(1,1).measure_scope.
274             periodes );
275
276     elseif (strcmp(use_data, 'demo')) && (isempty(findstr(FileName, '_rmp_sim'))) == false
277         %Radmessplatz Simulation
278         fprintf(fid, ['Es_wird_eine_nachgebildete_Unterabtastung_aus_den_Messergebnissen_
279                     des\n' ...
280                     'Oszilloskops_verwendet._Dazu_sind_untenstehende_Parameter_verwendet_
281                     worden\n\n']);
282
283     fprintf(fid, 'verwendete_Parameter\n');
284
285     fprintf(fid, 'Anzahl_der_beruecksichtigten_Harmonischen_____:%d\n',
286             data(1,1).N );
287     fprintf(fid, 'Aufnamereihenfolge_der_Messdaten_____:');
288     if simulation_parameters.zufall == 1
289         fprintf(fid, 'zufaellig\n');
290     else
291         fprintf(fid, 'der_Reihe_nach\n');
292     end
293     fprintf(fid, 'minimal_verstreichende_Perioden_,_bis_Wert_aufgenommen_wird:_%d\n',
294             simulation_parameters.min_tw);
295     fprintf(fid, 'maximal_verstreichende_Perioden_,_bis_Wert_aufgenommen_wird:_%d\n',
296             simulation_parameters.max_tw);
297
298 else
299     %Original
300     fprintf(fid, 'Es_werden_die_Messwerte_des_Demonstrators_verwendet.\n');

```

```

292     fprintf(fid, ['Nährere_Informationen_zum_verwendeten_Abstastverfahren_sind_in_der\n'
293               ...
294               'Diplomarbeit_Jegenhorst_nachzulesen.\n']);
295     fprintf(fid, 'verwendete_Parameter\n');
296     fprintf(fid, 'Anzahl_der_berücksichtigten_Harmonischen_____:\n',
297            data(1,1).N );
298
299     end
300
301
302
303     fprintf(fid, '\n\n*****\n\n');
304     fprintf(fid, 'Ergebnis_der_Simulation:\n\n');
305
306
307
308     %% Durchführung der Simulation
309
310     for coeff = 1:length(No)
311         NO = No(coeff);
312
313         % Felder deren Grösse von No abhängig ist ,
314         % initialisieren
315         re_calc = fi(zeros(NO,LM), fixp.long, fixp.Properties);
316         im_calc = fi(zeros(NO,LM), fixp.long, fixp.Properties);
317         mag_calc = fi(zeros(NO,LM), fixp.long, fixp.Properties);
318         THD_calc = fi(zeros(1,LM), fixp.char, fixp.Properties);
319         THD_new = fi(zeros(1,LM), fixp.char, fixp.Properties);
320         Pges = fi(zeros(1,LM), fixp.long, fixp.Properties);
321         P1 = fi(zeros(1,LM), fixp.long, fixp.Properties);
322
323
324         %DFT Matrix berechnen
325         DFT_real = fi(zeros(NO,S), fixp.tLUT, fixp.Properties); %16 Bit für
326         Realteil geändert 19.11
327         DFT_imag = fi(zeros(NO,S), fixp.tLUT, fixp.Properties); %16 Bit für
328         Imagärteil geändert 19.11
329
330         for k = 1:NO %für k = 1..K -> Gleichanteil nicht berechnen
331             for n = 0:S-1 %für alle Samples von x_t
332                 kn = mod(k*n,S); %Produkt k * n berechnen, mod da Peridische
333                 Funktion und sin(k*n) = sin(k*n + N)
334                 DFT_real(k,n+1) = cosx(kn +1); % Realantei des Zeigers
335                 ausrechnen
336                 DFT_imag(k,n+1) = sinx(kn +1); % Imaginärteil des Zeigers
337                 bestimmen
338             end
339         end
340
341         % THD über alle Schwingungen THD nur von
342         % berücksichtigten Schwingungen sowie Real- und
343         % Imaginärteile mit Matlab berechnen
344
345         [THD5_mat, THD_mat, THD_new_mat, re_mat, im_mat, mag_mat] =
346         THD_calculation(s_fix.double, gain_vec, NO, LM);
347
348         for i = 1:LM
349             disp(['_____calculating_____ num2str(i) 'of_'
350                 num2str(LM) '_____']);
351             %_____ THD Berechnung aus DFT _____

```

```

346         [re_calc(:,i) im_calc(:,i) mag_calc(:,i)] = DFT_quant_int_V3(
           s_fix(i,:),fixp, DFT_real, DFT_imag, wordlength, No);
           % DFT errechnen
347         THD_calc(i) = THD_fix_int( mag_calc(:,i),fixp, wordlength,
           use_table); % THD errechnen
348         mag_calc(:,i) = bitshift( mag_calc(:,i),-(data(1,i).
           shift_factor));
349         % Shift_fac bei Signalaufnahme als analoger Verstärker
           hinzugefügt
350         re_calc(:,i) = bitshift(re_calc(:,i), -(data(1,i).shift_factor)
           );
351         im_calc(:,i) = bitshift(im_calc(:,i), -(data(1,i).shift_factor)
           );
352
353         %-----HDI-Methode -----
354         if noise_inc_var == 1
355             [THD_new(i) P1(i) Pges(i)] = THD_fix_newV3(s_fix(i,:),fixp,
           DFT_real(1,:),DFT_imag(1,:),wordlength, use_table);
356         elseif noise_inc_var == 2
357             [THD_new(i) P1(i) Pges(i)] = THD_fix_newV4(s_fix(i,:),fixp,
           DFT_real(1,:),DFT_imag(1,:),wordlength, use_table);
358         end
359
360         % Shift_fac bei Signalaufnahme als analoger Verstärker
           hinzugefügt
361         Pges(i) = bitshift(Pges(i), -(data(1,i).shift_factor));
362         P1(i) = bitshift(P1(i), -(data(1,i).shift_factor));
363     end
364
365     dest_file = ['Part_' num2str(part_number) '_NLUT=' num2str(NLUT) '
           _No=' num2str(NO) ...
           '_NADC=' num2str(NADC) '_Samples=' num2str(S)]; %
           Dateiname für Matlabfiles
366
367     part_number = part_number + 1;
368     fprintf(fid, 'Simulation_erfolgreich_durchgefuehrt!_Daten_können_
           unter_dem_Namen_%s.sim_erneut_geoeffnet_werden\n', dest_file);
369
370
371     %% Ergebnisse Plotten und auf der Festplatte sichern
372     % Bildschirmgröße bestimmen um Grafiken im
373     % Vollbildmodus anzuzeigen
374     scrsz = get(0,'ScreenSize');
375
376
377
378     mkdir(pathname, 'Images'); %Vezeichnis für Bilder erstellen
379
380     impath = [pathname '/Images/'];
381     disp(impath);
382     cd(impath);
383
384     % Darstellung Betrag, Real- und Imaginärteil von Hardware
385     % berechnet und simuliert
386     h = figure('Name',[ 'Parameters:_NLUT=' num2str(NLUT) ' ,NADC='
           num2str(NADC) ' Koeff=' num2str(NO) ...
           ',Samples=' num2str(S) ' stepsize=' num2str(distance(2)-
           distance(1)) 'mm'], 'Position', scrsz, 'visible', visible
           );
387
388     subplot(2,3,1);
389     plot(distance, mag_mat);
390     grid on;
391     ylabel('Magnitudes_of_harmonics');
392     xlabel('distance_[mm]');

```



```

393         title('Magntudes_calculated_with_Matlab');
394     subplot(2,3,2);
395     plot(distance, re_mat);
396     grid on;
397     ylabel('Real_Parts_of_harmonics');
398     xlabel('distance_[mm]');
399     title('Real_Parts_calculated_with_Matlab');
400     subplot(2,3,3);
401     plot(distance, im_mat);
402     grid on;
403     ylabel('Imaginary_Parts_of_harmonics');
404     xlabel('distance_[mm]');
405     title('Imaginary_Parts_calculated_with_Matlab');
406
407
408     subplot(2,3,4);
409     plot(distance, mag_calc);
410     grid on;
411     ylabel('Magnitudes_of_harmonics');
412     xlabel('distance_[mm]');
413     title('simulated_Magnitudes');
414     subplot(2,3,5);
415     plot(distance, re_calc);
416     grid on;
417     ylabel('Real_Parts_of_harmonics');
418     xlabel('distance_[mm]');
419     title('simulated_Real_Parts');
420     subplot(2,3,6);
421     plot(distance, im_calc);
422     grid on;
423     ylabel('Imaginary_Parts_of_harmonics');
424     xlabel('distance_[mm]');
425     title('simulated_Imaginary_Parts');
426
427     %Plot Speichern
428     set(h, 'PaperPositionMode', 'manual');
429     set(h, 'PaperUnits', 'centimeters');
430     set(h, 'PaperType', 'A4');
431     set(h, 'PaperOrientation', 'landscape');
432
433     filename = [dest_file '_Magnitudes_Real_and_Imaginary_Parts'];
434     orient landscape
435     saveas(h, filename, 'fig');
436     saveas(h, filename, 'pdf');
437     system(['pdfcrop_' filename '.pdf_' filename '_cropped.pdf']);
438     saveas(h, filename, 'jpg');
439
440     % Darstellung Leistung des Gesamtsignals und der 1 Harmonischen
441     % Schwingung
442     h = figure('Name', 'Power_of_Signal_and_Power_of_first_harmonic',
443               'visible', visible); %,'Position', scrsz);
443     plot(distance, Pges, '-', distance, P1, '—');
444     grid on;
445     ylabel('Power(P)');
446     xlabel('distance_[mm]');
447     legend('Power_of_Signal', 'Power_of_first_harmonic');
448     title(['Power_of_Signal ,_step_size:_ ' num2str(distance(2)-distance
449           (1)) 'mm']);
450
451     %Plot Speichern
452     set(h, 'PaperPositionMode', 'manual');
453     set(h, 'PaperUnits', 'centimeters');
454     set(h, 'PaperType', 'A4');

```

```

453     set(h, 'PaperOrientation', 'landscape');
454     orient landscape
455
456     filename = [dest_file '_power_of_signals'];
457     saveas(h, filename, 'fig');
458     saveas(h, filename, 'pdf');
459     system(['pdfcrop_' filename '.pdf' filename '_cropped.pdf']);
460     saveas(h, filename, 'jpg');
461
462     % Darstellung THD über Distanz
463     h = figure('Name', ['Parameters:_NLUT=' num2str(NLUT) ',NADC='
464         num2str(NADC) 'Koeff=' num2str(NO) ...
465         ',Samples=' num2str(S)], 'Position', scrsz, 'visible', visible
466     );
467     plot(distance, THD_mat, '-', distance, THD_lut, '-', distance,
468         THD5_mat, '-', distance, THD_calc, '-', distance, THD_new_mat,
469         '-', distance, THD_new, '-');
470
471     grid on;
472     ylabel('Harmonic_Distortion_(HD)_[%]');
473     xlabel('distance_[mm]');
474     legend('THD_with_all_Harmonics_calculated_with_floating_point_
475         arithmetic', ...
476         'THD_calculated_with_MSP430_Hardware', ...
477         ['reduced_THD_with_' num2str(NO) '_coefficients_calculated_with_
478         floatingpoint_arithmetic'], ...
479         ['reduced_THD_with_' num2str(NO) '_coefficients_calculated_with_
480         fixpoint_arithmetic'], ...
481         'HDI-method_with_floatingpoint_arithmetic', ...
482         'HDI-method_with_fixpoint_arithmetic');
483     title(['Total_Harmonic_Distortion_(THD)_over_distance, _step_size:_'
484         num2str(distance(2)-distance(1)) 'mm']);
485
486     %Plot speichern
487     set(h, 'PaperPositionMode', 'manual');
488     set(h, 'PaperUnits', 'centimeters');
489     set(h, 'PaperType', 'A4');
490     orient landscape
491
492     filename = [dest_file '_THD_over_distance'];
493     saveas(h, filename, 'fig');
494     saveas(h, filename, 'pdf');
495     system(['pdfcrop_' filename '.pdf' filename '_cropped.pdf']);
496     saveas(h, filename, 'jpg');
497
498     % Darstellung der Fehler von THD5_mat, THD_calc
499     [THD5_relerr THD5_abserr] = fehler(THD_calc.double, THD5_mat);
500
501     h=figure('Name', 'relative_and_absolute_error_of_approximated_THD_
502         with_floating_point_arithmetic_and_approximated_THD_with_
503         fixpoint_arithmetic', 'Position', scrsz, 'visible', visible);
504     subplot(1,2,1)
505     plot(distance, THD5_relerr);
506     grid on;
507     ylabel('relative_error_[%]');
508     xlabel('distance_[mm]');
509     title('relative_error_of_approximated_HD_calculated_fixpoint_
510         arithmetic');
511     subplot(1,2,2)
512     plot(distance, THD5_abserr);
513     grid on;
514     ylabel('absolute_error');
515     xlabel('distance_[mm]');

```

```

505         title('absolute_error_of_approximated_HD_calculated_fixpoint -
506               arithmetic');
507
508     set(h, 'PaperPositionMode', 'manual');
509     set(h, 'PaperUnits', 'centimeters');
510     set(h, 'PaperType', 'A4');
511     orient landscape
512
513     filename = [dest_file '_error_approximated_HD'];
514     saveas(h, filename, 'fig');
515     saveas(h, filename, 'pdf');
516     system(['pdfcrop_' filename '.pdf_' filename '_cropped.pdf']);
517     saveas(h, filename, 'jpg');
518
519
520     % Darstellung der Fehler von THD5_mat, THD_lut
521     [THDlut_relerr THDlut_abserr] = fehler(THD_lut, THD5_mat);
522
523     h=figure('Name', 'relative_and_absolute_error_of_hd_calculated_by_
524             demonstrator', 'Position', sersz, 'visible', visible);
525     subplot(1,2,1)
526     plot(distance, THDlut_relerr);
527     grid on;
528     ylabel('relative_error[%]');
529     xlabel('distance_[mm]');
530     title('relative_error_of_hd_calculated_by_demonstrator');
531     subplot(1,2,2)
532     plot(distance, THDlut_abserr);
533     grid on;
534     ylabel('absolute_error');
535     xlabel('distance_[mm]');
536     title('absolute_error_of_hd_calculated_by_demonstrator');
537
538     set(h, 'PaperPositionMode', 'manual');
539     set(h, 'PaperUnits', 'centimeters');
540     set(h, 'PaperType', 'A4');
541     orient landscape
542
543     filename = [dest_file '_error_THD_demonstrator'];
544     saveas(h, filename, 'fig');
545     saveas(h, filename, 'pdf');
546     system(['pdfcrop_' filename '.pdf_' filename '_cropped.pdf']);
547     saveas(h, filename, 'jpg');
548
549
550     [THDcalc_relerr THDcalc_abserr] = fehler(THD_new.double, THD_mat);
551     h=figure('Name', 'relative_and_Absolute_error_of_HDI-method', '
552             Position', sersz, 'visible', visible);
553     subplot(1,2,1)
554     plot(distance, THDcalc_relerr);
555     grid on;
556     ylabel('relative_error_[%]');
557     xlabel('distance_[mm]');
558     title('relative_error_of_HDI-method_calculated_with_fixpoint -
559           arithmetic');
560     subplot(1,2,2)
561     plot(distance, THDcalc_abserr);
562     grid on;
563     ylabel('absolute_error');
564     xlabel('distance_[mm]');
565     title('absolute_error_of_HDI-method_calculated_with_fixpoint -
566           arithmetic');

```

```

563
564         set(h, 'PaperPositionMode', 'manual');
565         set(h, 'PaperUnits', 'centimeters');
566         set(h, 'PaperType', 'A4');
567         orient landscape
568
569         filename = [dest_file '_error_HDI_method'];
570         saveas(h, filename, 'fig');
571         saveas(h, filename, 'pdf');
572         system(['pdfcrop_' filename '.pdf_' filename '_cropped.pdf']);
573         saveas(h, filename, 'jpg');
574
575         [THDcalc_reherr THDcalc_abserr] = fehler(THD5_mat, THD_mat);
576         h=figure('Name','relative_and_absolute_error_of_different_
                    implementations','Position',scrsz,'visible',visible);
577         subplot(1,2,1)
578         plot(distance, THDcalc_reherr);
579         grid on;
580         ylabel('relative_error[%]');
581         xlabel('distance[mm]');
582         title('relative_error');
583         subplot(1,2,2)
584         plot(distance, THDcalc_abserr);
585         grid on;
586         ylabel('absolute_error');
587         xlabel('distance[mm]');
588         title('absolute_error_of_different_implementations');
589
590         set(h, 'PaperPositionMode', 'manual');
591         set(h, 'PaperUnits', 'centimeters');
592         set(h, 'PaperType', 'A4');
593         orient landscape
594
595         filename = [dest_file '_error_different_implementations'];
596         saveas(h, filename, 'fig');
597         saveas(h, filename, 'pdf');
598         system(['pdfcrop_' filename '.pdf_' filename '_cropped.pdf']);
599         saveas(h, filename, 'jpg');
600         cd(wh.path);           %wieder in Programmverzeichnis wechseln
601
602
603 %% Daten auf Fesplatte sichern
604
605     save([pathname '/' dest_file '.sim.mat'], 'distance', 's_fix', ...
606         'THD_lut', 're_calc', 'im_calc', 'mag_calc', 'mag_mat', '
607         THD_calc', 'THD_new', 'DFT_real', 'DFT_imag',...
608         'THD_mat', 'THD5_mat', 'THD_new_mat', 're_mat', 'im_mat', '
609         NO', 'NADC', 'NLUT', 'S', 'fixp',...
610         'P1', 'Pges', 'N_harm', 'parameters');
611
612     end
613
614     end
615
616     % Schreiben der Log-Datei abschließen
617     fprintf(fid, '*****\n\n');
618     fclose(fid);
619 end

```

## F.2. C Quellcodes

### F.2.1. main.c

Listing F.23:

```

1  /*
2  =====
3  |      Projekt:                Diplomarbeit, Gesamtleistungsverfahren mit neuer
      Wurzeltabelle
4  |      Erstellt von:    Lennart Koch
5  |      Erstellt am:     09.02.2010
6  |      Geändert am:    31.03.2010
7  |      Hardware:       MSP430f169 auf Olimex eval board
8  |      Tools:          MSPGCC – v.20060502; Eclipse – ganymede-SR2; USBExpress –
      v1.021
9  |      Beschreibung:   Ermittlung der Rechenzeit approximiere hd Berechnung, noise
      included
10 |
      hd-Berechnung
11 |
12 |      Funktion:
13 |      Datei:           main.c
14 |      =====
15 |  */
16 |
17 |  //#define EXTERN                // globale Variablen hier definieren
18 |  #define LUT_SIN_DEF            // SIN_LUT hier initialisieren
19 |  #define SIGNAL                // Feld mit Samples hier initialisieren
20 |  #include "header_main.h"
21 |  #include "table_sin_red.h"
22 |  #include "globales.h"
23 |
24 |
25 |  /* Simulationsparameter:
26 |  * N_ADC = 12 Bit
27 |  * N_LUT = 10 Bit
28 |  * Samples = 64;
29 |  *
30 |  */
31 |
32 |
33 |  int main(void)
34 |  {
35 |      int i;
36 |      int j;
37 |
38 |      P3DIR = 0xFF;                                     //
      P3 als Ausgang
39 |      LED1_ON;
      // Start signalisieren
40 |      LED2_OFF;
41 |      init_TimerB(800);                                 //
      Timer einstellen
42 |      InitLCD();
      // LCD Einstellungen festlegen
43 |      showString("B1->Jegenhorst\nB2->noise_inc_hd");
44 |      _EINT();                                          // interrupt enable
45 |      while ( 1 ) {
46 |
47 |          char tasteGedruickt = taste();              // Abfrage ob Taste
      gedrückt

```

```

48         if (tasteGedruickt == 11) {                                     // Wenn
49             Taste B1 auf Eval Board
50             TBCCTL0 &= ~CCIE;                                         //
51             CCR0 interrupt disabled
52             z =0;
53             // Zählvariable Z zurücksetzen
54             LED1_OFF;
55             // Start signalisieren
56             LED2_ON;
57
58             TBR = 0x0000;                                             //
59             Timerzähler auf 0 setzen
60             TBCCTL0 = CCIE;                                           //
61             CCR0 interrupt enabled
62             /** Jegenhorst Implementierung **/
63             for (j = 0; j<10;j++){
64                 cleanup();
65                 for (i = 0; i < 64; i++)                               //
66                     Simulation ADC Interrupt Routine
67                     {
68                         g_adc.u_diff_b= sig[i];
69                         g_calc.lut_pos += LUT_POS_INC;
70                         calc_dft_sample();
71                     }
72                 calc_dft_abs();
73                 calc_hd();
74             }
75             TBCCTL0 &= ~CCIE;                                         //
76             CCR0 interrupt disabled
77             LED1_ON;
78             // Ende signalisieren
79             LED2_OFF;
80             showStringAndInt("Jegenhorst\nz=_",z); // Ausgabe Zählerstand
81         }
82     else if (tasteGedruickt == 21) {                                     // wenn Taste B2
83         TBCCTL0 &= ~CCIE;                                             //
84         CCR0 interrupt disabled
85         z =0;
86
87         LED1_OFF;
88         // Start signalisieren
89         LED2_ON;
90         TBR = 0x0000;                                             //
91         Timerzähler auf 0 setzen
92         TBCCTL0 = CCIE;                                           //
93         CCR0 interrupt enabled
94         /** HDI-Methode **/
95         for (j = 0; j<10;j++){
96             cleanup();
97             for (i = 0; i < 64; i++)                               //
98                 Simulation ADC Interrupt Routine
99                 {
100                     g_adc.u_diff_b= sig[i];
101                     calc_HD_noise_sampling();
102                 }
103             calc_HD_noise_afer();
104             decode_LUT();                                           //
105             Ergebnis aus Tabelle ermitteln
106         }

```

```
95          TBCCTL0 &= ~CCIE;                                // CCR0
96              interrupt disabled
97          LED1_ON;
98              // Ende signalisieren
99          LED2_OFF;
100             showStringAndInt("THD_noise_inc.\nz=_",z); // Ergebnis ausgeben
101         }
102     } // Ende Wählschleife
103     return 0;
104 }
105
106 interrupt (TIMERB0_VECTOR) Timer_B(void) {
107     z ++;
108 }
109 }
```

## F.2.2. hdnoi.c

Listing F.24:

```

1  /*
2  =====
3  |      Projekt:          Diplomarbeit
4  |      Erstellt von:    Lennart Koch
5  |      Erstellt am:     30.06.2009
6  |      Geändert am:     04.03.2010
7  |      Hardware:        MSP430f169 auf Olimex eval board
8  |      Tools:           MSPGCC - v.20060502; Eclipse - ganymede-SR2; USBExpress -
   |      v1.021
9  |      Beschreibung:    Implementierung noise-included hd Verfahren für Controller s. Doku
10 |
11 |      Funktion:         OK
12 |      Datei:            hdnoi.c
13 |=====
14 */
15
16 #include "header_main.h"
17 #include "table_sin_red.h"
18 #include "globales.h"
19
20 void calc_HD_noise_sampling(void){
21     int16_t j;
22     // Berechnung von Gleichanteil und 1 Harmonischer während der Datenaufnahme
23     // Gleichanteil;
24
25     // max. Wortbreite überprüfen
26     // w_ADC * ld(64) = 12 + 6 = 18 Bit also 32 Bit Register ausreichend
27     THD_calc.x_gl += (int32_t) g_adc.u_diff_b; //Summe aller Samples
28
29     // Leistung Gesamtsignal mit Gleichanteil
30     // max Wortbreite = 2 * w_ADC + ld(64) = 24 + 6 = 30 => 32 Bit ausreichend
31
32     THD_calc.x0_quad = (int32_t) g_adc.u_diff_b * g_adc.u_diff_b;
33     THD_calc.l_ges += THD_calc.x0_quad;
34
35     //1. Harmonische, Real und Imaginärteil
36
37     // max. Wortbreite überprüfen
38     // w_ADC + w_LUT +ld(64) = 12 + 10 + 6 = 28 Bit => 32 Bit Register ist ausreichend
39
40     // Realteil errechnen
41     THD_calc.prod = (int32_t) g_adc.u_diff_b * table_sin[(THD_calc.lut_pos + IDX_PI_H)
   |     % 32];
42     j = THD_calc.lut_pos >> 4;
   |     // Periode in 4 Teile unterteilen für cos
43     if ((j == 0) || (j == 3))
   |     // wenn zwischen 0 und pi/2 oder zwischen 3pi/2 und pi
44         THD_calc.real += THD_calc.prod; //
   |     Kosinus ist positiv
45     else
46         THD_calc.real -= THD_calc.prod; //
   |     Kosinus ist negativ
47
48     // Imaginärteil errechnen
49     THD_calc.prod = (int32_t) g_adc.u_diff_b * table_sin[THD_calc.lut_pos % 32];
50     if ((j >> 1) == 1)
   |     // Periode in 2 Teile aufteilen für Sinus Bestimmung
51         THD_calc.imag += THD_calc.prod; //
   |     da - sin(x) gerechnet werden muss

```



```

52     else
53         THD_calc.imag -= THD_calc.prod; //
54         // da -sin(x) gerechnet werden muss
55     THD_calc.lut_pos++;
56         // Position der LUT inkrementieren
57 }
58 void calc_HD_noise_afer(void){
59     THD_calc.x_gl >>= 3;
60         // 12 +6 Bit - 15 Bit damit für Quadrierung 15 Bit lang
61     THD_calc.l_ges >>= SHIFT_N;
62         // Division Leistung /N
63     THD_calc.x0 = (int16_t) THD_calc.x_gl;
64     THD_calc.x0_quad = (int32_t) THD_calc.x0 * THD_calc.x0;
65     THD_calc.x0_quad >>= 6;
66         // 2 * (SHIFT_N - 3)
67     THD_calc.l_ges -= THD_calc.x0_quad; //
68         // Subtraktion des Quadrats des Gleichanteils
69     // Leistung der 1. Harmonischen aus DFT Ergebnis errechnen
70     THD_calc.real = THD_calc.real >> SHIFT_QUAD; // Realteil auf
71         // untere 16 Bit schieben
72     THD_calc.x0 = (int16_t) THD_calc.real;
73     THD_calc.real_quad = (int32_t)THD_calc.x0 * THD_calc.x0; // Realteil quadrieren
74     THD_calc.imag = THD_calc.imag >> SHIFT_QUAD; // Imaginärteil auf
75         // untere 16 Bit schieben
76     THD_calc.x0 = (int16_t) THD_calc.imag;
77     THD_calc.imag_quad = (int32_t)THD_calc.x0 * THD_calc.x0; // Imaginärteil quadrieren
78     THD_calc.l1 = THD_calc.real_quad + THD_calc.imag_quad;
79     THD_calc.l1 = THD_calc.l1 >> (SHIFT_N + 1); // Division
80         // N+ 1 wg. Addition
81     // Leistung aller Oberschwingungen errechnen
82     if (THD_calc.l_ges > THD_calc.l1){
83         THD_calc.P_ob = THD_calc.l_ges - THD_calc.l1; // Leistung
84         // Oberschwingungen ermitteln
85         THD_calc.factor = (uint64_t) (THD_calc.P_ob << 14) / THD_calc.l_ges;
86     }
87     else {
88         // wenn Leist. 1. Harmonische größer Signalleistung
89         THD_calc.factor = 0 ;
90         // Klirrfaktor = 0
91         THD_calc.P_ob = 0;
92         // Leistung Oberwellen = 0
93     }
94 }

```

## F.2.3. sqrt.c

Listing F.25:

```

1  /*
2  =====
3  |      Projekt:          Diplomarbeit , C Implementierung
4  |      Erstellt von:    Lennart Koch
5  |      Erstellt am:     11.02.2010
6  |      Geändert am:     11.02.2010
7  |      Hardware:        MSP430f169 auf Olimex Evaluation board
8  |      Tools:           MSPGCC - v.20060502; Eclipse - ganymede-SR2; USBExpress -
9  |      v1.021
10 |      Beschreibung:     Verkürzte LUT Ermittlung der Wurzel eines Wertes
11 |
12 |      Funktion:         OK
13 |      Datei:            table_sqrt.h
14 |      =====
15 */
16 #include "table_sqrt.h"
17 #include "header_main.h"
18 #include "globales.h"
19
20
21 void decode_LUT(void){
22     int spalte = 0;           // Spalte in der Tabelle
23     int zeile = 0;           // Zeile in der Tabelle
24     int temp = MAX_POSIBLE;
25     uint32_t mask_zeile = 0x80000000; // max mögl. Bit
26     uint32_t mask_spalte = 0x70000000; //Maskierung folgende 3 Bit
27
28     do {
29         if ((THD_calc.factor & mask_zeile) == mask_zeile){ // wenn bit gesetzt
30             ist
31                 if (temp > MAX_ZEILE){
32                     // wenn ermittelter Klirrfaktor > darstellbarer
33                     Bereich
34                     zeile = MAX_ZEILE;
35                                     // Maximalwert auswählen
36                     spalte = MAX_SPALTE;
37                 }
38                 else{
39                     zeile = temp;
40                                     //Zeile der Tabelle festlegen
41                     spalte = (THD_calc.factor & mask_spalte)>> (temp -1); //
42                                     Spalte der Tabelle festlegen
43                 }
44                 mask_zeile = mask_zeile >> 1; // wenn maskiertes
45                                     Bit nicht gesetzt, Masken um eine Stelle nach links schieben
46                 mask_spalte = mask_spalte >> 1;
47                 temp--;
48                                     // Zähler dekrementieren
49             } while( zeile == 0); //
50             THD_calc.hd = sqrt_LUT[ zeile ][ spalte ]; // Klirrfaktor anhand der
51                                     ermittelten Zeile und Spalte festlegen
52     }

```

## F.2.4. cleanup.c

Listing F.26:

```

1  ///  

2  =====  

3  |      Projekt:           Diplomarbeit  

4  |      Erstellt von:     Niels Jegenhorst , Lennart Koch  

5  |      Erstellt am:      30.06.2009  

6  |      Geändert am:      04.03.2010  

7  |      Hardware:         MSP430f169 auf Olimex eval board  

8  |      Tools:            MSPGCC - v.20060502; Eclipse - ganymede-SR2; USBExpress -  

9  |      v1.021  

10 |      Beschreibung:     Initialisieren aller globalen Variablen , Vorlage von Niels  

11 |      Jegenhorst , reduziert und fehlende Informationen ergänzt  

12 |  

13 |      Funktion:          OK  

14 |      Datei:             cleanup.c  

15 |  

16 |  

17 |  

18 |  

19 |  

20 |  

21 |  

22 |  

23 |  

24 |  

25 |  

26 |  

27 |  

28 |  

29 |  

30 |  

31 |  

32 |  

33 |  

34 |  

35 |  

36 |  

37 |  

38 |  

39 |  

40 |  

41 |  

42 |  

43 |  

44 |  

45 |  

46 |  

47 |  

48 |  

49 |  

50 |  

51 |  

52 |  

53 |  

54 |  

55 |  


```

## F.2.5. Headerfiles

### header\_main.h

Listing F.27:

```

1  /*
2  =====
3  |      Projekt:          Diplomarbeit, Signalcontroller
4  |      Erstellt von:    Lennart Koch
5  |      Erstellt am:     06.05.2010
6  |      Geändert am:     08.04.2010
7  |      Hardware:        MSP430f169 auf Olimex eval board
8  |      Tools:           MSPGCC - v.20060502; Eclipse - ganymede-SR2; USBExpress -
   |      v1.021
9  |      Beschreibung:    Main - Header, Quelle Jegenhorst, LPS Projekt
10 |
11 |      Funktion:         OK
12 |      Datei:            header_main.h
13 |=====
14 */
15
16 #ifndef HEADER_MAIN_H_
17 #define HEADER_MAIN_H_
18
19 /*#ifndef EXTERN
20 #define EXTERN extern
21 #endif*/
22
23 #include <msp430x16x.h>          // Für Compiler msp430x1232 ausgewählt um HW Multi
24 // zu deaktivieren!
25 #include <signal.h>
26 #include "table_sin_red.h"
27
28 //--- Definitionen -----
29 #define FALSE                   0
30 #define TRUE                    !FALSE
31
32 #define N1      64              // Anzahl der Samples
33 #define N2      N1>>1          // N/2
34 #define N4      N1>>2          // N/4
35 #define SHIFT_N 6
36 #define SHIFT_QUAD 12          // Schiebefaktor für Quadratbildung
37
38
39 #define SAMPLE_P_P      64          // Samples pro
   |      Periode
40 #define SAMPLE_P_P_DIV  6          // Verschiebung für
   |      SAMPLE_P_P: log2(64)
41 #define HARMONICS      5          // Anzahl der
   |      Schwingungen
42
43 #define OMEGA_HI      16          // 1024 * fh1 / fs
   |      = 1024 / SAMPLE_P_P
44 #define LUT_POS_INC   16          // Inkrementierung
   |      in der LUT
45
46 //LCD commands
47 #define DISP_ON      0x0c          //LCD control constants
48 #define DISP_OFF    0x08          //
49 #define CLR_DISP     0x01          //

```

```

50 #define CUR_HOME 0x02 //
51 #define ENTRY_INC 0x06 //
52 #define DD_RAM_ADDR 0x80 //
53 #define DD_RAM_ADDR2 0xc0 //
54 #define DD_RAM_ADDR3 0x28 //
55 #define CG_RAM_ADDR 0x40 //
56
57 #define LCD_Data P4OUT
58 #define LCD_LIGHT_ON P4OUT |= BIT0
59 #define LCD_LIGHT_OFF P4OUT &= ~BIT0
60
61
62 // Taster
63 #define B1 BIT5&P1IN //B1 - P1.5
64 #define B2 BIT6&P1IN //B2 - P1.6
65 #define B3 BIT7&P1IN //B3 - P1.7
66
67 #define _100us 7 //7 cycles *12 + 20 = 104 / 104*1
68     us = 104us
69 #define E_HIGH P4OUT |= BIT1
70 #define E_LOW P4OUT &= ~BIT1
71 #define RS_HIGH P4OUT |= BIT3
72 #define RS_LOW P4OUT &= ~BIT3
73
74 // LEDs
75 #define LED1_ON P3OUT &= ~BIT6
76 #define LED1_OFF P3OUT |= BIT6
77 #define LED1_TOGGLE P3OUT ^= BIT6
78 #define LED2_ON P3OUT &= ~BIT7
79 #define LED2_OFF P3OUT |= BIT7
80 #define LED2_TOGGLE P3OUT ^= BIT7
81
82
83
84 //----- Prototypen -----
85
86 void decode_LUT(void);
87 void calc_HD_noise(void);
88 void calc_HD_noise_sampling(void);
89 void calc_HD_noise_afer(void);
90 void calc_dft_sample(void);
91 void calc_dft_abs(void);
92 void calc_hd(void);
93 void cleanup(void);
94 void Delay (unsigned int a);
95 void Delayx100us(unsigned int b);
96 void _E(void); // LCD
97 void init_TimerB (unsigned int cycles);
98 char taste( void );
99
100 void SEND_CHAR ( unsigned char); // LCD
101 void SEND_CMD ( unsigned char); // LCD
102 void InitLCD( void ); // LCD
103 void _E( void ); // LCD
104 void showString( char* ); // LCD
105 void showStringAndFloat( char* , float ); // LCD
106 void showStringAndInt( char* , unsigned int ); // LCD
107
108
109
110
111 #endif /* HEADER_MAIN_H_ */

```

---

112 //

## table\_sqrt.h

## Listing F.28:

```

1  /*
2  =====
3  |      Projekt:          Diplomarbeit , C Implementierung
4  |      Erstellt von:    Lennart Koch
5  |      Erstellt am:     11.02.2010
6  |      Geändert am:    11.02.2010
7  |      Hardware:       MSP430f169 auf Olimex eval board
8  |      Tools:          MSPGCC - v.20060502; Eclipse - ganymede-SR2; USBExpress -
9  |                      v1.021
10 |      Beschreibung:    Verkürzte LUT Ermittlung der Wurzel eines Wertes
11 |
12 |      Funktion:        OK
13 |      Datei:           table_sqrt.h
14 |                      =====
15 */
16 #ifndef TABLE_SQRT_H_
17 #define TABLE_SQRT_H_
18
19 #ifndef EXTERN
20 #define EXTERN
21 #endif
22
23 #define MAX_ZEILE 8          // Anzahl der Zeilen in Matrix
24 #define MAX_SPALTE 7       // Anzahl der Spalten der Matrix
25 #define MAX_POSIBLE 29     // Maximal mögliche Anzahl der Spalten bei 32 Bit Wortbreite = 32
26                             -3
27 const unsigned char sqrt_LUT[9][8] ={
28     {0, 0, 1, 1, 1, 1, 2, 2},
29     {2, 2, 2, 3, 3, 3, 3, 3},
30     {3, 3, 3, 4, 4, 4, 4, 4},
31     {4, 5, 5, 5, 5, 6, 6, 6},
32     {6, 7, 7, 7, 8, 8, 8, 9},
33     {9, 9, 10, 10, 11, 11, 12, 12},
34     {13, 13, 14, 15, 15, 16, 17, 18},
35     {18, 19, 20, 21, 22, 23, 24, 25},
36     {25, 26, 28, 29, 31, 32, 34, 35},
37 };
38
39 #endif

```

## globales.h

Listing F.29:

```

1
2 #ifndef GLOBALES_H_
3 #define GLOBALES_H_
4
5 #ifndef EXTERN
6     #define EXTERN extern
7     #endif
8
9
10         //Ausgangssingal des Sensors
11 #ifdef SIGNAL
12 EXTERN const int16_t sig[64] = {2262,  2454,  2643,  2825,  2999,  3165,  3320,
13     3464,  3595,  3713,  3817,
14                                     3905,  3978,  4033,
15                                     4072,  4093,  4095,
16                                     4079,  4045,
17                                     3994,  3925,  3839,
18                                     3739,  3624,  3497,
19                                     3359,  3212,  3057,
20                                     2896,  2731,
21                                     2563,  2393,  2223,
22                                     2054,  1887,  1722,
23                                     1561,  1404,  1253,
24                                     1107,  970,
25                                     840,  721,  613,
26                                     518,  438,  374,
27                                     327,  299,  291,
28                                     304,  339,
29                                     394,  471,  568,
30                                     684,  817,  967,
31                                     1130, 1304, 1487,
32                                     1677, 1871,
33                                     2067
34 };
35 #endif
36
37 volatile int z;
38
39 /***** Aus Jegenhorst Arbeit
40 *****/
41
42 struct {
43     int16_t omega_inc;           // Berechnungen:
44                                 // Omega welches
45     uint16_t omega_hx;          // Omega des
46                                 // jeweiligen Samples / Harmonischen
47     uint16_t omega_hx_cos;      // Omega wie Omega_hx, nur
48                                 // für Cosinus
49     uint16_t omega_hx_half;     // Omega aus Omega_hx, zum
50                                 // Spiegeln der LUTs
51     uint16_t omega_hx_half_cos; // Omega wie Omega_hx_half,
52                                 // nur für Cosinus
53     int32_t re[HARMONICS];      // Realteil
54     int32_t im[HARMONICS];      // Imaginärteil
55     int32_t factor;             // universeller
56                                 // Faktor
57     int32_t h_abs[HARMONICS];   // Betrag der Harmonischen
58     uint32_t sum_harmonic;      // Summe der
59                                 // Oberschwingungen

```



```

36         uint32_t sum_total;                // Summe der
           Gesamtschwingung
37         uint8_t hd;                        // Klirrfaktor HD
38         uint16_t lut_pos;                  // Position in der
           LUT (Cosinus / Sinus)
39         uint8_t i;                          //
           Zählvariable
40         uint8_t x;                          //
           Zählvariable
41         uint8_t finish;                     // Flag
42     } volatile g_calc;
43
44
45     struct {                                // DAC:
46         int16_t u_diff_b;                  //
           Differenz Signal ohne Offset
47     } volatile g_adc;
48
49 #endif
50
51 /*****
52
53
54 struct{
55     int32_t x_gl;                            // Gleichanteil
56
57     int16_t x0;                              // Sample
           ohne Gleichanteil
58     int32_t x0_quad;                         // Quadrat des
           Signals
59
60     int32_t imag;                            // Imaginärteil 1
           Harmonische
61     int32_t prod;                            // Produkt Signal x
           Wurzeltabelle
62     int32_t real;                            // Realteil 1
           Harmonische
63     int32_t imag_quad;                       // Quadrat Imaginärteil 1
           Harmonische
64     int32_t real_quad;                       // Quadrat Realteil
           1 Harmonische
65
66     int32_t l_ges;                           // Leistung des
           Gesamtsignals
67     int32_t ll;                              // Leistung
           der ersten harmonischen Schwingung
68     int32_t P_ob;                            // Leistung der
           Oberschwingungen
69     int32_t factor;                          // Ergebnis der
           Division vor dem Wurzelziehen
70
71     uint16_t lut_pos;                         // Position in der
           LUT (Cosinus / Sinus)
72     uint8_t hd;                             // Klirrfaktor in
           HD in %
73     } volatile THD_calc;

```

Weitere Dateien sind aus anderen Projekten übernommen wurden, sind auf [8] enthalten

# Tabellenverzeichnis

3.1.	Beschreibung der ersten Ebene der Datenstruktur . . . . .	17
3.2.	Beschreibung der Datenstruktur „measure_rmp“ . . . . .	18
3.3.	Beschreibung der Datenstruktur „measure_scope“ . . . . .	19
4.1.	Übersicht der implementierten Datentypen . . . . .	22
4.2.	Übersicht der besonderen Datentypen . . . . .	23
4.3.	Beschreibung der Rückgabestruktur der Funktion „define_Types“ . . . . .	23
6.1.	Einteilung der Grenzen der verschiedenen Wertetabellen . . . . .	45
6.2.	Übersicht über die erstellten Wurzel-Tabellen und der dazugehörigen Grenzen	45
6.3.	Umwandlung des linearen Datenworts in ein logarithmisches Codewort . .	48
6.4.	Gewählte Grenzen der Wurzel-Tabelle . . . . .	48
6.5.	Gewählte Grenzen der Wurzel-Tabelle . . . . .	50
7.1.	Vergleich der Ergebnisse des C-Programms und des Matlab Programms . .	53
7.2.	Vergleich der Ergebnisse des C-Programms und des Matlab Programms . .	55
8.1.	Grenzen der einstellbaren Parameter . . . . .	58
8.2.	Übersicht der verschiedenen Wurzel-Tabellen . . . . .	59
B.1.	Beschreibung eines numerictype-Objekts . . . . .	113
C.1.	Beschreibung der bei jeder Simulation abgespeicherten Ergebnisse . . . . .	117

# Abbildungsverzeichnis

2.1.	Links: Aufbau eines magnetoresistiven Widerstands; Rechts: Innerer Aufbau eines ABS-Sensors [16] . . . . .	3
2.2.	gestrichelte Kennlinie: charakteristische Kennlinie eines Permalloy Widerstands; durchgezogene Linie: charakteristische Kennlinie eines ABS-Sensors [16] . . . . .	4
2.3.	Links: Bild eines Radlagers mit aktiven Encoderrad eines VW Golf V; Rechts: Skizze eine aktiven Encoderrades [14] . . . . .	5
2.4.	Radlager mit passivem Encoderrad eines BMW 330i Touring . . . . .	5
2.5.	Funktionsweise eines ABS-Sensors [14] . . . . .	6
2.6.	Linearisierte magnetisch-elektrische Kennlinie des AMR-Sensorchips, mit einer Aussteuerung stärker als der näherungsweise lineare Bereich, nach der Theorie lt. Dibbern[7] . . . . .	7
2.7.	Linearisierte magnetisch-elektrische Kennlinie des AMR-Sensorchip, mit einer Aussteuerung im näherungsweise linearen Bereich , nach der Theorie lt. Dibbern [7] . . . . .	8
2.8.	Prinzip der sequenziellen Abtastung [7] . . . . .	9
3.1.	Signal dessen Nulldurchgänge mit dem Referenzsensor detektiert worden sind	12
3.2.	Signal dessen dessen Nulldurchgänge mit dem selbst erstelltem Referenzsignal detektiert worden sind . . . . .	13
4.1.	Blockschaltbild des Hardware Multiplizierers des MSP430 [2] . . . . .	21
5.1.	Möglichkeit zur Reduzierung der Wortbreite mit geringem Genauigkeitsverlust . . . . .	29
5.2.	Berechnung eines Fourierkoeffizienten der DFT . . . . .	31
5.3.	Datenpfad zur Berechnung des Gleichanteils . . . . .	34
5.4.	Datenpfad zur Berechnung der Gesamtleistung des Signals . . . . .	36
6.1.	In der Arbeit von Jegenhorst [7] verwendete Wurzelfunktion . . . . .	40
6.2.	Theoretisch erforderliche Wurzelfunktion um geforderte Genauigkeit zu erreichen . . . . .	43
6.3.	Darstellung der 1. Ableitung und der möglichen Schiefefaktoren . . . . .	44
6.4.	Beispiel einer Segmentkennlinie [13] . . . . .	47

---

6.5. Klirrfaktor über die Distanz bei Verwendung einer Wurzelfunktion, die in 8 Stufen codiert ist“ . . . . .	49
7.1. Evaluation-Board der Firma Olimex [12] . . . . .	51
8.1. Aufbau des Simulationsprogramms . . . . .	57
9.1. Darstellung des Klirrfaktors in Abhängigkeit von der Entfernung zwischen Sensor und Encoderrad, für die Parameter des Radmessplatzes [8] . . . . .	66
9.2. Relative und absolute Abweichungen der HD5-Methode [8] . . . . .	67
9.3. Relative und absolute Abweichungen bei Verwendung der HDI-Methode [8] . . . . .	68
9.4. Darstellung der Abweichung zwischen den beiden verwendeten Berechnungsverfahren [8] . . . . .	69
9.5. Darstellung des Klirrfaktors in Abhängigkeit von der Entfernung zwischen Sensor und Encoderrad [8] . . . . .	70
9.6. Darstellung des Klirrfaktors in Abhängigkeit von der Entfernung zwischen Sensor und Encoderrad [8] . . . . .	71
9.7. Darstellung der absoluten und relativen Abweichungen der HD5-Methode bei Berechnung mit einer Wortbreite von 24 Bit [8] . . . . .	72
9.8. Darstellung der absoluten und relativen Abweichungen der HDI-Methode bei Berechnung mit einer Wortbreite von 24 Bit [8] . . . . .	73
9.9. Klirrfaktor in Abhängigkeit von der Entfernung zwischen Sensor und Encoderrad bei Verwendung der ersten Berechnungsmöglichkeit [8] . . . . .	75
9.10. Klirrfaktor in Abhängigkeit von der Entfernung zwischen Sensor und Encoderrad bei Verwendung der zweiten Berechnungsmöglichkeit [8] . . . . .	75
9.11. Klirrfaktor in Abhängigkeit von der Entfernung zwischen Sensor und Encoderrad unter Berücksichtigung von 512 Samples pro Periode [8] . . . . .	77
9.12. Klirrfaktor in Abhängigkeit von der Entfernung zwischen Sensor und Encoderrad unter Berücksichtigung von 512 Samples pro Periode . . . . .	78
10.1. Klirrfaktor über die Distanz bei Verwendung von Messdaten des Oszilloskops [8] . . . . .	81
10.2. Klirrfaktor über die Distanz mit Messdaten des Demonstrators [8] . . . . .	82
10.3. Eingangssignal bei einer Entfernung zwischen Sensor und Encoderrad von 0,5mm . . . . .	83
10.4. Eingangssignal bei einer Entfernung zwischen Sensor und Encoderrad von 2mm . . . . .	84
10.5. Ergebnis der Fouriertransformation jeder einzelnen Schwingung bei einer Entfernung zum Sensor von 1mm [8] . . . . .	85
10.6. Ergebnis der Fouriertransformation jeder einzelnen Schwingung bei einer Entfernung zum Sensor von 1mm [8] . . . . .	86
10.7. Abtastpunkte über den Drehwinkel des Encoderrades aufgetragen bei Aufnahme eines Wertes alle 7 Perioden . . . . .	88

10.8. Nachgebildetes Ausgangssignal des Sensors bei 1mm Entfernung zum Encoderrad . . . . .	89
10.9. Nachgebildetes unterabgetastetes Ausgangssignal des Sensors . . . . .	90
10.10Spektrum des nachgebildeten unterabgetasteten Ausgangssignal des Sensors	91
10.11Klirrfaktor über die Distanz mit nachgebildeten Messdaten des Demonstrators [8] . . . . .	92
10.12.Vergleich des HD5-Methodes bei Verwendung von Messdaten in zufälliger und nicht zufälliger Abtastreihenfolge . . . . .	94
10.13.Vergleich des Ergebnisses bei Verwendung der HDI-Methode und Samples, die in zufälliger und nicht zufälliger Abtastreihenfolge aufgenommen sind .	95
10.14Klirrfaktor bei Aufnahme eines Samples pro Periode [8] . . . . .	96
10.15Eingangssignal bei einer Entfernung zwischen Sensor und Encoderrad von 1mm bei Aufnahme eines Samples in jeder Periode . . . . .	97
10.16Klirrfaktor bei Aufnahme eines Samples alle zwei Perioden [8] . . . . .	97
10.17Eingangssignal bei einer Entfernung zwischen Sensor und Encoderrad von 1mm bei Aufnahme eines Samples alle 2 Perioden . . . . .	98
10.18Klirrfaktor bei Aufnahme eines Samples alle drei Perioden [8] . . . . .	98
10.19Eingangssignal bei einer Entfernung zwischen Sensor und Encoderrad von 1mm bei Aufnahme eines Samples alle 3 Perioden . . . . .	99
10.20Klirrfaktor bei Aufnahme eines Samples alle vier Perioden [8] . . . . .	99
10.21Eingangssignal bei einer Entfernung zwischen Sensor und Encoderrad von 1mm bei Aufnahme eines Samples alle 4 Perioden . . . . .	100
10.22.Vergleich der Ergebnisse beider Simulation für das HD5-Methode . . . . .	101
10.23.Vergleich der Ergebnisse bei Verwendung der HDI-Methode . . . . .	102
10.24.Vergleich der Ergebnisse bei Verwendung der HDI-Methode [8] . . . . .	103
D.1. Klirrfaktor in Abhängigkeit von der Entfernung zwischen Sensor und Encoderrad bei Verwendung eines 6 Bit ADC [8] . . . . .	118
D.2. Klirrfaktor in Abhängigkeit von der Entfernung zwischen Sensor und Encoderrad bei Verwendung eines 8 Bit ADC [8] . . . . .	119
D.3. Klirrfaktor in Abhängigkeit von der Entfernung zwischen Sensor und Encoderrad bei Verwendung eines 10 Bit ADC [8] . . . . .	119
D.4. Klirrfaktor in Abhängigkeit von der Entfernung zwischen Sensor und Encoderrad bei Verwendung eines 12 Bit ADC [8] . . . . .	120
D.5. Klirrfaktor in Abhängigkeit von der Entfernung zwischen Sensor und Encoderrad bei Verwendung eines 6 Bit ADC [8] . . . . .	121
D.6. Klirrfaktor in Abhängigkeit von der Entfernung zwischen Sensor und Encoderrad bei Verwendung eines 8 Bit ADC [8] . . . . .	122
D.7. Klirrfaktor in Abhängigkeit von der Entfernung zwischen Sensor und Encoderrad bei Verwendung eines 10 Bit ADC [8] . . . . .	122
D.8. Klirrfaktor in Abhängigkeit von der Entfernung zwischen Sensor und Encoderrad bei Verwendung eines 12 Bit ADC [8] . . . . .	123

D.9. Klirrfaktor in Abhängigkeit von der Entfernung zwischen Sensor und Encoder bei Verwendung eines 6 Bit ADC [8] . . . . .	124
D.10. Klirrfaktor in Abhängigkeit von der Entfernung zwischen Sensor und Encoder bei Verwendung eines 8 Bit ADC [8] . . . . .	125
D.11. Klirrfaktor in Abhängigkeit von der Entfernung zwischen Sensor und Encoder bei Verwendung eines 10 Bit ADC [8] . . . . .	125
D.12. Klirrfaktor in Abhängigkeit von der Entfernung zwischen Sensor und Encoder bei Verwendung eines 12 Bit ADC [8] . . . . .	126
D.13. Klirrfaktor in Abhängigkeit von der Entfernung zwischen Sensor und Encoder bei Verwendung eines 6 Bit ADC [8] . . . . .	127
D.14. Klirrfaktor in Abhängigkeit von der Entfernung zwischen Sensor und Encoder bei Verwendung eines 8 Bit ADC [8] . . . . .	128
D.15. Klirrfaktor in Abhängigkeit von der Entfernung zwischen Sensor und Encoder bei Verwendung eines 10 Bit ADC . . . . .	128
D.16. Klirrfaktor in Abhängigkeit von der Entfernung zwischen Sensor und Encoder bei Verwendung eines 12 Bit ADC [8] . . . . .	129
D.17. Klirrfaktor in Abhängigkeit von der Entfernung zwischen Sensor und Encoder bei Verwendung eines 6 Bit ADC [8] . . . . .	130
D.18. Klirrfaktor in Abhängigkeit von der Entfernung zwischen Sensor und Encoder bei Verwendung eines 8 Bit ADC [8] . . . . .	131
D.19. Klirrfaktor in Abhängigkeit von der Entfernung zwischen Sensor und Encoder bei Verwendung eines 10 Bit ADC [8] . . . . .	131
D.20. Klirrfaktor in Abhängigkeit von der Entfernung zwischen Sensor und Encoder bei Verwendung eines 12 Bit ADC [8] . . . . .	132
D.21. Klirrfaktor in Abhängigkeit von der Entfernung zwischen Sensor und Encoder bei Verwendung eines 6 Bit ADC [8] . . . . .	133
D.22. Klirrfaktor in Abhängigkeit von der Entfernung zwischen Sensor und Encoder bei Verwendung eines 8 Bit ADC [8] . . . . .	134
D.23. Klirrfaktor in Abhängigkeit von der Entfernung zwischen Sensor und Encoder bei Verwendung eines 10 Bit ADC [8] . . . . .	134
D.24. Klirrfaktor in Abhängigkeit von der Entfernung zwischen Sensor und Encoder bei Verwendung eines 12 Bit ADC [8] . . . . .	135
D.25. Klirrfaktor in Abhängigkeit von der Entfernung zwischen Sensor und Encoder bei Verwendung eines 6 Bit ADC [8] . . . . .	136
D.26. Klirrfaktor in Abhängigkeit von der Entfernung zwischen Sensor und Encoder bei Verwendung eines 8 Bit ADC [8] . . . . .	137
D.27. Klirrfaktor in Abhängigkeit von der Entfernung zwischen Sensor und Encoder bei Verwendung eines 10 Bit ADC [8] . . . . .	137
D.28. Klirrfaktor in Abhängigkeit von der Entfernung zwischen Sensor und Encoder bei Verwendung eines 12 Bit ADC [8] . . . . .	138
D.29. Klirrfaktor in Abhängigkeit von der Entfernung zwischen Sensor und Encoder bei Verwendung eines 6 Bit ADC [8] . . . . .	139

D.30. Klirrfaktor in Abhängigkeit von der Entfernung zwischen Sensor und Encoder bei Verwendung eines 8 Bit ADC [8] . . . . .	140
D.31. Klirrfaktor in Abhängigkeit von der Entfernung zwischen Sensor und Encoder bei Verwendung eines 10 Bit ADC [8] . . . . .	140
D.32. Klirrfaktor in Abhängigkeit von der Entfernung zwischen Sensor und Encoder bei Verwendung eines 12 Bit ADC [8] . . . . .	141
D.33. Klirrfaktor in Abhängigkeit von der Entfernung zwischen Sensor und Encoder unter Berücksichtigung von 64 Samples pro Periode [8] . . . . .	142
D.34. Klirrfaktor in Abhängigkeit von der Entfernung zwischen Sensor und Encoder unter Berücksichtigung von 128 Samples pro Periode [8] . . . . .	143
D.35. Klirrfaktor in Abhängigkeit von der Entfernung zwischen Sensor und Encoder unter Berücksichtigung von 256 Samples pro Periode [8] . . . . .	143
D.36. Klirrfaktor in Abhängigkeit von der Entfernung zwischen Sensor und Encoder unter Berücksichtigung von 512 Samples pro Periode [8] . . . . .	144
D.37. Klirrfaktor in Abhängigkeit von der Entfernung zwischen Sensor und Encoder unter Berücksichtigung von 64 Samples pro Periode [8] . . . . .	145
D.38. Klirrfaktor in Abhängigkeit von der Entfernung zwischen Sensor und Encoder unter Berücksichtigung von 128 Samples pro Periode [8] . . . . .	146
D.39. Klirrfaktor in Abhängigkeit von der Entfernung zwischen Sensor und Encoder unter Berücksichtigung von 256 Samples pro Periode [8] . . . . .	146
D.40. Klirrfaktor in Abhängigkeit von der Entfernung zwischen Sensor und Encoder unter Berücksichtigung von 512 Samples pro Periode [8] . . . . .	147
D.41. Klirrfaktor in Abhängigkeit von der Entfernung zwischen Sensor und Encoder unter Berücksichtigung von 64 Samples pro Periode [8] . . . . .	148
D.42. Klirrfaktor in Abhängigkeit von der Entfernung zwischen Sensor und Encoder unter Berücksichtigung von 128 Samples pro Periode [8] . . . . .	149
D.43. Klirrfaktor in Abhängigkeit von der Entfernung zwischen Sensor und Encoder unter Berücksichtigung von 256 Samples pro Periode [8] . . . . .	149
D.44. Klirrfaktor in Abhängigkeit von der Entfernung zwischen Sensor und Encoder unter Berücksichtigung von 512 Samples pro Periode [8] . . . . .	150
D.45. Klirrfaktor in Abhängigkeit von der Entfernung zwischen Sensor und Encoder unter Berücksichtigung von 64 Samples pro Periode [8] . . . . .	151
D.46. Klirrfaktor in Abhängigkeit von der Entfernung zwischen Sensor und Encoder unter Berücksichtigung von 128 Samples pro Periode [8] . . . . .	152
D.47. Klirrfaktor in Abhängigkeit von der Entfernung zwischen Sensor und Encoder unter Berücksichtigung von 256 Samples pro Periode [8] . . . . .	152
D.48. Klirrfaktor in Abhängigkeit von der Entfernung zwischen Sensor und Encoder unter Berücksichtigung von 512 Samples pro Periode [8] . . . . .	153
D.49. Klirrfaktor in Abhängigkeit von der Entfernung zwischen Sensor und Encoder unter Berücksichtigung von 64 Samples pro Periode [8] . . . . .	154
D.50. Klirrfaktor in Abhängigkeit von der Entfernung zwischen Sensor und Encoder unter Berücksichtigung von 128 Samples pro Periode [8] . . . . .	155

---

D.51. Klirrfaktor in Abhängigkeit von der Entfernung zwischen Sensor und Encoder unter Berücksichtigung von 256 Samples pro Periode [8] . . . . .	155
D.52. Klirrfaktor in Abhängigkeit von der Entfernung zwischen Sensor und Encoder unter Berücksichtigung von 512 Samples pro Periode [8] . . . . .	156
D.53. Klirrfaktor in Abhängigkeit von der Entfernung zwischen Sensor und Encoder unter Berücksichtigung von 64 Samples pro Periode [8] . . . . .	157
D.54. Klirrfaktor in Abhängigkeit von der Entfernung zwischen Sensor und Encoder unter Berücksichtigung von 128 Samples pro Periode [8] . . . . .	158
D.55. Klirrfaktor in Abhängigkeit von der Entfernung zwischen Sensor und Encoder unter Berücksichtigung von 256 Samples pro Periode [8] . . . . .	158
D.56. Klirrfaktor in Abhängigkeit von der Entfernung zwischen Sensor und Encoder unter Berücksichtigung von 512 Samples pro Periode [8] . . . . .	159
D.57. Klirrfaktor in Abhängigkeit von der Entfernung zwischen Sensor und Encoder unter Berücksichtigung von 64 Samples pro Periode [8] . . . . .	160
D.58. Klirrfaktor in Abhängigkeit von der Entfernung zwischen Sensor und Encoder unter Berücksichtigung von 128 Samples pro Periode [8] . . . . .	161
D.59. Klirrfaktor in Abhängigkeit von der Entfernung zwischen Sensor und Encoder unter Berücksichtigung von 256 Samples pro Periode [8] . . . . .	161
D.60. Klirrfaktor in Abhängigkeit von der Entfernung zwischen Sensor und Encoder unter Berücksichtigung von 512 Samples pro Periode [8] . . . . .	162
D.61. Klirrfaktor in Abhängigkeit von der Entfernung zwischen Sensor und Encoder unter Berücksichtigung von 64 Samples pro Periode [8] . . . . .	163
D.62. Klirrfaktor in Abhängigkeit von der Entfernung zwischen Sensor und Encoder unter Berücksichtigung von 128 Samples pro Periode [8] . . . . .	164
D.63. Klirrfaktor in Abhängigkeit von der Entfernung zwischen Sensor und Encoder unter Berücksichtigung von 256 Samples pro Periode [8] . . . . .	164
D.64. Klirrfaktor in Abhängigkeit von der Entfernung zwischen Sensor und Encoder unter Berücksichtigung von 512 Samples pro Periode [8] . . . . .	165
E.1. Ergebnis der Fouriertransformation jeder einzelnen Schwingung bei sehr kleiner Entfernung zum Sensor [8] . . . . .	166
E.2. Ergebnis der Fouriertransformation jeder einzelnen Schwingung bei einer Entfernung zum Sensor von 2mm [8] . . . . .	167
E.3. Ergebnis der Fouriertransformation jeder einzelnen Schwingung bei einer Entfernung zum Sensor von 3mm [8] . . . . .	168
E.4. Ergebnis der Fouriertransformation jeder einzelnen Schwingung bei seiner Entfernung zum Sensor von 4mm . . . . .	169
E.5. Ergebnis der Fouriertransformation jeder einzelnen Schwingung bei seiner Entfernung zum Sensor von 5mm [8] . . . . .	170
E.6. Ergebnis der Fouriertransformation jeder einzelnen Schwingung bei seiner Entfernung zum Sensor von 6mm [8] . . . . .	171



---

E.7. Ergebnis der Fouriertransformation jeder einzelnen Schwingung bei sehr kleiner Entfernung zum Sensor [8] . . . . .	172
E.8. Ergebnis der Fouriertransformation jeder einzelnen Schwingung bei einer Entfernung zum Sensor von 2mm [8] . . . . .	173
E.9. Ergebnis der Fouriertransformation jeder einzelnen Schwingung bei einer Entfernung zum Sensor von 3mm [8] . . . . .	174
E.10. Ergebnis der Fouriertransformation jeder einzelnen Schwingung bei einer Entfernung zum Sensor von 4mm [8] . . . . .	175
E.11. Ergebnis der Fouriertransformation jeder einzelnen Schwingung bei einer Entfernung zum Sensor von 5mm [8] . . . . .	176
E.12. Ergebnis der Fouriertransformation jeder einzelnen Schwingung bei einer Entfernung zum Sensor von 6mm [8] . . . . .	177

# Index

aktives Encoderrad, 4  
Anti-Blockier-System, 1  
bit24, 22  
char, 22  
Demonstrator, 1  
Drehfrequenz, 9  
Encoderrad, 4  
error\_approximated\_THD, 62  
error\_demonstrator, 63  
error\_different\_implementations, 63  
error\_HDI\_method, 62  
Harmonische, 1  
HD5-Methode, 26  
HDI-Methode, 26  
Log-Datei, 61  
long, 22  
long64, 22  
Magnitudes\_Real\_and\_Imaginary\_Parts,  
62  
N\_Sample, 58  
Nb\_ADC, 58  
Nb\_LUT, 58  
No, 58  
noise\_inc\_var, 60  
Parameter-Datei, 60  
passives Encoderrad, 5  
power\_of\_signals, 62  
Radmessplatz, 1, 8  
short, 22  
t\_ADC, 22  
t\_LUT, 22  
THD\_over\_distance, 62  
Unrundlauf, 84  
use\_data, 58  
use\_table, 59  
wordlength, 60  
Zahnfrequenz, 9

# Versicherung über die Selbstständigkeit

Hiermit versichere ich, dass ich die vorliegende Arbeit im Sinne der Prüfungsordnung nach §25(4) ohne fremde Hilfe selbstständig verfasst und nur die angegebenen Hilfsmittel benutzt habe. Wörtlich oder dem Sinn nach aus anderen Werken entnommene Stellen habe ich unter Angabe der Quellen kenntlich gemacht.

Hamburg, 21. April 2010

Ort, Datum

Unterschrift